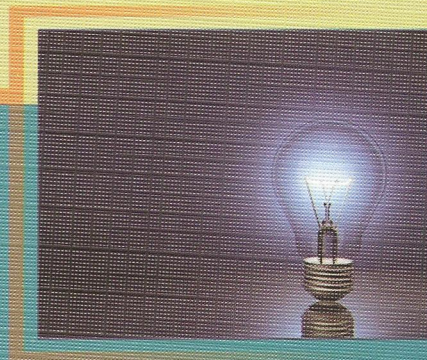




# الکتريسيته و مغناطيسي ( ۱ )

برای داوطلبان المپياد فيزيک



نويسندگان: فرينا ساعتی  
بردیا نجاری . شهروز زربافیان



# الکتریسیته و مغناطیس (۱)

برای داوطلبان المپیاد فیزیک



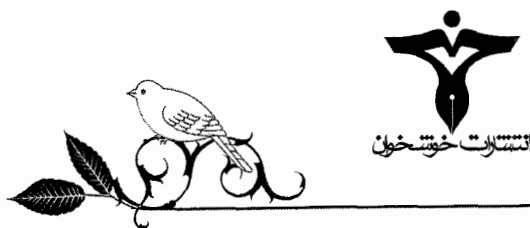
مؤلفان:

فرینا ساعتی - بردیا نجاری - شهروز زربافیان



انتشارات خوشخول

سرشناسه	: ساعتی، فرینا، ۱۳۶۸
عنوان و نام پدیدآور	: الکتریسته و مغناطیس (۱) برای داوطلبان المپیاد فیزیک
مشخصات نشر	: مؤلفان فرینا ساعتی، بردیا نجاری، شهرروز زربافیان
مشخصات ظاهری	: تهران: خوشخوان، ۱۳۹۰
شابک	: ۲۱۶ص: مصور، جدول، نمودار: ۲۲ × ۲۹ س.م
وضعیت فهرست نویسی	: 978-600-5695-17-5
موضوع	: فیزیک
موضوع	: المپیادها (فیزیک)
موضوع	: فیزیک - راهنمای آموزشی (متوسطه)
موضوع	: فیزیک - مسائل، تمرین‌ها و غیره (متوسطه)
شناسه افزوده	: نجاری، بردیا، ۱۳۶۹
شناسه افزوده	: زربافیان، شهرروز، ۱۳۶۹
رده‌بندی کنگره	: ۱۳۹۰ الف ۱۸/س ۲۴/۶۰ L.B3
رده‌بندی دیویی	: ۳۷۳، ۲۳۸
شماره کتابخانه ملی	: ۲۴۳۷۳۴۴



## الکتریسته و مغناطیس (۱)

مؤلفان: فرینا ساعتی - بردیا نجاری - شهرروز زربافیان

مدیر گروه: سیدعلی مدنی تنکابنی

حروفچینی و صفحه‌آرایی: گروه فنی همیه (۰۹۳۲۹۰۶۷۴۲۳-۶۶۴۶۴۰۹۴)

طراحی تصاویر: فاطمه مرادی

طراح جلد: علی عباسی

چاپ اول: پاییز ۱۳۹۰

تیراژ: ۲۰۰۰ نسخه

قیمت: ۵۴۰۰ تومان

ISBN: 978-600-5695-17-5

شابک: ۹۷۸-۶۰۰-۵۶۹۵-۱۷-۵

آدرس: تهران - خیابان جمهوری - بین خیابان دانشگاه و اوریحان - کوچه فرزاد - بلاک ۱۱ تلفن: ۶۶۴۹۴۰۲۰

www.khoshkhan.ir

کلیه حقوق برای انتشارات خوشخوان محفوظ است.

مسابقه‌ها، کنکورها و المپیادهای علمی نقش عمده‌ای را در بارور کردن و شکفتن استعدادهای دانش‌آموزان ایفا می‌کنند و باید به جرأت ادعا کرد که این مسابقات توانسته‌اند اعتماد به نفس لازم در جوانان عزیز کشورمان برای رقابت علمی با جوانان سایر نقاط جهان را تا حد زیادی افزایش دهند.

کتاب‌های موجود در دوره‌های تحصیلی به هیچ عنوان نمی‌توانند دانش‌آموزان را برای آماده شدن در این رقابت‌ها اغنا کنند. لذا لازم است در کنار کتاب‌های درسی، خلأ موجود مخصوصاً برای دانش‌آموزان مستعد و ممتاز شناسایی و پر شود. در همین راستا انتشارات خوشخوان با استعانت از حضرت حق تعالی و به کمک تنی چند از اساتید و دبیران ممتاز ایران و نیز فارغ‌التحصیلان دانشگاه‌های مختلف که اغلب آنان در زمانی نه چندان دور، مدال‌آور المپیادهای علمی در سطح ایران و جهان بوده‌اند، کتاب‌هایی را تألیف و به دانش‌آموزان ارائه می‌نماید. در همین راستا برای داوطلبان المپیاد فیزیک مجموعه کتبی نگارش و به چاپ رسیده است (و یا خواهد رسید) که کتاب حاضر نمونه‌ای از آن می‌باشد. مدیریت و بازنگری این مجموعه کتب را جناب آقای مدنی به عهده دارند که تقدیر و تشکر به عمل می‌آید. همچنین مؤلفان گرمی تلاش بی‌وقفه‌ای داشتند تا این اثر با قلمی شیوا و عاری از هرگونه عیب به چاپ رسد که تلاش آن دوستان نیز به ما دلگرمی می‌داد، خدا اجرشان دهد. در انتها نیز جا دارد از پرسنل زحمت‌کش در امر چاپ مخصوصاً گروه حروفچینی که متقبل زحمت فراوانی شدند قدردانی به عمل آید.

امیدوارم ضعف‌ها و عیوب ما را از طریق نامه و یا ایمیل به اطلاع برسانید تا تلاش کنیم تا در چاپ‌های بعد در صدد رفع آن نواقص باشیم.

رسول حاجی‌زاده

مدیر انتشارات خوشخوان

دانش‌آموزان عزیز (و بعضاً تمام اقشار دیگری که ممکن است به هر نحوی گذارشان به این متن بیفتد) سلام؛

رسم است و نه تنها رسم است بلکه منطقی هم هست که در ابتدای چنین نوشته‌ای (در مقام مقدمه مؤلف) هدف یا اهداف نویسنده یا نویسندگان کتاب از نگارش متن، به خواننده عرضه شود و بعد از آن مؤلف سراغ مباحث دیگر می‌رود.

به صورت ابتدایی، آنچه واضح است، هدف گروه مؤلف کتابی که پیش رو دارید، پس از کسب اندکی از حطام دنیا آماده‌سازی دانش‌آموزان مقطع دبیرستان برای ورود به دوره المپیاد فیزیک از سطح مقدماتی (اطلاعات پایه دبیرستان) تا سطح پیشرفته (معروف به دوره تابستانی یا کشوری) است. در اینجا با توجه به پیوند جدایی‌ناپذیر مفاهیم فیزیکی از بیان و مفاهیم ریاضی، معرفی مختصری از مفاهیم ریاضی هم لاجرم لازم بوده است.

سعی بر این بوده تا در هنگام نگارش متن با استمداد و نگاه‌های پیاپی به متون معتبر مرتبط با زمینه متن، هم اعتبار علمی متن مورد ارزیابی قرار بگیرد و هم نحوه بیان مطالب و روند آموزشی آن از ساختاری منطقی برخوردار شوند.

مجلدی که در دست دارید شامل مباحث الکتروسیسته ساکن است. برای این‌که دورنمای کلی از مباحث داشته باشید، به نیت اگر نمی‌دانید بدانید که الکتروسیسته ساکن به مباحث پیرامون آثاری که بارهای الکتریکی ساکن یا متحرک با سرعت‌های پایین بر فضای اطراف یا بردارهای دیگر می‌گذارند می‌پردازد. این مباحث در کنار مگنتواستاتیک (یا مغناطیس ساکن که ترجمه بسیار ناهنجاریست) قسمت اول از دو قسمت اصلی و پایه مبحث الکترودینامیک است که در حالت عمومی به بررسی تأثیر پدیده الکترومغناطیس (به عنوان یک هویت یگانه و نه متشکل از دو جزء الکتروسیسته و مغناطیس) بر فضای اطراف (و در سطوح بالا بر زمان و یا فضا زمان و ...) می‌پردازد. همچنین پیشنهاد می‌کنیم قبل از شروع مباحث درسی این کتاب و کتاب مشابه، سعی کنید اطلاعات کلی در زمینه تاریخ مباحثی که قرار است مطالعه کنید به دست آورید. این کار به شما کمکی برای پذیرفته شدن در آزمون‌ها نمی‌کند ولی حداقل مطالعه مباحث علمی را لذت‌بخش‌تر می‌کند!

در مورد ساختار کتاب هم به اختصار می‌توان چنین گفت:

کتاب همان‌طور که در فهرست خواهید دید شامل سه فصل، میدان الکتریکی، قانون گاوس و پتانسیل الکتریکی است.

در هر فصل ابتدا درسنامه ارائه شده است، در لابه‌لای درس، قسمت‌های کوتاه آموزشی ریاضی آورده شده است، این مباحث برای درک مطالب کتاب کفایت می‌کنند (ان‌شاءالله) اما در هر زمینه‌ای که احساس کردید اطلاعات ارائه شده کافی یا مناسب نیست می‌توانید به کتب حساب دیفرانسیل و انتگرال مراجعه کنید. همچنین کتاب‌های آموزش ریاضی سال‌های سوم و چهارم دبیرستان هم می‌تواند مورد استفاده قرار بگیرند.

سعی شده مثال به تعداد کافی در متن گنجانده شود. مثل تمام متون علمی دارای مثال، پیشنهاد ما این است که ابتدا سعی کنید مثال‌های درسی را خودتان حل کنید و بعد به سراغ حل بروید.

برای پیوستگی مطالب سعی شده است تا تمام مطالب مرتبط با يك موضوع، یکجا آورده شوند. در حالی که لزوماً تمام مباحث مطروحه در کتاب در تمام مراحل آزمون‌های المپیاد استفاده نمی‌شوند. بنابراین قبل از خواندن کل فصل در نظر داشته باشید که مباحثی را که در آزمون به کار شما می‌آید شناسایی کنید، با توجه به متغیر بودن حدود مباحث در سال‌های مختلف، تعیین حد و حدود به صورت یکجا و در کتاب معقول نیست. پس از پایان درسنامه تعدادی مثال حل شده آورده شده است. مثل قبل، افضل آن است که اول خودتان سعی کنید مثال‌ها را حل کنید. پس از مثال‌های حل شده، مجموعه تمرین‌ها با جواب آخر هستند و پس از آنها سؤالات دوره‌های المپیاد به ترتیب آزمون اول، آزمون دوم و سؤالات دوره تابستانی آورده شده‌اند. در هر کدام از این زیربخش‌ها هم سؤالات به ترتیب سال مرتب شده‌اند - از قدیم به جدید.

تا اینجا حرف از چیزهایی بود که گروه مؤلف می‌دانست؛ گرچه قسمت عمده آن به مباحثی می‌پرداخت که بیشتر در حیطه کاری ناشر محترم است (می‌دانید که این کتاب جزوی از يك مجموعه کتاب آموزشی است)؛ اما چیزی که تا حدی بر ما و احتمالاً (و صرفاً احتمالاً) تا حد بیشتری بر شما پوشیده است و در هاله‌ای از ابهام، هدف نهایی نگارش چنین مجموعه‌ای است به هر حال، چه باور کنید و چه نکنید (که البته امیدواریم باور بکنید) چشم‌انداز مالی حوزه نشر و خصوصاً نگارش کتاب‌هایی با مخاطبان خاص، مثل کتاب‌های المپیاد کشتی چندانی ندارد، حداقل برای گروه مؤلف این کتاب که اینطور بوده است. در وضعیتی که برآورد ما (صرفاً به عنوان سه دانشجوی کارشناسی که نه اقتصاد می‌دانند و نه تجربه کار در بازار کار را دارند ...) این است که ...

بگذارید طور دیگری مطلب را بگوییم، نگاهی به تبلیغات اعم از رادیویی، تلویزیونی، اینترنتی و مکانیکی (تراکت، بلبورد، ...) که در زمینه آموزشی هستند بکنید. کتاب‌هایی که به مخاطب کمک می‌کنند که در آزمون‌های ورودی مهدکودک، دبستان، راهنمایی، ... تا فوق‌دکتر پذیرفته شوند. خوب که از تنوع این کتاب‌های «متفاوت» سیر شدید، سعی کنید دنبال تبلیغاتی بگردید که در آنها سخنی به میان آمده باشد از نشری، مؤسسه‌ای، حلقه مطالعاتی، کتابخانه تخصصی یا هر چیز دیگر (حتی رستورانی ...) که هدفگذاری‌اش کمک به شما باشد برای بهبود کیفیت آموزشی در مقطعی که هستید، خواه در حال مهارت‌آموزی باشید و خواه در حوزه علوم نظری ...

این است که ما خیلی هدفمان را درست و درمان نمی‌دانیم؛ نمی‌دانیم که با نگارش این کتاب ما هم وارد چرخه بازتولید کاذب دانش‌آموزان و دانشجویانی که پرورش می‌یابند تا صرفاً در سال‌های بعد دانش‌آموزان و دانشجویان دیگری را درس بدهند. وارد شده‌ایم، یا به دانش‌آموزان کمک می‌کنیم تا وارد دانشگاه بشوند تا در آینده کالاهای ساخته شده در اقصی نقاط عالم را جابه‌جا کنید یا ...

اولین قدم ناخودآگاه ما برای حذر از حضور در این سناریوی ناخوشایند فرار با تمام قوا از حیطه کار کتاب‌ها و آموزش‌های کنکور، کلاس‌های تست و ... است.

چیزی که ما را دلگرم می‌کرد که تا حدی از این ماجرا دوریم، این بود که ناشر محترم (که می‌شوند آقای حاجی‌زاده) در چند مرحله تذکر دادند که فکر کنید جامعه هدف کتاب کسانی هستند که در نقاط غیرمرکزی کشور با امکانات نه چندان انبوه آموزش المپیاد برای ورود به دوره‌ها تلاش می‌کنند.

نمی‌دانم چقدر کل این مطالب منسجم از آب درآمد.  
اگر هم آن را دوباره بخوانیم قصد ندارم تغییری در آن بدهم - می‌توانید آن را به مثابه يك اثر از سبك جريان سیال ذهن بخوانید.  
به هر حال امیدواریم تمام خوانندگان کتاب و کسانی که آن را نمی‌خوانند - چه به دانشگاه می‌روند، چه نمی‌روند - چه بعد از آن فرار مغزها را برقرار ترجیح می‌دهند (که امیدواریم چنین نباشد) و چه و چه، در آینده مفید فایده باشد؛ اگر چنین چیزی اصلاً امکان‌پذیر باشد.  
لازم به ذکر نیست که کتاب، بدون شك پر از اشتباهات ریز و درشت و از انواع و اقسام آن است، لطفاً ما را در تصحیح آنها یاری کنید.

فرینا ساعتی  
بردیا نجاری فریزهندی  
شهر روز زربافیان  
مرداد ۱۳۹۰

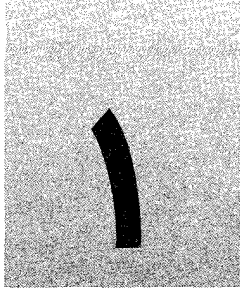
برای ارسال نظرات به مؤلفان هم می‌توانید از آدرس زیر استفاده کنید:

[ferina.saati@gmail.com](mailto:ferina.saati@gmail.com)

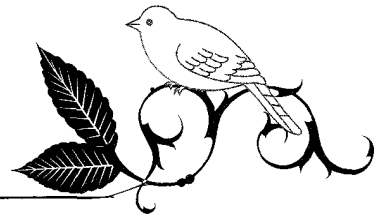




۱۶۹	مسائل نمونه فصل ۳	۱۴۷	پتانسیل الکتریکی
۱۷۲	پاسخ مسائل نمونه فصل ۳	۱۴۹	محاسبه‌ی پتانسیل
۱۸۱	تمرین فصل ۳	۱۵۳	سطوح هم‌پتانسیل
۱۸۴	سؤال‌های المپیاد فصل ۳	-	رابطه‌ی دیفرانسیلی میدان و پتانسیل الکتریکی -
۱۹۰	پاسخ سؤال‌های المپیاد فصل ۳	۱۵۵	به‌دست‌آوردن میدان از روی پتانسیل
۲۰۷	فهرست منابع و مراجع		قضایای مقدار مرزی پتانسیل الکتریکی، روش بارهای تصویری
		۱۵۹	



# بار الکتریکی، قانون کولن، میدان الکتریکی



## بار الکتریکی

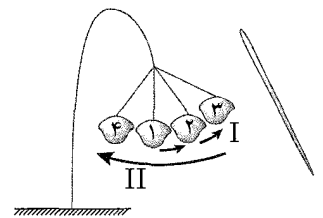


حتماً تا به حال برایتان پیش آمده است که پس از راه رفتن با جوراب پشمی بر روی فرش، دستتان را به یک جسم فلزی بزنید و جرقه‌ای بین دستتان و فلز احساس کنید. یا این‌که در تولد دوستتان، برای این‌که بادکنک را به دیوار بچسبانید، آن را به موی سرتان بمالید و چسبیدن آن را به دیوار مشاهده کنید! آیا شده که به علت این پدیده‌ها فکر کنید؟

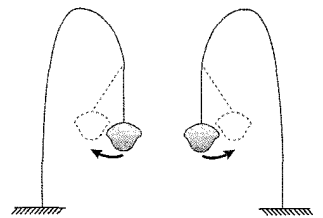
پدیده‌هایی از قبیل این‌ها، به شاخه‌ای از علم فیزیک مربوط هستند که آن را الکترواستاتیست می‌نامیم. ما در این بخش قصد پرداختن به این شاخه را داریم.

در ابتدا بیایید با آزمایشی شروع کنیم: جسمی سبک مثل یک گلوله کاغذی را در نظر بگیرید که مطابق شکل ۱-۱ از یک نخ ابریشمی آویزان شده است (وضعیت ۱) حال یک میله شیشه‌ای را به پارچه‌ای ابریشمی بمالید و به آرامی به گلوله نزدیک کنید. خواهید دید که گلوله به میله نزدیک می‌شود (وضعیت ۲) و پس از تماس با آن (وضعیت ۳)، از آن جدا شده و دور می‌شود (وضعیت ۴). حال همین کار را با گلوله‌های دیگری انجام دهید. با نزدیک کردن این دو گلوله به یکدیگر، مشاهده می‌کنید که از هم دور می‌شوند؛ در صورتی که اگر این گلوله‌ها را قبل از تماس با میله شیشه‌ای به هم نزدیک می‌کردیم به حالت قائم می‌ماندند و انحرافی نداشتند. بنابراین به نظر می‌رسد که نیروی دیگری به جز نیروی گرانش و نیروی کشش نخ باعث شده است که این دو گلوله همدیگر را دفع کنند. ما این نیروی جدید را «نیروی الکتریکی» می‌نامیم (شکل ۱-۲).

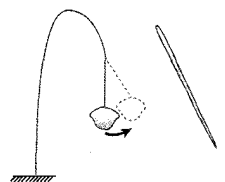
حال بیایید آزمایش دیگری انجام دهیم. آزمایش قبل را تکرار می‌کنیم و بعد از مالش گلوله‌ی کاغذی به پارچه‌ی ابریشمی، میله را به گلوله تماس می‌دهیم. میله‌ی دیگری را هم که مثلاً از جنس پلاستیک انتخاب می‌کنیم به پارچه پشمی، مالش می‌دهیم و آن را به گلوله‌های کاغذی نزدیک می‌کنیم. طوری که با آن تماس پیدا نکنند. می‌بینیم که میله مطابق شکل ۱-۳ گلوله را جذب می‌کند. به نظر می‌رسد که نیروی الکتریکی که از آن نام بردیم، این‌جا نیز وجود دارد. معلوم شده است که نیروی الکتریکی از وجود چیزی به نام «بار الکتریکی» ناشی می‌شود. حال می‌خواهیم بدانیم که این بار الکتریکی چیست و از کجا می‌آید؟ برای درک منشأ بار الکتریکی باید بدانیم که در ماده



شکل ۱-۱ حرکت گلوله‌ی کاغذی قبل از تماس با میله‌ی شیشه‌ای.  
II حرکت گلوله‌ی کاغذی بعد از تماس با آن.



شکل ۱-۲ دو گلوله‌ی کاغذی مشابه، یکدیگر را دفع می‌کنند.

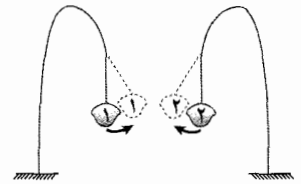


شکل ۱-۳ میله پلاستیکی گلوله‌ی کاغذی آزمایش قبل را جذب می‌کند.

چه می‌گذرد؟ همان طور که می‌دانیم اجسام از ذرات بسیار ریزی به نام «اتم» تشکیل شده‌اند که خود شامل دو قسمت هسته و الکترون است. الکترون‌ها به دور هسته در حال گردش‌اند و می‌توان آن‌ها را از اتم جدا کرد. بنابر مشاهدات انجام شده، الکترون‌ها دارای بار الکتریکی هستند.

با توجه به این‌که نیروی الکتریکی ناشی از وجود بار الکتریکی است، به نظر می‌رسد کم یا زیاد شدن تعداد الکترون‌های موجود در اجسام باید نیروی الکتریکی را به وجود بیاورد. یعنی باید اجسام باردار - یا اجسامی که کمبود بار یا زیادی بار دارند - باید به یکدیگر نیروی الکتریکی وارد کنند. با توجه به دو آزمایش اخیر که گفتیم، این جمله منطقی به نظر می‌رسد. در این دو آزمایش دیدیم که دو جسم باردار همدیگر را دفع یا جذب می‌کنند (به نظر شما چرا این طور است؟). برای درک این مطلب، بیاید آزمایش دیگری ترتیب دهیم.

یک گلوله کاغذی را با میله پلاستیکی که قبلاً به یک پارچه پشمی مالش داده شده است، تماس می‌دهیم. این گلوله را در مجاورت گلوله‌ی کاغذی آزمایش قبل قرار می‌دهیم، این دو گلوله همدیگر را جذب خواهند کرد (مطابق شکل ۱-۴).



شکل ۱-۴ گلوله‌ی ۱ با میله‌ی پلاستیکی مالیده به پارچه‌ی ابریشمی و گلوله‌ی ۲ با میله‌ی شیشه‌ای مالیده به پارچه‌ی پشمی تماس داده شده است.

حال اگر این دو گلوله را با هم تماس دهیم و بار دیگر آنها را در مجاورت هم قرار دهیم، می‌بینیم که در تعادل باقی می‌ماند (البته اگر در مالش دادن و تماس دادن با دقت عمل کرده باشیم، احتمال دارد که همچنان مقداری همدیگر را جذب کنند، نکته اینجاست که گلوله‌ها بعد از تماس با هم، دیگر هم را شدیداً جذب نکنند).

از بین رفتن - یا کم شدن - نیروی بین دو گلوله حاکی از آن است که عامل به وجود آورنده نیروی الکتریکی - که همان طور که گفتیم بار الکتریکی است - بین این دو گلوله از بین رفته است؛ یا به گونه‌ای خنثی شده است. همواره رسم بر این است که به کمیت‌هایی که در نتیجه جمع شدن با هم کم می‌شوند، علامت‌های مختلفی نسبت می‌دهند، مثلاً در اینجا دو گلوله‌ی باردار - کمیت بار الکتریکی - با تماس با هم، بر هم اثر کردند و بار هر کدام کمتر شد؛ بنابراین بنا به قرار داد، به بارهای الکتریکی نیز علامت‌های مختلفی نسبت می‌دهند، یعنی مثبت و منفی.

اگر در آزمایش‌های قبل دقت کنید، می‌بینید که گاهی از شیشه و پشم و گاهی از پلاستیک و ابریشم برای ایجاد بار الکتریکی استفاده شد. قرارداد بار مثبت و منفی به گونه‌ای است که بار ظاهر شده بر روی شیشه را مثبت و بر روی پلاستیک را منفی می‌نامیم.

بر اساس آزمایش‌هایی که انجام شده، مشخص شده است که در واقع این تفاوت بار، ناشی از تفاوت در تعداد الکترون‌هاست در واقع، در میله‌ی پلاستیکی، افزایش تعداد الکترون و در میله‌ی شیشه‌ای کاهش آن به وجود آمده است. بنابراین، طبق قراردادی که گفته شد - که بار پلاستیک منفی و بار شیشه مثبت است - افزایش تعداد الکترون موجب ایجاد بار منفی می‌شود و در نتیجه بار الکترون منفی است. این‌که شیشه، با کمبود الکترون، بار مثبت به دست آورد نیز حاکی از وجود ذره‌ی باردار دیگری با بار مثبت در درون اتم است. معلوم شده است که این ذره، با ذره‌ی دیگری که باری ندارد، در داخل هسته‌ی اتم قرار دارد؛ ذره‌ی مثبت پروتون و دیگری نوترون نام دارد.

بررسی‌ها نشان می‌دهد که هر اتمی تعداد مشخصی الکترون دارد و در حالت تعادل، اتم باری ندارد - و خنثی است! پس حالت تعادل ایجاد می‌کند که مجموع بارهای منفی الکترون‌ها با مجموع بار مثبت پروتون‌های موجود در هسته، به لحاظ بزرگی، دقیقاً برابر باشد. البته تنها الکترون‌ها

و پروتون‌ها نیستند که به هم نیروی الکتریکی وارد می‌کنند. بلکه این دو، عمده‌ترین و ملموس‌ترین عامل ایجاد این نیرو نیز محسوب می‌شوند. در حقیقت، ذرات زیادی از این قبیل وجود دارند. معلوم شده است که بار ذرات و همچنین بار ایجاد شده در اجسام، کمیتی «گسسته» است؛ یعنی هر باری مضرب صحیحی از یک بار الکتریکی معین است که «بار بنیادی» نامیده می‌شود. این بار بنیادی، که برابر با بار الکترون و پروتون است و مشخصاً کوچک‌ترین بار موجود در طبیعت است، بزرگی  $1.6021892 \times 10^{-19}$  کولن<sup>۱</sup> را داراست و با نماد  $e$  نمایش داده می‌شود. بنابراین هر بار الکتریکی فیزیک را - اگر با نماد  $q$  نشان دهیم - می‌توانیم به عنوان مضربی از  $e$ ، به صورت  $ne$  نمایش دهیم (که در آن  $n$  یک عدد صحیح محسوب می‌شود که مثبت یا منفی یا صفر است). (رابطه ۱)

$$q = ne \quad (1)$$

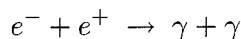
برای الکترون،  $n$  در رابطه ۱ برابر با  $-1$ ، و برای پروتون  $+1$  است. برخی از خواص سه ذره<sup>۲</sup> موجود در اتم، در جدول ۱-۱ آمده است.

جدول ۱-۱ برخی از خواص سه ذره‌ی زیراتمی

ذره	بار الکتریکی (کولن)	جرم (بر حسب جرم الکترون)
الکترون ( $e^-$ )	$-1.6021892 \times 10^{-19}$	۱
پروتون ( $p$ )	$+1.6021892 \times 10^{-19}$	۱۸۳۶/۱۵
نوترون ( $n$ )	۰	۱۸۳۸/۶۸

هرگاه یک خاصیت فیزیکی، مانند بار الکتریکی، به جای داشتن مقادیر پیوسته، به صورت «بسته»‌های گسسته باشد، آن خاصیت را یک خاصیت «کوانتیده» می‌گویند. بنابراین، بار الکتریکی کمیتی کوانتومی با کوانتوم  $e$  است.<sup>۳</sup>

بار الکتریکی یک کمیت پایسته است: در هر آزمایشی که بار الکتریکی در آن دخیل است، باری به وجود نمی‌آید و از بین هم نمی‌رود و بار کل همواره مقداری ثابت است.<sup>۴</sup> گفته می‌شود که بار کل موجود در عالم، چه مثبت و چه منفی، مقداری ثابت است، و تاکنون هیچ نقضی بر این گفته آورده نشده است این اصل پایستگی، مشابه اصل پایستگی جرم و انرژی «اصل پایستگی بار الکتریکی» نامیده شده است. برای مشاهده‌ی پایستگی بار، نابودی ذره - پادذره می‌تواند مثال خوبی باشد. وقتی یک الکترون ( $e^-$ ) با بار  $-e$ ، با پادذره‌اش پوزیترون ( $e^+$ ) با بار  $+e$  به هم نزدیک شوند، امکان دارد نابود شوند و انرژی خود را به شکل تابشی بیرون دهند. این تابش می‌تواند از طریق پرتو گاما ( $\gamma$ ) باشد. این واکنش را مطابق رابطه‌ی زیر نمایش می‌دهند:



- (۱) کولن واحد بار الکتریکی است که در بخش بعد به آن خواهیم پرداخت. همین بس که شما در این بخش با این عدد آشنا شوید و تصویری از کوچکی آن به دست آورید.
- (۲) جرم الکترون در حالت ساکن آن در حدود  $9.109534 \times 10^{-31}$  کیلوگرم گزارش شده است.
- (۳) این‌که چرا  $e$  کوانتوم بار الکتریکی است و بار دیگری غیر از مضرب آن وجود ندارد، رازی است که در فیزیک کلاسیک توضیحی برایش وجود ندارد.
- (۴) طوری که حتی در آزمایش‌های نابودی ذرات - پادذرات و یا واپاشی اجسام نیز بار کل تغییر نمی‌کند!

در این آزمایش بار خالص قبل از برهم کنش ( $(+1) + (-1) = 0$ ) برابر صفر بوده و بعد از آن نیز - از آنجا که پرتو تابش حامل بار نیست - صفر می ماند؛ در نتیجه دیده می شود که در این برهم کنش، بار الکتریکی پایسته می ماند.

## رساناها و نارساناها

ذرات درون هسته ای اتم را به دلیل وجود نیروهای هسته ای قوی، نمی توان به سادگی از هسته جدا کرد. بنابراین، عامل اصلی به وجود آورنده ی بار الکتریکی، الکترون ها هستند. الکترون ها می توانند درون یک جسم حرکت کنند یا از جسمی به جسم دیگر منتقل شوند، مانند حرکت الکترون ها در سیم های برق.

بیاید بار دیگر آزمایش گلوله ی کاغذی بخش قبل را در نظر بگیریم. در این آزمایش ها برای باردار کردن گلوله ی کاغذی از میله های شیشه ای و پلاستیکی استفاده کردیم. این بار میله ای فلزی را در دست می گیریم و آن را با پارچه ی ابریشمی مالش می دهیم و سپس به گلوله ی کاغذی تماس می دهیم. خواهیم دید که در گلوله های کاغذی هیچ تغییری ایجاد نمی شود؛ باری به آن منتقل نمی شود. علت این امر آن است که الکترون ها می توانند به راحتی در فلز، بدن انسان و از آن به سوی زمین حرکت کنند، در نتیجه بار ایجاد شده در میله ی فلزی از بدن ما عبور کرده و به زمین انتقال می یابد و دیگر باری روی میله باقی نمی ماند تا بتواند روی گلوله ی کاغذی جمع شود و آن را باردار کند. چنین اجسامی را - میله ی فلزی، زمین و بدن انسان - که بتوانند به راحتی بار الکتریکی را از خود عبور دهند، "رسانای الکتریسیسته" می نامند و اجسامی را مانند شیشه و پلاستیک که این خاصیت را ندارند، "رسانا" و یا "دی الکتریک" - و یا عایق - می نامند. بدین ترتیب، وقتی مقداری بار الکتریکی روی سر یک رسانا قرار می دهیم، بی درنگ در سرتاسر آن پخش می شود، تا رسانا به تعادل<sup>۱</sup> برسد، و وقتی مقداری بار روی یک سر نارسانایی قرار می دهیم، در همان مکان باقی می ماند.

توجه داشته باشید که هیچ گاه به طور دقیق نمی توان تعیین کرد که جسمی رسانا یا نارسانا است. بررسی ها نشان می دهند که هر جسمی می تواند بار الکتریکی را، هر چند به میزان بسیار اندکی، از خود عبور دهد. بنابراین اجسام مختلف در گستره ای بین رسانایی کامل و نارسانایی کامل قرار می گیرند. بدین ترتیب حتی ممکن است که یک ماده در شرایطی رسانا و در شرایط دیگر نارسانا در نظر گرفته شود، بنابراین رسانایی امری کاملاً نسبی است و ما برای شرایطی مشخص، رسانایی و نارسانایی اجسام خاصی را قرارداد می کنیم.

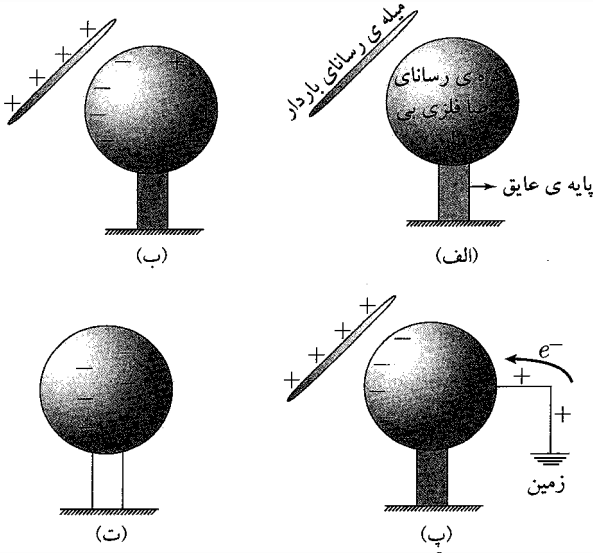
همه ی فلزات رساناهای خوبی هستند. حرکت بار در آنها ناشی از حرکت الکترون هایشان است. در فلزات به دلیل پیوند خاص اتمی شان، برخی از الکترون های هر یک از اتم ها "آزاد" هستند؛ یعنی پیوندی با هیچ اتم خاصی ندارند. به عبارت بهتر، الکترون های آزاد، به بخش های بیرونی اتم ها تعلق دارند و به دلیل اتصال سست شان، به سادگی جدا می شوند. این الکترون ها، همچون ذرات گاز در یک ظرف در بسته، در حجم فلز سرگردان هستند و به محض ایجاد کمبود یا ازدیاد الکترون در یک سر رسانا، سریعاً اضافه یا کمبود بار را در تمام بخش های رسانای فلزی پخش می کنند.

(۱) فعلاً با واژه ی تعادل کنار بیاید، تا بعدها که به مفهوم آن می پردازیم!

چنانچه توجه کرده باشید، در تمامی آزمایش‌هایی که تاکنون با آنها سروکار داشته‌ایم، روشی خاص برای باردار کردن اجسام پیشنهاد شده بود: مالش دادن. فرایند دیگری که برای باردار کردن اجسام وجود دارد "القا کردن" است.

### القا کردن

برای باردار کردن یک کره‌ی رسانا به روش القا کردن، مطابق شکل ۵-۱ عمل می‌کنیم، ابتدا یک میله‌ی شیشه‌ای باردار را که احتمالاً بار خود را از طریق مالش به دست آورده است به کره‌ی نارسانایی که روی پایه‌ی نارسانایی قرار دارد، نزدیک می‌کنیم (شکل ۵-۱ الف).



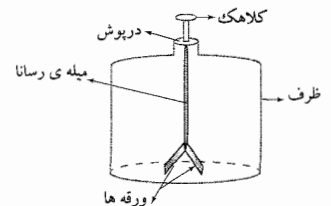
شکل ۵-۱ مراحل باردار کردن یک کره‌ی رسانا از طریق روش القا.

گفتیم که بار شیشه مثبت است، این بار مثبت الکترون‌های آزاد سمت نزدیک جسم را جذب می‌کند و در سمت دور آن کمبود الکترون باقی می‌گذارد (شکل ۵-۱ ب). ازدیاد الکترون در سمت نزدیک میله بار منفی و کمبود آن در سمت دور از میله بار مثبت ایجاد خواهد کرد. اگر در این لحظه، سمت دورتر از میله‌ی رسانا را موقتاً به زمین وصل کنیم، بار مثبت آن سمت با الکترون‌هایی که از زمین به جسم منتقل می‌شوند و کمبود الکترون آن سمت را جبران می‌کنند، خنثی می‌شود؛ به عبارت بهتر بار مثبت به زمین منتقل می‌گردد (مطابق شکل ۵-۱ پ). این کار فلز را با مقداری بار خالص منفی باقی می‌گذارد. اگر کره‌ی رسانا را بعد از قطع شدن از زمین از میله‌ی شیشه‌ای دور کنیم، بار منفی باقی‌مانده بر روی آن در سرتاسر آن توضیح خواهد شد (شکل ۵-۱ ت).

### دو وسیله‌ی الکتریکی: الکتروسکوپ - وان دوگراف

#### الکتروسکوپ

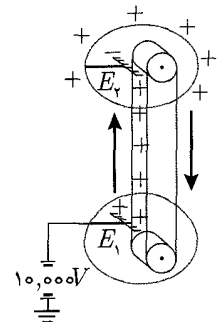
یکی از وسایل آزمایشگاهی ساده و پرکاربردی که برای مطالعه‌ی باردار بودن یا نبودن اجسام و همچنین تشخیص نوع بارشان - مثبت و منفی بودن بار - استفاده می‌شود، الکتروسکوپ است. الکتروسکوپ از یک ظرف شیشه‌ای، دو ورقه‌ی نازک رسانا - از جنس مس، آلومینیوم و غیره، یک میله‌ی رسانا - که ورقه‌ها به آن لولا شده‌اند، و یک درپوش برای ظرف تشکیل شده است (شکل ۶-۱).



شکل ۶-۱ الکتروسکوپ و اجزای آن.

فرض کنید یک میله‌ی پلاستیکی را که با پارچه‌ی پشمی مالش داده شده است (و دارای بار منفی است)، به قسمت کلاهدک الکتروسکوپ نزدیک کنیم، به دلیل نیروی دافعه‌ی بین الکترون‌ها، برخی الکترون‌های آزاد قسمت بالایی میله‌ی رسانا به راه افتاده و به سمت پایین - ورقه‌ها، حرکت می‌کنند تا از بار منفی میله‌ی پلاستیکی تا حد ممکن فاصله بگیرند؛ بدین ترتیب ورقه‌ها دارای بار همان منفی می‌شوند. این بار، موجب نیروی دافعه‌ی بین دو ورقه می‌شود که سبب باز شدن ورقه‌ها (افزایش زاویه‌ی بین آنها) می‌شود. این کار، باردار بودن یا نبودن جسم نزدیک کلاهدک را مشخص می‌کند. در این آزمایش وقتی میله را از کلاهدک دور کنیم، طبیعتاً از آنجا که الکتروسکوپ بی‌بار است، ورقه‌ها به حالت اولیه‌ی تعادلی خود باز می‌گردند. اما در صورتی که میله را به الکتروسکوپ تماس دهیم، در محل تماس میله با کلاهدک مقداری از بار میله به الکتروسکوپ منتقل می‌شود و ورقه‌ها منحرف می‌شوند. در این حالت اگر میله را از الکتروسکوپ دور کنیم، از آنجا که بقیه‌ی بار روی میله، که روی میله در جای خود باقی مانده بود، به نوبه‌ی خود موجب انحراف ورقه‌ها از هم می‌شد، با دور شدن میله انحراف ورقه‌ها کمتر می‌شود ولی ورقه‌ها به حالت اولیه‌ی خود باز نمی‌گردند. با این کار، الکتروسکوپ باردار شد. حال اگر بار دیگر این کار را با همان میله‌ی پلاستیکی باردار انجام دهیم. مشاهده می‌کنیم که انحراف ورقه‌ها بیشتر می‌شود. این نشان می‌دهد که انحراف ورقه‌های الکتروسکوپ و در نتیجه نیروی الکتریکی بین دو ورقه، با افزایش بار الکتروسکوپ بیشتر می‌شود. در نتیجه رابطه‌ی مستقیم بین نیروی الکتریکی و بار الکتریکی، به طور تجربی قابل مشاهده است.

**سؤال:** راهی پیدا کنید تا به وسیله‌ی آن با استفاده از یک الکتروسکوپ خنثی، یک میله‌ی پلاستیکی با بار منفی و یک میله‌ی رسانا با دسته‌ی عایق، بدون تماس میله‌ی پلاستیکی به هیچ یک از دو جسم دیگر، میله‌ی رسانا را باردار کنیم. در این حالت، آیا می‌توانید بار میله را تعیین کنید که مثبت است یا منفی؟ بار دو جسم دیگر را چطور؟



شکل ۷-۱ مولد وان دوگراف

### مولد وان دوگراف

وان دوگراف دستگاهی است که می‌تواند مقدار زیادی الکتریسته ساکن تولید کند. این مولد نقاله پهنی درون خود دارد که میان یک ستون حرکت می‌کند تا بار الکتریکی ایجاد کند. بارهای تولید شده توسط این نقاله، درون گنبدی در بالای این مولد تجمع می‌کنند و به دنبال راهی برای فرار هستند. این تجمع بارهای منفی گاهی به واسطه‌ی یک صاعقه‌ی کوچک الکتریکی از طریق هوا به یک جسم رسانای متصل به زمین و یا مستقیماً به خود زمین منتقل می‌شوند (شکل ۷-۱).

### چند مثال

اگر به سرعت در راهروی مفروش راه بروید، در حالی که جوراب به پا دارید و سپس با شخصی دست بدهید و یا دستگیره فلزی دری را بگیرید تا آن را باز کنید، غالباً جرقه‌ای ملموس بین دستتان و دیگری احساس خواهید کرد؛ علت این امر چیست؟

**حل.** علت این امر را می‌توان در آزمایش گلوله‌ی کاغذی جست‌وجو کرد. در این آزمایش، گفتیم که بر اثر مالش میله‌ی شیشه‌ای یا پلاستیکی با پارچه‌های ابریشمی یا پشمی، می‌توان آن را باردار

### مثال ۱

کرد. زمانی که با سرعت بر روی فرض راه می‌روید، الیاف پلاستیکی موجود در جوراب شما به الیاف نخی فرش (ابریشمی یا پشمی) مالیده و باردار می‌شود. بنابراین زمانی که شما دستگیره‌ی در را لمس می‌کنید، به علت رسانا بودن انسان، این بار الکتریکی تمایل دارد که در شما جریان یابد و به دستگیره در نیز منتقل شود. در این انتقال بار، جرقه‌ای بین دست شما و دستگیره در زده می‌شود. شما ممکن است نظیر این جرقه را هنگام اتصال سیم‌های ماشین برای روشن کردن آن - یا همان استارت زدن - دیده باشید.

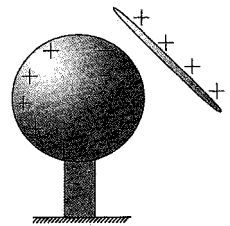
شخصی که روی چهار پایه‌ی عایق‌بندی شده‌ی ایستاده است، رسانای بارداری را که روی پایه‌ی عایقی قرار دارد لمس می‌کند. آیا رسانا کاملاً تخلیه می‌شود؟  
**حل.** چون رسانا بر روی پایه‌ی نارسانا قرار دارد، باری به زمین انتقال نمی‌یابد. هنگامی که شخص، رسانا را لمس می‌کند، چون انسان نیز رساناست، می‌توان مجموعه‌ی انسان و رسانای باردار را به عنوان یک رسانای بزرگ‌تر در نظر گرفت که در نتیجه بار روی تمام آن پخش می‌شود (و چون توسط دو نارسانا از زمین جدا شده‌اند، باری به زمین انتقال نمی‌یابد). بنابراین رسانا تخلیه نمی‌شود و مقداری از بار اولیه بر رویش باقی می‌ماند.

مثال ۲

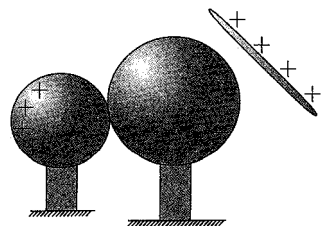
دو کره‌ی فلزی که بر روی پایه‌های نارسانای قابل حملی سوارند، در دست‌اند. راهی پیدا کنید که در آن کره‌ها دارای بار مساوی و با علامت مخالف بشوند. برای این کار می‌توانید از یک میله‌ی شیشه‌ای که با ابریشم مالش داده شده است، استفاده کنید ولی نباید آن را با کره‌ها تماس دهید. آیا اندازه‌ی این کره‌ها یکسان باید باشد تا روش شما مؤثر واقع شود؟

مثال ۳

**حل.** در اینجا، سه جسم داریم. دو کره‌ی فلزی بدون بار و یک میله‌ی شیشه‌ای با بار مثبت و می‌دانیم که نمی‌توانیم میله‌ها را به کره‌ها تماس دهیم. از آنجایی که برای انتقال بارهای کوچک، باید اجسام با هم تماس پیدا کنند، پس باید کاری کنیم که از طریق تماس کره‌ها باری بین آنها انتقال یابد. با این کار چون کره‌ها با هیچ جسم دیگری امکان مبادله‌ی بار ندارند، پس دارای بارهای مساوی و مخالف هم می‌شوند. در بخش باردار کردن به روش القا دیدیم که اگر مقداری بار الکتریکی را به یک جسم فلزی - در اینجا یک کره‌ی فلزی - نزدیک کنیم، جسم رسانا به طور موضعی باردار می‌شود، یعنی یک سمت آن دارای بار مثبت، و سمت دیگر آن دارای بار منفی می‌شود<sup>۱</sup> (شکل ۸-۱). نکته‌ی این سؤال در همین ویژگی‌ای است که رساناها حین القا از خود نشان می‌دهند، اگر دو کره را به هم بچسبانیم و سپس میله‌ی شیشه‌ای را که دارای بار الکتریکی مثبت است مطابق شکل ۸-۱ از یک سمت به آنها نزدیک کنیم، بر اثر القا شدن، کره‌ی سمت راست دارای بار منفی و کره‌ی سمت چپ دارای بار مثبت می‌شود. حال اگر در این وضعیت - در حالی که میله همچنان نزدیک کره است، کره‌ی سمت چپ را جدا و از بقیه دور کنیم، و سپس میله را دور کنیم، دو کره خواهیم که یکی دارای بار مثبت و دیگری دارای همان مقدار بار با علامت منفی می‌شود. با توجه به نحوه‌ی آزمایش مشخص است که اندازه‌ی کره‌ها هیچ اهمیتی ندارد و تنها رسانا بودن آنها، شرطی است کافی.



شکل ۸-۱ باردار شدن موضعی یک جسم رسانا.



شکل ۹-۱ باردار کردن هم‌زمان دو کره با استفاده از یک میله‌ی باردار.

(۱) این پدیده به اثر القایندگی معروف است.



## مثال ۲

در سؤال قبل، راهی پیدا کنید که در آن کره‌ها دارای بارهای مساوی با علامت یکسان بشوند. آیا در این حالت نیز نیازی به یکسان بودن اندازه‌ی کره‌ها نیست؟

**حل.** با استفاده از روش گفته شده در پاسخ سؤال پیشین دو کره‌ی رسانا را باردار می‌کنیم. حال با تماس دست به یکی از کره‌ها، آن را خنثی می‌کنیم (البته اگر از روی چهارپایه‌ی عایق پایین آمده باشیم!). اگر کره‌ی خنثی و کره‌ی باردار را با هم تماس دهیم، دو کره با هم مبادله‌ی بار می‌کنند. اگر اندازه‌ی دو کره متفاوت باشد، نمی‌توان گفت که بار به صورت مساوی بین آنها تقسیم می‌شود، ولی اگر یکسان باشند، چون تفاوتی با هم ندارند، بارشان نیز نمی‌تواند متفاوت باشد، بنابراین می‌توان گفت که بار کره‌ی باردار به صورت یکنواخت در کل دو کره پخش می‌شود و در نتیجه کره‌ها دارای بارهای مساوی و هم‌علامت می‌شوند. در اینجا می‌بینیم که یکسان بودن اندازه‌ی کره‌ها الزامی است.

## قانون کولن



تا به این نقطه از بحث، ما با بار الکتریکی و نیروی بین بارهای الکتریکی سروکار داشتیم. اما صرفاً تعریفی کیفی از نیروی الکتریکی نمی‌تواند پاسخ‌گوی نیاز ما در فیزیک باشد و بایستی در پی روابط کمی باشیم. با توجه به آنچه تا اینجا گفته شده می‌دانیم که نیروی الکتریکی که بین دو جسم باردار وجود دارد با میزان بار آن جسم رابطه‌ی مستقیم دارد، یعنی با بیشتر شدن بار یک جسم، نیرویی که به آن وارد می‌شود هم بیشتر می‌شود. همچنین دیده می‌شود که این رابطه برای فاصله‌ی بین دو جسم باردار، معکوس است. یعنی با افزایش فاصله‌ی دو جسم باردار، نیرویی که آن دو به یکدیگر وارد می‌کنند، کاهش می‌یابد. (آزمایشی مانند آزمایش‌های بخش پیشین برای بررسی این موضوع طرح کنید)، سپس نیروی الکتریکی با مقدار بار آنها نسبت مستقیم و با فاصله‌ی بین‌شان نسبت عکس دارد. شارل کولن<sup>۱</sup>، فیزیک‌دان فرانسوی با آزمایشاتی که انجام داد<sup>۲</sup>، مشاهده کرد که اگر فاصله‌ی بین دو بار نقطه‌ای نامشخص ولی ثابت با نام‌های  $q_1$  و  $q_2$  دو برابر شود، نیروی الکتریکی بین آنها یک‌چهارم برابر می‌شود. او از این نتیجه چنین استدلالت کرد که نیروی الکتریکی بین دو بار نقطه‌ای ( $F$ )، با عکس مجذور فاصله‌ی بین آنها ( $r$ ) متناسب است. ( $F \propto \frac{1}{r^2}$ )

کولن برای پیدا کردن رابطه‌ی نیرو با مقدار بارها هم آزمایش مشابهی انجام داد. ابتدا بار روی گلوله‌ی اول  $q_1$  را نصف کرد و مقدار نیروی وارده بر گلوله‌های دیگر را اندازه گرفت، و بار دیگر بار گلوله‌های دیگر (مثلاً  $q_2$ ) را نصف کرد و اثر آن را بررسی کرد و مشاهده کرد که نیرو باز هم نصف شد. او از این مشاهدات نتیجه گرفت که مقدار نیرو ( $F$ ) با مقدار بارهای  $q_1$  و  $q_2$  رابطه‌ی خطی دارد ( $F \propto q_1 q_2$ ). با استفاده از نتایج این آزمایشات او قانون مربوط به نیروی اندرکنش دو بار نقطه‌ای خود را چنین بیان داشت:

$$F \propto \frac{q_1 q_2}{r^2} \Rightarrow F = k \frac{q_1 q_2}{r^2}$$

در این رابطه که به قانون کولن معروف است،  $k$  ثابتی است که در سیستم‌های مختلف اندازه‌گیری

متفاوت است. این نیرو در راستای خط واصل دو بار است و جهت آن برای دو بار هم نام (یعنی دو بار مثبت یا دو بار منفی) به سمت خارج خط واصل دو بار (نماد نیروی دافعه) و برای دو بار غیرهم نام (یعنی بار مثبت - بار منفی) به سمت داخل (نماد نیروی جاذبه) است.

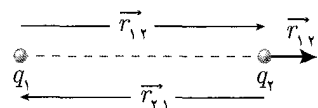
برای استفاده از رابطه‌ی کولن و تعیین مقدار ثابت  $k$ ، نیاز داریم که واحدی برای مقدار بار الکتریکی تعیین کنیم. یکای بار در دستگاه یکاهای بین‌المللی (SI) کولن (C) است. کولن یکای فرعی است و از یکاهای اصلی SI محسوب نمی‌شود. حال با این یکا و با در نظر گرفتن یکای فاصله به متر، مقدار  $k$  در SI به دست می‌آید.  $k$  برابر است با نیرویی که دو بار یک کولنی که به فاصله‌ی یک متر از هم قرار دارند، به هم وارد می‌کنند. مقدار  $k$  حدوداً برابر با  $9 \times 10^9$  و واحد آن با توجه به قانون کولن  $\text{N.m}^2/\text{C}$  است. به بیان دیگر  $k$  برابر با  $\frac{1}{4\pi\epsilon_0}$  است که در آن  $\epsilon_0$  ضریب تراوایی الکتریکی خلا است. در این کتاب، ضریب فوق به هر دو شکل نمایش داده شده است.

شکل برداری قانون کولن به این صورت نوشته می‌شود:

$$\vec{F}_{12} = \frac{kq_1q_2}{r_{12}^2} \hat{r}_{12}$$

$$\vec{F}_{21} = \frac{kq_1q_2}{r_{21}^2} \hat{r}_{21}$$

$\hat{r}_{12}$  بردار یکه‌ی بردار واصل از بار ۱ به بار ۲ می‌باشد،  $\hat{r}_{21}$  هم برعکس.



شکل ۱-۱۰ فاصله‌ی بار ۱ از ۲ و  $r_{12}$  فاصله‌ی بار ۲ از ۱ است که  $r_{12} = r_{21}$  است و در حالت برداری  $\vec{r}_{12} = -\vec{r}_{21}$  و  $\hat{r}_{12} = -\hat{r}_{21}$ .

## چند مثال برای قانون کولن



دو بار نقطه‌ای  $q_1$  و  $q_2$  را به فاصله‌ی  $l$  از هم نگه داشته‌ایم. طوری که مکان آنها ثابت باقی بماند. بار سوم  $q_3$  را مطابق شکل ۱-۱۱ روی خط واصل  $q_1$  و  $q_2$  قرار می‌دهیم. مقدار بار  $q_2$  را بر حسب  $q_1$  به دست آورید، به صورتی که بار  $q_3$  در حال تعادل باشد.

**حل.** به بار  $q_3$  دو نیرو توسط  $q_1$  و  $q_2$  اعمال می‌شود. با استفاده از قانون کولن داریم:

$$\vec{F}_{13} = \frac{kq_1q_3}{r_{13}^2} \hat{r}_{13} = \frac{kq_1q_3}{4l^2} \hat{r}_{13}$$

$$\vec{F}_{23} = \frac{kq_2q_3}{r_{23}^2} \hat{r}_{23} = \frac{kq_2q_3}{l^2} \hat{r}_{23}$$

بار  $q_3$  در تعادل است. بنابراین برآیند نیروهای وارد بر آن بایستی صفر باشد. داریم:

$$\sum \vec{F}_{q_3} = 0 \rightarrow \frac{kq_1q_3}{4l^2} \hat{r}_{13} + \frac{kq_2q_3}{l^2} \hat{r}_{23} = 0$$

از طرفی  $\hat{r}_{23} = \hat{r}_{13}$  بنابراین:

$$\frac{kq_3}{l^2} \hat{r}_{13} \left( \frac{q_1}{4} + q_2 \right) = 0 \xrightarrow{q_3 \neq 0} \frac{q_1}{4} + q_2 = 0$$

$$\rightarrow q_2 = -\frac{q_1}{4}$$

### مثال ۵



شکل ۱-۱۱

مثال ۶

چهار بار نقطه‌ای مطابق شکل در چهار رأس یک مربع ثابت نگه داشته شده‌اند.  $q = 1 \times 10^{-8} \text{C}$  و  $a = 10 \text{cm}$  است. بردار نیروی الکتریکی وارد بر بار سمت راست بالا را حساب کنید. حل. از قانون کولن استفاده می‌کنیم:

$$\vec{F}_{12} = \frac{kq_1q_2}{r_{12}^2} \hat{r}_{12}$$

بارها را مطابق شکل ۱۲-۱ شماره‌گذاری می‌کنیم. نیروی الکتریکی برآیند وارد بر بار ۱ (سمت راست بالا) برابر با مجموع سه نیرویی است که سه بار واقع در سه رأس بر آن وارد می‌کنند، داریم:

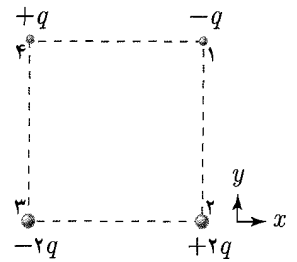
$$\begin{aligned} \sum \vec{F}_1 &= \vec{F}_{21} + \vec{F}_{31} + \vec{F}_{41} \\ &= \frac{k(-q)(+2q)}{a^2} \hat{r}_{21} + \frac{k(-q)(-2q)}{(\sqrt{2}a)^2} \hat{r}_{31} + \frac{k(-q)(q)}{a^2} \hat{r}_{41} \end{aligned}$$

طبق دستگاه مختصات مشخص شده، که در صورت مسئله داده شده است، بردارهایی که بدین ترتیب هستند

$$\hat{r}_{21} = \hat{j}, \hat{r}_{41} = \hat{i}$$

$$\hat{r}_{31} = |\hat{r}_{31}| \cos 45^\circ \hat{i} + |\hat{r}_{31}| \sin 45^\circ \hat{j} = \frac{\sqrt{2}}{2} \hat{i} + \frac{\sqrt{2}}{2} \hat{j}$$

$$\begin{aligned} \Rightarrow \sum \vec{F}_1 &= \frac{kq^2}{a^2} \left[ -2\hat{j} + \frac{2}{2} \left( \frac{\sqrt{2}}{2} \hat{i} + \frac{\sqrt{2}}{2} \hat{j} \right) - \hat{i} \right] \\ &= \frac{kq^2}{a^2} \left[ \left( \frac{\sqrt{2}}{2} - 1 \right) \hat{i} + \left( \frac{\sqrt{2}}{2} - 2 \right) \hat{j} \right] \\ &= \frac{9 \times 10^9 \times (1 \times 10^{-8})^2}{(0.1)^2} \left[ \left( \frac{\sqrt{2}}{2} - 1 \right) \hat{i} + \left( \frac{\sqrt{2}}{2} - 2 \right) \hat{j} \right] \\ \sum \vec{F}_1 &= (-2.64\hat{i} - 11.64\hat{j}) \times 10^{-5} \text{N} \end{aligned}$$

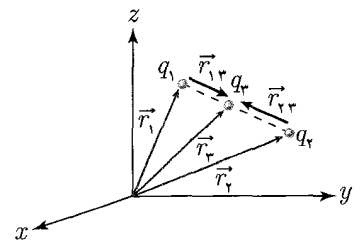


شکل ۱۲-۱

دو بار مثبت  $q_1$  و  $q_2$  در نقاط  $\vec{r}_1$  و  $\vec{r}_2$  قرار داده شده است. بار  $q_3$  و بردار  $\vec{r}_3$  را طوری تعیین کنید که اگر  $q_3$  را در محل  $\vec{r}_3$  قرار دهیم، نیروی وارد بر هر سه بار صفر شود.

حل. نیروی کل وارد بر هر یک از بارها را با استفاده از قانون کولن حساب می‌کنیم و برابر صفر قرار می‌دهیم تا هر کدام در حال تعادل باشند. از آنجا که نیروی الکتریکی بین دو بار نقطه‌ای در راستای خط واصلشان به آنها وارد می‌شود، صفر شدن نیروی برآیند وارد بر هر یک از بارها تنها در صورتی ممکن می‌شود که دو نیرویی که از سوی دو بار دیگر بر آن وارد می‌شود، در یک راستا باشند، این امر تنها هنگامی محقق می‌شود که هر سه بار روی یک خط قرار داشته باشند. همان طور که از شکل ۱۳-۱ مشخص است، از آنجا که هر دو بار  $q_1$  و  $q_2$  مثبت هستند، و نیروی وارده از آنها بر بار  $q_3$  از یک جنس است. برای صفر شدن نیروی وارد بر بار ۳، این بار باید میان دو بار دیگر واقع شود.

مثال ۷



شکل ۱۳-۱

برای برآیند نیروی وارد بر  $q_3$  داریم:

$$\sum \vec{F}_3 = \frac{kq_1q_3}{r_{13}^2} \hat{r}_{13} + \frac{kq_1q_2}{r_{23}^2} \hat{r}_{23} = 0 \quad (1)$$

و همچنین برای بردارهای  $\vec{r}_{23}$  و  $\vec{r}_{13}$ ، اندازه‌های آنها و بردارهای یک‌شان داریم:

$$\vec{r}_{13} = \vec{r}_3 - \vec{r}_1 \Rightarrow r_{13} = |\vec{r}_3 - \vec{r}_1|, \quad \hat{r}_{13} = \frac{\vec{r}_{13}}{|\vec{r}_{13}|} = \frac{\vec{r}_3 - \vec{r}_1}{|\vec{r}_3 - \vec{r}_1|}$$

در مورد  $r_{23}$  و بردار یک‌ه‌ی آن  $\hat{r}_{23}$  هم اوضاع از همین قرار است. با توجه به این اطلاعات عبارت (۱) به شکل زیر در می‌آید:

$$\frac{q_1}{|\vec{r}_3 - \vec{r}_1|^3} (\vec{r}_3 - \vec{r}_1) + \frac{q_2}{|\vec{r}_3 - \vec{r}_2|^3} (\vec{r}_3 - \vec{r}_2) = 0 \quad (2)$$

از طرفی، همان طور که در شکل مشخص است، بردارهای یک‌ه‌ی  $\hat{r}_{13}$  و  $\hat{r}_{23}$  روی یک خط و در خلاف جهت هم قرار گرفته‌اند. بنابراین داریم:

$$\frac{\vec{r}_3 - \vec{r}_1}{|\vec{r}_3 - \vec{r}_1|} = - \frac{\vec{r}_3 - \vec{r}_2}{|\vec{r}_3 - \vec{r}_2|} \quad (3)$$

با استفاده از رابطه‌ی (۳)، رابطه‌ی (۲) به شکل زیر نوشته می‌شود:

$$\frac{q_1}{|\vec{r}_3 - \vec{r}_1|^2} - \frac{q_2}{|\vec{r}_3 - \vec{r}_2|^2} = 0$$

از آنجا که  $q_1$  و  $q_2$  کمیت‌هایی با مقدار مثبت هستند، می‌توان از این عبارت به ترتیب زیر جذر گرفت:

$$q_1, q_2 > 0 \Rightarrow \frac{\sqrt{q_1}}{|\vec{r}_3 - \vec{r}_1|} = \frac{\sqrt{q_2}}{|\vec{r}_3 - \vec{r}_2|} \quad (4)$$

از آنجا که خواسته‌ی ما بردار مکان بار  $q_3$  یعنی  $\vec{r}_3$  است، با استفاده از رابطه‌ی (۳)، رابطه‌ی (۴) را به ترتیب زیر می‌نویسیم:

$$\begin{aligned} \frac{\sqrt{q_1}}{|\vec{r}_3 - \vec{r}_1|} \times \frac{|\vec{r}_3 - \vec{r}_1|}{\vec{r}_3 - \vec{r}_1} &= \frac{\sqrt{q_2}}{|\vec{r}_3 - \vec{r}_2|} \times - \frac{|\vec{r}_3 - \vec{r}_2|}{\vec{r}_3 - \vec{r}_2} \\ \Rightarrow \frac{\vec{r}_3 - \vec{r}_1}{\sqrt{q_1}} &= - \frac{\vec{r}_3 - \vec{r}_2}{\sqrt{q_2}} \\ \Rightarrow \vec{r}_3 &= \frac{\sqrt{q_1} \vec{r}_2 + \sqrt{q_2} \vec{r}_1}{\sqrt{q_1} + \sqrt{q_2}} \end{aligned} \quad (5)$$

و بدین ترتیب بردار  $\vec{r}_3$  بر حسب دو بردار و دو بار دیگر تعیین می‌شود.

برای به‌دست آوردن بار  $q_3$ ، بایستی معادله‌ی تعادل را برای بار دیگری، مثلاً بار  $q_1$  بنویسیم:

$$\sum \vec{F} = \frac{kq_1q_2}{|\vec{r}_2 - \vec{r}_1|^2} (\vec{r}_2 - \vec{r}_1) + \frac{kq_1q_3}{|\vec{r}_3 - \vec{r}_1|^2} (\vec{r}_3 - \vec{r}_1) = 0$$

$$\Rightarrow \frac{q_2}{|\vec{r}_2 - \vec{r}_1|^3} (\vec{r}_2 - \vec{r}_1) + \frac{q_3}{|\vec{r}_3 - \vec{r}_1|^3} (\vec{r}_3 - \vec{r}_1) = 0 \quad (6)$$

$$\begin{aligned} \vec{r}_3 - \vec{r}_1 &= \frac{\sqrt{q_1} \vec{r}_2 + \sqrt{q_2} \vec{r}_1 - (\sqrt{q_1} + \sqrt{q_2}) \vec{r}_1}{\sqrt{q_1} + \sqrt{q_2}} \\ &= \frac{\sqrt{q_1}}{\sqrt{q_1} + \sqrt{q_2}} \cdot (\vec{r}_2 - \vec{r}_1) \end{aligned} \quad (7)$$

$$\Rightarrow |\vec{r}_3 - \vec{r}_1| = \frac{\sqrt{q_1}}{\sqrt{q_1} + \sqrt{q_2}} |\vec{r}_2 - \vec{r}_1| \quad (8)$$

با جایگذاری دو عبارت (۷) و (۸) در رابطه‌ی (۶)، پس از ساده‌سازی عبارت حاصله، داریم:

$$\begin{aligned} q_2 + \frac{q_3}{\left(\frac{\sqrt{q_1}}{\sqrt{q_1} + \sqrt{q_2}}\right)^3} \cdot \frac{\sqrt{q_1}}{\sqrt{q_1} + \sqrt{q_2}} &= 0 \\ \Rightarrow q_3 &= \frac{-q_1 q_2}{(\sqrt{q_1} + \sqrt{q_2})^2} \end{aligned}$$

و بدین ترتیب بار  $q_3$  بر حسب دو بار  $q_1$  و  $q_2$  به دست می‌آید.

## میدان الکتریکی

احتمالاً تاکنون توجه کرده‌اید که در طبیعت هیچ فعل و انفعالی بدون برقرار بودن یک پل ارتباطی میان دو طرف، انجام نمی‌شود. در قسمت‌های قبل دیدیم که دو جسم باردار، به یکدیگر نیروی الکتریکی وارد می‌کنند؛ ولی در عمل، پل ارتباطی‌ای میان دو جسم مشاهده نکردیم. پس نیروی الکتریکی چگونه و از چه طریقی می‌تواند از یک جسم باردار به دیگری منتقل شود؟ هنگامی که یک بار الکتریکی (یا جسمی باردار) را در فضا قرار می‌دهیم، این بار موجب ایجاد خاصیتی در آن نقطه و نقاط پیرامون آن می‌شود. به گونه‌ای که اگر بار الکتریکی دیگری را در این منطقه قرار دهیم، نیروی مشخصی را تجربه می‌کند. چنین خاصیتی، که توسط یک بار الکتریکی در فضای پیرامون آن ایجاد می‌شود، با مفهومی به نام «میدان الکتریکی» توجیه می‌شود، هر بار الکتریکی در فضای اطراف خود میدان الکتریکی ایجاد می‌کند و به هر بار الکتریکی دیگری که در این فضا قرار گیرد، نیروی متناسب با مقدار میدان الکتریکی در آن نقطه وارد خواهد شد. بنابراین، میدان الکتریکی رابطی میان بارهای الکتریکی است، که به موجب آن بارها بر هم نیرو وارد می‌کنند.

بار  $\leftrightarrow$  میدان الکتریکی  $\leftrightarrow$  بار

بنابراین، در فضایی که بارهای الکتریکی وجود داشته باشند، میدان الکتریکی حضور دارد. این میدان در هر نقطه، اندازه و جهتی دارد. در حقیقت، میدان الکتریکی، میدانی از بردارهاست که با  $\vec{E}$  نشان داده می‌شود. میدان  $\vec{E}$ ، در هر نقطه برابر با نیروی الکتریکی  $\vec{F}$  وارد بر واحد بار الکتریکی تعریف می‌شود. یعنی:

$$\vec{E} = \frac{\vec{F}}{q_0}$$

یعنی هنگامی که آرایش ثابتی از بارهای الکتریکی در فضا وجود دارد که میدانی را در فضا به وجود آورده‌اند، برای محاسبه‌ی میدان در یک نقطه، بار آزمون  $q_0$  را به نقطه‌ی مورد نظر می‌بریم و نیروی وارده بر آن ( $\vec{F}$ ) را مشاهده می‌کنیم. میدان در این نقطه ( $\vec{E}$ ) برابر نیروی وارد بر واحد بار در آن نقطه است. چنانچه این کار برای تمام نقاط فضا انجام شود، میدان الکتریکی فضا به دست آمده است.

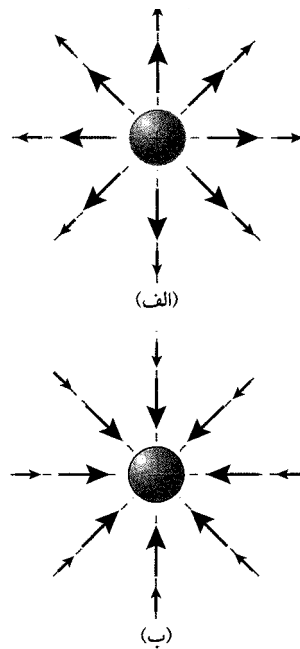
فرض کنید بار نقطه‌ای  $q$  در مبدأ مختصات (نقطه‌ی  $(0, 0, 0)$ ) قرار گرفته است. برای محاسبه‌ی  $\vec{E}$  در هر نقطه، بایستی از بار آزمون استفاده کنیم. بار آزمون  $q_0$  را در نقطه‌ی دلخواهی در مختصات کروی  $(r, \theta, \varphi)$  قرار می‌دهیم. نیروی وارد بر آن، با توجه به قانون کولن برابر است با:

$$\vec{F} = k \frac{qq_0}{r^2} \cdot \hat{r}$$

بنابراین میدان الکتریکی در این نقطه با این رابطه به دست می‌آید:

$$\begin{aligned} \vec{E} &= k \frac{qq_0}{r^2} \cdot \hat{r} \times \frac{1}{q_0} \\ &= k \frac{q}{r^2} \cdot \hat{r} \end{aligned}$$

این رابطه مستقل از زوایای  $\theta$  و  $\varphi$  است و تنها راستای شعاعی ( $r$ ) دارد. اگر بار چشمه (یا  $q$ ) مثبت باشد ( $q > 0$ )،  $\vec{E}$  در جهت  $\hat{r}$  خواهد بود؛ یعنی میدان الکتریکی یک بار مثبت در هر نقطه دلخواه از فضای اطراف آن، در راستای خط واصل میان بار  $q$  و نقطه‌ی مورد نظر، و در جهت دور شدن از آن است. (شکل (الف) ۱۴-۱) اگر بار چشمه منفی باشد ( $q < 0$ )، میدان در همان راستا و در خلاف جهت  $\hat{r}$  خواهد بود. (شکل (ب) ۱۴-۱) به طور کلی، میدانی که یک بار نقطه‌ای در فضا ایجاد می‌کند، به شکل بردارهایی در راستای شعاع کره‌ای فرض می‌شود که بار چشمه در مرکز آن قرار گرفته است.



شکل ۱۴-۱

## برهم‌نهی میدان‌های الکتریکی

اگر تعداد بار نقطه‌ای در فضا حضور داشته باشند، نیروی الکتریکی که بر بار آزمون  $q_0$  وارد می‌شود، برابر با مجموع نیروهایی است که هر کدام از بارهای نقطه‌ای، به طور مستقل، بر بار  $q_0$  وارد می‌کنند. اگر برایند نیروهای وارد بر  $q_0$  با  $\sum \vec{F}_{q_i}$  و نیروی وارده از هر بار  $q_i$  بر بار  $q_0$  با  $\vec{F}_i$  (که  $i$  شماره‌ی بار چشمه است) نشان داده شود، داریم:

$$\sum \vec{F}_{q_0} = \sum_{i=1}^n \vec{F}_i$$

و در مورد میدان الکتریکی در محل بار آزمون  $q_0$  (که هر نقطه‌ی دلخواهی می‌تواند باشد)

داریم:

$$\vec{E} = \frac{\sum \vec{F}_{q_0}}{q_0} = \frac{\sum \vec{F}_i}{q_0} = \frac{\vec{F}_1}{q_0} + \frac{\vec{F}_2}{q_0} + \dots + \frac{\vec{F}_n}{q_0}$$

(۱) توجه کنید، نقطه را با مختصات  $(r, \theta, \varphi)$ ، یعنی در مختصات کروی اعلام کردیم تا همین نکته را یادآور شویم که میدان در راستای شعاعی است.

و از آنجايي که هر کدام از جملات عبارت سمت راست، برابر با ميدان الکتريکي حاصل از هر بار چشمه در مکان بار  $q_0$  است، داريم:

$$\vec{E} = \vec{E}_1 + \vec{E}_2 + \dots + \vec{E}_n = \sum_{i=1}^n \vec{E}_i$$

و اين همان خاصيت برهم نهي ميدانهاي الکتريکي است. ميدان الکتريکي ناشي از يک آرايش بار مشخص در نقطه‌اي از فضا با مجموع برداري ميدان مستقل حاصل تک تک از بارها در آن نقطه برابر است.

در شکل ۱۵-۱، بردار ميدان الکتريکي را در نقطه‌ي  $A$  (مرکز مربع) به دست آوريد.

**حل.** با توجه به اصل برهم نهي ميدانها، داريم:

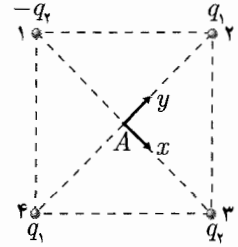
$$\vec{E}_A = \vec{E}_1 + \vec{E}_2 + \vec{E}_3 + \vec{E}_4$$

براي محاسبه‌ي بردار تک تک ميدانها، و سپس جمع برداري آنها، بايستي دستگاه مختصات و مبدأ آن را مشخص کنيم. دستگاه مختصات مناسب، در شکل نشان داده شده است که در نقطه‌ي مرکز و در راستاي قطرهای مربع انتخاب شده است. ميدان ناشي از هر کدام از بارها عبارت است از:

$$\vec{E}_1 = \frac{-kq_2}{\left(\frac{\sqrt{2}}{2}a\right)^2} \hat{i}, \quad \vec{E}_2 = \frac{kq_1}{\left(\frac{\sqrt{2}}{2}a\right)^2} (-\hat{j})$$

$$\vec{E}_3 = \frac{kq_2}{\left(\frac{\sqrt{2}}{2}a\right)^2} (-\hat{i}), \quad \vec{E}_4 = \frac{kq_1}{\left(\frac{\sqrt{2}}{2}a\right)^2} \hat{j}$$

$$\Rightarrow \vec{E}_A = E_1 + E_2 + E_3 + E_4 = \frac{-4kq_2}{a^2} \hat{i}$$



شکل ۱۵-۱

بدین ترتیب، با استفاده از اصل برهم نهي، ميدان ناشي از هر آرايش بار نقطه‌اي قابل محاسبه است. اما در واقعيت، معمولاً بارهايي که با آنها سروکار داريم، نقطه‌اي نيستند، بلکه به شکل اجسام باردار هستند که بار آنها به گونه پيوسته است، مانند سيم يا نخ باردار يا ورق و يا کره‌ي باردار. در اين حالتها، براي ميدان الکتريکي و محاسبات مربوط به آن، مفهومي به نام «چگالي بار الکتريکي» تعريف مي‌شود. چگالي بار الکتريکي در حالت کلي، بار الکتريکي در واحد طول، سطح يا حجم است و اين که کدام يک از اينها انتخاب شود، به شرايط بارگذاري و شکل تأثير آرايش آن در نقاط مورد نياز براي محاسبات بستگي دارد. تعاريف مربوط به هر کدام از انواع چگالي در زير آمده است:

- چگالي بار خطي، که با  $\lambda$  نشان داده مي‌شود، برابر است با مقدار بار موجود در واحد طول.

اين تعريف، با توجه به شکل زير با رابطه‌ي زير داده مي‌شود:

$$\lambda = \lim_{\Delta L \rightarrow 0} \frac{\Delta q}{\Delta L}$$

در صورتي که بار بر روی نخ يا سيم توزيع شده باشد، مي‌توان چگالي بار را خطي در نظر گرفت.



شکل ۱۶-۱

• چگالی بار سطحی،  $\sigma$ ، برابر است با مقدار بار موجود در واحد سطح. با توجه به شکل ۱۷-۱:

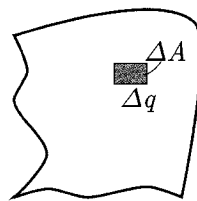
$$\sigma = \lim_{\Delta A \rightarrow 0} \frac{\Delta q}{\Delta A}$$

بار سطحی باری است که روی سطحی مانند یک ورق، یک پوسته‌ی کروی و هر سطح دیگری مانند آنها توزیع شده باشد.

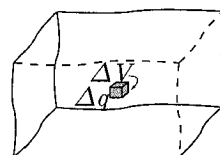
• چگالی بار حجمی،  $\rho$ ، برابر است با مقدار بار موجود در واحد حجم. با توجه به شکل ۱۸-۱:

$$\rho = \lim_{\Delta V \rightarrow 0} \frac{\Delta q}{\Delta V}$$

بار حجمی باری است که در حجمی از جسم پخش شده باشد، مانند بار پخش شده در داخل کره نارسانا.



شکل ۱۷-۱



شکل ۱۸-۱

محاسبه‌ی میدان در توزیع بارهای غیرنقطه‌ای چگونه است؟ این کار با تقسیم جسم باردار به قسمت‌های بسیار کوچکی انجام می‌شود و هر قسمت معادل با یک بار نقطه‌ای با مقدار  $\Delta q$  در نظر گرفته می‌شود؛ در نتیجه این تقسیم‌بندی، میدان الکتریکی در نقطه‌ی دلخواهی از فضا، از برآیند میدان‌های حاصل از هر کدام از بارهای نقطه‌ای فرضی  $\Delta q$  به دست می‌آید. در این حالت، جسم به مجموعه‌ای از تعداد زیادی بار نقطه‌ای تبدیل می‌شود.  $\Delta q$ ، و به عبارت بهتر،  $dq$ ، جزء بار الکتریکی جسم، در توزیع بار خطی از رابطه‌ی  $dq = \lambda \cdot dl$ ، در توزیع بار سطحی از رابطه‌ی  $dq = \sigma dA$  و در توزیع بار حجمی از رابطه‌ی  $dq = \rho dV$  به دست می‌آید. محاسبه‌ی میدان ناشی از هر جزء بار، با توجه به رابطه‌ی میدان الکتریکی در زیر آمده است، میدان ناشی از جزء بار،  $dq$  که در مکان  $\vec{r}$  از فضا واقع است، در نقطه‌ی  $A$ ، واقع در  $\vec{r}_0$ ، برابر است با:

$$d\vec{E} = \frac{k dq}{|\vec{r}_0 - \vec{r}|^3} (\vec{r}_0 - \vec{r}) = \frac{k dq}{|\vec{r}_0 - \vec{r}|^2} \cdot \frac{\vec{r}_0 - \vec{r}}{|\vec{r}_0 - \vec{r}|}$$

که در آن  $|\vec{r}_0 - \vec{r}|^2$  معادل  $r^2$ ، و  $\frac{\vec{r}_0 - \vec{r}}{|\vec{r}_0 - \vec{r}|}$  معادل عبارت  $\hat{r}$  در رابطه‌ی میدان الکتریکی ناشی از بار نقطه‌ای واقع در مبدأ مختصات است.

حال برای به دست آوردن میدان ( $\vec{E}$ ) ناشی از کل توزیع بار جسم در نقطه‌ی  $\vec{r}$  کافیهست اجزای کوچک میدان الکتریکی، یا  $d\vec{E}$ ها را با یکدیگر جمع کنیم. با توجه به پیوسته بودن تقریبی توزیع بار، این مجموع ( $\sum$ ) به جمع انتگرالی تبدیل می‌شود:

$$\vec{E} = \int \frac{k dq}{|\vec{r}_0 - \vec{r}|^3} (\vec{r}_0 - \vec{r})$$

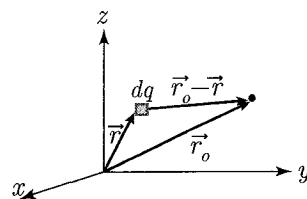
و این انتگرال بر روی تمام جسم انجام می‌شود.

برای هر کدام از انواع توزیع بار، شکل رابطه‌ی انتگرالی با توجه به تفاوت در شکل  $dq$  در زیر آمده است:

$$\vec{E} = \int \frac{k \lambda dL}{|\vec{r}_0 - \vec{r}|^3} (\vec{r}_0 - \vec{r})$$

$$\vec{E} = \iint \frac{k \sigma dA}{|\vec{r}_0 - \vec{r}|^3} (\vec{r}_0 - \vec{r})$$

$$\vec{E} = \iiint \frac{k \rho dV}{|\vec{r}_0 - \vec{r}|^3} (\vec{r}_0 - \vec{r})$$



شکل ۱۹-۱





اگر تابع  $f$  روی مستطیل  $Q = [a, b] \times [c, d]$  پیوسته باشد، آنگاه  $f$  روی  $Q$  انتگرال پذیر است. به علاوه، مقدار انتگرال را می توان با انتگرال گیری مکرر به دست آورد. این انتگرال روی  $Q$  را به شکل زیر نشان می دهند:

$$\iint_Q f = \int_c^d \left[ \int_a^b f(a, b) dx \right] dy = \int_a^b \left[ \int_c^d f(x, y) dy \right] dx$$

می دانیم که اگر  $L$  خطی در صفحه ی یک ورق باشد و  $d(x, y)$  فاصله ی نقطه ی  $(x, y)$  تا خط  $L$  باشد گشتاور لختی ورق حول  $L$  با رابطه ی زیر معلوم می شود:

$$I_L = \iint_S d^2(x, y) dx dy$$

که در آن  $(x, y)$  نقطه ای از صفحه ی  $S$  محسوب می شود. به عنوان مثال گشتاور لختی حول محور  $x$  که با  $I_x$  نشان داده می شود برابر است با:

$$I_x = \iint_S y^2 dx dy$$

و نیز گشتاور لختی قطبی حول مبدأ که با  $I_0$  نمایش داده می شود برابر است با:

$$I_0 = I_x + I_y = \iint_S (x^2 + y^2) dx dy$$

یک ورق نازک با چگالی ثابت  $c$  به دو دایره متحدالمركز به شعاع های  $a$  و  $b$ ،  $b < a$ ،  $c > 0$  به مرکز مبدأ محدود است. می خواهیم گشتاور لختی قطبی آن را محاسبه کنید.

حل.  $I_0$  برای این ورق برابر است با:

$$I_0 = c \iint_S (x^2 + y^2) dx dy$$

که در آن ناحیه ای است که در چنین بازه ای قرار دارد:

$$b^2 \leq x^2 + y^2 \leq a^2$$

$$I_0 = c \iint_{S(a)} (x^2 + y^2) dx dy - c \iint_{S(b)} (x^2 + y^2) dx dy$$

که  $S(a)$  و  $S(b)$  قرص هایی دایره ای شکل به شعاع های  $a$  و  $b$  هستند. نخست برای محاسبه ی انتگرال روی  $S(a)$  می توانیم از انتگرال بی درپی استفاده کنیم:

$$\iint_{S(a)} (x^2 + y^2) dx dy = 4 \int_0^a \left[ \int_0^{\sqrt{a^2 - x^2}} (x^2 + y^2) dy \right] dx = \frac{\pi a^4}{4}$$

همچنین انتگرال روی  $S(b)$  نیز به شکل همین رابطه محاسبه می شود. بنابراین برای گشتاور لختی قطبی داریم:

$$I_0 = \frac{\pi c}{4} (a^4 - b^4) = \pi c (a^2 - b^2) \frac{(a^2 + b^2)}{4} = m \frac{a^2 + b^2}{4}$$

که  $m$  جرم ورق است که با رابطه‌ی زیر محاسبه می‌شود:

$$m = \pi c(a^2 - b^2)$$

مفهوم انتگرال چندگانه را می‌توان از فضای دوبعدی (انتگرال دوگانه) به فضای  $n$  بعدی برای هر  $n \geq 3$  تعمیم داد.  $f$  که «انتگرالده» نامیده می‌شود، یک میدان اسکالر است که روی مجموعه‌ای مانند  $S$  از فضای  $n$  بعدی معین و کراندار است.  $f$  روی  $S$  را انتگرال  $n$  گانه می‌نامند و آن را به شکل زیر مشخص می‌کنند

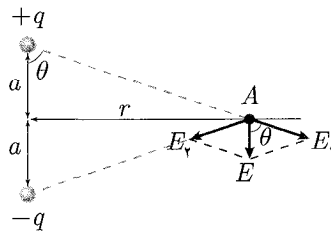
$$\int_S \dots \int f(x_1, \dots, x_n) dx_1 \dots dx_n$$

این انتگرال را یا به صورت  $n$  انتگرال پی‌درپی و یا به صورت انتگرال برداری  $\int_S f(\vec{x}) d\vec{x}$  با یک علامت انتگرال نشان می‌دهند که در آن  $\vec{x} = (x_1, \dots, x_n)$ . انتگرال سه‌گانه وقتی است که  $n = 3$  باشد. در این حالت به جای  $(x_1, x_2, x_3)$  می‌نویسیم  $(x, y, z)$  و آن را به شکل زیر نمایش می‌دهیم

$$\iiint_S f(x, y, z) dx dy dz \quad \text{یا} \quad \iiint_S f$$

## دوقطبی الکتریکی

به مجموعه‌ی دو بار الکتریکی با بارهای مختلف، دوقطبی الکتریکی می‌گویند. دو بار  $+q$  و  $-q$  را در نظر بگیرید. که در فاصله‌ی  $2a$  از هم قرار گرفته‌اند. میدان الکتریکی در نقطه‌ی  $A$  که از فاصله‌ی  $r$  از وسط دو بار و روی عمودمنصف آنها قرار گرفته است را مطابق شکل با برآیندگیری از دو میدان  $\vec{E}_1$  و  $\vec{E}_2$  به دست می‌آوریم.



شکل ۱-۲۰

$$\begin{aligned} \vec{E} &= \vec{E}_1 + \vec{E}_2 \\ E_1 &= E_2 = \frac{1}{4\pi\epsilon_0} \cdot \frac{q}{a^2 + r^2} \\ E &= 2E_1 \cos \theta \\ \cos \theta &= \frac{a}{\sqrt{a^2 + r^2}} \\ \Rightarrow E &= 2 \cdot \frac{1}{4\pi\epsilon_0} \cdot \frac{q}{a^2 + r^2} \cdot \frac{a}{\sqrt{a^2 + r^2}} = \frac{2aq}{4\pi\epsilon_0 (a^2 + r^2)^{3/2}} \end{aligned}$$

بنابراین میدان دوقطبی در نقطه‌ی  $A$  که در فاصله‌ی معقولی از دوقطبی قرار دارد به دست آمد. در صورتی که  $A$  در فاصله‌ی بسیار دورتری از دوقطبی قرار داشته باشد ( $a \ll r$ ). با صرف نظر از ترم‌های مرتبه‌ی دو، میدان تقریبی نقطه‌ی  $A$  را به صورت زیر به دست می‌آوریم:

$$E \cong \frac{1}{4\pi\epsilon_0} \cdot \frac{2aq}{r^3}$$

عبارت  $2aq$  به اندازه‌ی لنگر دوقطبی الکتریکی معروف است و آن را با  $P$  نشان می‌دهند. با این تعریف، عبارت میدان الکتریکی ناشی از دوقطبی در فواصل دور از آن، به شکل زیر نمایش داده می‌شود:

$$E = \frac{1}{4\pi\epsilon_0} \cdot \frac{P}{r^3}$$

توجه کنید که میدان الکتریکی در فواصل دور از دوقطبی با عکس توان سوم فاصله متناسب است. مسئله‌ی دوقطبی بسیاری مواقع در بررسی خواص عایق‌ها و دی‌الکتریک‌ها مطرح می‌شود. لنگر دوقطبی  $\vec{P}$  در جهت خط واصل بار منفی به مثبت آن ( $\vec{d}$ ) است و با رابطه‌ی زیر معلوم می‌شود:

$$\vec{P} = q \cdot \vec{d}$$

مطابق شکل، چنانچه این دوقطبی در میدان الکتریکی یکنواخت  $\vec{E}$  قرار بگیرد، بر هر یک از دو بار نیرویی وارد می‌شود که خلاف جهت هم هستند. دو نیروی وارده هم‌اندازه و در جهت مخالف هم و از دو نقطه اثر متفاوت وارد می‌شوند. بنابراین گشتاور خالصی ایجاد می‌کنند که تمایل بر چرخاندن دوقطبی دارد تا آن را با میدان هم‌جهت سازد. نیروی مؤثر در تولید گشتاور دوقطبی نیروی عمود بر راستای دوقطبی است که بر هر یک از بارها به صورت مجزا از طرف میدان وارد می‌شود. اگر زاویه‌ی راستای دوقطبی با راستای میدان  $\theta$  باشد، گشتاور  $T$  که حول محور گذرنده از مرکز دوقطبی ( $O$ ) وارد می‌شود به صورت زیر است:

$$T = 2 \times \frac{d}{4} \times F_n = d \cdot F \cdot \sin \theta = d \cdot (qE) \cdot \sin \theta = PE \cdot \sin \theta \Rightarrow T = PE \sin \theta$$

عبارت به‌دست آمده برای گشتاور دوقطبی به بیان بهتر همان ضرب خارجی بردارهای لنگر دوقطبی و میدان الکتریکی یکنواختی است که دوقطبی در آن قرار گرفته است.

$$\vec{T} = \vec{P} \times \vec{E}$$

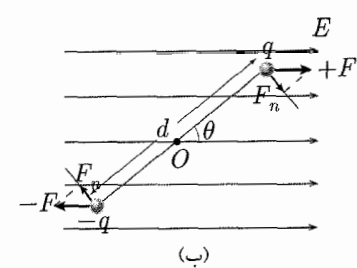
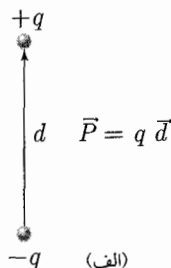
این بردار گشتاور، همان گشتاوری است که تمایل به چرخش دوقطبی و هم‌راستا ساختن آن با میدان یکنواخت  $E$  دارد.

فرض کنید امتداد لنگر دوقطبی با میدان  $E$  زاویه‌ی  $\theta$  می‌سازد و می‌خواهیم آن را به زاویه‌ی  $\theta$  برسانیم. کار لازم برای چنین تغییری در سیستم ذخیره می‌شود. این کار از برآیندگیری گشتاور دوقطبی در جزء تغییر زاویه به‌دست می‌آید. برای محاسبه‌ی کار، داریم:

$$\begin{aligned} W &= \int dW = \int_{\theta_0}^{\theta} T d\theta = \int_{\theta_0}^{\theta} PE \sin \theta \cdot d\theta \\ &= PE [-\cos \theta]_{\theta_0}^{\theta} = PE(\cos \theta_0 - \cos \theta) \end{aligned}$$

اگر مبنای زاویه را  $90^\circ$  در نظر بگیریم، یعنی فرض کنیم زاویه‌ی اولیه‌ی لنگر دوقطبی با میدان  $\frac{\pi}{2}$  است، کار لازم برای ایجاد وضعیت  $\theta$  در این حالت به شکل عبارت زیر است:

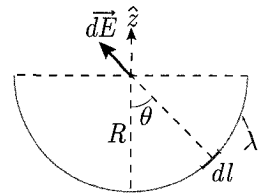
$$W = -PE \cos \theta = -\vec{P} \cdot \vec{E}$$



شکل ۱-۲۱ الف) دوقطبی الکتریکی در میدان الکتریکی یکنواخت. ب) بردار لنگر دوقطبی.



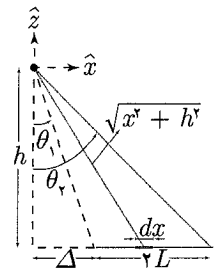
۱. فرض کنید بار با چگالی خطی  $\lambda$  بر روی نیم دایره‌ای به شعاع  $R$  توزیع شده است. می‌خواهیم  $\vec{E}$  را در مرکز نیم دایره بیابیم (شکل ۲۲-۱).



شکل ۲۲-۱

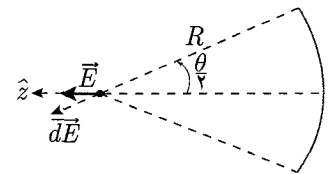
۲. میله‌ای به طول  $2l$  و چگالی بار ثابت  $\lambda$  داریم. می‌خواهیم میدان الکتریکی ناشی از توزیع بار بر روی این میله را در نقطه‌ای به فاصله  $h$ ، که بر روی عمود منصف میله واقع است، به دست آوریم.

۳. در شکل (۲۳-۱)، مثال قبل را تعمیم داده‌ایم. تقارن موجود در آن دیگر وجود ندارد و می‌بایست میان برآیند را هم در جهت افقی و هم در جهت عمودی محاسبه کنیم.



شکل ۲۳-۱ شکل سؤال ۳.

۴. فرض کنید سیمی به شکل قطاعی از دایره به شعاع  $R$  و زاویه  $\theta$ ، حامل چگالی بار خطی  $\lambda$  داشته باشیم. میدان را در مرکز این قطاع می‌خواهیم. (شکل ۲۴-۱)



شکل ۲۴-۱

۵. نیم کره‌ای به شعاع  $R$  دارای چگالی باریکناخت سطحی  $\sigma$  است. می‌خواهیم میدان الکتریکی  $\vec{E}$  را در مرکز نیم کره بیابیم.

۶. میدان حاصل از نیم کره‌ی مثال قبل در نقطه‌ای به فاصله  $R$  بالای مرکز نیم کره چقدر است؟

۷. فرض کنید نقطه‌ای درون کره‌ای به شعاع  $R$  و چگالی بار سطحی یکناخت  $\sigma$  قرار دارد. فاصله‌ی نقطه از مرکز کره  $h$  است. می‌خواهیم میدان را در این نقطه بیابیم.

۸. بار با چگالی بار سطحی ثابت  $\sigma$  بر روی دیسک دایره‌ای شکل به شعاع  $R$  قرار دارد. میدان در نقطه‌ی  $A$  به فاصله  $h$  در بالای مرکز دیسک را بیابید.

۹. بار با چگالی ثابت  $\sigma$  بر روی صفحه‌ی دوبعدی که از هر دو بُعدش تا بی‌نهایت ادامه یافته، پخش شده است. می‌خواهیم میدان را در نقطه‌ای بالای صفحه و به فاصله  $h$  از آن محاسبه کنیم.

۱۰. کره‌ای به شعاع  $R$  دارای چگالی بار حجمی یکناخت  $\rho$  است. می‌خواهیم میدان را در نقطه‌ای به فاصله  $h$  از مرکز کره حساب کنیم.



۱. جزئی کوچک از نیم دایره را در نظر بگیرید که با زاویه  $\theta$  در شکل مشخص شده است. قرینه‌ی این جزء، در زاویه  $-\theta$  وجود دارد که میدان حاصل از آن، با توجه یکنواخت بودن توزیع بار خطی، برابر با  $d\vec{E}$  و دارای مؤلفه‌ای افقی در جهت مخالف و مؤلفه‌ای عمودی برابر با مؤلفه‌ی عمودی  $d\vec{E}$  خواهد داشت.

بنابراین تقارن، هر  $d\vec{E}$  در نهایت تنها مؤلفه‌ی عمودی خود را باقی خواهد گذاشت، و محاسبه‌ی مؤلفه‌ی افقی میدان صفر را نتیجه می‌دهد. در نتیجه، میدان را در راستای  $z$  محاسبه می‌کنیم. با توجه به رابطه‌ی گفته شده داریم:

$$\vec{E} = \int d\vec{E} = \int |dE_z| \hat{z} = \int_{\theta=-\pi/2}^{\pi/2} \frac{k dq}{|\vec{r}_0 - \vec{r}|^2} (\cos \theta) \cdot \hat{z}$$

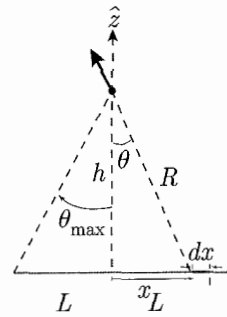
$|\vec{r}_0 - \vec{r}|$  در این مثال،  $R$  است. نقطه‌ی  $\vec{r}_0$  که میدان در آن محاسبه می‌شود، در این مثال مبدأ مختصات است و در نتیجه  $\vec{r}_0 = 0$  داریم:

$$\begin{aligned} \vec{E} &= k \int_{-\pi/2}^{\pi/2} \frac{\lambda dL}{R^2} \cos \theta \cdot \hat{z} = k \lambda \int_{-\pi/2}^{\pi/2} \frac{R d\theta}{R^2} \cos \theta \cdot \hat{z} \\ &= \frac{k \lambda}{R} (\sin \theta)_{-\pi/2}^{\pi/2} \hat{z} = \frac{2k \lambda}{R} \hat{z} \\ \Rightarrow \vec{E} &= \frac{\lambda}{2\pi \epsilon_0 R} \hat{z} \end{aligned}$$

و بدین ترتیب، میدان در مرکز نیم دایره محاسبه شد.

۲. با توجه به شکل (۱-۲۵) و برقراری تقارن (همان طور که در مثال قبل گفته شد)، داریم:

$$\begin{aligned} \vec{E} &= \int d\vec{E} = \int |dE_z| \hat{z} = \int_{-L}^L \frac{k \cdot dq}{R^2} \cos \theta \hat{z} \\ &= k \int_{-L}^L \frac{\lambda \cdot dx}{R^2} \cos \theta \hat{z} = k \int_{-L}^L \frac{\lambda dx}{x^2 + h^2} \cos \theta \hat{z} \\ &= k \lambda \int_{-L}^L \frac{dx}{x^2 + h^2} \cos \theta \hat{z}, \quad \begin{cases} x = h \tan \theta \\ dx = h \cdot \sec^2 \theta d\theta \end{cases} \\ \Rightarrow \vec{E} &= k \lambda \int_{-\theta_{\max}}^{\theta_{\max}} \frac{h \sec^2 \theta d\theta}{h^2 \tan^2 \theta + h^2} \cos \theta \hat{z}, \quad 1 + \tan^2 \theta = \sec^2 \theta \\ &= \frac{k \lambda}{h} \int_{-\theta_{\max}}^{\theta_{\max}} \cos \theta d\theta \hat{z} \\ &= \frac{k \lambda}{h} (\sin \theta)_{-\theta_{\max}}^{\theta_{\max}} = \frac{k \lambda}{h} \cdot \frac{2l}{\sqrt{l^2 + h^2}} \hat{z} \\ \Rightarrow \vec{E} &= \frac{\lambda}{2\pi \epsilon_0} \frac{L}{h \sqrt{L^2 + h^2}} \cdot \hat{z} \end{aligned}$$



شکل ۱-۲۵

۳. رابطه‌ای که برای محاسبه میدان عمودی استفاده می‌شود، همان رابطه‌ی مثال قبل است، با این تفاوت که محدوده‌ی  $\theta$  در مورد آن متفاوت است. در این جا زاویه از  $\theta_1$  تا  $\theta_2$  تغییر می‌کند، داریم:

$$E_z = \frac{k\lambda}{h} (\sin \theta)_{\theta_1}^{\theta_2} = \frac{k\lambda}{h} (\sin \theta_2 - \sin \theta_1)$$

و در مورد میدان افقی، داریم:

$$\begin{aligned} E_x &= \int dE_x = \int_{x_1}^{x_2} \frac{k\lambda dx \sin \theta}{x^2 + h^2} = \frac{k\lambda}{h} \int_{\theta_1}^{\theta_2} \sin \theta d\theta \\ &= \frac{k\lambda}{h} (-\cos \theta)_{\theta_1}^{\theta_2} = \frac{k\lambda}{h} (\cos \theta_1 - \cos \theta_2) \\ \Rightarrow \vec{E} &= \frac{k\lambda}{h} [(\cos \theta_1 - \cos \theta_2)\hat{x} + (\sin \theta_2 - \sin \theta_1)\hat{z}] \end{aligned}$$

دو حالت خاص این مثال، حالات پرکاربردی هستند که بهتر است میدان‌های مربوط به آنها محاسبه شود:

الف) خط باری که از دو طرف تا بی‌نهایت ادامه داشته باشد. این حالت، وقتی حاصل می‌شود که در این مثال،  $\theta_1$  به  $\frac{\pi}{2}$  و  $\theta_2$  به  $-\frac{\pi}{2}$  میل کند. در نتیجه میدان افقی و عمودی چنین مقداری خواهد داشت:

$$E_{\text{عمودی}} = \frac{2k\lambda}{h} = \frac{\lambda}{2\pi\epsilon_0 h}$$

$$E_{\text{افقی}} = 0$$

ب) خط باری که از  $\theta_1 = 0$  تا  $\theta_2 = \frac{\pi}{4}$  کشیده شده باشد. بدین معنی که از مبدأ مشخص شده آغاز شود و از سمت راست نامتناهی باشد. میدان در نقطه‌ای مشابه این مثال که در فاصله  $h$  بالای لبه چپ قرار گرفته است، بدین ترتیب خواهد بود:

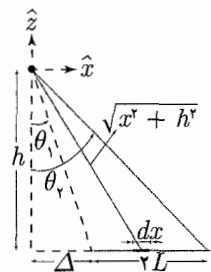
$$E_{\text{عمودی}} = \frac{k\lambda}{h}$$

$$E_{\text{افقی}} = \frac{k\lambda}{h}$$

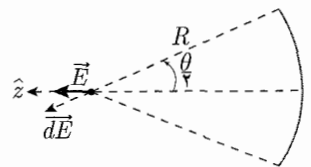
و بدین ترتیب، میدان در این حالت، مستقل از مقدار  $h$ ، با افق زاویه‌ی  $45^\circ$  می‌سازد. ۴. مانند مثال ۱، رابطه‌ای مشابه برای میدان داریم. چرا که تقارن، با در نظر گرفتن مبدأ زاویه منطبق بر خط تقارن این قطاع، مانند مثال ۱ برقرار خواهد بود و تنها تفاوت در محدوده‌ی  $\theta$  خواهد بود که در این مورد از  $-\frac{\theta}{2}$  تا  $\frac{\theta}{2}$  متغیر است. بنابراین، بنا بر رابطه‌ی به دست آمده در مثال ۱ داریم:

$$\vec{E} = \frac{k\lambda}{R} (\sin \theta)_{-\theta/2}^{\theta/2} \hat{z} = \frac{\lambda}{2\pi\epsilon_0 R} \sin \frac{\theta}{2} \hat{z}$$

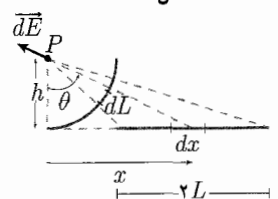
نکته‌ای با بررسی چهار مثال حل شده به دست می‌آید. به شکل ۲۸-۱ دقت کنید. قطاعی از دایره به شعاع  $h$  را (همان طور که در شکل نشان داده شده است) در نظر بگیرید. همان‌گونه



شکل ۲۶-۱



شکل ۲۷-۱



شکل ۲۸-۱

که دیدیم، میدان ناشی از جزء  $dx$  میله در نقطه‌ی  $P$  با چنین رابطه‌ای به دست می‌آید:

$$|dE| = \frac{k\lambda dx}{x^2 + h^2} = \frac{k\lambda dx}{x^2 + h^2}$$

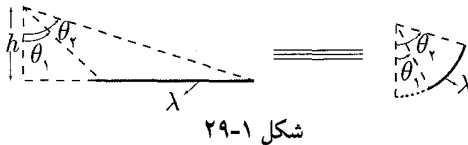
با تغییر متغیر  $x = h \tan \theta$  داریم:

$$dx = h(1 + \tan^2 \theta) d\theta \Rightarrow |dE| = \frac{k\lambda}{h} d\theta$$

حال فرض کنید همین مقدار بار بر روی جزء  $dL$  از قطاع دایره‌ای به مرکز  $O$  که در شکل نشان داده شده است، قرار می‌گرفت. برای میدان حاصل از این جزء در نقطه‌ی  $O$  داریم:

$$|dE| = \frac{k\lambda dL}{h^2} = \frac{k\lambda h d\theta}{h^2} \Rightarrow |dE| = \frac{k\lambda}{h} d\theta$$

که همان نتیجه قبل است. بنابراین از نقطه‌ی  $O$ ، میله‌ی باردار به صورت نیم‌دایره‌ای به شعاع  $h$  دیده می‌شود که در ناحیه‌ای که بین  $\theta_1$  و  $\theta_2$ ، که خود محدوده‌ای است که میله در آن قرار دارد، قرار گرفته است. این هم‌ارزی در شکل زیر نشان داده شده است.



شکل ۲۹-۱

۵. بنا بر تقارن، با توجه به مثال‌های قبل (به خصوص مثال نیم‌دایره) معلوم می‌شود که میدان فقط مؤلفه‌ی عمودی دارد. داریم:

$$E = \int dE_{\text{عمودی}} = \int \frac{k\sigma dA}{R^2} \cos \theta$$

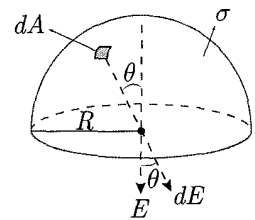
عبارت  $dA \cos \theta$  که در انتگرال بالا حاصل شد، برابر با مساحت تصویر جزء  $dA$  از نیم‌کره بر روی دایره‌ی عظیمه‌ی آن است. همان طور که در شکل نشان داده شده است، از آنجا که جزء سطح روی کره تقریباً به شکل مستطیلی است که دو ضلع آن مستقیماً بر روی سطح صفحه تصویر می‌شوند و دو ضلع دیگرش در  $\cos \theta$  ضرب شده و تصویر می‌شوند و بدین ترتیب، قطعه‌ای که دقیقاً بالای نیم‌کره (نقطه‌ی  $A$  در شکل) قرار گرفته باشد، مساحت تصویری برابر با مساحت خودش دارد و برای قطعه‌ای که در زاویه‌ی  $90^\circ$  واقع است (یعنی مثلاً در نقطه‌ی  $B$  در شکل) مساحت تصویر شده‌اش تقریباً صفر است. بنابراین:

$$E = \int \frac{k\sigma}{R^2} (dA \cos \theta) = \frac{k\sigma}{R^2} \int dA_{\text{سایه}} = \frac{k\sigma}{R^2} A_{\text{قاعده}} = \frac{k\sigma}{R^2} \cdot \pi R^2 = \frac{\sigma}{\epsilon_0}$$

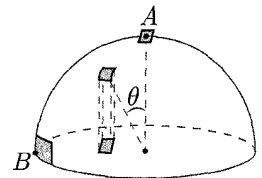
البته، از طریق انتگرال‌گیری در مختصات کروی هم می‌توان به همین عبارت برای میدان نیم‌کره در نقطه‌ی مورد نظر دست پیدا کرد:

$$E = \int_{\theta=0}^{\theta=\pi/2} \int_{\varphi=0}^{\varphi=2\pi} \frac{k\sigma R^2 \sin \theta d\theta d\varphi}{R^2} \cos \theta = 2\pi k\sigma \int_0^{\pi/2} \sin \theta \cos \theta d\theta$$

$$= \frac{2k\pi\sigma}{2} = \frac{\sigma}{\epsilon_0}$$



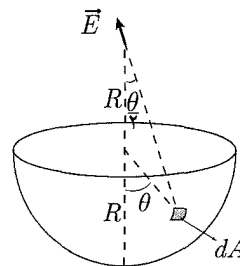
شکل ۳۰-۱



شکل ۳۱-۱

۶. بنابر تقارن و از آن چه در مثال‌های قبل دیدیم، در اینجا نیز میدان برآیند تنها در راستای عمودی است. داریم:

$$\begin{aligned} E &= \int_{\theta=0}^{\theta=\pi/2} \int_{\varphi=0}^{\varphi=2\pi} \frac{k\sigma(\cos\frac{\theta}{2})}{(2R\cos\frac{\theta}{2})^2} R^2 \sin\theta d\theta d\varphi \\ &= \frac{k\sigma \times 2\pi}{4} \int_0^{\pi/2} \frac{\sin\theta d\theta}{\cos\frac{\theta}{2}} \\ &= \frac{\pi k\sigma}{2} \int_0^{\pi/2} 2 \sin\frac{\theta}{2} d\theta \\ &= 2\pi k\sigma \left(-\cos\frac{\theta}{2}\right)_0^{\pi/2} = \frac{\sigma}{2\epsilon_0} \left(1 - \frac{\sqrt{2}}{2}\right) \end{aligned}$$



شکل ۳۲-۱

۷. باز هم تقارن داریم و در نتیجه‌ی آن میدان تنها در راستای  $z$  مؤلفه دارد.

$$E = E_z = k \int_{\varphi=0}^{\varphi=2\pi} \int_{\theta=0}^{\theta=\pi} \frac{\sigma R^2 \sin\theta d\theta d\varphi}{d^2} \cos\alpha$$

که در آن  $R^2 \sin\theta d\theta d\varphi$  جزء مساحت در مختصات کروی است که در بخش مربوط به مختصات کروی به دست آمده است. فاصله‌ی جزء مساحت از نقطه‌ی  $A$  یا  $d$ ، به شکل زیر به دست می‌آید (شکل ۳۴-۱).

$$d = \sqrt{(R \sin\theta)^2 + (R \cos\theta - h)^2}$$

همچنین برای زاویه‌ای که راستای میدان حاصل از جزء مساحت در نقطه‌ی  $A$  با راستای عمودی می‌سازد، داریم:

$$\begin{aligned} dE_z &= dE \cos\alpha = dE \frac{R \cos\theta - h}{d} \\ &= dE \frac{R \cos\theta - h}{\sqrt{(R \sin\theta)^2 + (R \cos\theta - h)^2}} \end{aligned}$$

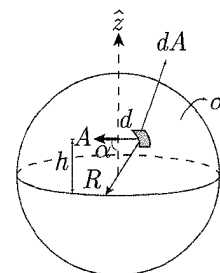
بنابراین میدان برآیند به شکل زیر خواهد شد:

$$\begin{aligned} E_z &= k \int_0^{2\pi} \int_0^{\pi} \frac{\sigma R^2 \sin\theta d\theta d\varphi}{[(R \sin\theta)^2 + (R \cos\theta - h)^2]^{3/2}} (R \cos\theta - h) \\ &= 2\pi k\sigma \int_{\theta=0}^{\theta=\pi} \frac{R^2 \sin\theta d\theta (R \cos\theta - h)}{(R^2 + h^2 - 2Rh \cos\theta)^{3/2}} \end{aligned}$$

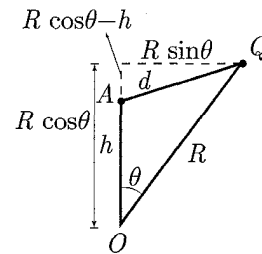
در این مرحله از انتگرال‌گیری، بایستی متغیر را تغییر دهیم. متغیر  $u$  و  $a$  را به شکل زیر تعریف می‌کنیم.

$$u = 2hR \cos\theta \Rightarrow du = -2Rh \sin\theta d\theta$$

$$a = R^2 + h^2$$



شکل ۳۳-۱



شکل ۳۴-۱



$$\begin{aligned} \Rightarrow E &= 2\pi k\sigma R^2 \left[ \int \frac{-udu \cdot R}{\sqrt{h^2 R^2 (a-u)^{3/2}} + \frac{1}{2R} \int \frac{du}{(a-u)^{3/2}} \right] \\ &= 2\pi k\sigma R^2 \left[ \frac{R}{\sqrt{h^2 R^2}} \left( \int \frac{(a-u)du}{(a-u)^{3/2}} \right. \right. \\ &\quad \left. \left. - \int \frac{adu}{(a-u)^{3/2}} \right) + \frac{1}{2R} \int \frac{du}{(a-u)^{3/2}} \right] \\ &= 2\pi k\sigma R^2 \left[ \frac{1}{\sqrt{Rh^2}} (-2\sqrt{a-u}) + \frac{a}{\sqrt{Rh^2}} \right. \\ &\quad \left. \cdot \frac{-2}{\sqrt{a-u}} + \frac{1}{2R} \cdot \frac{2}{\sqrt{a-u}} \right]_{u=-2hR}^{u=2hR} \\ &= \frac{\sigma R^2}{2\epsilon_0} \left[ \frac{-2}{\sqrt{Rh^2}} (R-h - (R+h)) \right. \\ &\quad \left. - \left( \frac{2a}{\sqrt{Rh^2}} - \frac{1}{R} \right) \times \left( \frac{1}{R-h} - \frac{1}{R+h} \right) \right] \\ \Rightarrow E &= \frac{\sigma R^2}{2\epsilon_0} \left[ \frac{1}{hR} - \left( \frac{h^2 + R^2}{2Rh^2} - \frac{1}{R} \right) \left( \frac{2h}{R^2 - h^2} \right) \right] \\ &= \frac{\sigma R^2}{2\epsilon_0} \left[ \frac{1}{hR} + \frac{h^2 + R^2}{R^2 - h^2} \cdot \frac{1}{hR} + \frac{2h}{R(R^2 - h^2)} \right] \\ \Rightarrow E &= \frac{\sigma R^2}{2\epsilon_0} \left[ \frac{1}{hR} - \frac{R^2 + h^2}{R(R^2 - h^2)} \right] \\ &= \frac{\sigma R^2}{2\epsilon_0} \left[ \frac{1}{hR} - \frac{1}{hR} \cdot \frac{R^2 - h^2}{R^2 - h^2} \right] = 0 \end{aligned}$$

بنابراین، معلوم شد که میدان الکتریکی در داخل کره‌ی باردار با بار یکنواخت سطحی صفر است.

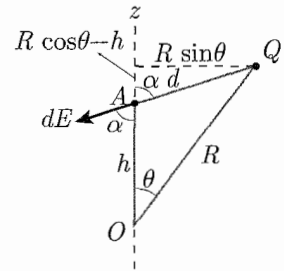
۸. جزئی از مساحت را مطابق شکل ۱-۳۶ در نظر بگیرید. بنابر تقارن میدان الکتریکی در جهت  $\hat{z}$  خواهد بود. بنابراین، تنها مؤلفه‌ی  $\hat{z}$  از میدان این جزء سطح مورد نیاز است. داریم:

$$dE_z = \frac{k\sigma r dr d\theta}{d^2} \cos \varphi, \quad d^2 = r^2 + h^2$$

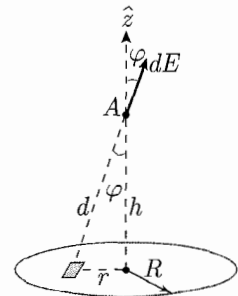
که در آن  $r dr d\theta$  رابطه‌ی جزء سطح در مختصات کروی (و استوانه‌ای و قطبی) است که در بخش مربوط به آن به دست آمد. در مورد زاویه‌ی  $\varphi$  نیز داریم:

$$\begin{aligned} \cos \varphi &= \frac{h}{d} = \frac{h}{(r^2 + h^2)^{1/2}} \\ \Rightarrow dE_z &= \frac{k\sigma r dr d\theta \cdot h}{(h^2 + r^2)^{3/2}} \\ \Rightarrow E_z &= k\sigma h \int_{r=0}^{r=R} \int_{\theta=0}^{\theta=2\pi} \frac{r dr d\theta}{(h^2 + r^2)^{3/2}} \end{aligned}$$

$$= 2\pi k\sigma h \int_0^R \frac{r dr}{(h^2 + r^2)^{3/2}}, \quad \begin{cases} u = h^2 + r^2 \\ \Rightarrow du = 2r dr \end{cases}$$



شکل ۱-۳۵



شکل ۱-۳۶

$$\begin{aligned} \Rightarrow E_z &= 2\pi k\sigma h \int_{u=h^2}^{u=R^2+h^2} \frac{1/\sqrt{u}}{u^{3/2}} du \\ &= k\pi\sigma h \left[ \frac{u^{-1/2}}{(-1/2)} \right]_{u=h^2}^{u=h^2+R^2} \\ &= 2k\pi\sigma h \left[ \frac{1}{h} - \frac{1}{\sqrt{h^2+R^2}} \right] \\ \Rightarrow \vec{E} &= \frac{\sigma}{2\epsilon_0} \left[ 1 - \frac{h}{\sqrt{h^2+R^2}} \right] \hat{z} \end{aligned}$$

۹. برای یافتن میدان در چنین نقطه‌ای، از عبارت نهایی میدان ناشی از صفحه که در مثال قبل به دست آوردیم، استفاده می‌کنیم و شعاع آن یعنی  $R$  را به بی‌نهایت میل می‌دهیم. داریم:

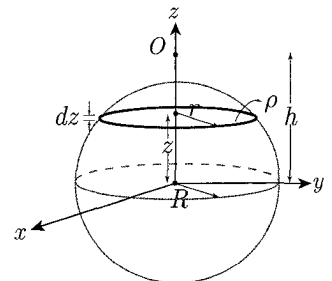
$$\vec{E} = \lim_{R \rightarrow \infty} \frac{\sigma}{2\epsilon_0} \left( 1 - \frac{h}{\sqrt{h^2+R^2}} \right) \hat{z} = \frac{\sigma}{2\epsilon_0} \hat{z}$$

۱۰. در حل این مثال، می‌توانیم از نتیجه‌ای که برای میدان ناشی از دیسک با چگالی بار سطحی  $\sigma$  به دست آوردیم استفاده کنیم. مطابق شکل دیسکی را در ارتفاع  $z$  در نظر بگیرید. بار دیسک، اگر ضخامت آن را  $dz$  در نظر بگیریم، برابر  $\rho dV$  آن است که آن نیز با  $\rho Adz$  برابر است، که  $A$  مساحت دیسک است.<sup>۱</sup> بنابراین چگالی بار سطحی دیسک، که عبارت از بار کل آن تقسیم بر مساحت آن است، برابر با  $\rho dz$  خواهد بود.

حال میدانی که این دیسک در نقطه‌ی  $O$  ایجاد می‌کند، می‌یابیم. بنا به تقارن، میدان این دیسک و در نتیجه میدان کل کره در جهت  $\hat{z}$  خواهد بود. با توجه به میدان به دست آمده در مثال ۸ و با توجه به این که  $h$  در آن مثال، در اینجا معادل با  $h - z$  است، داریم:

$$dE_z = \frac{\rho dz}{2\epsilon_0} \left( 1 - \frac{h-z}{\sqrt{(h-z)^2 + r^2}} \right)$$

که در آن  $r$  شعاع دیسک است. حال با در نظر گرفتن زاویه‌ی  $\theta$ ، با توجه به شکل داریم:



شکل ۳۷-۱

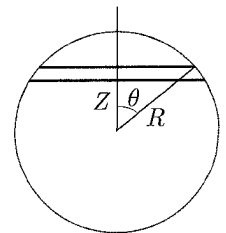
$$z = R \cos \theta \Rightarrow dE_z = \left( \frac{\rho dz}{2\epsilon_0} \right) \left( 1 - \frac{h - R \cos \theta}{\sqrt{(h - R \cos \theta)^2 + (R \sin \theta)^2}} \right)$$

$$= \frac{\rho dz}{2\epsilon_0} \left( 1 - \frac{h - R \cos \theta}{\sqrt{h^2 + R^2 - 2hR \cos \theta}} \right)$$

$$dz = -R \sin \theta d\theta \Rightarrow E_z = \int dE_z$$

$$= \int \frac{\rho}{2\epsilon_0} (-R \sin \theta d\theta) \left( 1 - \frac{h - R \cos \theta}{\sqrt{h^2 + R^2 - 2hR \cos \theta}} \right)$$

$$= \frac{-\rho R}{2\epsilon_0} \int_{\theta=0}^{\theta=\pi} \sin \theta d\theta - \frac{\rho R}{2\epsilon_0} \int_{\theta=0}^{\theta=\pi} \frac{(\sin \theta)(h - R \cos \theta)}{\sqrt{h^2 + R^2 - 2hR \cos \theta}} d\theta$$



شکل ۳۸-۱

۱) توجه کنید که مساحت دیسک به طور فرضی در سطح بالایی و پایینی آن برابر در نظر گرفته شده است و در حقیقت ضخامت  $dz$  از کره را به طور تقریبی معادل با یک دیسک در نظر گرفته‌ایم.

$$= \left( \frac{-\rho R}{\epsilon_0} \right) (\gamma) - \frac{\rho R h}{\epsilon_0} \int_0^\pi \frac{\sin \theta d\theta}{\sqrt{a - \gamma h R \cos \theta}}$$

$$+ \frac{\rho R \gamma}{\epsilon_0} \int_0^\pi \frac{\sin \theta \cos \theta d\theta}{\sqrt{a - \gamma h R \cos \theta}}$$

که در آن  $a = h^2 + R^2$  است. حال  $u$  را تعریف می‌کنیم:

$$u = \gamma h R \cos \theta$$

$$\Rightarrow du = -\gamma h R \sin \theta d\theta$$

$$\Rightarrow E_z = -\frac{\rho R}{\epsilon_0} + \frac{\rho}{\epsilon_0} \int \frac{du}{\sqrt{a-u}} + \frac{\rho R \gamma}{\epsilon_0} \cdot \frac{1}{\gamma h \gamma R \gamma} \int \frac{u du}{\sqrt{a-u}}$$

$$= \frac{-\rho R}{\epsilon_0} + \frac{\gamma \rho}{\epsilon_0} (-\sqrt{a-u}) + \frac{\rho}{\epsilon_0 h \gamma}$$

$$\left[ -\int \frac{(a-u)}{\sqrt{a-u}} du + \int \frac{a}{\sqrt{a-u}} du \right]$$



۱. شدت میدان الکتریکی  $E$  را در مرکز یک نیمکره که بار به طور یکنواخت با چگالی  $\sigma$  روی سطح آن توزیع شده است به دست آورید.

$$\text{حل. } E = \frac{\sigma}{4\epsilon_0}$$

۲. میدان الکتریکی در مرکز یک نیمکره با توزیع بار یکنواخت و چگالی بار سطحی  $\sigma$  را  $E_0$  فرض کنید. قسمتی از این نیمکره توسط دو صفحه‌ی گذرنده از یک قطر که با هم زاویه  $\alpha$  می‌سازند، از بقیه آن مجزا شده است. میدانی که بارهای واقع بر سطح این قسمت مجزا شده در مرکز ایجاد می‌کنند را بیابید.

$$\text{حل. } E = E_0 \sin \frac{\alpha}{2}$$

۳. کمینه‌ی شدت میدان الکتریکی یکنواخت که می‌تواند یک کره‌ی رسانای نازک بدون بار را به دو قسمت بشکند برابر  $E_0$  است. کمینه شدت میدان الکتریکی را طوری تعیین کنید که بتواند یک کره با مشخصات فوق ولی شعاع دو برابر را به دو قسمت بشکند. فرض کنید ضخامت جداره با حالت اول برابر است.

$$\text{حل. } \frac{E_0}{\sqrt{2}}$$

۴. نیروی مقابل بین دو نیمکره به شعاع  $R$  را که در خط استوایشان با هم تماس دارند پیدا کنید، در صورتی که یک نیمکره دارای بار یکنواخت و چگالی سطحی  $\sigma_1$  و دیگری دارای بار یکنواخت و چگالی بار سطحی  $\sigma_2$  باشد.

$$\text{حل. } \frac{\pi R^2}{2\epsilon_0} \sigma_1 \sigma_2$$

۵. یک میله‌ی نازک عایق بین دو بار غیرهم‌نام  $+q_1$  و  $-q_2$  قرار می‌گیرد. نیروی وارد بر بارها چگونه تغییر می‌کند؟

حل. زیاد می‌شود.

۶.

الف) اندازه‌ی شتاب یک الکترون در میدان الکتریکی یکنواخت  $1.4 \times 10^6 \text{ N/C}$  چقدر است؟

ب) چقدر طول می‌کشد تا تندی الکترون که از حال سکون شروع به حرکت کرده است به یک‌دهم تندی نور برسد؟

ج) در این مدت چه مسافتی را طی کرده است؟

$$\text{حل. الف) } 2.46 \times 10^{17} \text{ m/s}^2 \quad \text{ب) } 1.22 \times 10^{-10} \text{ s} \quad \text{ج) } 1.83 \times 10^{-2} \text{ m}$$

۷. یک بار با چگالی خطی یکنواخت  $9 \times 10^{-9} \text{ C/m}$  بر روی یک ریسمان که در امتداد محور  $x$  از  $x = 0$  تا  $x = 3 \text{ m}$  کشیده شده است قرار دارد. اندازه‌ی میدان الکتریکی در محور  $x = 4 \text{ m}$  را تعیین کنید.

$$\text{حل. } 60,75 \text{ N/C}$$

۸. یک دوقطبی الکتریکی با گشتاور دوقطبی  $(1.2 \times 10^{-3} \text{ C.m})$   $\vec{P} = (3.0\hat{i} + 4.0\hat{j})$  در میدان الکتریکی  $\vec{E} = (400 \text{ N/C})\hat{i}$  قرار دارد.

الف) انرژی پتانسیل دوقطبی الکتریکی چقدر است؟

ب) گشتاور نیروی وارد بر آن چقدر است؟

حل. الف)  $U = -1.49 \times 10^{-26} \text{ J}$  ب)  $\vec{\tau} = \vec{P} \times \vec{E} = -1.9 \times 10^{-26} \text{ N.m}$

۹. در چه فاصله‌ای روی محور یک قرص پلاستیکی با بار یکنواخت و شعاع  $0.6 \text{ m}$  اندازه‌ی میدان الکتریکی برابر نصف اندازه‌ی میدان در مرکز سطح قرص می‌باشد.

حل.  $\pm 0.346 \text{ m}$

۱۰. یک الکترون از حال سکون روی محور مرکزی یک قرص با بار یکنواخت و شعاع  $R$  رها می‌شود. چگالی بار سطحی روی قرص  $+4.0 \mu\text{C}/\text{m}^2$  است. اگر ذره از فاصله‌ی الف)

$R$  و ب)  $\frac{R}{100}$  از مرکز قرص رها شده باشد، اندازه‌ی شتاب اولیه‌ی آن چقدر است؟

حل. الف)  $1.15 \times 10^{16} \text{ m/s}^2$  ب)  $3.93 \times 10^{16} \text{ m/s}^2$



۱. مسئله‌ی ۳۳، دومین المپیاد فیزیک ایران

سه گلوله‌ی باردار پلاستیکی با بارهای  $q$ ،  $2q$  و  $3q$  در رئوس مثلث متساوی‌الاضلاعی قرار گرفته و توسط میله‌های سبک و عایقی به طول  $L$  به هم متصل شده‌اند. دستگاهی را که به این ترتیب ساخته‌ایم، روی میز افقی بدون اصطکاک‌کی قرار می‌دهیم. نیروی وارد بر دستگاه چقدر است؟

الف)  $k \frac{22q^2}{L^2}$       ب)  $k \frac{6q^2}{L^2}$       ج)  $k \frac{11\sqrt{3}q^2}{L^2}$       د) صفر

۲. مسئله‌ی ۳۵، دومین المپیاد فیزیک ایران

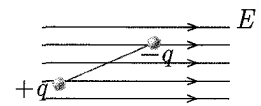
یک دوقطبی الکتریکی (دستگاهی متشکل از دو بار  $+q$  و  $-q$  در دو سر یک میله عایق) مطابق شکل زیر در میدان الکتریکی یکنواختی رها می‌شود، کدام یک از جملات زیر در مورد حرکت آن بلافاصله پس از رها شدن صحیح است؟

- الف) دوقطبی در خلاف جهت عقربه‌های ساعت دوران و به سمت چپ حرکت می‌کند.  
 ب) دوقطبی در جهت عقربه‌های ساعت دوران و به سمت راست حرکت می‌کند.  
 ج) دوقطبی فقط در جهت عقربه‌های ساعت دوران می‌کند.  
 د) دوقطبی فقط در خلاف جهت عقربه‌های ساعت دوران می‌کند.

۳. مسئله‌ی ۳۶، دومین المپیاد ایران

یک میله‌ی شیشه‌ای باردار را مطابق شکل زیر به دو هادی که روی پایه‌های عایق قرار گرفته است و در تماس با هم هستند، نزدیک می‌کنیم و پس از جدا کردن آنها از هم، میله‌ی شیشه‌ای را دور می‌کنیم. اندازه‌ی بار القا شده:

- الف) در کره بیشتر است.      ب) در هادی نوک‌تیز بیشتر است.  
 ج) در هر دو یکسان است.      د) صفر است.

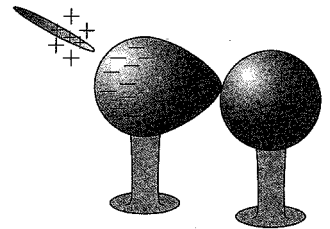


شکل ۱-۳۹

۴. مسئله‌ی ۳۹، دومین المپیاد فیزیک ایران

دو گلوله‌ی رسانای مشابه دارای بارهای الکتریکی مثبت  $q_1$  و  $q_2$  به فاصله‌ی  $r$  از یکدیگر قرار دارند. آنها را با هم تماس می‌دهیم و دوباره به فاصله‌ی  $r$  از یکدیگر قرار می‌دهیم نیرویی که دو گلوله در این حالت بر هم وارد می‌کنند:

- الف) کمتر از حالت اولیه است.      ب) بیشتر از حالت اولیه است.  
 ج) مانند حالت اولیه است.      د) صفر است.



شکل ۱-۴۰

۵. مسئله‌ی ۱۲، هشتمین المپیاد فیزیک ایران

یک حلقه که بار الکتریکی  $Q$  به طور یکنواخت روی آن قرار دارد را در نظر بگیرید. بار الکتریکی نقطه‌ای  $q$  را در مرکز حلقه می‌گذاریم. می‌خواهیم بار الکتریکی  $q$  در راستای محور حلقه دارای تعادل پایدار و در راستای شعاع حلقه دارای تعادل ناپایدار باشد. در این صورت

می‌توان علامت بار  $Q$  و  $q$  را به ترتیب زیر انتخاب کرد:

(الف)  $Q$  منفی و  $q$  منفی

(ب)  $Q$  منفی و  $q$  مثبت

(ج)  $Q$  مثبت و  $q$  مثبت

(د)  $Q$  مثبت و  $q$  منفی

(ه) با هیچ نوع انتخابی از  $Q$  و  $q$  نمی‌توان شرایط مورد نظر را ایجاد کرد.

۶. مسئله‌ی ۲، مرحله‌ی اول نهمین المپیاد فیزیک ایران

دو گلوله‌ی کوچک نارسانا دارای بارهای  $+10^{-6}$  کولن و  $-10^{-6}$  کولن در دو انتهای

فیزی با ثابت  $10^9 \text{ N/m}$  قرار داد شده است. در این شرایط طول فنر  $10 \text{ cm}$  است. طول

عادی فنر چند سانتی‌متر است؟ (فنر نارساناست و  $k$  در قانون کولن  $9 \times 10^9 \text{ Nm}^2/\text{C}^2$

است.)

(الف) ۱۰٫۹ (ب) ۱۱٫۸ (ج) ۹٫۱ (د) ۸٫۲ (ه) ۱۱٫۲

۷. مسئله‌ی ۱۶، مرحله‌ی اول نهمین المپیاد فیزیک ایران

گلوله‌ی کوچکی دارای بار الکتریکی  $q$  است و با یک نخ از نقطه‌ای آویخته شده است.

می‌خواهیم در این حالت میدان الکتریکی حاصل از بار  $q$  را در نقطه‌ای روی یک صفحه‌ی

افقی که از بار  $q$  می‌گذرد، اندازه بگیریم. برای این کار بار  $q$  را در نقطه مورد نظر قرار می‌دهیم

و با اندازه‌گیری نیروی الکتریکی وارد بر آن، میدان الکتریکی را به دست می‌آوریم. کدام گزینه

درست است؟

(الف) اگر بارهای  $q$  و  $q_0$  مثبت باشند، میدان به دست آمده از میدان مورد نظر کوچک‌تر است.

(ب) اگر بار  $q$  مثبت و بار  $q_0$  منفی باشد، میدان به دست آمده از میدان مورد نظر بزرگ‌تر است.

(ج) اگر بارهای  $q$  و  $q_0$  منفی باشند، میدان به دست آمده از میدان مورد نظر بزرگ‌تر است.

(د) اگر بار  $q$  منفی و بار  $q_0$  مثبت باشد، میدان به دست آمده از میدان مورد نظر کوچک‌تر است.

۸. مسئله‌ی ۱۷، مرحله‌ی اول نهمین المپیاد فیزیک ایران

نمودار شکل زیر خطوط میدان الکتریکی را در فضای معینی نشان می‌دهد. بار نقطه‌ای

$q_0$  را در نقطه‌ی  $A$  قرار می‌دهیم. کدام گزینه درست است؟

(الف) بار  $q_0$  در هر شرایطی همواره روی خط میدان حرکت خواهد کرد.

(ب) اگر بار  $q_0$  سرعت اولیه‌ای مماس بر خطوط میدان داشته باشد، به طور مدام روی خط میدان

حرکت خواهد کرد.

(ج) اگر سرعت اولیه‌ی بار  $q_0$  صفر باشد، به طور مدام روی خط میدان حرکت خواهد کرد.

(د) در هیچ شرایطی بار  $q_0$  روی خط میدان ادامه حرکت نخواهد داد.

۹. مسئله‌ی ۱۸، مرحله‌ی اول نهمین المپیاد فیزیک ایران

نمودار شکل زیر، خطوط میدان الکتریکی را در فضای معینی نشان می‌دهد. بار الکتریکی

$q$  را یک مرتبه در نقطه‌ی  $A$  و مرتبه دیگر در نقطه‌ی  $B$  قرار می‌دهیم. کدام گزینه درست است؟

(الف) اندازه‌ی نیرویی که در نقطه‌ی  $A$  بر بار وارد می‌شود، از اندازه‌ی آن در نقطه‌ی  $B$  کوچک‌تر است.

(ب) اندازه‌ی نیرویی که در نقطه‌ی  $A$  بر بار وارد می‌شود، از اندازه‌ی آن در نقطه‌ی  $B$  بزرگ‌تر است.



شکل ۴۱-۱



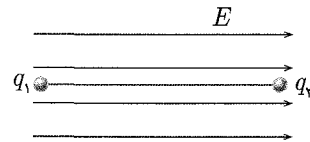
شکل ۴۲-۱

ج) در نقطه‌ی  $A$  نیرویی بر بار الکتریکی وارد نمی‌شود، زیرا میدان در نقطه‌ی  $A$  صفر است، ولی بر بار در نقطه‌ی  $B$  نیرو وارد می‌شود.

د) اطلاعات مسأله برای مقایسه‌ی نیروی وارد بر بار  $q$  در نقطه‌ی  $A$  و  $B$  کافی نیست.

۱۰. مسئله‌ی ۱۹، مرحله‌ی اول نهمین المپیاد فیزیک ایران

دو بار  $q_1$  و  $q_2$  که اندازه‌های آنها با یکدیگر برابر است، با میله‌ی نارسانای بسیار سبکی به هم وصل شده‌اند و مطابق شکل ۴۳-۱ مجموعه در میدان الکتریکی یکنواختی قرار دارد. کدام گزینه درست است؟



شکل ۴۳-۱

الف) اگر  $q_2$  مثبت و  $q_1$  منفی باشد، مجموعه دارای تعادل پایدار است.

ب) اگر  $q_1$  و  $q_2$  مثبت باشند، مجموعه دارای تعادل ناپایدار است.

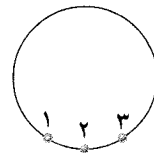
ج) اگر  $q_2$  منفی و  $q_1$  مثبت باشد، مجموعه دارای تعادل ناپایدار است.

د) اگر  $q_1$  و  $q_2$  منفی باشند، مجموعه دارای تعادل پایدار است.

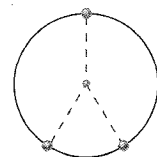
ه) اگر  $q_1$  و  $q_2$  منفی باشند، مجموعه تعادل ندارد.

۱۱. مسئله‌ی ۲ مرحله‌ی اول دهمین المپیاد فیزیک ایران

از سه مهره‌ی تسبیح مشابه، مطابق شکل ۴۴-۱، حلقه‌ای گذرانده‌ایم. صفحه‌ی حلقه افقی است و مهره‌ها با حلقه و سطحی که روی آن قرار گرفته‌اند اصطکاک ندارند. روی مهره‌ها بارهای  $q_1$ ،  $q_2$  و  $q_3$  می‌گذاریم. مشاهده می‌شود که مهره‌ها به صورتی که در شکل ۴۵-۱ نشان داده شده است قرار می‌گیرند. کدام یک از گزینه‌های زیر درست است؟ مهره‌ها از جنس عایق درست شده‌اند.



شکل ۴۴-۱



شکل ۴۵-۱

$$\left. \begin{array}{l} |q_1| = |q_2|, \quad q_1 q_2 > 0 \\ |q_1| > |q_3|, \quad q_1 q_3 > 0 \end{array} \right\} \text{ب)} \quad \left. \begin{array}{l} |q_2| = |q_3|, \quad q_2 q_3 > 0 \\ |q_1| = |q_2|, \quad q_1 q_3 > 0 \end{array} \right\} \text{الف)}$$

$$\left. \begin{array}{l} |q_2| > |q_3|, \quad q_1 q_3 > 0 \\ |q_1| > |q_2|, \quad q_1 q_2 < 0 \end{array} \right\} \text{د)} \quad \left. \begin{array}{l} |q_2| = |q_3|, \quad q_2 q_3 > 0 \\ |q_1| > |q_2|, \quad q_1 q_3 > 0 \end{array} \right\} \text{ج)}$$

۱۲. مسئله‌ی ۳، مرحله‌ی اول دهمین المپیاد فیزیک ایران

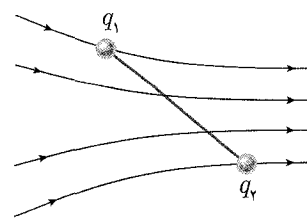
در ناحیه‌ای از فضا، میدان الکتریکی مطابق شکل ۴۶-۱ وجود دارد. دو بار الکتریکی  $q_1$  (منفی) و  $q_2$  (مثبت) روی دو سر میله‌ی نارسانای بسیار سبکی در این میدان قرار دارد. برابند نیروهای وارد بر میله را  $F$ ، و گشتاور نیروهای وارد بر آن نسبت به وسط میله را  $\tau$  می‌نامیم. اگر  $|q_2| < |q_1|$  باشد، کدام گزینه درست است؟

الف)  $F \neq 0$  و  $\tau \neq 0$

ب) ممکن است  $F$  صفر یا مخالف صفر باشد و  $\tau \neq 0$ .

ج)  $F \neq 0$  و ممکن است  $\tau$  صفر یا مخالف صفر باشد.

د) ممکن است  $F$  و  $\tau$  هر کدام صفر یا مخالف صفر باشند.

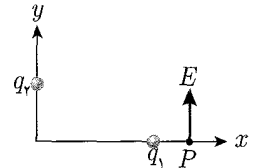


شکل ۴۶-۱



۱۳. مسئله‌ی ۶ مرحله‌ی اول دهمین المپیاد فیزیک ایران

دو بار نقطه‌ای  $q_1$  و  $q_2$  مطابق شکل ۴۷-۱ بر روی محورهای مختصات واقع‌اند. اگر بردار میدان الکتریکی حاصل از این دو بار در نقطه‌ی  $P$  در جهت محور  $y$  باشد، کدام گزینه



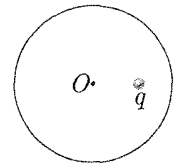
شکل ۴۷-۱

- در مورد اندازه و علامت  $q_1$  و  $q_2$  درست است؟  
 الف)  $q_1 < 0, q_2 > 0, |q_1| > |q_2|$  ب)  $q_1 < 0, q_2 < 0, |q_1| < |q_2|$   
 ج)  $q_1 < 0, q_2 > 0, |q_1| < |q_2|$  د)  $q_1 > 0, q_2 < 0, |q_1| > |q_2|$   
 ه)  $q_1 > 0, q_2 > 0, |q_1| > |q_2|$  و)  $q_1 > 0, q_2 < 0, |q_1| < |q_2|$

۱۴. مسئله‌ی ۳ مرحله اول یازدهمین المپیاد فیزیک ایران

مطابق شکل ۴۸-۱ بار نقطه‌ای  $q$  درون یک پوسته‌ی کروی رسانا بدون بار قرار دارد. از

طرف کره بر بار  $q$ :



شکل ۴۸-۱

الف) نیرویی وارد نمی‌شود.

ب) نیرویی در راستای شعاع و به سمت مرکز وارد می‌شود.

ج) نیرویی در راستای شعاع و به سمت خارج وارد می‌شود.

د) نیرویی در راستای عمود بر شعاع وارد می‌شود.

۱۵. مسئله‌ی ۱۰، مرحله‌ی اول یازدهمین المپیاد فیزیک ایران

یک پوسته‌ی فلزی که روی پایه‌ی نارسانا قرار دارد، بار الکتریکی  $Q$  دارد. نیرویی که بر

قسمت کوچکی از این پوسته وارد می‌شود را  $F$  می‌نامیم. نیروی  $F$ :

الف) به طرف بیرون پوسته و متناسب با  $F$  است.

ب) به طرف داخل پوسته و متناسب با  $Q^2$  است.

ج) به طرف بیرون پوسته و متناسب با  $Q^2$  است.

د) به طرف داخل پوسته و متناسب با  $Q$  است.

ه) به طرف بیرون است اگر  $Q > 0$  و به طرف داخل است اگر  $Q < 0$ ، و در هر صورت متناسب

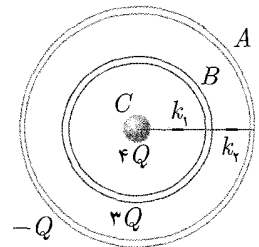
با  $Q$  است.

۱۶. مسئله‌ی ۲۸ مرحله‌ی اول سیزدهمین المپیاد فیزیک ایران

پوسته‌های کروی فلزی  $A$  و  $B$  و کره‌ی فلزی  $C$  را مطابق شکل ۴۹-۱ در نظر بگیرید.

بار الکتریکی کره‌ها به ترتیب  $Q_A = -Q$ ،  $Q_B = 3Q$  و  $Q_C = 4Q$  است. با بستن

کلیدهای  $k_1$  و  $k_2$  کره‌ها به هم متصل می‌شوند. پس از تعادل، کدام گزینه درست است؟



شکل ۴۹-۱

الف)  $Q_C = +2Q$  و  $Q_B = 0$ ،  $Q_A = +4Q$

ب)  $Q_C = 0$  و  $Q_B = 0$ ،  $Q_A = +6Q$

ج)  $Q_C = Q_B = 0$  و  $Q_A = +2Q$

د)  $Q_C = +Q$  و  $Q_B = +2Q$ ،  $Q_A = +3Q$

۱۷. مسئله‌ی ۱۵ مرحله‌ی اول شانزدهمین المپیاد فیزیک کشور

چگالی بار الکتریکی روی یک نیم‌دایره یکنواخت است. اندازه‌ی میدان الکتریکی در

مرکز این نیم‌دایره (یعنی مرکز دایره‌ای که این نیم‌دایره کمائی از آن است)  $E$  است. اندازه‌ی

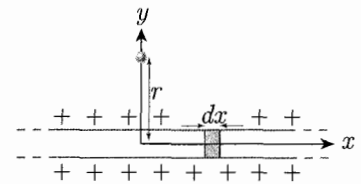
میدان الکتریکی در مرکز یک ربع دایره با همان شعاع و همان چگالی بار چقدر است؟

الف)  $E$  (ب)  $\frac{\sqrt{2}}{4}E$

ج)  $\frac{1}{4}E$  (د) اطلاعات مسئله ناقص است.

۱۸. مسئله‌ی ۲ مرحله‌ی دوم شانزدهمین المپیاد فیزیک کشور

مطابق شکل (۱-۵۰)، روی یک میله‌ی نارسانای نازک و بسیار بلند، بار الکتریکی مثبت به طور یکنواخت وجود دارد. چگالی طول بار، یعنی بار موجود روی واحد طول میله  $\lambda$  است. بار نقطه‌ای مثبت  $q$  را روی محور  $y$  و به فاصله‌ی  $r$  از میله در نظر بگیرید. طول میله چنان بلند است و  $r$  در مقایسه با طول میله چنان کم است که می‌توان طول میله را بی‌نهایت فرض کرد. می‌توان نشان داد که در این شرایط اندازه‌ی میدان ناشی از بارهای روی میله، در محل بار نقطه‌ای  $q$ ، از رابطه‌ی  $E = \frac{\lambda}{2\pi\epsilon_0 r}$  به دست می‌آید.



شکل ۵۰-۱

الف) جهت میدان  $E$  را به دست آورید. (راهنمایی: بار توزیع شده روی میله را می‌توان متشکل از تعداد زیادی بار نقطه‌ای پهلوی هم در نظر گرفت که هر کدام یک میدان الکتریکی ایجاد می‌کنند.)

ب) نیروی الکتریکی وارد بر بار  $q$  را به دست آورید. این نیرو را  $F_E$  می‌نامیم.

اکنون فرض کنید بار  $q$  و نیز میله‌ی باردار، در جهت محور  $x$  با سرعت ثابت  $u$  حرکت کند. از نظر ناظر ساکن نسبت به محور  $x$ ، حرکت میله مانند عبور جریان الکتریکی از میله است. این جریان را  $I$  می‌نامیم.

ج) جریان الکتریکی  $I$  را به دست آورید.

د) میدان مغناطیسی حاصل از جریان  $I$  را در نقطه‌ای به فاصله‌ی  $r$  از میله به دست آورید.

ه) نیروی مغناطیسی وارد بر بار  $q$  را به دست آورید. این نیرو را  $F_B$  می‌نامیم.

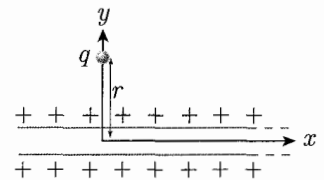
و) برای ناظر ساکن نسبت به محور  $x$ ، دو نیروی الکتریکی  $F_E$  و مغناطیسی  $F_B$  بر بار نقطه‌ای  $q$  وارد می‌شود. فرض کنید نیروی  $F_E$  مانند قسمت (ب) باشد. برآیند دو نیروی  $F_E$  و  $F_B$  را به دست آورید. این نیرو را  $F$  می‌نامیم.

ز) نسبت  $\frac{F}{F_E}$  را حساب کنید.

۱۹. مسئله‌ی ۲۹ مرحله‌ی اول هجدهمین المپیاد فیزیک کشور

قرص یکنواخت باردار شده را در نظر بگیرید که در صفحه‌ی  $xy$  است. مرکز قرص مبدأ مختصات، و بار قرص مثبت است. نقطه‌ای با مختصات  $(x, y, z)$  را در نظر بگیرید، که  $z > 0$ ،  $x > 0$  و  $y = 0$  است. کدام گزینه درباره‌ی  $E_x$  (مؤلفه‌ی  $x$  میدان الکتریکی حاصل از این قرص در این نقطه) درست است؟

الف) حتماً  $E_x$  منفی است.

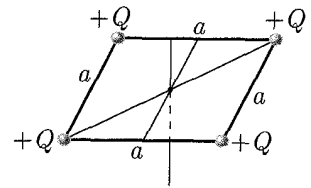


شکل ۵۱-۱

- (ب) حتماً  $E_x$  صفر است.  
 (ج) حتماً  $E_x$  مثبت است.  
 (د)  $x$  هایی هست که  $E_x$  مثبت است، و  $x$  هایی هم هست که  $E_x$  منفی است.

۲۰. مسئله‌ی ۲، آزمون دوم تابستان ۱۳۷۶

تعادل بارها



شکل ۱-۵۲

الف) چهار بار  $+Q$  در چهار گوشه‌ی یک مربع قرار دارند. تعادل بار  $+q$  را که در مرکز مربع قرار دارد، در راستای زیر بررسی کنید (در کدام یک از راستاها تعادل پایدار و کدام ناپایدار است).

الف-۱) راستای قطر

الف-۲) راستای عمود بر ضلعها

الف-۳) راستای عمود بر صفحه‌ی مربع

ب) هشت بار  $+Q$  در هشت گوشه‌ی یک مکعب قرار دارند. تعادل بار  $+q$  را که در مرکز مکعب قرار دارد، در راستاهای زیر بررسی کنید.

ب-۱) راستای قطر

ب-۲) راستای عمود بر وجهها

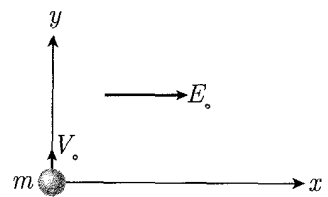
۲۱. مسئله‌ی ۱ آزمون نهایی تابستان ۱۳۷۶

ذره‌ای به جرم  $m$  و بار  $q$  روی یک سطح افقی با ضریب اصطکاک  $\mu$  قرار دارد. میدان الکتریکی ثابت  $E_0$  در جهت مثبت محور  $x$  را در نظر بگیرید. به طوری که  $E_0 = \frac{\mu mg}{q}$  باشد. ذره با سرعت اولیه‌ی  $v_0$  در جهت مثبت محور  $y$  که در صفحه‌ی افقی است، پرتاب می‌شود.

الف) مسیر ذره را به طور کیفی روی صفحه‌ی  $xy$  رسم کنید و دلایل توجیهی برای رسم آن منحنی را توضیح دهید.

ب) مؤلفه‌های  $x$  و  $y$  شتاب و مؤلفه‌ی مماسی شتاب را بر حسب اطلاعات داده شده‌ی فوق و زاویه‌ی  $\theta$  (زاویه‌ای که سرعت لحظه‌ای ذره با جهت مثبت محور  $x$  می‌سازد) بنویسید.

پ) اندازه‌ی سرعت ذره،  $v$ ، را بر حسب  $\theta$  به دست آورید. مقدار آن در زمان‌های بزرگ چقدر است؟



شکل ۱-۵۳

ت) حداکثر مقدار مؤلفه‌ی  $y$  بردار مکان ذره،  $L$ ، را به دست آورید. برای محاسبه، اتحاد زیر می‌تواند مورد استفاده قرار گیرد.

$$\frac{\sin \alpha}{1 + \cos \alpha} = \tan\left(\frac{\alpha}{2}\right)$$

۲۲. مسئله‌ی ۳، آزمون اول تابستان ۱۳۷۷

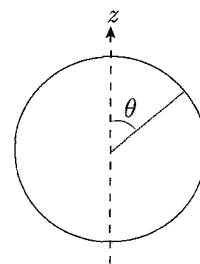
بر روی سه گوشه از چهار گوشه‌ی یک هرم چهاروجهی منتظم سه بار  $+q$  قرار می‌دهیم. میدان الکتریکی را در مرکز هرم محاسبه کنید. یال چهاروجهی منتظم  $l$  است.

۲۳. مسئله‌ی ۴ آزمون اول تابستان ۱۳۷۷

بر روی یک کره، چگالی باری متناسب با  $\cos \theta$  وجود دارد. دوقطبی الکتریکی معادل این توزیع بار را در فواصل دور حساب کنید.

۲۴. مسئله‌ی ۲ آزمون اول تابستان ۱۳۷۸

در این مسئله می‌خواهیم خطای حاصل از پیوسته در نظر گرفتن بار الکتریکی را به دست آوریم. برای سادگی، یک توزیع بار خطی و نیم‌دایره‌ای را در نظر می‌گیریم. ابتدا توزیع بار روی آن را پیوسته و سپس گسسته در نظر می‌گیریم. در هر مرتبه میدان الکتریکی را به دست آورده و خطای نسبی آن را اندازه می‌گیریم.



شکل ۱-۵۴

الف) یک نیم‌دایره را که توزیع بار خطی  $\lambda$  روی آن به صورت یکنواخت قرار گرفته است، در نظر بگیرید. میدان الکتریکی را در مرکز نیم‌دایره حساب کنید (شعاع نیم‌دایره را  $R$  در نظر بگیرید).

ب) حل توزیع بار را گسسته بگیرید و برای سادگی توزیع بار گسسته را الکترون‌هایی با بار  $e$  فرض کنید که در فاصله‌ی  $a$  از هم روی نیم‌دایره قرار گرفته‌اند. میدان الکتریکی در این حالت در مرکز نیم‌دایره چقدر است؟

ج) خطای نسبی را برای مقادیر واقعی به دست آورید (تا مرتبه‌ی اول نسبت به  $\frac{a}{R}$ ).

مقادیر  $a$  و  $R$  را خودتان باید یک حدس مناسب بزنید.

راهنمایی: می‌دانیم

$$\sin x + \sin 2x + \dots + \sin Nx = \frac{2 \sin \left( \frac{N+1}{2} x \right) \sin \left( \frac{N}{2} x \right) \cos \left( \frac{x}{2} \right)}{\sin x}$$

۲۵. مسئله‌ی ۲ آزمون اول تابستان ۱۳۷۹

قرصی سوراخ‌دار، مطابق شکل با شعاع داخلی  $r_1$  و شعاع خارجی  $r_2$ ، چگالی سطحی بار مثبت  $\sigma$  دارد.

الف) میدان الکتریکی را روی محور تقارن قرص حساب کنید.

ب) این میدان را در حدهای زیر به دست آورید.

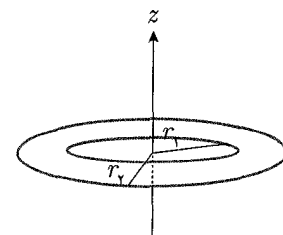
۱:  $r_1 \rightarrow 0$  , محدود  $r_2$

۲: محدود  $r_1$  ,  $r_2 \rightarrow \infty$

۳:  $r_1 \rightarrow 0$  ,  $r_2 \rightarrow \infty$

ج) فرض کنید جسمی به جرم  $m$  و بار منفی  $q$  مقید است که روی محور تقارن قرص (محور  $z$ ) حرکت کند. همچنین فرض کنید این جسم بسیار نزدیک به صفحه‌ی قرص قرار دارد.

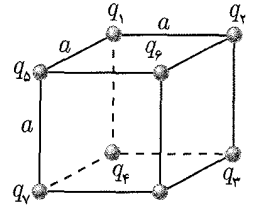
میدان را تا اولین مرتبه‌ی غیرصفر فاصله از صفحه‌ی قرص بسط دهید. نیروی وارد بر جسم را حساب کنید و بسامد نوسان‌های آن را به دست آورید. (شکل ۱-۵۵)



شکل ۱-۵۵

۲۶. مسئله‌ی ۱ آزمون اول تابستان ۱۳۸۰

مکعبی به ضلع  $a$  در نظر بگیرید. فرض کنید در هر رأس آن به جز یک رأس، یک بار  $+q$  قرار گرفته است. (شکل ۱-۵۶)



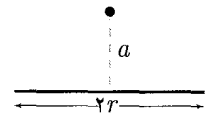
شکل ۱-۵۶

الف) بردار شدت میدان الکتریکی را در رأس خالی به دست آورید. (راستا و اندازه‌ی آن را)

ب) برای  $a = 0.7 \text{ mm}$  و  $q = 1.6 \times 10^{-19} \text{ C}$ ، اندازه‌ی این میدان الکتریکی را در دستگاه SI به دست آورید.

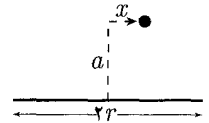
۲۷. مسئله‌ی ۶ آزمون اول تابستان ۱۳۸۲

الف) میدان الکتریکی را در فاصله‌ی  $a$  از میله‌ی بی‌نهایت طولی با چگالی بار الکتریکی  $\lambda$  بیابید. این میدان را  $E_0$  می‌نامیم.



شکل ۱-۵۷

ب) میدان الکتریکی را در فاصله‌ی عمودی  $a$  از مرکز میله‌ای به طول  $2r$  را  $E$  می‌نامیم. اگر  $\epsilon = \frac{a}{r}$  کوچک باشد،  $\frac{E}{E_0}$  را بسط تیلور داده و جملات آن را تا مرتبه‌ی  $\epsilon^2$  نگه دارید.



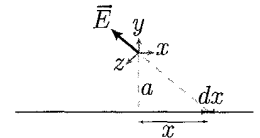
شکل ۱-۵۸

ج) اگر نقطه‌ی مورد نظر در فاصله‌ی عمودی  $a$  از میله، اما به فاصله‌ی  $x$  از مرکز میله قرار داشته باشد، مؤلفه‌ی عمود بر میله‌ی میدان را برای  $\frac{x}{r}$  های کوچک محاسبه کنید.

د)  $x$  چقدر کوچک باشد تا با دقت  $10^\circ$  مؤلفه‌ی عمودی بر میله‌ی میدان الکتریکی یکنواخت باشد؟

۲۸. مسئله‌ی ۳ آزمون اول تابستان ۱۳۸۳

چهار خط بار با چگالی طولی  $\lambda$  و طول  $a$  مطابق شکل روی چهار یال یک مربع قرار گرفته‌اند.



شکل ۱-۵۹

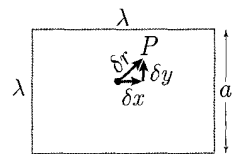
الف) میدان الکتریکی را در نقطه‌ی  $P$  به مختصات  $\vec{\delta r} = \delta x \hat{x} + \delta y \hat{y}$  (در صفحه مربع) پیدا کنید. فرض کنید  $|\vec{\delta r}| \ll a$ .

ب) چهار بار نقطه‌ای  $q$  را روی چهار رأس این مربع قرار می‌دهیم. رابطه‌ی بین  $q$  و  $\lambda$  پیدا کنید که میدان در نقطه‌ی  $P$  تا مرتبه‌ی اول نسبت به  $\frac{|\delta r|}{a}$  صفر باشد.

۲۹. مسئله‌ی ۳، آزمون اول تابستان ۱۳۸۶

می‌خواهیم میدان الکتریکی حاصل از یک حلقه‌ی باردار را دور از حلقه تا مرتبه‌ی ۲ نسبت به شعاع حلقه حساب کنیم.

الف) بار نقطه‌ای  $Q$  در نقطه‌ی  $\vec{a}$  را در نظر بگیرید. میدان الکتریکی این بار در نقطه‌ی  $\vec{r}$  (نقطه‌ی مشاهده) را تا مرتبه‌ی ۲ نسبت به  $a$  بنویسید. (این میدان را با  $E$  نمایش می‌دهیم).



شکل ۱-۶۰

یک حلقه‌ی باردار با چگالی یکنواخت و بار کل  $Q$  را در نظر بگیرید که در صفحه‌ی  $z = 0$  است. مرکز آن مرکز مختصات است و شعاع آن  $a$  است.  $(x, y, z)$  مختصات

دکارتی اند. به خاطر تقارن سمتی این توزیع بار، میدان الکتریکی در نقطه‌ی  $r$  تا مرتبه‌ی ۲ نسبت به  $a$  به این شکل است.

$$E = \frac{kQ}{r^2} \left\{ \hat{r} + \frac{a}{r} [\hat{z}f_1(\theta) + \hat{\rho}f_2(\theta)] + \left(\frac{a}{r}\right)^2 [\hat{z}f_3(\theta) + \hat{\rho}f_4(\theta)] \right\}$$

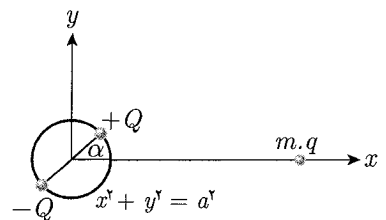
$$\hat{\rho} = \frac{\hat{x}x + \hat{y}y}{\sqrt{x^2 + y^2}} \quad \text{که } \theta \text{ زاویه‌ی } r \text{ با } \hat{z} \text{ است و}$$

(ب)  $f_1$  را حساب کنید. (ج)  $f_2$  را حساب کنید.

(د)  $f_3$  را حساب کنید. (ه)  $f_4$  را حساب کنید.

۳۰. مسئله‌ی ۸، آزمون نهایی تابستان ۱۳۸۵

ذره‌ای به جرم  $m$  و بار  $q$  مقید است که روی محور  $x$  حرکت کند (میدان گرانشی در کار نیست). دو بار  $+Q$  و  $-Q$  در دو انتهای یک قطر از دایره‌ی  $x^2 + y^2 = a^2$  هستند. این قطر دایره با سرعت زاویه‌ای ثابت  $\omega$  می‌چرخد. (شکل ۶۱-۱)



شکل ۶۱-۱

(الف) مؤلفه‌ی  $x$  میدان الکتریکی ناشی از بارهای  $\pm Q$  را در نقطه‌ی  $(x, 0, 0)$  بنویسید.

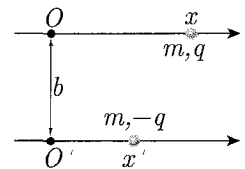
(ب) فرض کنید  $a \gg x$  باشد.  $E_x$  را تا نخستین تقریب ناصفر بسط دهید.

(ج) معادله‌ی دیفرانسیل حرکت ذره را (که فقط روی محور  $x$  حرکت می‌کند) بنویسید. فرض

کنید در  $t = 0$  بار مثبت در نقطه‌ی  $(0, a, 0)$  و بار منفی در نقطه‌ی  $(0, -a, 0)$  باشد.

۳۱. مسئله‌ی ۴ آزمون نهایی تابستان ۱۳۸۶

دو جسم با جرم‌های برابر  $m$  و بارهای  $q$  و  $-q$  مقیداند که روی دو میله‌ی موازی حرکت کنند. فاصله‌ی دو میله  $b$  است. مکان ذره‌ها را با  $x$  و  $x'$  مشخص می‌کنیم. مبدأهای  $O$  و  $O'$  در شکل مشخص شده است. پاره‌خط  $OO'$  بر هر دو محور عمود است. به جسمی که روی محور  $ox$  حرکت می‌کند نیروی  $f$  وارد می‌شود. (شکل ۶۲-۱)



شکل ۶۲-۱

(الف) معادله‌های دیفرانسیل حرکت، یعنی معادله‌های قانون دوم نیوتن را برای متغیرهای

$$X := \frac{1}{2}(x + x') \quad \text{و} \quad u := x - x' \quad \text{بنویسید.}$$

(ب) برای  $f = 0$  یک جواب معادله‌ها این است که  $X$  ثابت و  $u$  صفر باشد. بسامد نوسان‌های

کوچک  $u$  را  $\omega$  می‌نامیم.  $\omega$  را بیابید.

(ج) اکنون فرض کنید  $f$  ثابت باشد، و ضمناً  $f \ll mb\omega^2$  باشد. معادله‌ی  $u$  را برای  $q$  بسیار

بزرگ (یعنی  $\omega$  بسیار بزرگ) تا نخستین مرتبه در  $u$  بنویسید.

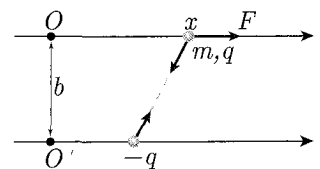
(د) نیروی  $f$  در  $t = 0$  روشن می‌شود و از آن پس ثابت می‌ماند. با شرط  $u(0) = 0$  و

$$\dot{u}(0) = 0 \quad \text{را به دست آورید.}$$

۳۲. مسئله‌ی ۴ مرحله‌ی دوم بیست‌ویکمین المپیاد فیزیک کشور

این مسئله یک مدل بسیار ساده شده برای رسانندگی الکتریکی است. یک الکترون به

جرم  $m$  و بار  $q$  در یک شبکه‌ی بلور حرکت می‌کند. حرکت این الکترون را در فقط یک راستا



شکل ۶۳-۱

(x) در نظر می‌گیریم. فرض می‌کنیم الکترون به مدت  $T$ ، سرعت  $v_0$  حرکت می‌کند، بعد برخورد می‌کند و سرعتش ( $-v_0$ ) می‌شود، به مدت  $T$  به حرکت با این سرعت ادامه می‌دهد، باز برخورد می‌کند و سرعتش  $v_0$  می‌شود، و این فرایند ادامه می‌یابد. از زمان برخورد در برابر  $T$  چشم ببوشید. این در حالتی است که میدان الکتریکی خارجی وجود ندارد. فرض کنید اگر یک میدان الکتریکی خارجی در راستای  $x$  اعمال شود (که تصویر آن در این راستا  $E$  است). زمان حرکت بین دو برخورد تغییری نمی‌کند، و نتیجه‌ی هر برخورد این است که اگر سرعت پیش از برخورد ( $\pm v_0 + u$ ) باشد، سرعت پس از برخورد ( $\mp v_0 + \alpha u$ ) می‌شود، که  $\alpha$  یک مقدار ثابت است. بین هر دو برخورد، نیروی وارد بر الکترون فقط ناشی از میدان الکتریکی بیرونی است.

فرض کنید سرعت الکترون درست پس از یک برخورد ( $v_0 + \Delta v$ ) است. این برخورد را برخورد صفر می‌نامیم.

(الف) سرعت الکترون درست پیش از برخورد بعدی (برخورد یک) را حساب کنید.

(ب) سرعت الکترون درست پس از برخورد یک را حساب کنید.

(ج) سرعت الکترون درست پیش از برخورد دو را حساب کنید.

(د) سرعت الکترون درست پس از برخورد دو را حساب کنید.

(ه)  $\Delta v$  چقدر باشد تا سرعت الکترون درست پس از برخورد دو با سرعت الکترون پس از برخورد صفر برابر شود؟

(و) با فرض این‌که چنین باشد، سرعت متوسط ذره از برخورد صفر تا برخورد دو را حساب کنید. (منظور از سرعت متوسط، جابه‌جایی تقسیم بر زمان است.)

### ۳۳. بیست‌ودومین المپیاد فیزیک کشور ۱۳۸۷

بار و جرم الکترون، ضریب  $k$  در قانون کولن و ضریب  $G$  در قانون گرانش، در واحدهای SI به صورت زیر است:

$$e = 1.6 \times 10^{-19} \text{ C}, \quad m = 9.1 \times 10^{-31} \text{ kg}$$

$$k = \frac{1}{4\pi\epsilon_0} = 9.0 \times 10^9 \text{ N}\cdot\text{m}^2/\text{C}^2, \quad G = 6.7 \times 10^{-11} \text{ N}\cdot\text{m}^2/\text{kg}^2$$

نسبت نیروی الکتریکی به نیروی گرانشی دو الکترون به کدام گزینه نزدیک‌تر است؟

- (الف)  $10^{45}$  (ب)  $10^{42}$  (ج)  $10^{39}$  (د)  $10^{36}$

### ۳۴. مرحله‌ی اول بیست‌وسومین المپیاد فیزیک کشور ۱۳۸۸

شکل زیر آونگی با بار الکتریکی  $q$  و وزن  $mg$  را نشان می‌دهد که در یک میدان الکتریکی یکنواخت  $\vec{E}$  قرار دارد. آونگ را مقداری از امتداد قائم (امتداد خط چین) خارج می‌کنیم و در حالت نشان داده شده در شکل ساکن نگه می‌داریم، طوری که نخ

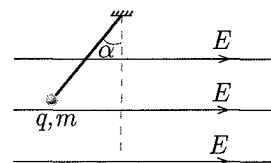
آونگ کشیده شده است. آونگ را رها می‌کنیم. گلوله‌ی آونگ روی خط راست حرکت می‌کند و نخ آونگ شل می‌شود. کدام گزینه در مورد زاویه‌ی  $\alpha$  که در شکل نشان داده شده صحیح است؟

ب)  $\alpha > \text{Arctan}\left(\frac{mg}{qE}\right)$

د)  $\alpha < \text{Arctan}\left(\frac{mg}{qE}\right)$

الف)  $\alpha > \text{Arctan}\left(\frac{qE}{mg}\right)$

ج)  $\alpha < \text{Arctan}\left(\frac{qE}{mg}\right)$



شکل ۱-۶۴





## پاسخ سؤال‌های المپیاد فصل ۱

### ۱. حل. □□□■

ابتدا دو گلوله با بارهای  $q_1$  و  $q_2$  را در نظر بگیرید که توسط میله‌ای سبک و عایق به هم وصل شده‌اند (شکل ۶۵-۱). این دو بار بر هم نیروی الکتریکی وارد می‌کنند. بنابراین، برای این‌که آنها بتوانند در موضع خود، یعنی در دو سر میله باقی بمانند، میله باید نیرویی به اندازه نیروی الکتریکی ولی مخالف با آن به هر کدام از گلوله‌ها وارد کند (شکل ۶۶-۱). در نتیجه برآیند نیروهای وارد بر هر کدام از گلوله‌ها صفر است.



شکل ۶۵-۱

کشش دو سر میله نیز با هم برابر است و میله نیز تعادل دارد. این نتیجه با دانسته‌های قبلی، مبنی بر این‌که نیروی مؤثر بر یک مجموعه، برآیند نیروهای خارجی وارد بر آن است، همخوانی دارد زیرا کشش میله و نیروی الکتریکی برای کل مجموعه نیروهای داخلی محسوب می‌شوند.

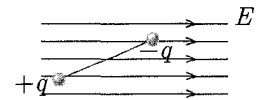


شکل ۶۶-۱

در این مسئله هر دو بار الکتریکی نیروهایی هم‌اندازه، هم‌راستا و در سوی مخالف به هم وارد می‌کنند که با کشش میله‌ها خنثی می‌شود. (توجه کنید که تمامی این نیروها برای سیستم ۳ بار و میله، نیروهای داخلی محسوب می‌شوند.) بنابراین برآیند کل نیروهای وارد بر دستگاه صفر است.

### ۲. حل. □□□■

همان‌طور که می‌دانید، جهت خطوط میدان الکتریکی از منبع بار مثبت به سمت منبع بار منفی است. بنابراین اگر یک بار را در میدان الکتریکی رها کنیم، در صورتی که مثبت باشد، در جهت خطوط میدان و اگر منفی باشد، در خلاف جهت میدان به حرکت درمی‌آید. در این مسئله چون میدان الکتریکی یکنواخت است. اندازه‌ی  $E$  در همه‌ی نقاط یکسان است. در نتیجه مطابق شکل ۶۸-۱ اندازه‌ی نیروی وارد بر بار مثبت و منفی با هم برابر در راستایشان یکی است ولی در خلاف جهت هم اثر می‌کنند. پس این دو نیرو همدیگر را خنثی می‌کنند. بنابراین کل نیروی وارد بر مجموعه‌ی دوقطبی صفر است؛ ولی با توجه به شکل ۶۸-۱ دو نیروی  $F_+$  و  $F_-$  بر مجموعه گشتاوری وارد می‌کنند که آن را در جهت پادساعتگرد می‌چرخاند.



شکل ۶۷-۱

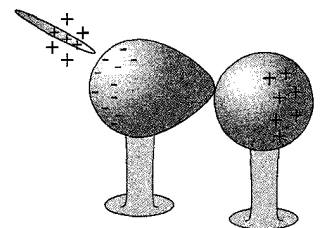


شکل ۶۸-۱

### ۳. حل. □■□□

قبل از نزدیک کردن میله‌ی شیشه‌ای به دو جسم رسانا، مجموع بارهای الکتریکی آنها صفر است. با نزدیک کردن میله‌ی شیشه‌ای با بار مثبت، مقداری از بارهای دو جسم به حرکت درمی‌آیند (القای بار) و مطابق شکل ۶۹-۱، بار  $+q$  بر روی رسانای دورتر (یعنی کره) و بار  $-q$  بر روی رسانای نزدیک‌تر (رسانای گلابی شکل) جمع می‌شود، ولی مجموع بار سیستم باز صفر است.

حال وقتی دو رسانا را از هم جدا می‌کنیم، مجموع بار روی هر کدام از رساناها (در صورتی که با رسانای دیگری تماس پیدا نکند) تغییر نمی‌کند. در نتیجه اندازه‌ی بار القا شده در هر دو جسم رسانا یکسان است.



شکل ۶۹-۱

۴. حل. □□■□

دو گلوله‌ی رسانای مشابه با بارهای الکتریکی  $q_1$  و  $q_2$  ( $q_1 > q_2$ ) را در نظر بگیرید که در فاصله‌ی  $r$  از یکدیگر قرار دارند (شکل ۷۰-۱). بنابراین طبق قانون کولن، نیرویی که دو گلوله بر هم وارد می‌کنند، عبارتست از:

$$F = k \frac{q_1 q_2}{r^2}, \quad k = \frac{1}{4\pi\epsilon_0}$$

زمانی که این دو گلوله را با هم تماس می‌دهیم، بارها جابه‌جا می‌شوند و چون کاملاً مشابه یکدیگرند، این جابه‌جایی به گونه‌ای صورت می‌گیرد که بار موجود در هر دو گلوله یکسان شود، که با توجه به فرض  $q_1 > q_2$ ، به این معنی است که مقداری از بار  $q_1$  موجود در گلوله‌ی اول به گلوله‌ی دوم انتقال می‌یابد. این بار انتقال یافته را  $q_0$  در نظر می‌گیریم (که مقداری مثبت دارد). پس

$$q_1 - q_0 = q_2 + q_0 \Rightarrow q_1 - q_2 = 2q_0$$

حال اگر دو گلوله را از هم جدا کرده و دوباره به فاصله‌ی  $r$  از یکدیگر قرار دهیم (شکل ۷۱-۱)، نیرویی که دو گلوله بر هم وارد می‌کنند عبارتست از:

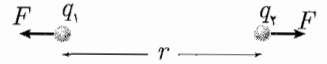
$$\begin{aligned} F' &= k \frac{(q_1 - q_0)(q_2 + q_0)}{r^2} \\ \Rightarrow F' &= k \frac{q_1 q_2 + q_0(q_1 - q_2) - q_0^2}{r^2} \\ \Rightarrow F' &= k \frac{q_1 q_2 + q_0^2}{r^2} \end{aligned}$$

مشخص است که  $F' > F$  است. در نتیجه نیرویی که دو گلوله در این حالت به هم وارد می‌کنند، بیشتر از حالت اولیه است.

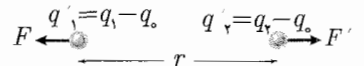
۵. حل. گزینه‌های (ب) و (د) صحیح هستند.

در شکل ۷۲-۱ یک حلقه باردار با بار  $Q$  نشان داده شده است که به طور یکنواخت روی آن توزیع شده است. اگر یک بار نقطه‌ای  $q$  را در مرکز حلقه قرار دهیم، نیروی وارد بر آن صفر خواهد بود، زیرا فاصله‌ی بار  $q$  از تمام نقاط حلقه یکسان است و در نتیجه با توجه به توزیع یکنواخت بار (و تقارن آن نسبت به مرکز حلقه)، نیرویی مساوی از هر سو بر آن وارد می‌شود.

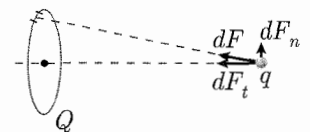
حال اگر بار  $q$  را روی محور حلقه از مرکز آن دور کنیم، دیگر برابری نیروهای وارد بر آن صفر نخواهد بود. ابتدا حالتی که بارهای  $Q$  و  $q$  مختلف‌العلامه باشند را بررسی می‌کنیم در این حالت نیروی بین هر قسمت از حلقه با بار  $dQ$  و بار  $q$  جاذبه است (شکل ۷۲-۱). مجموع این مؤلفه‌ها به طرف مرکز حلقه خواهد بود، پس اگر بار  $q$  را بر روی محور حلقه از مرکز آن دور کنیم، نیرویی به طرف مرکز حلقه بر آن وارد می‌شود و آن را به مرکز حلقه باز می‌گرداند. در نتیجه اگر  $Q$  و  $q$  مختلف‌العلامه باشند، تعادل  $q$  در راستای محور حلقه پایدار خواهد بود. اگر  $Q$  و  $q$  هم‌علامت باشند، تنها جهت  $dF$  معکوس می‌شود (شکل ۷۳-۱). بنابراین مؤلفه‌های عمود بر محور میدان الکتریکی باز هم همدیگر را خنثی می‌کنند و مؤلفه‌های در راستای محور



شکل ۷۰-۱



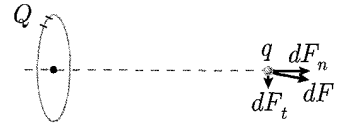
شکل ۷۱-۱



شکل ۷۲-۱

ميدان در جهتی است که بار  $q$  را از مرکز حلقه دور می‌کند. پس اگر بار  $q$  را بر روی محور حلقه از مرکز آن دور کنیم، نیروی در خلاف جهت مرکز به آن وارد می‌شود و آن را از مرکز حلقه دور می‌کند. در نتیجه اگر  $Q$  و  $q$  هم علامت باشند، تعادل  $q$  در راستای محور حلقه ناپایدار خواهد بود. بنابراین گزینه‌های (الف) و (ج) تعادل مورد نظر ایجاد نمی‌کند و در نتیجه صحیح نیستند.

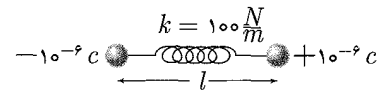
اکنون تعادل بار  $q$  را در راستای شعاع حلقه بررسی می‌کنیم. ثابت کردیم که گزینه‌های (الف) و (ج) نادرست هستند، پس کافی است حالتی که بارهای  $q$  و  $Q$  مختلف‌العلامه باشند را بررسی کنیم. اگر بار  $q$  را در راستای شعاع حلقه از مرکز آن دور کنیم، دیگر نیروی وارد بر آن صفر نخواهد بود، زیرا بار  $q$  به قسمتی از حلقه نزدیک و از قسمتی دیگر دور می‌شود. در این حالت قسمت کوچک‌تر، نیروی جاذبه‌ی بزرگ‌تری بر بار  $q$  وارد می‌کند و آن را به طرف خود می‌کشد. این نیروی جاذبه باعث می‌شود که بار  $q$  بیشتر از مرکز حلقه دور شود. پس اگر بار  $q$  را از مرکز حلقه دور کنیم، از آن دور خواهد شد در نتیجه، تعادل  $q$  در راستای شعاع ناپایدار است. بنابراین، گزینه‌های (ب) و (د) صحیح هستند. واضح است که بر این اساس گزینه (ه) نادرست است.



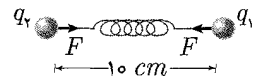
شکل ۱-۷۳

۶. حل. ■ □ □ □

مطابق شکل ۱-۷۴، دو گلوله به دلیل این‌که بار الکتریکی مخالف هم دارند، یکدیگر را جذب می‌کنند و فنر را فشرده می‌کنند. وقتی فنر فشرده شود و طول آن کمتر از حالت عادی آن شود، به دو گلوله‌ی متصل به دو سر آن نیروی عکس‌العملی وارد می‌کند و در نتیجه بر هر گلوله دو نیروی مساوی و در جهت مخالف وارد می‌شود. چرا که بایستی در تعادل باشد. برای به‌دست آوردن نیروی الکتریکی  $F$  میان دو گلوله‌ی باردار، از قانون کولن استفاده می‌کنیم، طبق رابطه‌ی قانون کولن داریم:



(الف)



(ب)

شکل ۱-۷۴

$$|F| = k \frac{|q_1 q_2|}{l^2} = 9 \times 10^9 \times \frac{10^{-6} \times 10^{-6}}{(100)^2} = 0,9 \text{ N}$$

همچنین می‌دانیم که نیروی فنر با تغییر طول آن نسبت مستقیم دارد و ضریب این نسبت همان ثابت فنر است. پس داریم:

$$\Delta l = l - 10$$

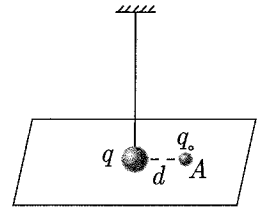
$$F = k \Delta l \Rightarrow \Delta l = \frac{F}{k} = \frac{0,9}{100} = 9 \times 10^{-3} \text{ m} = 0,9 \text{ cm}$$

پس  $l$ ، که همان طول اولیه‌ی فنر است، به همین مقدار  $\Delta l$  بیشتر از طول فشرده شده‌ی فنر بوده است.

$$l = 10 + 0,9 = 10,9 \text{ cm}$$

که گزینه‌ی الف این نتیجه را می‌دهد.

۷. حل. مطابق شکل ۷۵-۱ هنگامی که بار نقطه‌ی  $q_0$  را در نقطه‌ی مورد نظر  $A$  قرار دهیم، بار  $q_0$  بر بار  $q$  نیرویی وارد می‌کند و باعث می‌شود بار  $q$  از جای خود منحرف شود و فاصله‌ی بار  $q$  تا نقطه‌ی  $A$  از آنچه قبل از قرار دادن بار  $q$  بوده، تغییر کند. اگر دو بار  $q$  و  $q_0$  علامت‌های مشابه داشته باشند (یعنی هر دو مثبت و یا هر دو منفی باشند)، همدیگر را دفع می‌کنند و در نتیجه بار  $q$  از نقطه‌ی  $A$  دور می‌شود. با تغییر فاصله‌ی  $q$  از نقطه‌ی  $A$  (یعنی  $d$ ) میدان حاصل از آن در این نقطه تغییر می‌کند. با افزایش فاصله‌ی  $d$ ، مقدار میدان کاهش می‌یابد. برعکس آن، برای حالتی که دو بار غیرهم‌نام هم علامت باشند، اتفاق می‌افتد، یعنی اگر یکی مثبت و دیگری منفی باشد (فرقی نمی‌کند کدام مثبت و کدام منفی باشد)، نیروی جاذبه‌ی بین دو بار، بار  $q$  را به نقطه‌ی  $A$  نزدیک می‌کند. کم شدن فاصله، و در نتیجه کاهش  $d$ ، موجب افزایش میدان در نقطه‌ی  $A$  می‌شود.



شکل ۷۵-۱

مطابق این توضیحات، گزینه‌های الف و ب، هر دو درست به نظر می‌رسند و هر دو جواب این مسئله هستند.

۸. حل. ■ □ □ □

مطابق شکل ۷۶-۱ وقتی بار  $q_0$  در نقطه‌ی  $A$  از خطوط میدان الکتریکی قرار بگیرد، نیرویی الکتریکی بر آن وارد می‌شود. این نیرو برابر با حاصل ضرب بار  $q_0$  در میدان آن نقطه، و راستای آن همان راستای خط میدان گذرنده از نقطه‌ی  $A$  خواهد شد.

شتابی که چنین ذره‌ای با بار  $q_0$  و جرم  $m$  واقع در نقطه‌ی  $A$  با میدان  $\vec{E}$  پیدا می‌کند، عبارتست از:

$$\vec{a} = \frac{\vec{F}}{m} = \frac{q_0 \vec{E}}{m}$$

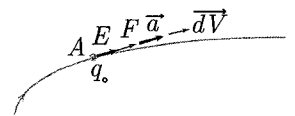
می‌دانیم که شتاب، برابر با آهنگ تغییر سرعت بر زمان است. یعنی:

$$\vec{a} = \frac{d\vec{v}}{dt}$$

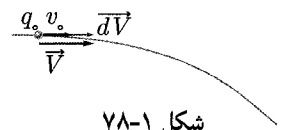
در نتیجه، بردار تغییر سرعت ذره‌ی باردار در نقطه‌ی  $A$  (یا  $d\vec{v}$ ) نیز بر خط میدان در آن نقطه مماس خواهد بود (شکل ۷۷-۱). فرض کنید بار  $q_0$  در یک لحظه‌ی خاص سرعت  $v_0$  را داراست که بر خط میدان آن نقطه مماس است. اگر بردار تغییر سرعت در طول مدت زمان  $dt$  را  $d\vec{v}$  بنامیم، طبق آنچه گفته شد، این  $d\vec{v}$  هم بر خطوط میدان مماس است بنابراین سرعت ذره بعد از زمان  $dt$  همچنان بر خط میدان در نقطه‌ی  $A$  مماس خواهد بود (شکل ۷۸-۱).



شکل ۷۶-۱

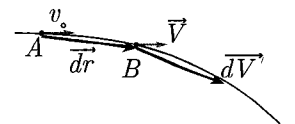


شکل ۷۷-۱



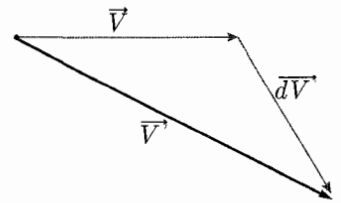
شکل ۷۸-۱

در این مدت زمان  $dt$ ، ذره‌ی  $q_0$  به اندازه‌ی  $d\vec{r}$  جابه‌جا می‌شود و به نقطه‌ی جدید  $B$  می‌رسد (شکل ۷۹-۱). در نقطه‌ی جدید  $B$ ، سرعت ذره ( $\vec{v}$ ) دیگر بر خط میدان در نقطه‌ی  $B$  مماس نخواهد بود، چون همان راستای خط میدان نقطه‌ی  $A$  را دارد و این خط میدان ممکن است در  $B$  راستای دیگری داشته باشد. پس تغییر سرعت نقطه‌ی  $B$  در این نقطه (و یا  $d\vec{v}$ )، همان طور که گفته شد و در شکل نیز دیده می‌شود، مماس بر خط میدان در نقطه‌ی



شکل ۷۹-۱

جدید است و سرعت جدید  $v'$  را به آن می‌دهد که دیگر در راستای خط میدان نقطه‌ای  $B$  نیست (مطابق شکل ۸۰-۱ از جمع برداری  $\vec{v}$  و  $d\vec{v}$ ، سرعت جدید  $\vec{v}'$  به دست می‌آید). از آنجا که سرعت ذره در نقطه‌ی  $B$  برابر  $\vec{v}$  است و جابه‌جایی با سرعت هم‌جهت است، در مدت  $dt$  بعد از حرکت ذره از نقطه‌ی  $B$ ، ذره از خط میدان خارج می‌شود و خط میدان جدیدی از آن عبور خواهد کرد. پس گزینه‌ی (ب) که سرعت اولیه‌ی ذره‌ی باردار را مماس بر خطوط میدان در نظر گرفته است، نقض می‌شود. اگر همچنین نباشد و بار سرعت اولیه‌ی مماس بر خطوط میدان نداشته باشد، مانند آن است که بار از نقطه‌ی  $B$  شروع به حرکت کند، که همان طور که دیدیم در همان لحظه‌ی نخست، جابه‌جایی کوچک اولیه‌اش، آن را از خط میدان دور می‌کند. بنابراین، با هر نوعی از شرایط اولیه، بار بالاخره از خطوط میدان دور خواهد شد و گزینه‌ی (د) که هیچ شرایطی را برای ادامه‌ی حرکت ذره‌ی باردار روی خطوط میدان موجود نمی‌بیند، درست به نظر می‌رسد. در حالت کلی که خطوط میدان انحنای دارند، اگر بار  $A$  بخواهد در راستای خطوط میدان حرکت کند، نیازمند نیروی عمود بر مسیر حرکت‌اش است که بتواند شتاب مرکزگرا ( $v^2/\rho$ ) را تأمین کند. اما همان طور که می‌دانیم نیروی میدان در راستای میدان یعنی مماس بر مسیر حرکت ذره است. پس ذره به دلیل عدم وجود نیروی مرکزگرا از مسیر منحرف می‌شود پس صرف‌نظر از شرایط اولیه‌ی حرکت ذره نمی‌تواند روی خط میدان حرکت کند (مگر در حالتی که خطوط میدان مستقیم باشند). پس گزینه‌ی (د) صحیح می‌باشد.



شکل ۸۰-۱

## ۹. حل. □ □ ■ □

همان طور که در بخش خطوط میدان گفته شد، در فضایی که میدان الکتریکی وجود دارد، خطوط میدان بر اساس قراردادهایی رسم می‌شوند، این قراردادها عبارتند از:

- در هر نقطه راستای میدان الکتریکی بر خط میدان در آن نقطه مماس است و میدان الکتریکی در جهت خط میدان قرار دارد.

- اگر سطحی به مساحت واحد بر سر راه خطوط میدان و عمود بر آنها قرار دهیم، هر چه میدان در نقطه‌ای قوی‌تر باشد، تعداد خطوطی که رسم می‌شوند تا از آن مساحت واحد بگذرند بیشتر است. این قرارداد، در شکل ۸۱-۱ میدان الکتریکی را برای نقطه‌ی  $A$  بیشتر از نقطه‌ی  $B$  اعلام می‌کند، چرا که خطوط میدان، خطوط حقیقی میدان نیستند که وجود یا عدم وجود میدان را در نقطه‌ای اعلام کنند. بلکه تنها خطوطی قراردادی هستند، بدین معنی که برای نقطه‌ای مانند نقطه‌ی  $A$  در شکل که بر روی هیچ خط میدانی واقع نشده است، تصور این‌که میدان الکتریکی صفر است تصور غلطی خواهد بود چرا که اگر قرار باشد از هر نقطه‌ای از فضا که میدان الکتریکی در آن وجود دارد، خطی رسم کنیم، باید تمام شکل را سیاه کنیم! چون در همه‌ی نقاط شکل میدان الکتریکی وجود دارد. باید توجه کنیم که خطوط میدان الکتریکی فقط «معیاری برای نمایش راستا و جهت و شدت و ضعف میدان در هر محدوده از فضا هستند و در نتیجه میدان یک نقطه‌ی مجزا مستقیماً با توجه به خطوط «گذرا از آن نقطه» قابل استنتاج نیست. بدین ترتیب، برای یافتن جهت اطلاعات میدان در نقطه‌ی  $A$ ، از دو خط میدان مجاور آن استفاده می‌کنیم.



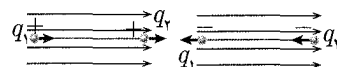
شکل ۸۱-۱

بنابراین توضیحات، میدان الکتریکی در نقطه‌ی  $A$  که در ناحیه‌ی فشرده‌تر خطوط میدان واقع است، بیشتر از نقطه‌ی  $B$  است و در نتیجه نیرویی که به بار واقع در نقطه‌ی  $A$  وارد می‌شود نیز بیشتر است.

۱۰. حل. گزینه‌های (الف)، (ج) و (ه) صحیح هستند.

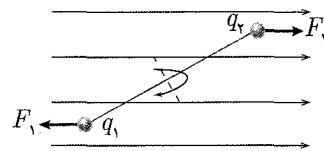
می‌دانیم که نیروی وارد بر بار مثبت در جهت میدان الکتریکی است و نیروی وارد بر بار منفی در خلاف جهت آن. فرض کنید بارهای  $q_1$  و  $q_2$  هم علامت باشند، یعنی هر دو مثبت و یا هر دو منفی باشند. در این صورت، مطابق شکل ۸۲-۱، از آنجا که نیروی وارده بر هر دو بار در یک جهت است، برآیند نیروهای وارد بر مجموعه‌ی دو بار، صفر نخواهد شد و بدین ترتیب مجموعه در حال تعادل نخواهد بود، چه تعادل پایدار و چه ناپایدار. در حالت کلی تعادلی وجود نخواهد داشت. بنابراین توضیحات، گزینه‌های (ب) و (د) نادرست هستند و گزینه‌ی (ه) درست است.

در شکل سؤال، از آنجا که فاصله‌ی همه‌ی خطوط میدان به یک اندازه است و خطوط میدان موازی و هم جهت هستند، میدان الکتریکی یکنواخت است و از آنجا که اندازه‌ی  $q_1$  و  $q_2$  با هم برابر است، اندازه‌ی نیروی وارد بر هر کدام نیز با دیگری برابر است. برای آن‌که مجموعه در حال تعادل باشد، بایستی برآیند نیروهای وارد بر مجموعه‌ی دو بار صفر شود و صفر شدن برآیند نیروها تنها هنگامی امکان‌پذیر می‌شود که دو نیرو در خلاف جهت هم وارد شوند، در نتیجه، بارهای  $q_1$  و  $q_2$  بایستی علامت مخالف هم داشته باشند.

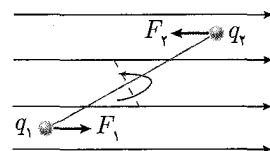


شکل ۸۲-۱

برای بررسی پایداری - ناپایداری مجموعه، آن را حول محوری که از وسط آن می‌گذرد و بر میله عمود است، مطابق شکل ۸۳-۱ می‌چرخانیم. اگر مجموعه بعد از چرخانده شدن، تمایل داشته باشد که به حالت قبلی خود بازگردد، دارای تعادل پایدار است، و اگر تمایل نداشته باشد و برنگردد، دارای تعادل ناپایدار است. فرض کنید در شکل ۸۳-۱  $q_1$  منفی و  $q_2$  مثبت باشد. همان طور که در شکل معلوم است، این دو نیرو می‌خواهند میله را در جهت عقربه‌های ساعت بگردانند. از آنجا که مجموعه را خلاف جهت حرکت عقربه‌های ساعت چرخانده بودیم، ولی تمایل آن به چرخش در جهت حرکت عقربه‌های ساعت است، بنابراین مجموعه تمایل به بازگشت به حالت قبلی خود دارد و در نتیجه در حالت تعادل پایدار است. پس گزینه‌ی (الف) صحیح است. ولی اگر مطابق شکل ۸۴-۱ علامت بارهای  $q_1$  و  $q_2$  را عکس حالت قبلی فرض کنیم، می‌بینیم که حالتی برعکس اتفاق می‌افتد. با وجود که همچنان مجموعه خلاف جهت حرکت عقربه‌های ساعت چرخانده شده است، ولی تمایل مجموعه نیز به چرخش در همان جهت خلاف حرکت عقربه‌های ساعت است و در نتیجه نمی‌خواهد به حالت قبل خود بازگردد. از آنجا که دو نیروی  $F_1$  و  $F_2$  مطابق شکل در خلاف جهت هم وارد می‌شوند، سیستم در حال تعادل است، ولی از آنجا که با تغییر کوچکی در سیستم، تمایل به بازگشت به حالت تعادل در آن دیده نمی‌شود، بنابراین این تعادل، تعادل ناپایدار است. پس گزینه‌ی (ج) نیز صحیح است.



شکل ۸۳-۱ دو نیروی  $F_2$  و  $F_1$  می‌خواهند مجموعه را در جهت حرکت عقربه‌های ساعت بگردانند.

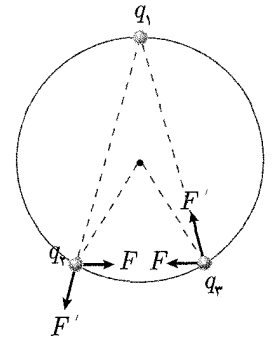


شکل ۸۴-۱ دو نیروی  $F_2$  و  $F_1$  می‌خواهند مجموعه را در خلاف جهت حرکت عقربه‌های ساعت بگردانند.

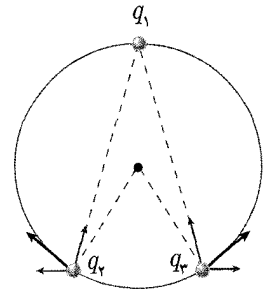
۱۱. حل. □ □ □ □

برای بررسی وضعیت مهره‌ها در حالت تعادل، حالت‌های مختلف نیروهای وارد بر مهره‌ها

را بررسی می‌کنیم. حالت تعادل وقتی برقرار می‌شود که برآیند نیروهای وارد بر هر مهره، در راستای مماس بر دایره مؤلفه‌ای نداشته باشد، چرا که مؤلفه‌ی مماس بر دایره‌ی نیروی وارد بر هر مهره، با نیرویی مانند اصطکاک روبه‌رو نیست و موجب حرکت مهره‌ها بر روی حلقه خواهد شد. بیایید ابتدا فرض کنیم که دو بار  $q_2$  و  $q_3$  علامت مخالف هم داشته باشند (شکل ۸۵-۱).  $F'$ ، نیرویی که این دو بار به هم وارد می‌کنند، از نوع جاذبه خواهد بود. حال برای این‌که بدانیم  $q_1$  چه نیرویی به این دو بار وارد می‌کند، فرض کنید بار  $q_1$  با  $q_2$  همنام و در نتیجه با  $q_3$  ناهمنام است. در نتیجه  $q_2$  را دفع، و  $q_3$  را جذب خواهد کرد. حال اگر فرضی خلاف این فرض در نظر بگیریم، یعنی بار  $q_1$  را همنام با  $q_3$  و ناهمنام با  $q_2$  فرض کنیم. به نتیجه‌ای مشابه خواهیم رسید، یعنی  $q_1$ ،  $q_2$  را دفع و  $q_3$  را جذب خواهد کرد. در هر دو حالت، بررسی تعادل نیروهای وارد بر دو بار، وضعیت مشابهی داراست و تفاوتی برای ما ندارد؛ پس فرض اول را می‌گیریم و نیروی وارده از  $q_1$  به  $q_2$  و  $q_3$  را  $F'$  می‌نامیم (شکل ۸۵-۱) (توجه کنید که بنا به تقارن برای برقراری تعادل بار  $q_1$ ، مقدار دو بار  $q_2$  و  $q_3$  باید برابر باشد). اگر بخواهیم وضعیت تعادل دو بار  $q_2$  و  $q_3$  را بررسی کنیم، می‌بینیم که در حالتی که  $F$  و  $F'$  اندازه‌هایی مناسب داشته باشند، بار  $q_2$  «می‌تواند» مؤلفه‌ی مماس بر دایره نداشته باشد، ولی بار  $q_3$  مخالف  $F$  و  $F'$  هر اندازه‌ای هم که داشته باشند) مؤلفه‌ی مماسی خواهد داشت. در نتیجه علامت مخالف بارهای  $q_2$  و  $q_3$ ، آنها را در وضعیت تعادلی مخالفی قرار می‌دهد. پس فرض اول، منجر به تعادل نمی‌شود. اگر مانند شکل ۸۶-۱ علامت  $q_2$  و  $q_3$  یکسان و مخالف با علامت بار  $q_1$  باشد. چنانچه از شکل مشخص است، هیچ یک از بارها در حالت تعادل نخواهند بود، چرا که برآیند نیرو برای هیچ کدام از آن دو در راستای مماس بر دایره صفر نخواهد بود. در نتیجه، این فرض نیز منجر به تعادل نمی‌شود. حالت باقی‌مانده، حالتی است که در آن هر سه بار  $q_1$ ،  $q_2$  و  $q_3$  هم علامت باشند. مطابق شکل ۸۷-۱ دیده می‌شود که برای این‌که بار  $q_3$  در حالت تعادل باشد، چنین رابطه‌ای لازم است:



شکل ۸۵-۱



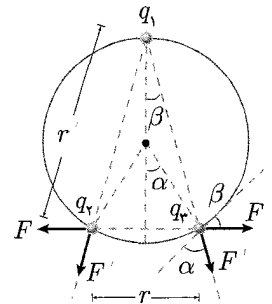
شکل ۸۶-۱

$$F \cos \beta = F' \cos \alpha$$

با توجه به شکل ۸۷-۱ پیداست که زاویه‌ی  $\beta$  کمتر از  $\alpha$  است، پس  $F$  و  $F'$  چنین رابطه‌ای با هم دارند:

$$\beta < \alpha \Rightarrow \cos \beta > \cos \alpha \Rightarrow F < F'$$

اگر نامساوی  $F < F'$  برقرار باشد، فرض ما برای علامت بارها برقرار خواهد بود. از آنجا که  $F$  نیرویی است که بار  $q_2$  به  $q_3$  وارد می‌کند و  $F'$  نیروی وارده از  $q_1$  بر  $q_3$  است، با توجه به این‌که مقدار بارهای  $q_2$  و  $q_3$  برابر است و فاصله‌ی بین دو بار  $q_2$  و  $q_3$  کمتر از فاصله‌ی بین  $q_1$  و  $q_3$  است. طبق قانون کولن داریم:



شکل ۸۷-۱

$$F = k \frac{q_2 q_3}{r^2} \quad (I) \quad F' > F \quad (II) \quad r' > r \quad (III)$$

$$F' = k \frac{q_1 q_3}{r'^2}$$

$$(I), (II), (III) \Rightarrow q_1 > q_2 \quad (۱)$$

$$(۱), q_2 = q_3 \Rightarrow q_1 > q_3 \quad (۲)$$

بنابراین نتایج گزینه‌ی (ج) که بر هم علامت بودن سه بار، برابری دو بار  $q_2$  و  $q_3$ ، و بیشتر بودن مقدار  $q_1$  از  $q_2$  اشاره می‌کند، گزینه‌ی صحیح خواهد بود.

۱۲. حل. □□■□

در شکل ۸۸-۱، نیروهای وارده از طرف میدان الکتریکی موجود در محیط بر هر یک از دو بار نشان داده شده است. از آنجا که بار  $q_1$  منفی است، نیروی وارده بر آن،  $F_1$ ، در خلاف جهت میدان موجود در نقطه‌ی بار خواهد بود؛ برای بار مثبت  $q_2$  نیز برعکس. همان طور که در بخش مربوط به خطوط میدان گفته شد، چگالی خطوط میدان الکتریکی معیاری از اندازه آن است، در نتیجه در محل بار  $q_1$ ، میدان بزرگ‌تری از محل بار  $q_2$  وجود دارد. از آنجایی که طبق اطلاعات داده شده در مسئله، اندازه‌ی بار  $q_1$  از اندازه‌ی بار  $q_2$  بزرگ‌تر است ( $|q_2| < |q_1|$ )، نیروی وارده بر دو بار از طرف میدان حتی می‌تواند با هم برابر باشد. همان طور که در شکل ۸۸-۱ دیده می‌شود، از آنجا که برآیند دو نیرویی که در یک راستا قرار ندارند، هرگز صفر نیست،  $F$  ممکن نیست صفر باشد. پس گزینه‌های (ب) و (د) نادرست‌اند. در مورد گشتاور نیروهای وارده نسبت به وسط میله، یعنی همان  $\tau$ ، اگر گشتاور ناشی از هر کدام از نیروها را به طور مجزا بررسی کنیم، مطابق رابطه‌ی گشتاور ( $\vec{\tau} = \vec{r} \times \vec{F}$ ) داریم:

$$\vec{\tau}_1 = \vec{r}_1 \times \vec{F}_1$$

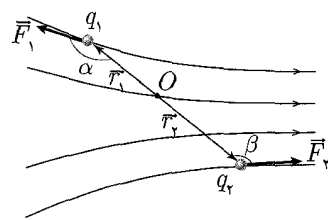
$$\vec{\tau}_2 = \vec{r}_2 \times \vec{F}_2$$

اگر جهت  $\vec{\tau}_1$  و  $\vec{\tau}_2$  را با توجه به قانون دست راست به دست آوریم، هر دو را برون‌سو و به سمت خارج صفحه می‌یابیم. بنابراین برآیند گشتاور نیروهای وارده نسبت به وسط میله، یا همان  $\tau$  نیز هرگز صفر نخواهد شد. ( $\tau \neq 0$ ) بنابراین گزینه‌ی (ب) صحیح خواهد بود.

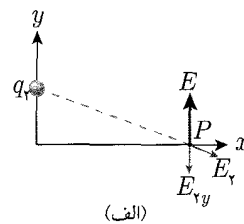
۱۳. حل. گزینه‌ی «و» صحیح است.

همان طور که در شکل مسئله دیده می‌شود، بار  $q_1$  روی محور  $x$  قرار دارد، در نتیجه میدان حاصل از آن در نقطه‌ی  $P$  فقط در جهت  $x$  مؤلفه خواهد داشت. بنابراین برای بررسی میدان نقطه‌ی  $P$ ، یعنی  $E$ ، که فقط در جهت  $y$  مؤلفه دارد، به بررسی میدان حاصل از  $q_2$  می‌پردازیم. مطابق شکل ۸۹-۱ مشخص است که بار  $q_2$  باید مقداری منفی داشته باشد تا مؤلفه‌ای در جهت مثبت محور  $y$  بدهد. ( $q_2 < 0$ ). پیداست که  $E$  در راستای  $x$  مؤلفه‌ای ندارد. برای این که مؤلفه‌ی  $x$  میدان در نقطه‌ی  $P$  صفر شود، باید میدان حاصل از بار  $q_1$ ، یعنی  $E_1$ ، مؤلفه‌ی  $x$  میدان ناشی از  $q_2$ ، یعنی  $E_2$  را خنثی کند. همان طور که در شکل ۹۰-۱ دیده می‌شود، برقراری رابطه فقط با مثبت بودن مقدار  $q_1$  محقق می‌شود ( $q_1 > 0$ ).

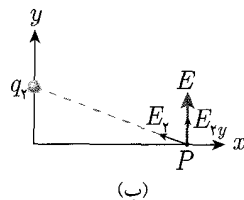
از آنجا که فاصله‌ی بار  $q_2$  از نقطه‌ی  $P$  (یا  $r_2$ ) بیشتر از فاصله‌ی بار  $q_1$  از نقطه‌ی  $P$  (یعنی  $r_1$ ) است، و اندازه‌ی  $E_2$ ، که مؤلفه‌ی  $x$  از  $E_2$  است (و کمتر از آن است) بایستی با



شکل ۸۸-۱

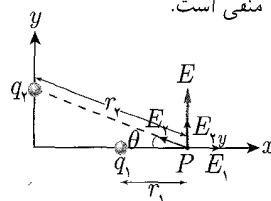


(الف)



(ب)

شکل ۸۹-۱ الف)  $q_2$  مثبت است. ب)  $q_2$  منفی است.



شکل ۹۰-۱



اندازهی  $E_1$  برابر شود، طبق قانون کولن داریم:

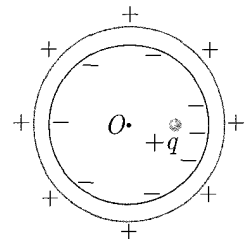
$$\begin{cases} E_{rx} = E_r \cos \theta = k \frac{q_2}{r_2^2} \cos \theta < k \frac{q_2}{r_2^2} \\ E_1 = k \frac{q_1}{r_1^2} \end{cases}$$

$$\begin{cases} r_2 > r_1 \\ |E_1| = |E_{rx}| \end{cases} \Rightarrow \frac{|q_2|}{r_2^2} \cos \theta = \frac{|q_1|}{r_1^2} \Rightarrow |q_2| > |q_1|$$

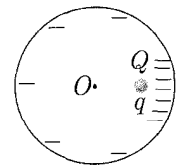
شرایط  $q_1 > 0$ ،  $q_2 < 0$  و  $|q_1| < |q_2|$  با گزینتهی (و) هم خوانی دارد.

۱۴. حل. □■□□

از آنجا که علامت بار  $q$  جزء داده‌های مسئله نیست، بیایید آن را مثبت فرض کنیم. بار مثبت  $q$  بر سطح داخلی کره بار منفی القاء می‌کند و بارهای مثبت را به سطح خارجی کره‌ی رسانا می‌راند. مطابق شکل ۹۱-۱ چگالی بار در قسمت‌هایی از سطح درونی کره که به  $q$  نزدیک‌تر است، بیشتر و در نقاط دورتر کمتر است. اما همان‌طور که گفته شد، توزیع بار بر سطح بیرونی کره‌ی رسانا یکنواخت خواهد بود، چرا که رسانا هرگز خبری از توزیع بار در درون خود نمی‌دهد. در واقع می‌توان نشان داد که صفر بودن میدان در داخل پوسته‌ی کره‌ی رسانا، موجب می‌شود که توزیع بار در درون آن اثری بر توزیع بار بیرونی‌اش نداشته باشد. یعنی می‌توان گفت توزیع یکنواخت بارهای مثبت بر سطح رسانا موجب می‌شود که کره مثل یک حفاظ بارهای درون خود را از تأثیر بارهای بیرونی حفظ کند. در نتیجه نیرویی که بر بار  $q$  وارد می‌شود، برآیند نیروهای ناشی از بارهای القایی درون خود را از تأثیر بارهای بیرونی حفظ کند. در نتیجه نیرویی که بر بار  $q$  وارد می‌شود، برآیند نیروهای ناشی از بارهای القایی سطح درونی پوسته خواهد بود، چرا که برآیند نیروهای ناشی از بارهای مثبت سطح خارجی پوسته بر بار  $q$ ، به علت توزیع یکنواخت بر سطح صفر است. مطابق شکل ۹۲-۱، از آنجا که توزیع بارهای القا شده نسبت به خط واصل  $q$  به مرکز  $(O)$  متقارن است. نیروی برآیند وارده بر بار  $q$  در راستای همین خط خواهد بود. از آنجا که بار  $q$  به قسمت چگال‌تر بارهای منفی نزدیک‌تر است، نیروی جاذبه‌ی این بخش بر نیروی جاذبه‌ی بخش کم چگال‌تر غلبه می‌کند و در نتیجه نیروی برآیند در جهت راست تصویر (و در واقع به سمت خارج از کره) خواهد بود. بنا بر این توضیحات، گزینتهی (ج) که نیرو را در راستای شعاع  $(OQ)$  و به سمت خارج از کره اعلام کرده است، پاسخ مسئله خواهد بود.



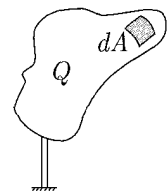
شکل ۹۱-۱



شکل ۹۲-۱

۱۵. حل. □■□□

مطابق شکل ۹۳-۱، یک پوسته‌ی فلزی اختیاری با بار  $Q$  در نظر می‌گیریم. قسمت کوچکی از این پوسته به مساحت  $dA$  که بار  $dQ$  روی آن است را در نظر می‌گیریم. بسته به مثبت یا منفی بودن بار  $Q$ ، بردار میدان الکتریکی در نقاط روی این سطح به سمت خارج یا داخل پوسته خواهد بود. این میدان، به علت این‌که پوسته‌ی اختیار شده نامتقارن است، در هر نقطه مقداری متفاوت دارد و در واقع با چگالی سطحی بار در آن نقطه متناسب است.



شکل ۹۳-۱

از آنجا که چگالی سطحی بار با  $Q$  نسبت مستقیم دارد، می‌توان گفت که میدان الکتریکی در هر نقطه با کل بار  $Q$  متناسب است، همچنین نیرویی که بر  $dA$  وارد می‌شود، از رابطه‌ی  $F = EdQ$  به دست می‌آید که نشان می‌دهد نیروی وارده با  $dQ$  متناسب است. از طرفی اگر  $\sigma$  چگالی بار در هر نقطه از پوسته را بدهد، داریم:

$$dQ = \sigma dA$$

همان طور که گفته شد،  $\sigma$ ، چگالی بار، با کل بار  $Q$  متناسب است. بنابراین

$$dQ \propto Q$$

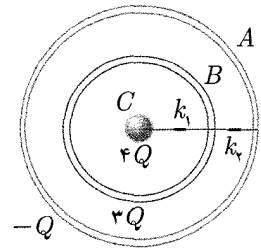
و از آنجا که میدان هم متناسب با بار کل  $Q$  است، نیروی وارد بر  $dA$  از طرف پوسته‌ی فلزی، متناسب با  $Q^2$  خواهد بود:

$$\begin{cases} F \propto EQ \\ E \propto Q \end{cases} \Rightarrow F \propto Q^2$$

در مورد جهت این نیرو، اگر بار  $Q$  را مثبت فرض کنیم،  $E$  به سمت خارج پوسته و  $dQ$  مثبت خواهد بود و با توجه به همان رابطه، باز هم نیرو در خلاف جهت میدان و به سمت بیرون پوسته خواهد بود. بنابراین گزینه‌ی (ج) صحیح است.

۱۶. حل. □□■□

با بستن کلیدهای  $k_1$  و  $k_2$  (شکل ۱-۹۴)، کره‌ی فلزی  $C$  و دو پوسته‌ی کروی  $A$  و  $B$  به هم متصل می‌شوند و یک جسم رسانا را تشکیل می‌دهند که سطح خارجی آن پوسته‌ی کروی فلزی  $A$  است. می‌دانیم که هرگاه به یک جسم رسانا، مانند فلز، بار الکتریکی بدهیم، زمانی که بارها توزیع می‌شود و تعادل برقرار می‌شود، بار تنها بر پوسته‌ی خارجی جسم رسانا جمع می‌شود (در صورتی که هیچ بار و میدان خارجی وجود نداشته باشد). بنابراین بار کره‌ی فلزی  $C$  و پوسته‌ی فلزی  $B$  صفر می‌شود و مجموع بارها روی کره‌ی فلزی  $A$  جمع می‌شود. بنابراین

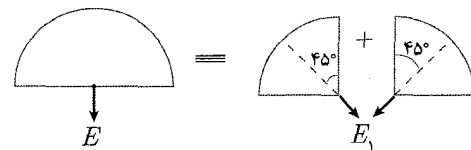


شکل ۱-۹۴

$$Q_B = 0, Q_C = 0, Q_A = -Q + 3Q + 4Q \Rightarrow Q_A = 6Q$$

۱۷. حل. □□■□

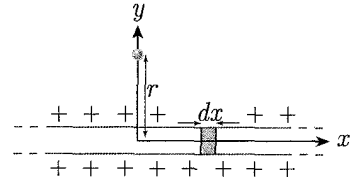
می‌دانیم که میدان ناشی از نیم‌دایره‌ای  $E$  است. فرض کنید که میدان ناشی از ربع دایره‌ای با همان شعاع و چگالی بار نیز در مرکز  $E_1$  باشد. میدان ناشی از نیم‌دایره در مرکز برابر است با مجموع میدان‌های ناشی از دو ربع دایره‌ی تشکیل دهنده‌اش. با توجه به این‌که چگالی بار یکنواخت است، پس میدان دو ربع دایره با هم برابرند و مقداری برابر با  $E_1$  دارند، همچنین در راستای میدان به دلیل یکنواختی بار، ربع دایره را به دو قسمت مساوی تقسیم می‌کند، بنابراین مطابق شکل ۱-۹۵ زاویه‌ی مشخص شده  $45^\circ$  است.



شکل ۱-۹۵

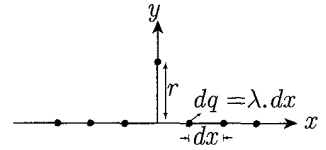
$$E = 2E_1 \cos 45^\circ \Rightarrow E_1 = \frac{E}{2 \cos 45^\circ} = \frac{E}{\sqrt{2}} = \frac{\sqrt{2}}{2} E$$

توجه کنید که در صورتی که چگالی بار یکنواخت نباشد، این رابطه برقرار نخواهد بود.  
 ۱۸. حل. الف) از راهنمایی قسمت (الف) استفاده می‌کنیم. اگر روی میله جزء دیفرانسیلی‌هایی در راستای محور  $x$  با طول  $dx$  انتخاب کنیم، بار روی این جزء،  $dq = \lambda dx$  است (شکل ۹۶-۱). این جزء دیفرانسیلی را می‌توانیم معادل با یک بار نقطه‌ای  $q$  که به فاصله‌ی  $x$  از مبدأ قرار دارد، بگیریم.



شکل ۹۶-۱

اگر این کار را برای کل میله انجام دهیم، به طوری که طول دیفرانسیلی  $dx$  را همه جا یکسان بگیریم، میله‌ی بالا تبدیل به آرایش باری مطابق شکل ۹۷-۱ می‌شود.  
 برای محاسبه‌ی میدان  $E$  حاصل از میله نارسانا، کافی است میدان حاصل از آرایش بار شکل ۹۷-۱ را به دست آوریم. برای این کار، بنا به تقارن شکل، میدان حاصل از بارهای واقع در جهت مثبت محور  $x$  را محاسبه می‌کنیم. مطابق شکل ۹۸-۱ داریم:



شکل ۹۷-۱

$$\theta_1 = \theta_2$$

$$r_1 = r_2$$

$$E_1 = \frac{1}{4\pi\epsilon_0} \frac{dq}{r_1^2} \Rightarrow E_1 = E_2$$

$$E_2 = \frac{1}{4\pi\epsilon_0} \frac{dq}{r_2^2}$$

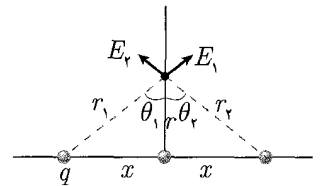
$$\vec{E} = \vec{E}_1 + \vec{E}_2$$

$$= E_1 \sin \theta_1 \hat{i} + E_1 \cos \theta_1 \hat{j} - E_1 \sin \theta_2 \hat{i} + E_2 \cos \theta_2 \hat{j}$$

$$= E_1 (\sin \theta_1 - \sin \theta_2) \hat{i} + E_1 (\cos \theta_1 + \cos \theta_2) \hat{j}$$

$$= 2E_1 \cos \theta_1 \hat{j}$$

بنابراین، میدان حاصل از این دو بار، در راستای محور  $y$  و به سمت بالا است. می‌دانیم که میدان ناشی از میله برابر است با مجموع میدان ناشی از هر یک از بارهای نقطه‌ای؛ این مجموع خود، با مجموع میدان‌های ناشی از زوج بارهای متقارن (مانند  $\vec{E}$ ) برابر است. مشخص است که این برآیند در جهت  $\hat{j}$  خواهد بود.



شکل ۹۸-۱

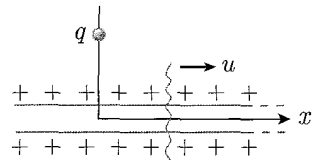
ب) نیروی الکتریکی وارد بر بار  $q$  ناشی از بارهای روی میله است که برابر است با حاصل ضرب میدان ناشی از این بارها در محل بار  $q$ ، در مقدار بار  $q$ .

$$F_E = q \cdot E = \frac{q\lambda}{2\pi\epsilon_0 r}$$

ج) برای این که جریان را مشخص کنیم، ابتدا باید یک مقطع عمود بر جریان (در اینجا سرعت میله) بزنیم و ببینیم که در بازه‌ی زمانی  $dt$  چقدر بار از آن مقطع عبور می‌کند.

$$dq = (u \cdot dt)(\lambda) = \lambda u dt$$

$$I = \frac{dq}{dt} = \frac{\lambda u dt}{dt} = \lambda u$$



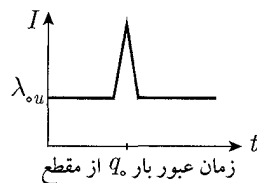
شکل ۹۹-۱

$(dq)$ : بار عبوری از مقطع در بازه  $dt$

$(u \cdot dt)$ : طولی از میله که در این مدت از مقطع عبور می‌کند.

$(\lambda)$ : مقدار باری که در واحد طول میله قرار دارد.

اما در اینجا ما اثر بار  $q$  را در نظر نگرفته‌ایم. اثر آن به این گونه است که در مدت زمان بسیار کوچک  $dt$ ، بار  $q$  از مقطع عبور می‌کند (که اگر بار  $q$  را واقعاً نقطه‌ای در نظر بگیریم،  $dt$  صفر خواهد شد). این باعث یک برش جدید در مقدار جریان می‌شود. نمودار تقریبی جریان چنین خواهد بود. (شکل ۱-۱۰۰)

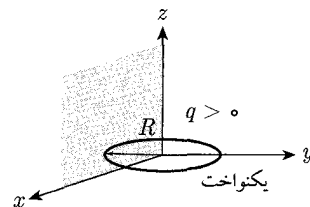


شکل ۱۰۰-۱

۱۹. حل. □ ■ □ □

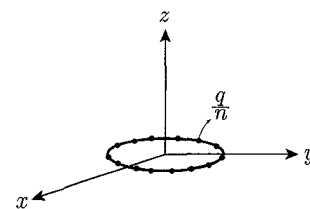
نقطه‌ای که می‌خواهیم در آن جهت مؤلفه‌ی  $x$  میدان حلقه  $(E_x)$  را به دست آوریم. دارای مختصات  $(x > 0, z > 0)$  است. یعنی این نقطه، یک نقطه‌ی دلخواه از صفحه‌ی مشخص شده  $(z^+ ox^+)$  است.

حلقه را به  $n$  قسمت مساوی تقسیم می‌کنیم. برای آن‌که قسمت‌ها کوچک و کوچک‌تر شوند،  $n$  را تا هر حد دلخواهی می‌توانیم زیاد کنیم. می‌دانیم که میدان ناشی از حلقه در یک نقطه برابر است با مجموع میدان‌های ناشی از هر کدام از این قسمت‌ها در آن نقطه. از طرفی، با توجه به آن‌که می‌توانیم هر قسمت را هر قدر که بخواهیم کوچک کنیم. پس می‌توانیم  $n$  را آنقدر زیاد کنیم که بتوانیم هر قسمت را معادل با یک بار نقطه‌ای به مقدار  $\frac{q}{n}$  در نظر بگیریم. پس حالا،  $n$  بار نقطه‌ای داریم که روی یک حلقه به شعاع  $R$  به صورت یکنواخت پخش شده‌اند. (شکل ۱-۱۰۲)



شکل ۱۰۱-۱

حال اگر در صفحه‌ی مورد نظر نقاطی را انتخاب کنیم که دارای  $x$  بسیار بزرگ‌تر از شعاع حلقه  $(x \gg R)$  باشند، از آنجا که برای همه‌ی بارهای نقطه‌ای  $R \ll x$  است، پس جهت  $E_x$  همواره مثبت خواهد بود. اما به ازای  $0 < x < R$ ، نمی‌توان به این سادگی اظهار نظر کرد، چرا که یک سری از بارها  $x$ ‌هایی بزرگ‌تر از  $x$  نقطه‌ی مورد نظر و تعدادی از آنها هم  $x$ ‌هایی کوچک‌تر از  $x$  آن نقطه دارند. پس این طریق بررسی، ما را به جواب مورد نظر نمی‌رساند. مشکل اینجاست که ما در این روش هیچ تأثیری از مقدار  $z$  را وارد مسئله نکرده‌ایم. اگر  $z$  را آنقدر زیاد کنیم که بتوان از  $R$  در مقابل  $z$  صرف‌نظر کرد  $(z \gg R)$ ، در آن صورت، با توجه به یکنواختی و تقارن پخش بار حلقه، می‌توانیم آن را یک بار نقطه‌ای در مختصات  $(0, 0, 0)$  در نظر بگیریم. در واقع رفتار حلقه در تولید میدان در نقاطی با  $z$  بی‌نهایت  $(z \gg R)$ ، معادل رفتار یک بار نقطه‌ای هم بار با حلقه است که در مرکز حلقه قرار گرفته باشد اما می‌دانیم که اگر یک بار نقطه‌ای  $q > 0$  که در مبدأ قرار داشته باشد، جهت میدان  $E_x$  در نقاط  $x > 0$  همواره در جهت مثبت محور  $x$  هاست.

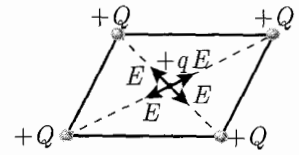


شکل ۱۰۲-۱

با توجه به این بیان‌ها، گزینه‌های (الف) و (ب) قطعاً رد می‌شوند. همچنین گزینه‌ی (د)، به ازای  $R \gg z$  اشتباه می‌باشد، زیرا که به تمام  $z$ ‌ها اشاره می‌کند. بنابراین تنها گزینه‌ای که باقی می‌ماند، گزینه‌ی (ج) است که مورد نقضی ندارد (توجه شود که ما اثبات نکردیم بلکه صرفاً سایر گزینه‌ها را رد کردیم).

۲۰. حل. الف-۱) در مورد بار  $+q$  که در مرکز مربع قرار دارد، و چهار بار  $+Q$  در چهار گوشه‌ی مربع قرار دارند، مشخصاً نیروی برآیند نیروهایی که بر آن وارد می‌شود، صفر است؛ به عبارتی در حالت تعادل قرار دارد (شکل ۱-۱۰۳).

برای بررسی پایداری یا ناپایداری تعادل، بار  $+q$  را به مقدار کم از نقطه‌ی تعادلش، در راستاهای گفته شده منحرف می‌سازیم. همان طور که می‌دانید، اگر بار تمایل به برگشتن به حالت قبل خود داشته باشد، تعادل آن پایدار است و اگر چنین تمایلی نداشته باشد، تعادل آن ناپایدار خواهد بود. در حالتی که این جابه‌جایی کوچک در راستای قطر مربع باشد، نیروهای وارد بر بار کوچک  $+q$  را در نظر می‌گیریم. مطابق شکل ۱-۱۰۴، اگر بار  $+q$  به اندازه‌ی  $\delta$  در امتداد قطر (۱) جابه‌جا شود، نیروهای وارد بر آن در جهت‌های نشان داده شده در شکل خواهد بود طبق تقارن دیده شده در شکل برایند نیروهای وارد بر بار  $+q$  در راستای قطر (۱) قرار می‌گیرد. این برایند بر حسب زاویه‌ی جابه‌جا شده، برابر خواهد بود با:



شکل ۱-۱۰۳

$$F_1 = k \frac{qQ}{(l^2 + \delta^2)} \sin \alpha$$

$$F_2 = k \frac{qQ}{(l + \delta)^2} \quad , \quad \sin \alpha = \frac{\delta}{\sqrt{l^2 + \delta^2}}$$

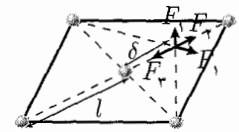
$$F_3 = k \frac{qQ}{(l - \delta)^2}$$

$$F = 2F_1 + F_2 + F_3$$

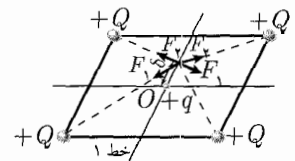
$$= kqQ \left[ \frac{2\delta}{(l^2 + \delta^2)^{3/2}} + \frac{1}{(l + \delta)^2} + \frac{1}{(l - \delta)^2} \right]$$

$$= \frac{qQ}{4\pi\epsilon_0} \left[ \frac{2\delta}{l^3} \left( 1 - \frac{3\delta^2}{l^2} + \dots \right) + \frac{1}{l^2} \left( 1 - \frac{2\delta}{l} + \dots \right) - \frac{1}{l^2} \left( 1 + \frac{\delta}{l} + \dots \right) \right]$$

$$\cong \frac{qQ}{4\pi\epsilon_0} \left( -\frac{2\delta}{l^3} \right)$$



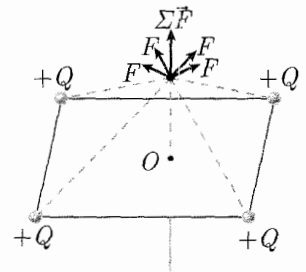
شکل ۱-۱۰۴



شکل ۱-۱۰۵

علامت منفی در رابطه‌ی اخیر نشانگر این است که این نیرو تمایل دارد که به حالت قبلی خود برگردد. بنابراین تعادل در امتداد این قطر پایدار است. حال راستای عمود بر ضلع‌ها را بررسی می‌کنیم. مطابق شکل ۱-۱۰۵، بار  $+q$  را به اندازه‌ی  $\delta$  در امتداد خط (۱) جابه‌جا می‌کنیم. نیروهای وارده بر بار  $+q$  در شکل نشان داده شده‌اند. باز هم طبق تقارن، برایند نیروهای در امتداد خط (۱) خواهد بود. در این مورد، به دلیل تقارن موجود، بدون محاسبه‌ی نیروها، می‌توان گفت که چون فاصله‌ی دو بار  $+Q$  که به بار  $+q$  نزدیک‌تر هستند، از فاصله‌ی دو بار دورتر بیشتر است. برایند نیروها، به علت تقارن، مشخصاً در راستای خط (۱) و در جهت نشان داده شده در شکل خواهد بود. از جهت نیرو پیداست که می‌خواهد بار را به محل قبلی خود بازگرداند، یعنی در این حالت نیز تعادل پایدار است.

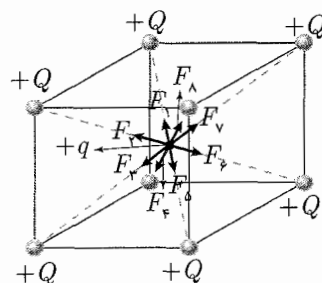
در نهایت در راستای عمود بر صفحه‌ی مربع، همان طور که از شکل ۱-۱۰۶ پیداست، اگر بار  $+q$  را به اندازه‌ی  $\delta$  از صفحه‌ی مربع خارج کنیم، نیروی ناشی از هر چهار بار  $+Q$  در



شکل ۱-۱۰۶

همان امتداد حرکت بار  $+q$  خواهد بود. در نتیجه نیروی برابندی در جهت حرکت داده شده به بار  $+q$  وارد می‌شود و باعث دورتر شدن بار از محل جابه‌جا شده‌اش می‌شود. بنابراین تعادل در این راستا ناپایدار است.

(ب) در مورد هشت بار  $+Q$  که در هشت گوشه‌ی یک مکعب قرار دارند، مطابق شکل ۱۰۷-۱ به علت وجود تقارن، برابندی نیروهای وارده از طرف هشت بار بر بار  $+q$  واقع در مرکز مکعب صفر است. برای بررسی تعادل پایدار یا ناپایدار بار  $+q$ ، آن را به اندازه‌ی  $\delta$  جابه‌جا می‌کنیم، ابتدا در راستای قطر. اگر بار را به سمت نشان داده شده در شکل ۱۰۷-۱ جابه‌جا کنیم، داریم:



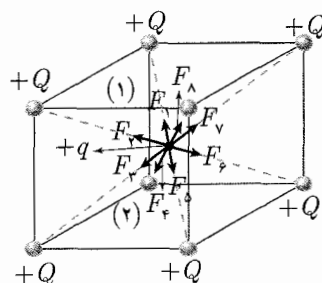
شکل ۱۰۷-۱

$$F_1 > F_2$$

$$F_3 > F_4$$

$$F_5, F_6 > F_7, F_8$$

همان طور که از شکل ۱۰۸-۱ مشخص است. نیروهای  $F_1, F_3, F_5, F_6$  به ترتیب از نیروهای  $F_2, F_4, F_7, F_8$  بزرگ‌ترند و حاصل هر کدام از این جفت نیرو، نیروی بازگرداننده است که می‌خواهد بار  $+q$  را به حالت قبلی خود بازگرداند، در نتیجه تعادل در راستای قطر مکعب پایدار است.



شکل ۱۰۸-۱

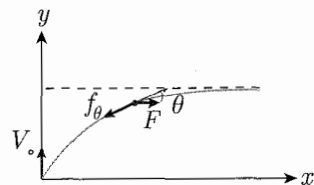
در مورد تعادل در راستای عمود بر وجه‌ها، شکل ۱۰۸-۱ را در نظر بگیرید. طبق این شکل، اگر بار  $+q$  را به اندازه‌ی  $\delta$ ، در راستای محوری عمود بر وجه (۱) و (۲) جابه‌جا کنیم، چهار نیروی برابر (به علت تقارن موجود) که از بارهای نزدیک‌تر که فاصله‌ی کمتری دارند، ناشی می‌شوند، از چهار نیروی دورتر مقدار بیشتری خواهند داشت ( $F_1 > F_2$ ). در نتیجه، حاصل برابندی این نیروها نیروی بازگرداننده‌ای خواهد بود که می‌خواهد بار  $+q$  را به حالت قبلی خود بازگرداند. پس در این راستا نیز بار  $+q$  واقع در مرکز مکعب در حالت تعادل پایدار می‌باشد.

۲۱. حل. الف) مطابق شکل ۱۰۹-۱، نیروی الکتریکی  $F$  از طرف میدان الکتریکی  $E_0$  و نیروی اصطکاک  $f$  به ذره وارد می‌شوند.

$$F = qE_0 = q \frac{\mu mg}{q} = \mu mg$$

$$f = \mu mg$$

همان طور که در شکل نشان داده شده است، نیروی الکتریکی  $F$  همواره در جهت مثبت محور  $x$  و نیروی اصطکاک همواره در خلاف جهت حرکت به ذره وارد می‌شود. از آنجا که نیروی اصطکاک مؤلفه‌ی عمودی در خلاف جهت محور  $y$  دارد، این مؤلفه در نهایت سرعت عمودی ذره را به صفر می‌رساند، و با توجه به برابر بودن مقدار  $F$  و  $f$ ، ذره در نهایت به سرعت حدی ثابت در جهت محور  $x$  خواهد رسید. پس مسیر ذره به طور کیفی، مسیری مشابه شکل ۱۰۹-۱ خواهد بود.



شکل ۱۰۹-۱

ب) برای مؤلفه‌های  $x$  و  $y$  شتاب داریم:

$$a_x = F - f \cos \theta = \frac{\mu mg - \mu mg \cos \theta}{m}$$

$$= \mu g - \mu g \cos \theta = \mu g(1 - \cos \theta) = 2\mu g \sin^2 \frac{\theta}{2}$$

$$a_y = \frac{F_y}{m} = -f \sin \theta = -\frac{\mu mg}{m} \sin \theta = -\mu g \sin \theta$$

و در مورد مؤلفه‌ی مماسی شتاب داریم:

$$a_t = \frac{F_t}{m} = \frac{1}{m}(F \cos \theta - f) = \frac{1}{m}(\mu mg \cos \theta - \mu mg)$$

$$= \mu g(\cos \theta - 1) = -2\mu g \sin^2 \frac{\theta}{2}$$

پ) برای به‌دست آوردن اندازه‌ی سرعت ذره، با توجه به این‌که در قسمت قبل، مقدار شتاب مماسی با مقدار شتاب در راستای  $x$  برابر بود و فقط علامت آن مخالف آن بود، می‌توانیم رابطه‌ای میان سرعت مماسی که همان سرعت کل است و سرعت در راستای  $x$  را به‌دست آوریم:

$$a_x = -a_t$$

$$v_x = -v + c$$

یعنی سرعت در راستای  $x$  که تصویری از سرعت کل است، در یک ثابت با  $-v$  تفاوت دارد. در لحظه‌ی اول که  $\theta = 90^\circ$  است، داریم  $v = v_0$ . می‌توانیم از این داده به‌عنوان شرایط اولیه استفاده کنیم و ثابت انتگرال‌گیری ( $c$ ) را به‌دست آوریم. داریم:

$$v_x = v \cos \theta \Rightarrow v \cos \theta = -v + c$$

$$\theta = 90^\circ : v = v_0 \Rightarrow 0 = v_0 + c \Rightarrow v_0 = c$$

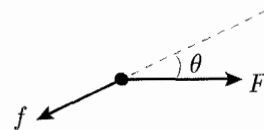
$$\Rightarrow v \cos \theta = -v + v_0$$

$$v(1 + \cos \theta) = v_0 \Rightarrow v = \frac{v_0}{1 + \cos \theta}$$

این رابطه، همان‌طور که مورد (پ) خواسته است، اندازه‌ی سرعت ذره را بر حسب  $\theta$  محاسبه می‌کند. قسمت بعدی این مورد اندازه‌ی سرعت را در زمان‌های بزرگ می‌خواهد. همان‌طور که گفتیم، سرعت ذره در نهایت به سرعت حدی ثابت در جهت محور  $x$  خواهد رسید. بنابراین داریم:

$$t \rightarrow \infty : \theta \rightarrow 0 \Rightarrow v \rightarrow v_0 / (1 + \cos \theta) = \frac{v_0}{2}$$

بنابراین سرعت ذره در زمان‌های بزرگ، با حضور نیروی اصطکاک و نیروی ناشی از میدان الکتریکی، نصف سرعت اولیه‌ی آن خواهد بود.



شکل ۱-۱۱۰

ت) برای پیدا کردن حداکثر مؤلفه‌ی  $y$  بردار مکان ذره، که طبق گفته‌ی سؤال  $L$  نامیده شده است، می‌توانیم از مؤلفه‌ی  $y$  بردار سرعت انتگرال بگیریم. برای یافتن این مؤلفه داریم:

$$a_y = -\mu g \sin \theta = -\frac{qE_0}{m} \sin \theta$$

$$a_y = \frac{dv_y}{dt} \rightarrow dv_y = a_y dt$$

$$\Rightarrow d(v \sin \theta) = -\frac{qE_0}{m} \sin \theta dt$$

طبق مورد پ، مقدار سرعت را بر حسب  $v_0$ ،  $\theta$  داریم:

$$v = \frac{v_0}{1 + \cos \theta}$$

$$\Rightarrow d\left(\frac{v_0}{1 + \cos \theta} \sin \theta\right) = -\frac{qE_0}{m} \sin \theta dt$$

با توجه به اتحاد زیر داریم:

$$\frac{\sin \theta}{1 + \cos \theta} = \tan \frac{\theta}{2}$$

$$\Rightarrow v_0 d\left(\tan \frac{\theta}{2}\right) = -\frac{qE_0}{m} \sin \theta dt \quad (1)$$

$$\Rightarrow L = \int v_y dt = \int v \sin \theta dt$$

$$= \int_{\theta=\pi/2}^{\theta=0} \frac{v_0}{1 + \cos \theta} \sin \theta dt$$

همان طور که مشاهده می‌شود، اگر بتوانیم  $dt$  را بر حسب عبارتی مربوط به  $\theta$  بنویسیم، می‌توانیم انتگرالی زاویه‌ای بگیریم. طبق رابطه‌ی (۱) می‌توانیم کل عبارت  $\sin \theta dt$  را با معادل آن جایگزین کنیم. داریم:

$$(1) \Rightarrow \sin \theta dt = -\frac{m}{qE_0} v_0 d\left(\tan \frac{\theta}{2}\right)$$

$$\Rightarrow L = \int_{\theta=\pi/2}^{\theta=0} \frac{v_0}{1 + \cos \theta} \left[-\frac{m}{qE_0} v_0 d\left(\tan \frac{\theta}{2}\right)\right]$$

$$= -\frac{mv_0^2}{qE_0} \int_{\pi/2}^0 \frac{d\left(\tan \frac{\theta}{2}\right)}{1 + \cos \theta}$$

$$1 + \tan^2 \theta = \frac{1}{\cos^2 \theta} = \frac{2}{1 + \cos 2\theta}$$

$$\Rightarrow L = -\frac{mv_0^2}{qE_0} \int_{\pi/2}^0 \frac{1}{2} \left[1 + \tan^2 \frac{\theta}{2}\right] d\left(\tan \frac{\theta}{2}\right)$$

حال تابعی را بر حسب  $\tan \frac{\theta}{2}$  داریم که انتگرال‌گیری نیز بر حسب آن انجام می‌شود. پس به راحتی می‌توانیم تغییر متغیر بدهیم:

$$u = \tan \frac{\theta}{2} \quad \theta = 0 \Rightarrow u = 0$$

$$\theta = \frac{\pi}{2} \Rightarrow u = 1$$



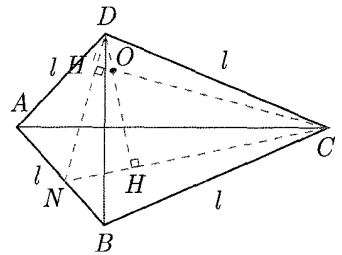
$$\begin{aligned} \Rightarrow L &= -\frac{mv_0^2}{2qE_0} \int_1^\infty (1+u^2) du \\ &= \frac{mv_0^2}{2qE_0} \int_0^1 (u^2+1) du \\ &= \frac{mv_0^2}{2qE_0} \left[ \frac{u^3}{3} + u \right]_0^1 = \frac{mv_0^2}{2qE_0} \left[ \frac{1}{3} + 1 \right] \\ \Rightarrow L &= \frac{2mv_0^2}{3qE_0} \end{aligned}$$

بدین ترتیب، رابطه‌ای برای مقدار نهایی  $L$  به دست آمد.

۲۲. حل. همان طور که در شکل ۱-۱۱۱ نشان داده شده است، نقطه‌ی  $O$  مرکز هرم است و از تقاطع ارتفاع‌های هرم،  $DH$  و  $CH'$  به دست آمده است. از آنجا که هرم یک چهاروجهی منتظم است، بنا به تقارن، فاصله‌ی مرکز آن تا همه‌ی رئوس با هم برابر است. این فاصله  $\frac{3}{4}$  ارتفاع است ( $DO = \frac{3}{4}DH$ ).

از شکل ۱-۱۱۱ پیداست که در مثلث قائم‌الزاویه‌ی  $\triangle CHD$ ، با وتر  $DC$ ، داریم:

$$\begin{aligned} DC^2 &= DH^2 + CH^2 \\ l^2 &= CH^2 + DH^2 \\ CH &= \frac{2}{3} \times \sqrt{\frac{3}{2}} l \\ \Rightarrow DO &= \frac{3}{4} \sqrt{l^2 - CH^2} \\ &= \frac{3}{4} \sqrt{l^2 - \left(\frac{\sqrt{3}}{3}l\right)^2} = \frac{\sqrt{6}}{4} l \end{aligned}$$



شکل ۱-۱۱۱

ابتدا فرض کنیم چهار بار  $q$  روی هر چهار رأس هرم قرار داشته باشند. در این حالت، بنا به تقارن، باید میدان در مرکز هرم صفر باشد. در نتیجه اگر یکی از بارها را برداریم، میدان ناشی از سه بار دیگر قبل از برداشتن آن بار، در خلاف جهت میدان ناشی از آن بوده است. در نتیجه کافی است تنها میدان ناشی از یک بار روی یک رأس چهاروجهی را محاسبه کنیم:

$$E = \frac{1}{4\pi\epsilon_0} \frac{q}{OD^2} = \frac{1}{4\pi\epsilon_0} \frac{q}{\left(\frac{\sqrt{6}}{4}l\right)^2} = \frac{2q}{3\pi\epsilon_0 l^2}$$

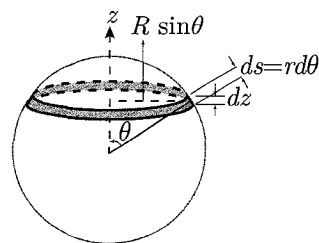
برای پیدا کردن جهت میدان ناشی از سه بار واقع در سه رأس  $A$ ،  $B$  و  $C$ ، معلوم است که این میدان در خلاف جهت میدان ناشی از بار چهارم واقع در رأس  $D$  خواهد بود. جهت میدان ناشی از این بار، در شکل ۱-۱۱۱ به سمت پایین است. در نتیجه، میدان برآیند ناشی از سه بار به سمت بالا خواهد بود.

۲۳. حل. وقتی چگالی بار متناسب با  $\theta$  است یعنی اگر چگالی بار  $\sigma$  باشد،  $\sigma$  تابعی است از  $\cos \theta$  به شکل زیر:

$$\sigma = \sigma_0 \cos \theta$$

بنابراین اگر مطابق شکل ۱۱۲-۱ حلقه‌ای در زاویه‌ی  $\theta$  به ضخامت  $dz$  در نظر بگیریم، بار  $dq$  موجود بر سطح این حلقه برابر است با:

$$\begin{aligned} dq &= \sigma dA = (\sigma \cdot \cos \theta)(2\pi R \sin \theta ds) \\ &= 2\pi \sigma \cdot R^2 \sin \theta \cos \theta d\theta \end{aligned}$$



شکل ۱۱۲-۱

با توجه به این‌که  $\cos \theta$  در بازه‌ی  $(0, \pi)$  قرار گرفته است و مقدار آن در بازه‌ی  $(0, \frac{\pi}{2})$  مثبت و در  $(\frac{\pi}{2}, \pi)$  منفی است، بنابراین برای هر  $\theta$ ، در زاویه‌ی  $\pi - \theta$  متناظر با آن، کسینوس مقداری برابر ولی با علامت منفی خواهد داشت. بنابراین دو جزء سطح در دو مکان  $R \cos \theta$  و  $-R \cos \theta$  یک دوقطبی با بار  $dq$  و فاصله‌ی  $2R \cos \theta$  می‌سازند. اندازه‌ی معادل این دوقطبی برابر است با:

$$\begin{aligned} dP &= (2\pi \sigma \cdot R^2 \sin \theta \cos \theta d\theta)(2R \cos \theta) \\ &= 4\pi R^3 \sigma \cdot \sin \theta \cos^2 \theta d\theta \end{aligned}$$

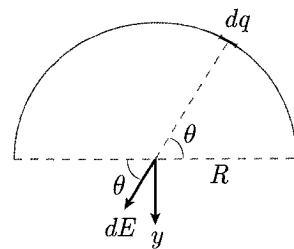
بنابراین، اندازه‌ی دوقطبی الکتریکی معادل کل که آن را  $P$  می‌نامیم، به شکل زیر محاسبه می‌شود:

$$\begin{aligned} P &= \int_{\theta=0}^{\theta=\pi/2} 4\pi R^3 \sigma \cdot \sin \theta \cos^2 \theta d\theta \\ &= 4\pi R^3 \sigma \cdot \int_0^{\pi/2} \sin \theta \cos^2 \theta d\theta = \frac{4}{3}\pi R^3 \sigma \end{aligned}$$

با توجه به  $\theta$ ‌ای که در شکل نشان داده شده است، بارهای مثبت در  $z$ ‌های مثبت و بارهای منفی در  $z$ ‌های منفی قرار دارند و بنابراین جهت دوقطبی در جهت مثبت  $z$  است. بنابراین:

$$\vec{P} = \frac{4}{3}\pi R^3 \sigma \cdot \hat{k}$$

۲۴. حل. الف) نیم‌دایره‌ی مورد نظر در شکل ۱۱۳-۱ نشان داده شده است. این نیم‌دایره با بار بیوسته‌ی یکنواخت  $\lambda$  بر روی آن، میدان الکتریکی  $E$  را در مرکز خود ایجاد می‌کند. با در نظر گرفتن جزء بار و انتگرال‌گیری از جزء میدان‌ها، میدان مورد نظر را به دست می‌آوریم:



شکل ۱۱۳-۱

$$\begin{aligned} dE &= \frac{1}{4\pi \epsilon_0} \frac{dq}{R^2} \\ dE_y &= dE \sin \theta = \frac{1}{4\pi \epsilon_0} \frac{\lambda R d\theta}{R^2} \sin \theta \\ \Rightarrow E_y &= \int_{\theta=0}^{\theta=\pi} dE_y = \int_0^{\pi} \frac{1}{4\pi \epsilon_0} \frac{\lambda R d\theta}{R^2} \sin \theta \\ &= \frac{\lambda}{4\pi \epsilon_0 R} \int_0^{\pi} \sin \theta d\theta = \frac{\lambda}{4\pi \epsilon_0 R} (-\cos \pi + \cos 0) = \frac{\lambda}{2\pi \epsilon_0 R} \end{aligned}$$

ب) توزيع بار گسسته را در چينشی از بارها مانند شکل ۱-۱۱۴ در نظر می‌گيريم. توزيع بار گسسته همان طور که گفته شده است، به صورت الکترون‌هایی با بار  $e$  در فاصله‌ی  $a$  از هم بر روی نیم‌دایره است. میدان حاصل از الکترون  $i$ ام در این توزيع برابر است با:

$$E_i = \frac{1}{4\pi\epsilon_0} \cdot \frac{e}{R^2}, \quad E_{y_i} = E_i \sin \theta_i$$

اگر الکترون‌ها را از شماره‌ی صفر تا  $N$  نام‌گذاری کنیم، با جمع مؤلفه‌ی عمودی میدان الکتريکی ناشی از این  $(N + 1)$  الکترون، از آنجا که تقارن در این نیم‌دایره به دلیل وجود بار متناظر برای هر بار برقرار است، داریم:

$$E'_y = \sum_{i=0}^N E_i \sin \theta_i$$

از آنجایی که فاصله‌ی دو بار از هم بر روی نیم‌دایره  $a$  است، بنابراین زاویه‌ی بین دو بار متوالی، که با  $\Delta\theta$  نمایش داده می‌شود، در صورتی که  $\Delta\theta$  به قدر کافی کوچک باشد تا بتوان  $a$  را یکی از اضلاع مثلث قائم‌الزاویه با دو بار در دو رأس آن و وتر  $R$  در نظر گرفت، می‌توان  $\Delta\theta$  را برابر با  $\sin \Delta\theta$  فرض کرد. در اینجا، از آنجا که بایستی پاسخ نهایی بر حسب  $\theta$  نباشد، مطمئناً حالت حدی کوچک  $\frac{a}{R}$  مورد نظر بوده است و با این فرض به محاسبه‌ی میدان ادامه خواهیم داد. مطابق شکل ۱-۱۱۵ برای اندازه‌ی  $\Delta\theta$  داریم:

$$\begin{aligned} \Delta\theta &\cong \sin \Delta\theta \\ \sin \Delta\theta &\cong \frac{a}{R} \Rightarrow \Delta\theta \cong \frac{a}{R} \\ \theta_i &= i\Delta\theta = i\frac{a}{R} \end{aligned}$$

با جایگذاری این مقدار  $\theta_i$  در معادله‌ی مربوط به میدان داریم:

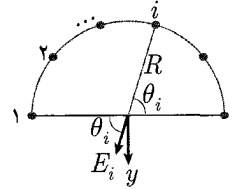
$$\begin{aligned} E'_y &= \frac{1}{4\pi\epsilon_0} \frac{e}{R^2} \sum_{i=0}^N \sin\left(i\frac{a}{R}\right) \\ &= \frac{1}{4\pi\epsilon_0} \frac{e}{R^2} \left( 0 + \sin \frac{a}{R} + \sin \frac{2a}{R} + \dots + \sin \frac{Na}{R} \right) \end{aligned}$$

از طرفی، می‌دانیم که  $N + 1$  بار موجود بر روی نیم‌دایره، زاویه‌ی  $\pi$  آن را به  $N$  قسمت برابر تقسیم کرده‌اند. بنابراین  $N$  به شکل زیر به دست می‌آید:

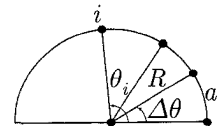
$$\begin{aligned} N\Delta\theta &= \pi \\ \Rightarrow N\frac{a}{R} &= \pi \Rightarrow N = \frac{R\pi}{a} \end{aligned}$$

با جایگذاری مقدار  $N$  و با استفاده از راهنمایی داده شده داریم:

$$E'_y = \frac{1}{4\pi\epsilon_0} \cdot \frac{e}{R^2} \cdot \frac{2 \sin\left(\frac{N+1}{2} \cdot \frac{a}{R}\right) \sin\left(\frac{N}{2} \cdot \frac{a}{R}\right) \cos\left(\frac{a}{2R}\right)}{\sin\left(\frac{a}{R}\right)}$$



شکل ۱-۱۱۴



شکل ۱-۱۱۵

$$= \frac{1}{4\pi\epsilon_0} \cdot \frac{e}{R^2} \cdot \frac{2 \sin\left(\frac{\pi}{2} + \frac{a}{2R}\right) \sin\left(\frac{\pi}{2}\right) \cos\left(\frac{a}{2R}\right)}{\sin\left(\frac{a}{R}\right)}$$

$$\Rightarrow E'_y = \frac{e}{4\pi\epsilon_0 R^2} \cdot \cot\left(\frac{a}{2R}\right)$$

ج) برای به دست آوردن خطای نسبی برای مقادیر واقعی تا مرتبه اول نسبت به  $\frac{a}{R}$ ، رابطه‌ی خطای نسبی را برای دو حالت الف و ب می‌نویسیم. اگر خطای نسبی  $\eta$  باشد، رابطه زیر آن را تعریف می‌کند:

$$\eta = \frac{E'_y - E_y}{E'_y} = 1 - \frac{E_y}{E'_y} = 1 - \frac{\frac{\lambda}{4\pi\epsilon_0 R}}{\frac{e}{4\pi\epsilon_0 R^2} \cdot \cot\left(\frac{a}{2R}\right)}$$

حال، برای این‌که رابطه‌ای میان مقدار بار الکتریکی در دو حالت برقرار کرده باشیم، مقدار کل بار را در هر دو حالت برابر قرار می‌دهیم:

$$\begin{cases} \lambda(\pi R) = (N+1)e \\ N = \frac{\pi R}{a} \end{cases} \Rightarrow \lambda = \frac{e}{a} \left(1 + \frac{a}{\pi R}\right)$$

$$\Rightarrow \eta = 1 - \frac{\frac{e}{a} \left(1 + \frac{a}{\pi R}\right)}{\frac{e}{4\pi\epsilon_0 R^2} \cdot \cot\left(\frac{a}{2R}\right)}$$

$$= 1 - \frac{2R}{a} \left(1 + \frac{a}{\pi R}\right) \tan\left(\frac{a}{2R}\right)$$

$$\cong 1 - \frac{2R}{a} \left(1 + \frac{a}{\pi R}\right) \left(\frac{a}{2R}\right) = -\frac{a}{\pi R}$$

$$\Rightarrow \text{خطای نسبی} \equiv |\eta| = \frac{a}{\pi R}$$

برای درک مرتبه این خطا، بیایید مقادیر نزدیک به واقعیت را در آن قرار دهیم اگر شعاع نیم‌دایره حدوداً  $1 \text{ cm}$  در نظر گرفته شود و  $a$  به عنوان تخمینی از فاصله‌ی میان ذرات، در مرتبه‌ی آنگستروم و برابر با  $1 \text{ \AA}$  فرض شود، خطا برابر است با:

$$|\eta| = \frac{a}{\pi R} = \frac{10^{-10} \text{ m}}{10^{-1} \text{ m} \times 3.14} \cong 10^{-10}$$

معلوم می‌شود که خطا نیز از مرتبه‌ی کوچک آنگستروم به دست می‌آید.

۲۵. حل. الف) برای محاسبه‌ی میدان الکتریکی بر روی محور تقارن قرص، شیاری از قرص را در شعاع  $r$  و به ضخامت  $dr$  در نظر می‌گیریم که بار  $dq$  دارد. این بار برابر است با:

$$dq = \sigma dA = \sigma(2\pi r dr) = 2\pi\sigma r dr$$

بنابراین میدان الکتریکی در نقطه‌ای به فاصله‌ی  $z$  از مرکز قرص و در بالای آن عبارتست از:

$$E_z = \int_{r_1}^{r_2} \frac{k dq}{r'^2} \cos\theta = \int_{r_1}^{r_2} \frac{2\pi k \sigma r dr}{(r^2 + z^2)^{3/2}} \cdot z$$

$$= \frac{\sigma z}{2\epsilon_0} \left[ \frac{1}{\sqrt{z^2 + r_1^2}} - \frac{1}{\sqrt{z^2 + r_2^2}} \right]$$

(ب)

۱:  $r_1 \rightarrow 0$  ,  $r_2$  محدود

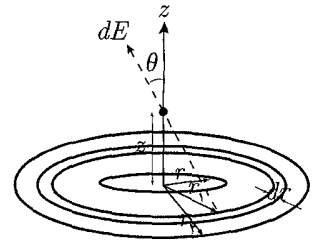
$$\begin{aligned} \Rightarrow E_{z_1} &= \lim_{r_1 \rightarrow 0} \frac{\sigma z}{2\epsilon_0} \left[ \frac{1}{\sqrt{z^2 + r_1^2}} - \frac{1}{\sqrt{z^2 + r_2^2}} \right] \\ &= \frac{\sigma z}{2\epsilon_0} \left[ \frac{1}{|z|} - \frac{1}{\sqrt{z^2 + r_2^2}} \right] \end{aligned}$$

۲:  $r_2 \rightarrow \infty$  ,  $r_1$  محدود

$$\begin{aligned} \Rightarrow E_{z_2} &= \lim_{r_2 \rightarrow \infty} \frac{\sigma z}{2\epsilon_0} \left[ \frac{1}{\sqrt{z^2 + r_1^2}} - \frac{1}{\sqrt{z^2 + r_2^2}} \right] \\ &= \frac{\sigma z}{2\epsilon_0 \sqrt{z^2 + r_1^2}} \end{aligned}$$

۳:  $r_1 \rightarrow 0$  ,  $r_2 \rightarrow \infty$

$$\begin{aligned} \Rightarrow E_{z_3} &= \lim_{\substack{r_1 \rightarrow 0 \\ r_2 \rightarrow \infty}} \frac{\sigma z}{2\epsilon_0} \left[ \frac{1}{\sqrt{z^2 + r_1^2}} - \frac{1}{\sqrt{z^2 + r_2^2}} \right] \\ &= \frac{\sigma}{2\epsilon_0} \frac{z}{|z|} \end{aligned}$$



شکل ۱-۱۱۶

ج) وقتی جسمی به جرم  $m$  و بار منفی  $q$  که در فاصله‌ای بسیار نزدیک از صفحه‌ی قرص روی محور تقارن قرص حرکت می‌کند، تحت نیروی وارده از سوی میدان  $E_z$  در آن نقطه قرار می‌گیرد با بسط عبارت مربوط به میدان تا اولین مرتبه‌ی غیرصفر داریم:

$$\begin{aligned} E_z &= \frac{\sigma z}{2\epsilon_0} \left[ \frac{1}{\sqrt{z^2 + r_1^2}} - \frac{1}{\sqrt{z^2 + r_2^2}} \right] \\ &= \frac{\sigma z}{2\epsilon_0} \left[ \frac{1}{r_1} \left( 1 + \frac{z^2}{r_1^2} \right)^{-1/2} - \frac{1}{r_2} \left( 1 + \frac{z^2}{r_2^2} \right)^{-1/2} \right] \\ &= \frac{\sigma z}{2\epsilon_0} \left[ \frac{1}{r_1} \left( 1 - \frac{1}{2} \cdot \frac{z^2}{r_1^2} + \dots \right) - \frac{1}{r_2} \left( 1 - \frac{1}{2} \cdot \frac{z^2}{r_2^2} + \dots \right) \right] \end{aligned}$$

با حفظ مرتبه‌ی اول غیرصفر داریم:

$$E_z = \frac{\sigma z}{2\epsilon_0} \left( \frac{1}{r_1} - \frac{1}{r_2} \right)$$

بنابراین، نیروی  $F$  وارد بر بار  $q$  عبارتست از:

$$\begin{aligned} F &= qE_z = \frac{q\sigma}{2\epsilon_0} \left( \frac{1}{r_1} - \frac{1}{r_2} \right) z \\ &= m \frac{d^2 z}{dt^2} = m\ddot{z} \Rightarrow \ddot{z} - \frac{q\sigma}{2\epsilon_0 m} \left( \frac{1}{r_1} - \frac{1}{r_2} \right) z = 0 \end{aligned}$$

می‌دانیم که محاسبه‌ی  $\omega$ ، بسامد نوسان‌های یک جسم نوسانگر، با استفاده از معادله‌ی حرکت آن، به شکل زیر است:

$$\ddot{z} + \omega^2 z = 0$$

بنابراین، در مورد معادله‌ی حرکت به دست آمده،  $\omega$  به راحتی محاسبه می‌شود.

$$\omega = \sqrt{-\frac{q\sigma}{2\epsilon_0 m} \left( \frac{1}{r_1} - \frac{1}{r_2} \right)}$$

**۲۶. حل.** الف) همان طور که می‌دانید، میدان الکتریکی کمیته برداری است و از اصل برهم‌نهی تبعیت می‌کند. بنابراین می‌توان میدان الکتریکی حاصل از هر یک از بارها را جداگانه محاسبه کرد و سپس جمع برداری کرد.

$$\begin{aligned} \vec{E}_1 &= \frac{1}{4\pi\epsilon_0} \frac{q_1}{r_1^2} \hat{r}_1 && \text{میدان ناشی از بار } q_1 \text{ در رأس خالی} \\ &= \frac{1}{4\pi\epsilon_0} \frac{q}{[(a^2 + a^2 + a^2)^{1/2}]^2} \left( \frac{\sqrt{3}}{3} \hat{x} + \frac{\sqrt{3}}{3} \hat{y} - \frac{\sqrt{3}}{3} \hat{z} \right) \\ &= \frac{q}{4\pi\epsilon_0} \left( \frac{\sqrt{3}}{9a^2} \hat{x} + \frac{\sqrt{3}}{9a^2} \hat{y} - \frac{\sqrt{3}}{9a^2} \hat{z} \right) \end{aligned}$$

$\hat{r}_1$  از جمع سه مؤلفه‌ی  $\hat{x}$ ،  $\hat{y}$  و  $\hat{z}$  به دست می‌آید و ضرایب  $\frac{\sqrt{3}}{3}$  برای یکه کردن طول این بردار استفاده شده‌اند.

$$\begin{aligned} \vec{E}_2 &= \frac{1}{4\pi\epsilon_0} \frac{q_2}{r_2^2} \hat{r}_2 && \text{میدان ناشی از بار } q_2 \text{ در رأس خالی} \\ &= \frac{1}{4\pi\epsilon_0} \frac{q}{[(a^2 + a^2)^{1/2}]^2} \left( \frac{\sqrt{2}}{2} \hat{x} - \frac{\sqrt{2}}{2} \hat{z} \right) \\ &= \frac{q}{4\pi\epsilon_0} \left( \frac{\sqrt{2}}{4a^2} \hat{x} - \frac{\sqrt{2}}{4a^2} \hat{z} \right) \end{aligned}$$

$\hat{r}_2$  نیز از جمع دو مؤلفه‌ی  $\hat{x}$  و  $\hat{z}$  به دست می‌آید و ضرایب  $\frac{\sqrt{2}}{2}$  برای یکه کردن طول آن استفاده شده‌اند (در شکل ۱-۱۱۷،  $\hat{r}_1$  و  $\hat{r}_2$  را مشاهده می‌نمایید).

همان گونه از شکل برمی‌آید، بارهای  $q_2$ ،  $q_4$  و  $q_5$ ، میدان‌های مشابهی در رأس خالی ایجاد می‌کنند، نیروهایی با مقدار برابر و جهت‌های متفاوت  $\hat{r}_2$ ،  $\hat{r}_4$  و  $\hat{r}_5$ . بنابراین، با استفاده از این تشابه شکل نیروها، داریم:

$$\begin{aligned} \vec{E}_4 &= \frac{q}{4\pi\epsilon_0} \left( \frac{\sqrt{2}}{4a^2} \hat{x} + \frac{\sqrt{2}}{4a^2} \hat{y} \right) \\ \vec{E}_5 &= \frac{q}{4\pi\epsilon_0} \left( \frac{\sqrt{2}}{4a^2} \hat{y} - \frac{\sqrt{2}}{4a^2} \hat{z} \right) \end{aligned}$$



برای بار  $q_6$  و پس از آن برای  $q_3$ ،  $q_6$  و  $q_7$  که وضعیتی مشابه با  $q_6$  دارند، داریم:

$$\vec{E}_6 = \frac{1}{4\pi\epsilon_0} \frac{q_6}{r_6^2} \hat{r}_6 = \frac{1}{4\pi\epsilon_0} \frac{q}{a^2} (-\hat{z}) = \frac{q}{4\pi\epsilon_0} \frac{(-\hat{z})}{a^2}$$

$$\vec{E}_7 = \frac{q}{4\pi\epsilon_0} \frac{(\hat{y})}{a^2}$$

$$\vec{E}_3 = \frac{q}{4\pi\epsilon_0} \frac{(\hat{x})}{a^2}$$

حال این ۷ بردار را در نقطه‌ی خالی با هم جمع می‌کنیم.

$$\vec{E}_T = \vec{E}_1 + \vec{E}_2 + \vec{E}_3 + \vec{E}_4 + \vec{E}_5 + \vec{E}_6 + \vec{E}_7$$

$$= \frac{q}{4\pi\epsilon_0} \left[ \left( \frac{\sqrt{3}}{9a^2} + \frac{\sqrt{2}}{4a^2} + \frac{\sqrt{2}}{4a^2} + \frac{1}{a^2} \right) \hat{x} + \left( \frac{\sqrt{3}}{9a^2} + \frac{\sqrt{2}}{4a^2} + \frac{\sqrt{2}}{4a^2} + \frac{1}{a^2} \right) \hat{y} + \left( -\frac{\sqrt{3}}{9a^2} - \frac{\sqrt{2}}{4a^2} - \frac{\sqrt{2}}{4a^2} - \frac{1}{a^2} \right) \hat{z} \right]$$

$$= \frac{q}{4\pi\epsilon_0} \left( \frac{\sqrt{3}}{9a^2} + \frac{\sqrt{2}}{2a^2} + \frac{1}{a^2} \right) (\hat{x} + \hat{y} - \hat{z})$$

$$a = 0,7 \text{ mm} \quad (\text{ب})$$

$$q = 1,6 \times 10^{-19} \text{ C}$$

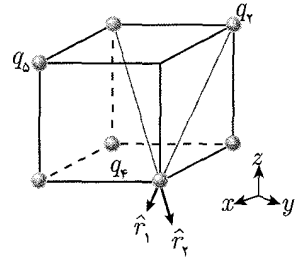
$$\Rightarrow \vec{E}_T = \frac{q}{4\pi\epsilon_0} \left( \frac{\sqrt{3}}{9a^2} + \frac{\sqrt{2}}{2a^2} + \frac{1}{a^2} \right) (\hat{x} + \hat{y} - \hat{z})$$

$$= 1,6 \times 10^{-12} \times 9 \times 10^9$$

$$\left( \frac{\sqrt{3}}{9 \times 0,7^2} + \frac{\sqrt{2}}{2 \times 0,7^2} + \frac{1}{0,7^2} \right) (\hat{x} + \hat{y} - \hat{z})$$

$$= 55,82 \times 10^{-3} (\hat{x} + \hat{y} - \hat{z}) \text{ N/m}$$

$$|\vec{E}_T| = 96,68 \times 10^{-3} \text{ N/m}$$



شکل ۱-۱۱۷

۲۷. حل. الف) برای حل این قسمت دو راه‌حل وجود دارد. در فصول آینده با حل این مسئله

با استفاده از روش قانون گاوس آشنا می‌شوید ولی اکنون با توجه به معلومات داده شده، از

روش دیفرانسیل‌گیری برای حل این مسئله استفاده می‌کنیم. برای این کار، عنصر دیفرانسیلی

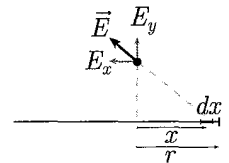
کوچکی به طول  $dx$  را فرض می‌کنیم و با آن مانند یک بار نقطه‌ای با مقدار  $\lambda dx$  رفتار

می‌کنیم. مؤلفه‌های میدان در جهت  $x$  یکدیگر را خنثی می‌کنند. بنابراین میدان فقط در جهت

$y$  خواهد بود. داریم: (شکل ۱-۱۱۸)

$$E_y = \int_0^{\infty} \frac{1}{4\pi\epsilon_0} \frac{\lambda dx}{(a^2 + x^2)} \frac{a}{\sqrt{a^2 + x^2}}$$

$$= \frac{a\lambda}{4\pi\epsilon_0} \int_0^{\infty} \frac{dx}{(a^2 + x^2)^{3/2}} = \frac{\lambda}{4\pi\epsilon_0 a}$$



شکل ۱-۱۱۸

از آنجا که انتگرال در بازه  $0^\circ$  تا بی نهایت انجام می پذیرد، میدان به دست آمده، مقدار مشابهی برای  $x$  های منفی در این نقطه خواهد داشت و در نهایت، مقدار میدان، دو برابر  $E_y$  است.

$$E_o = E_y = \frac{2\lambda}{4\pi\epsilon_o a} \Rightarrow \vec{E} = \frac{\lambda}{2\pi\epsilon_o a} \hat{y} = E_o \hat{y}$$

(ب) باز هم از روش انتگرال گیری استفاده می کنیم. میدان در این حالت هم به خاطر وجود تقارن، تنها در جهت عمودی خواهد بود. داریم، (شکل ۱-۱۱۹)

$$E_y = \int_0^r \frac{1}{4\pi\epsilon_o} \frac{\lambda dx}{(x^2 + a^2)^{3/2}} \frac{a}{(x^2 + a^2)^{1/2}} = \int_0^r \frac{\lambda a}{4\pi\epsilon_o} \frac{dx}{(x^2 + a^2)^{3/2}}$$

$$= \frac{\lambda r}{4\pi\epsilon_o a \sqrt{a^2 + r^2}}$$

و همچون مورد قبل، این وضعیت برای  $(-r, 0)$  نیز برقرار است.

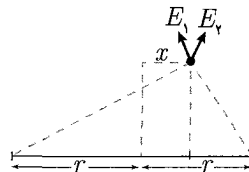
$$E_y = \frac{2\lambda r}{4\pi\epsilon_o a \sqrt{a^2 + r^2}} \Rightarrow \vec{E} = \frac{2\lambda r}{4\pi\epsilon_o a \sqrt{a^2 + r^2}} \hat{y}$$

$$\frac{E}{E_o} = \frac{\frac{2\lambda r}{4\pi\epsilon_o a \sqrt{a^2 + r^2}}}{\frac{2\lambda}{4\pi\epsilon_o a}} = \frac{1}{\sqrt{\frac{a^2}{r^2} + 1}} = \frac{1}{\sqrt{\epsilon^2 + 1}} \cong 1 - \frac{1}{2}\epsilon^2$$

(ج) سمت راست میله  $E_{y1}$  منفی و سمت چپ میله  $E_{y2}$  مثبت تولید می کند.

$$E_{y1} = \frac{\lambda(r+x)}{4\pi\epsilon_o a \sqrt{a^2 + r^2 + 2rx}}$$

$$= \frac{\lambda(r+x)}{4\pi\epsilon_o ar \sqrt{\epsilon^2 + 1 + 2\frac{x}{r}}}$$



شکل ۱-۱۱۹

با صرف نظر از جملات  $\frac{x^2}{r^2}$  داریم:

$$E_{y1} \cong \frac{\lambda(r+x)}{4\pi\epsilon_o ar} \left(1 - \frac{\epsilon^2}{2} - \frac{x}{r}\right)$$

$$E_{y2} = \frac{\lambda(r-x)}{4\pi\epsilon_o a \sqrt{a^2 + r^2 - 2rx}} = \frac{\lambda(r-x)}{4\pi\epsilon_o ar \sqrt{\epsilon^2 + 1 - 2\frac{x}{r}}}$$

با صرف نظر از جملات  $\frac{x^2}{r^2}$  داریم:

$$E_{y2} \cong \frac{\lambda(r-x)}{4\pi\epsilon_o ar} \left(1 + \frac{\epsilon^2}{2} + \frac{x}{r}\right)$$

$$E_y = E_{y1} + E_{y2}$$

$$\cong \frac{2 \times \lambda r}{4\pi\epsilon_o ar} - \frac{\lambda x \epsilon^2}{4\pi\epsilon_o ar}$$

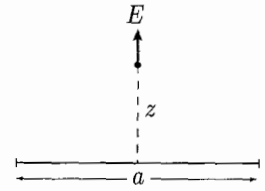
$$= \frac{2\lambda}{4\pi\epsilon_o a} - \frac{\lambda \epsilon^2}{4\pi\epsilon_o a} \cdot \frac{x}{r}$$



۲۸. حل. الف) در مسئله ۲۷، دیدیم که میدان الکتریکی برای یک میله‌ی باردار به طول  $a$  و به فاصله‌ی  $z$  از مرکز آن برابر است با:

$$E = \frac{\lambda \frac{a}{r}}{4\pi\epsilon_0 z \sqrt{a^2 + z^2}}$$

اکنون با در نظر گرفتن یک جزء باری روی هر یک از ضلع‌های مربع، میدان ناشی از آن ضلع را به دست می‌آوریم. داریم:



شکل ۱-۱۲۰

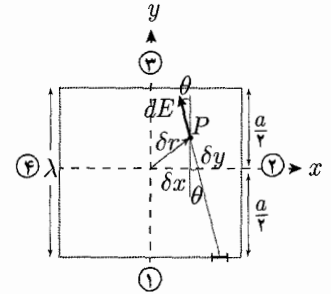
$$(۱) : r^2 = (x - \delta x)^2 + \left(\frac{a}{2} + \delta y\right)^2$$

$$dq = \lambda dx$$

$$\cos \theta = \frac{\frac{a}{2} + \delta y}{\delta r}, \quad \sin \theta = \frac{x - \delta x}{r}$$

$$E_x = -\frac{1}{4\pi\epsilon_0} \int \frac{dq}{r^2} \sin \theta$$

$$E_y = -\frac{1}{4\pi\epsilon_0} \int \frac{dq}{r^2} \cos \theta, \quad -\frac{a}{2} < x < \frac{a}{2}$$



شکل ۱-۱۲۱

$$(۲) : r^2 = (y - \delta y)^2 + \left(\frac{a}{2} - \delta x\right)^2$$

$$dq = \lambda dy$$

$$\cos \theta = \frac{\frac{a}{2} - \delta x}{r}, \quad \sin \theta = \frac{y - \delta y}{r}$$

$$E_x = -\frac{1}{4\pi\epsilon_0} \int \frac{dq}{r^2} \cos \theta$$

$$E_y = -\frac{1}{4\pi\epsilon_0} \int \frac{dq}{r^2} \sin \theta, \quad -\frac{a}{2} < y < \frac{a}{2}$$

$$(۳) : r^2 = (x - \delta x)^2 + \left(\frac{a}{2} - \delta y\right)^2$$

$$dq = \lambda dx$$

$$\cos \theta = \frac{\frac{a}{2} - \delta y}{r}, \quad \sin \theta = \frac{x - \delta x}{r}$$

$$E_x = -\frac{1}{4\pi\epsilon_0} \int \frac{dq}{r^2} \sin \theta$$

$$E_y = -\frac{1}{4\pi\epsilon_0} \int \frac{dq}{r^2} \cos \theta$$

$$(۴) : r^2 = \left(\frac{a}{2} + \delta x\right)^2 + (y - \delta y)^2$$

$$dq = \lambda dy$$

$$\cos \theta = \frac{\frac{a}{2} + \delta x}{r}, \quad \sin \theta = \frac{y - \delta y}{r}$$

$$E_x = \frac{1}{4\pi\epsilon_0} \int \frac{dq}{r^2} \cos \theta$$

$$E_y = -\frac{1}{4\pi\epsilon_0} \int \frac{dq}{r^2} \sin \theta$$

با استفاده از معادلات انتگرالی زیر و با فرض  $a \ll |\delta r|$ ، بریند میدان را در دو راستای  $x$  و  $y$ ، جداگانه محاسبه می‌کنیم.

$$\int \frac{dx}{(x^2 + z^2)^{3/2}} = \frac{x}{z^2 \sqrt{x^2 + z^2}}$$

$$\int \frac{x dx}{(x^2 + z^2)^{3/2}} = -\frac{1}{\sqrt{x^2 + z^2}}$$

$$(۱) E_x = \lambda k \int_{-a/2}^{a/2} \frac{-(x - \delta x) dx}{[(x - \delta x)^2 + (\frac{a}{\epsilon} + \delta y)^2]^{3/2}}$$

$$= -\lambda k \frac{1}{\sqrt{(x - \delta x)^2 + (\frac{a}{\epsilon} + \delta y)^2}} \Big|_{-a/2}^{a/2}$$

$$= -\frac{\lambda k}{a} \left( \frac{1}{\sqrt{\frac{1}{\epsilon} + \frac{\delta y - \delta x}{a}}} - \frac{1}{\sqrt{\frac{1}{\epsilon} + \frac{\delta y + \delta x}{a}}} \right)$$

$$E_y = \lambda k \int_{-a/2}^{a/2} \frac{(\frac{a}{\epsilon} + \delta y) dx}{[(x - \delta x)^2 + (\frac{a}{\epsilon} + \delta y)^2]^{3/2}}$$

$$= \lambda k \left( \frac{a}{\epsilon} + \delta y \right) \frac{(x - \delta x)}{(\frac{a}{\epsilon} + \delta y)^2 \sqrt{(x - \delta x)^2 + (\frac{a}{\epsilon} + \delta y)^2}} \Big|_{-a/2}^{a/2}$$

$$= \frac{\lambda k}{(\frac{a}{\epsilon} + \delta y)} \left( \frac{\frac{a}{\epsilon} - \delta x}{\sqrt{\frac{1}{\epsilon} + \frac{\delta y - \delta x}{a}}} - \frac{\frac{a}{\epsilon} + \delta x}{\sqrt{\frac{1}{\epsilon} + \frac{\delta y + \delta x}{a}}} \right)$$

$$(۲) E_x = \lambda k \int_{-a/2}^{a/2} \frac{-(\frac{a}{\epsilon} - \delta x) dy}{[(y - \delta y)^2 + (\frac{a}{\epsilon} - \delta x)^2]^{3/2}}$$

$$= \frac{-\lambda k}{(\frac{a}{\epsilon} - \delta x)} \left( \frac{\frac{a}{\epsilon} - \delta y}{\sqrt{\frac{1}{\epsilon} - \frac{\delta y + \delta x}{a}}} - \frac{\frac{a}{\epsilon} + \delta y}{\sqrt{\frac{1}{\epsilon} + \frac{\delta y - \delta x}{a}}} \right)$$

$$E_y = \lambda k \int_{-a/2}^{a/2} \frac{-(y - \delta y) dy}{[(y - \delta y)^2 + (\frac{a}{\epsilon} - \delta x)^2]^{3/2}}$$

$$= \frac{-\lambda k}{a} \left( \frac{1}{\sqrt{\frac{1}{\epsilon} - \frac{\delta y + \delta x}{a}}} - \frac{1}{\sqrt{\frac{1}{\epsilon} + \frac{\delta y - \delta x}{a}}} \right)$$

$$(۳) E_x = \lambda k \int_{-a/2}^{a/2} \frac{-(x - \delta x) dx}{[(x - \delta x)^2 + (\frac{a}{\epsilon} - \delta y)^2]^{3/2}}$$

$$= \frac{-\lambda k}{a} \left( \frac{1}{\sqrt{\frac{1}{\epsilon} - \frac{\delta x + \delta y}{a}}} - \frac{1}{\sqrt{\frac{1}{\epsilon} + \frac{\delta x - \delta y}{a}}} \right)$$

$$E_y = \lambda k \int_{-a/2}^{a/2} \frac{-(\frac{a}{\epsilon} - \delta y) dx}{[(x - \delta x)^2 + (\frac{a}{\epsilon} - \delta y)^2]^{3/2}}$$

$$\begin{aligned}
 &= \frac{-\lambda k}{\left(\frac{a}{r} - \delta y\right)} \left( \frac{\frac{a}{r} - \delta x}{\sqrt{\frac{1}{r} - \frac{\delta x + \delta y}{a}}} - \frac{\frac{a}{r} + \delta x}{\sqrt{\frac{1}{r} + \frac{\delta x - \delta y}{a}}} \right) \\
 (\text{۴}) \quad E_x &= \lambda k \int_{-a/r}^{a/r} \frac{\left(\frac{a}{r} + \delta x\right) dy}{\left[\left(\frac{a}{r} + \delta x\right)^2 + (y - \delta y)^2\right]^{3/2}} \\
 &= \frac{\lambda k}{\left(\frac{a}{r} + \delta x\right)} \left( \frac{\frac{a}{r} - \delta y}{\sqrt{\frac{1}{r} - \frac{\delta y - \delta x}{a}}} - \frac{a/r + \delta y}{\sqrt{\frac{1}{r} + \frac{\delta y + \delta x}{a}}} \right) \\
 E_y &= \lambda k \int_{-a/r}^{a/r} \frac{-(y - \delta y) dy}{\left[\left(\frac{a}{r} + \delta x\right)^2 + (y - \delta y)^2\right]^{3/2}} \\
 &= -\frac{\lambda k}{a} \left( \frac{1}{\sqrt{\frac{1}{r} - \frac{\delta y + \delta x}{a}}} - \frac{1}{\sqrt{\frac{1}{r} + \frac{\delta y - \delta x}{a}}} \right)
 \end{aligned}$$

$$\Rightarrow E_x = E_{x_1} + E_{x_r} + E_{x_r} + E_{x_r}$$

$$\begin{aligned}
 E_x &= -\frac{\lambda k}{a} \left( \frac{1}{\sqrt{\frac{1}{r} + \frac{\delta y - \delta x}{a}}} - \frac{1}{\sqrt{\frac{1}{r} + \frac{\delta y + \delta x}{a}}} \right. \\
 &\quad \left. + \frac{1}{\sqrt{\frac{1}{r} - \frac{\delta x + \delta y}{a}}} - \frac{1}{\sqrt{\frac{1}{r} + \frac{\delta x - \delta y}{a}}} \right) \\
 &\quad - \frac{\lambda k}{a\left(\frac{a}{r} - \delta x\right)} \left( \frac{\frac{a}{r} - \delta y}{\sqrt{\frac{1}{r} - \frac{\delta y + \delta x}{a}}} - \frac{\frac{a}{r} + \delta y}{\sqrt{\frac{1}{r} + \frac{\delta y - \delta x}{a}}} \right) \\
 &\quad + \frac{\lambda k}{a\left(\frac{a}{r} + \delta x\right)} \left( \frac{\frac{a}{r} - \delta y}{\sqrt{\frac{1}{r} - \frac{\delta y - \delta x}{a}}} - \frac{\frac{a}{r} + \delta y}{\sqrt{\frac{1}{r} + \frac{\delta y + \delta x}{a}}} \right)
 \end{aligned}$$

با بسط مرتبه‌ی اول داریم:

$$E_x = \frac{-\sqrt{r} \lambda k}{a^2} \cdot \delta x$$

$$E_y = E_{y_1} + E_{y_r} + E_{y_r} + E_{y_r}$$

$$\begin{aligned}
 E_y &= \frac{-\lambda k}{a} \left( \frac{1}{\sqrt{\frac{1}{r} - \frac{\delta y + \delta x}{a}}} - \frac{1}{\sqrt{\frac{1}{r} + \frac{\delta y - \delta x}{a}}} \right. \\
 &\quad \left. + \frac{1}{\sqrt{\frac{1}{r} - \frac{\delta y + \delta x}{a}}} - \frac{1}{\sqrt{\frac{1}{r} + \frac{\delta y - \delta x}{a}}} \right) \\
 &\quad - \frac{\lambda k}{a\left(\frac{a}{r} - \delta y\right)} \left( \frac{\frac{a}{r} - \delta x}{\sqrt{\frac{1}{r} - \frac{\delta x + \delta y}{a}}} - \frac{\frac{a}{r} + \delta x}{\sqrt{\frac{1}{r} + \frac{\delta x - \delta y}{a}}} \right)
 \end{aligned}$$

$$+ \frac{\lambda k}{a(\frac{a}{r} + \delta y)} \left( \frac{\frac{a}{r} - \delta x}{\sqrt{\frac{1}{r} + \frac{\delta y - \delta x}{a}}} - \frac{\frac{a}{r} + \delta x}{\sqrt{\frac{1}{r} + \frac{\delta y + \delta x}{a}}} \right)$$

با بسط مرتبه‌ی اول داریم:

$$E_y = -\frac{\sqrt{2}\lambda k}{a^2} \cdot \delta y$$

$$(۱) : r_1^2 = \left(\frac{a}{r} - \delta x\right)^2 + \left(\frac{a}{r} + \delta y\right)^2 \quad (ب)$$

$$\cos \theta = \frac{\frac{a}{r} + \delta y}{r_1}, \quad \sin \theta = \frac{\frac{a}{r} - \delta x}{r_1}$$

$$E_x = -k \frac{q(\frac{a}{r} - \delta x)}{r_1^2}, \quad E_y = +k \frac{q(\frac{a}{r} + \delta y)}{r_1^2}$$

$$(۲) : r_2^2 = \left(\frac{a}{r} - \delta y\right)^2 + \left(\frac{a}{r} - \delta x\right)^2$$

$$\cos \theta = \frac{\frac{a}{r} - \delta x}{r_2}, \quad \sin \theta = \frac{\frac{a}{r} - \delta y}{r_2}$$

$$E_x = -k \frac{q(\frac{a}{r} - \delta x)}{r_2^2}, \quad E_y = -k \frac{q(\frac{a}{r} - \delta y)}{r_2^2}$$

$$(۳) : r_3^2 = \left(\frac{a}{r} + \delta x\right)^2 + \left(\frac{a}{r} - \delta y\right)^2$$

$$\cos \theta = \frac{\frac{a}{r} - \delta y}{r_3}, \quad \sin \theta = \frac{\frac{a}{r} + \delta x}{r_3}$$

$$E_x = k \frac{q(\frac{a}{r} + \delta x)}{r_3^2}, \quad E_y = -k \frac{q(\frac{a}{r} - \delta y)}{r_3^2}$$

$$(۴) : r_4^2 = \left(\frac{a}{r} + \delta x\right)^2 + \left(\frac{a}{r} + \delta y\right)^2$$

$$\cos \theta = \frac{\frac{a}{r} + \delta x}{r_4}, \quad \sin \theta = \frac{\frac{a}{r} + \delta y}{r_4}$$

$$E_x = k \frac{q(\frac{a}{r} + \delta x)}{r_4^2}, \quad E_y = k \frac{q(\frac{a}{r} + \delta y)}{r_4^2}$$

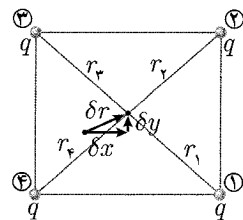
$$\Rightarrow E'_x = E'_{x_1} + E'_{x_2} + E'_{x_3} + E'_{x_4}$$

$$= kq \left\{ \frac{-(\frac{a}{r} - \delta x)}{[(\frac{a}{r} - \delta x)^2 + (\frac{a}{r} + \delta y)^2]^{3/2}} + \frac{-(\frac{a}{r} - \delta x)}{[(\frac{a}{r} - \delta y)^2 + (\frac{a}{r} - \delta x)^2]^{3/2}} \right. \\ \left. + \frac{(\frac{a}{r} + \delta x)}{[(\frac{a}{r} + \delta x)^2 + (\frac{a}{r} - \delta y)^2]^{3/2}} + \frac{(\frac{a}{r} + \delta x)}{[(\frac{a}{r} + \delta x)^2 + (\frac{a}{r} + \delta y)^2]^{3/2}} \right\}$$

$$= -k \left(\frac{a}{r} - \delta x\right) \left( \frac{1}{a^2 \sqrt{(\frac{1}{r} + \frac{\delta y - \delta x}{a})^2}} + \frac{1}{a^2 \sqrt{(\frac{1}{r} - \frac{\delta y + \delta x}{a})^2}} \right)$$

$$+ k \left(\frac{a}{r} + \delta x\right) \left( \frac{1}{a^2 \sqrt{(\frac{1}{r} + \frac{\delta x - \delta y}{a})^2}} + \frac{1}{a^2 \sqrt{(\frac{1}{r} + \frac{\delta x + \delta y}{a})^2}} \right)$$

$$= \frac{\Delta \sqrt{2} k q}{a^2} \cdot \delta x$$



شکل ۱-۱۲۲

$$\begin{aligned}
 E'_y &= E'_{y_x} + E'_{y_r} + E'_{y_r} + E'_{y_r} \\
 &= kq \left\{ \frac{\left(\frac{a}{r} + \delta y\right)}{\left[\left(\frac{a}{r} - \delta x\right)^2 + \left(\frac{a}{r} + \delta y\right)^2\right]^{3/2}} + \frac{-\left(\frac{a}{r} - \delta y\right)}{\left[\left(\frac{a}{r} - \delta y\right)^2 + \left(\frac{a}{r} - \delta x\right)^2\right]^{3/2}} \right. \\
 &\quad \left. + \frac{-\left(\frac{a}{r} - \delta y\right)}{\left[\left(\frac{a}{r} + \delta x\right)^2 + \left(\frac{a}{r} - \delta y\right)^2\right]^{3/2}} + \frac{\left(\frac{a}{r} + \delta y\right)}{\left[\left(\frac{a}{r} + \delta x\right)^2 + \left(\frac{a}{r} + \delta y\right)^2\right]^{3/2}} \right\} \\
 &= kq \left(\frac{a}{r} + \delta y\right) \left( \frac{1}{a^2 \sqrt{\left(\frac{1}{r} + \frac{\delta y - \delta x}{a}\right)^2}} + \frac{1}{a^2 \sqrt{\left(\frac{1}{r} + \frac{\delta y + \delta x}{a}\right)^2}} \right) \\
 &\quad - kq \left(\frac{a}{r} - \delta y\right) \left( \frac{1}{a^2 \sqrt{\left(\frac{1}{r} - \frac{\delta y + \delta x}{a}\right)^2}} + \frac{1}{a^2 \sqrt{\left(\frac{1}{r} + \frac{\delta x - \delta y}{a}\right)^2}} \right) \\
 &= \frac{\Delta \sqrt{2} kq}{a^2} \cdot \delta y
 \end{aligned}$$

$$\left. \begin{aligned}
 E''_x &= E_x + E'_x \\
 &= -\frac{\sqrt{2} \lambda k}{a^2} \delta x + \frac{\Delta \sqrt{2} kq}{a^2} \delta x = 0 \quad (I) \\
 E''_y &= E_y + E'_y \\
 &= \frac{-\sqrt{2} \lambda k}{a^2} \delta y + \frac{\Delta \sqrt{2} k a}{a^2} \delta y = 0 \quad (II)
 \end{aligned} \right\} \begin{aligned}
 &\xrightarrow{(I), (II)} \frac{\Delta q}{a^2} \delta x = \frac{\lambda}{a^2} \delta x \\
 &\Rightarrow \frac{\Delta q}{a} = \lambda \\
 &\Rightarrow \lambda = \frac{\Delta}{a} q
 \end{aligned}$$

بنابراین چنین رابطه‌ای بایستی میان  $q$  و  $\lambda$  برقرار باشد تا میدان در نقطه‌ی  $P$  تا مرتبه‌ی اول نسبت به  $\frac{\delta y}{a}$  و  $\frac{\delta x}{a}$  و هر عبارتی از تفاضل و علاوه‌ی آنها که همین مرتبه‌ی کوچکی را داشته باشد، صفر شود.

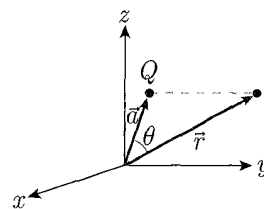
۲۹. حل. الف) ابتدا قانون کولن را می‌نویسیم. می‌دانیم که میدان ناشی از بار نقطه‌ای  $Q$  در نقطه‌ای به مکان  $\vec{r}$  عبارت است از:

$$\vec{E} = \frac{1}{4\pi\epsilon_0} \cdot \frac{Q}{|\vec{r} - \vec{a}|^2} \cdot \frac{\vec{r} - \vec{a}}{|\vec{r} - \vec{a}|}$$

برای این که بتوانیم  $\vec{E}$  را تا مرتبه‌ی دوم نسبت به  $a$  بنویسیم باید  $|\vec{r} - \vec{a}|^2$  را به شکل

جبری درآوریم:

$$\begin{aligned}
 |\vec{r} - \vec{a}|^2 &= r^2 + a^2 - 2ar \cos \theta \\
 &= r^2 \left( 1 + \left(\frac{a}{r}\right)^2 - 2\frac{a}{r} \cos \theta \right), \quad \cos \theta = \frac{\vec{a} \cdot \vec{r}}{a \cdot r} \\
 \Rightarrow \vec{E} &= \frac{1}{4\pi\epsilon_0} \cdot \frac{Q}{r^2 \left( 1 + \left(\frac{a}{r}\right)^2 - 2\left(\frac{a}{r}\right) \cos \theta \right)} \cdot \frac{\vec{r} - \vec{a}}{|\vec{r} - \vec{a}|} \quad (1)
 \end{aligned}$$



شکل ۱-۱۲۳

قسمت دوم: برای محاسبه‌ی میدان ناشی از حلقه در مکان  $\vec{r}$ ، حلقه را به المان‌هایی به طول  $dl = \frac{Q}{4\pi a} dl$  تقسیم می‌کنیم. هر کدام از این المان‌ها را می‌توانیم یک بار نقطه‌ای با بار  $dq = \frac{Q}{4\pi a} dl$  در نظر بگیریم. میدان ناشی از حلقه برابر خواهد بود با جمع برداری میدان‌های ناشی از این بارها در نقطه‌ی مورد نظر. در اینجا  $\vec{a}$  بردار مکان المان مورد نظر و  $\vec{r}$  بردار مکان نقطه‌ی مورد نظر است. همچنین  $\theta = \frac{\pi}{4} - \theta$  زاویه‌ی بین  $\vec{r}$  و صفحه‌ی  $xoy$  است. از معادله‌ی (۱) بخش (الف) استفاده می‌کنیم و مقدار  $|\vec{r} - \vec{a}|$  را نیز جایگذاری می‌کنیم.

$$\vec{dE} = \frac{dq}{4\pi\epsilon_0 r^2} \cdot \frac{1}{\left(1 + \left(\frac{a}{r}\right)^2 - 2\left(\frac{a}{r}\right)\cos\varphi\right)^{3/2}} \cdot \frac{\vec{r} - \vec{a}}{(r^2 + a^2 - 2ar\cos\varphi)^{1/2}}$$

$$\Rightarrow \vec{E} = \frac{Q}{4\pi\epsilon_0 r^3} \cdot \frac{\vec{r} - \vec{a}}{\left(1 + \left(\frac{a}{r}\right)^2 - 2\left(\frac{a}{r}\right)\cos\theta\right)^{3/2}}$$

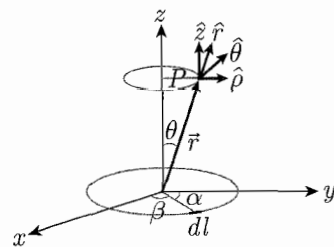
می‌خواهیم میدان را تا مرتبه‌ی دوم نسبت به  $a$  بنویسیم، یعنی  $\frac{a}{r}$  را عبارت کوچکی فرض می‌کنیم و تا مرتبه‌ی دوم نسبت به  $\frac{a}{r}$  جملات را حفظ می‌کنیم. داریم:

$$\left(1 + \left(\frac{a}{r}\right)^2 - 2\left(\frac{a}{r}\right)\cos\theta\right)^{3/2} = (1+t)^n$$

$$(1+t) \cong 1 + nt + \frac{n(n-1)}{2}t^2$$

$$\Rightarrow \vec{E} = \frac{Q}{4\pi\epsilon_0 r^3} \left(1 - \frac{3}{2}\left(\left(\frac{a}{r}\right)^2 - 2\left(\frac{a}{r}\right)\cos\theta\right) + \frac{15}{8}\left(-2\left(\frac{a}{r}\right)\cos\theta + \left(\frac{a}{r}\right)^2\right)^2\right) (\vec{r} - \vec{a})$$

ب) مطابق شکل ۱-۱۲۴ حلقه‌ای باردار را در صفحه‌ی  $z = 0$  در نظر می‌گیریم که چگالی یکنواخت  $\lambda$  و بار کل  $Q$  دارد. مرکز آن مرکز مختصات و شعاع آن  $a$  است. می‌خواهیم میدان را در نقطه‌ی  $\vec{r}$  و تا مرتبه‌ی دوم نسبت به  $\frac{a}{r}$  به شکلی که نشان داده شده است بنویسیم.



شکل ۱-۱۲۴

$$dq = \lambda \cdot dl = \lambda a d\beta$$

$$\cos\varphi = \cos\left(\frac{\pi}{4} - \theta\right) \cdot \cos\left(\frac{\pi}{4} - \beta\right)$$

$$= \sin\theta \cdot \sin\beta \tag{I}$$

$$\vec{r} = r \sin\theta \vec{j} + r \cos\theta \vec{k}$$

$$\vec{a} = a \cos\beta \vec{i} + a \sin\beta \vec{j}$$

$$\vec{dE} = \frac{dq}{4\pi\epsilon_0 r^3} \left(1 + \frac{3}{2}\left(\frac{a}{r}\right) \sin\theta \cdot \sin\beta + \frac{3}{2}\left(\frac{a}{r}\right)^2 (\Delta \sin^2\theta \sin^2\beta - 1)\right)$$

$$(r \sin\theta \vec{j} + r \cos\theta \vec{k} - a \cos\beta \vec{i} - a \sin\beta \vec{j})$$

$$\vec{dE} = A(-a \cos\beta) \vec{i} + A(r \sin\theta - a \sin\beta) \vec{j} + Ar \cos\theta \vec{k}$$

$$A = \frac{\lambda a d\beta}{4\pi\epsilon_0 r^3} \left(1 + \frac{3}{2}\left(\frac{a}{r}\right) \sin\theta \sin\beta + \frac{3}{2}\left(\frac{a}{r}\right)^2 (\Delta \sin^2\theta \sin^2\beta - 1)\right)$$



$$\hat{\theta} = -\hat{i}, \quad \hat{\rho} = \hat{j}, \quad \hat{k} = \hat{z}$$

$$\hat{r} = \sin \theta \hat{j} + \cos \theta \hat{k} = \sin \theta \hat{\rho} + \cos \theta \hat{z}$$

طبق تقارن موجود در حلقه، میدان آن در نقطه‌ی  $P$  در راستای  $\hat{\theta}$  صفر می‌شود.

$$\begin{aligned} \vec{E} &= \frac{1}{4\pi\epsilon_0} \int_0^\pi A(r \sin \theta - a \sin \beta) \vec{j} + Ar \cos \theta \hat{k} \\ &= \frac{1}{4\pi\epsilon_0} \int_0^\pi \frac{\lambda a d\beta}{r^2} \left( 1 + \frac{a}{r} \sin \theta \cdot \sin \beta \right. \\ &\quad \left. + \frac{a}{r} (\Delta \sin^2 \theta \sin^2 \beta - 1) \right) ((r \sin \theta - a \sin \beta) \vec{j} + (r \cos \theta) \hat{k}) \end{aligned}$$

$$\begin{aligned} \vec{E} &= \frac{1}{4\pi\epsilon_0} \int_0^\pi \frac{\lambda a}{r^2} \left( [(r \sin \theta) + (2a \sin^2 \theta) \sin \beta \right. \\ &\quad + \left( \frac{\Delta a^2}{r} \sin^2 \theta \right) \sin^2 \beta - \left( \frac{2a^2 \sin \theta}{r} \right) \\ &\quad + (-a) \sin \beta + \left( -\frac{2a^2}{r} \sin \theta \right) \sin^2 \beta \\ &\quad + \left( \frac{\Delta a^2}{r^2} \sin^2 \theta \right) \sin^2 \beta - \left( \frac{2a^2}{r^2} \sin \beta \right)] \hat{\rho} \\ &\quad + [(r \cos \theta) + \left( \frac{2}{r} \sin 2\theta \right) \sin \beta \\ &\quad + \left( \frac{\Delta a^2}{r} \sin^2 \theta \cos \theta \right) \sin^2 \beta - \left( \frac{2a^2}{r} \cos \theta \right)] \hat{z} \right) d\beta \end{aligned}$$

می‌دانیم که

$$\int_0^\pi d\beta = \pi, \quad \int_0^\pi \sin \beta d\beta = 2$$

$$\int_0^\pi \sin^2 \beta d\beta = \frac{\pi}{2}, \quad \int_0^\pi \sin^2 \beta d\beta = \frac{2}{3}$$

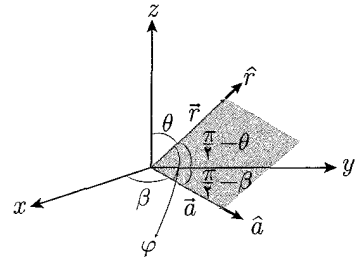
$$\begin{aligned} \vec{E} &= \frac{2\lambda a}{4\pi\epsilon_0 r^2} \left[ \pi(r \sin \theta) + 2(2a \sin^2 \theta) \right. \\ &\quad + \left( \frac{\Delta a^2}{r} \sin^2 \theta \right) \frac{\pi}{2} - \left( \frac{2a^2 \sin \theta}{r} \right) \pi + 2(-a) \\ &\quad + \frac{\pi}{2} \left( -\frac{2a^2}{r} \sin \theta \right) + \frac{2}{3} \left( \frac{\Delta a^2}{r^2} \sin^2 \theta \right) - 2 \left( \frac{2a^2}{r^2} \right) \left. \right] \hat{\rho} \\ &\quad + \frac{2\lambda a}{4\pi\epsilon_0 r^2} \left[ \pi(r \cos \theta) + 2 \left( \frac{2}{r} \sin 2\theta \right) \right. \\ &\quad + \left. \frac{\pi}{2} \left( \frac{\Delta a^2}{r} \sin^2 \theta \cos \theta \right) - \left( \frac{2a^2}{r} \cos \theta \right) \pi \right] \hat{z} \end{aligned}$$

$$Q = 2\lambda\pi a$$

$$\begin{aligned} \vec{E} &= \frac{Q}{4\pi\epsilon_0 r^2} \left[ r \sin \theta + \frac{2a}{\pi} \sin^2 \theta + \frac{\Delta a^2}{4r} \sin^2 \theta - \frac{2a^2}{r} \sin \theta \right. \\ &\quad \left. - \frac{2a}{\pi} - \frac{2a^2}{r} \sin \theta + 1 \cdot \frac{a^2}{\pi r^2} \sin^2 \theta - \frac{2a^2}{\pi r^2} \right] \hat{\rho} \\ &\quad + \frac{Q}{4\pi\epsilon_0 r^2} \left[ r \cos \theta + \frac{2}{\pi} \sin 2\theta + \frac{\Delta a^2}{4r} \sin^2 \theta \cos \theta - \frac{2a^2}{r} \cos \theta \right] \hat{z} \end{aligned}$$

$$\vec{E} = \frac{Q}{4\pi\epsilon_0 r^2} (r \sin \theta \hat{\rho} + r \cos \theta \hat{z})$$

$$\begin{aligned}
 & + \frac{Q}{4\pi\epsilon_0 r^2} \left\{ \frac{a}{r} \left[ \left( \frac{6}{\pi} \sin^2 \theta - \frac{2}{\pi} \right) \hat{\rho} + \left( \frac{3}{\pi a} \sin 2\theta \right) \hat{z} \right] \right. \\
 & + \left( \frac{a}{r} \right)^2 \left[ \left( \frac{15}{4} \sin^2 \theta - 3 \sin \theta + \frac{10a}{\pi r} \sin^2 \theta - \frac{3a}{\pi r} \right) \hat{\rho} \right. \\
 & \left. \left. + \left( \frac{15}{4} \sin^2 \theta \cos \theta - \frac{3}{2} \cos \theta \right) \hat{z} \right] \right\} \\
 \Rightarrow f_1(\theta) &= \frac{3}{\pi a} \sin 2\theta \\
 f_2(\theta) &= \frac{6}{\pi} \sin^2 \theta - \frac{2}{\pi} \\
 f_3(\theta) &= \frac{15}{4} \sin^2 \theta \cos \theta - \frac{3}{2} \cos \theta \\
 f_4(\theta) &= \frac{15}{4} \sin^2 \theta - 3 \sin \theta + \frac{10a}{\pi r} \sin^2 \theta - \frac{3a}{\pi r}
 \end{aligned}$$



شکل ۱-۱۲۵

و بدین ترتیب موارد خواسته شده به دست می‌آید.

توجه داشته باشید که رابطه‌ای که تحت عنوان رابطه‌ی (I) در ابتدای حل قسمت (ب) استفاده شد، از طریق زیر به دست می‌آید:

$$\begin{aligned}
 \cos \varphi &= \hat{r} \cdot \hat{a} \\
 \hat{r} &= \sin \theta \hat{j} + \cos \theta \hat{k} \\
 \hat{a} &= \cos \beta \hat{i} + \sin \beta \hat{j} \\
 \hat{r} \cdot \hat{a} &= \sin \beta \cdot \sin \theta
 \end{aligned}$$

۳۰. حل. الف) ابتدا مؤلفه‌ی افقی میدان ناشی از دو بار  $+Q$  و  $-Q$  در محل بار  $q$  (نقطه‌ی  $(x, 0, 0)$ ) که به ترتیب در مکان‌های  $r_+$  و  $r_-$  و زوایای  $\theta_+$  و  $\theta_-$  قرار گرفته‌اند را به دست می‌آوریم:

$$E_x(x, 0, 0) = kQ \left( \frac{\cos \theta_+}{r_+^2} - \frac{\cos \theta_-}{r_-^2} \right)$$

از طرفی، در دو مثلثی که  $r_+$  و  $r_-$  با شعاع دایره و محور افق (که با هم زاویه‌ی  $\alpha$  می‌سازند) ایجاد کرده‌اند، با استفاده از قانون کسینوس‌ها داریم:

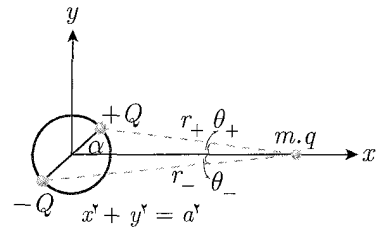
$$\begin{aligned}
 r_+^2 &= a^2 + x^2 - 2ax \cos \alpha \\
 r_-^2 &= a^2 + x^2 + 2ax \cos \alpha
 \end{aligned}$$

از طرفی رابطه‌ی کسینوس برای دو زاویه‌ی  $\theta_+$  و  $\theta_-$  به ترتیب زیر است:

$$\begin{aligned}
 \cos \theta_+ &= \frac{x - a \cos \alpha}{r_+} \\
 \cos \theta_- &= \frac{x + a \cos \alpha}{r_-}
 \end{aligned}$$

با جایگذاری این مقادیر در رابطه‌ی میدان افقی در نقطه‌ی  $(x, 0, 0)$  داریم:

$$E_x(x, 0, 0) = kQ \left[ \frac{x - a \cos \alpha}{(a^2 + x^2 - 2ax \cos \alpha)^{3/2}} - \frac{x + a \cos \alpha}{(a^2 + x^2 + 2ax \cos \alpha)^{3/2}} \right]$$



شکل ۱-۱۲۶



$$= \frac{kQ}{x^2} \left[ \frac{1 - \frac{a}{x} \cos \alpha}{\left(1 + \left(\frac{a}{x}\right)^2 - 2\left(\frac{a}{x}\right) \cos \alpha\right)^{3/2}} - \frac{1 + \left(\frac{a}{x}\right) \cos \alpha}{\left(1 + \left(\frac{a}{x}\right)^2 + 2\left(\frac{a}{x}\right) \cos \alpha\right)^{3/2}} \right]$$

این عبارت، مؤلفه‌ی  $x$  میدان الکتریکی ناشی از بارهای  $\pm Q$  را در نقطه‌ی  $(x, \circ, \circ)$  می‌دهد.

ب) با فرض  $a \ll x$  خواهد بود. برای ساده کردن عبارت  $E_x$ ، عبارت را بسط داده و تنها تا مرتبه‌ی اول نسبت به  $\frac{a}{x}$  نگه می‌داریم:

$$E_x(x, \circ, \circ) \simeq \frac{kQ}{x^2} \left[ \frac{1 - \left(\frac{a}{x}\right) \cos \alpha}{\left(1 - 2\left(\frac{a}{x}\right) \cos \alpha\right)^{3/2}} - \frac{1 + \left(\frac{a}{x}\right) \cos \alpha}{\left(1 + 2\left(\frac{a}{x}\right) \cos \alpha\right)^{3/2}} \right]$$

از تقریب استفاده می‌کنیم. دیدیم که اگر  $\epsilon \ll 1$  باشد، داریم:

$$\begin{aligned} (1 + \epsilon)^n &\simeq 1 + n\epsilon \\ \Rightarrow E_x(x, \circ, \circ) &\simeq \frac{kQ}{x^2} \left[ \left(1 - \left(\frac{a}{x}\right) \cos \alpha\right) \left(1 + 3\left(\frac{a}{x}\right) \cos \alpha\right) \right. \\ &\quad \left. - \left(1 + \frac{a}{x} \cos \alpha\right) \left(1 - 3\left(\frac{a}{x}\right) \cos \alpha\right) \right] \end{aligned}$$

جملات را در عبارت به دست آمده نیز بعد از ضرب کردن و بسط دادن، تنها تا مرتبه‌ی اول نسبت به  $\frac{a}{x}$  حفظ می‌کنیم. داریم:

$$E_x(x, \circ, \circ) = \frac{kQ}{x^2} \left[ 4\left(\frac{a}{x}\right) \cos \alpha \right] = \frac{4kQ}{x^2} \left(\frac{a}{x}\right) \cos \alpha$$

از آنجا که تقریب و بسط انجام شده، جواب نهایی را صفر نکرد، بنابراین جمله‌ی به دست آمده تقریب قابل قبولی برای عبارت میدان است. به عبارت دیگر صفر نشدن پاسخ نهایی برای میدان، نشانی است که درستی تقریب انجام شده.

ج) برای نوشتن معادله‌ی دیفرانسیل حرکت ذره بر روی محور  $x$ ، معادله‌ی نیرو را در راستای محور  $x$  می‌نویسیم:

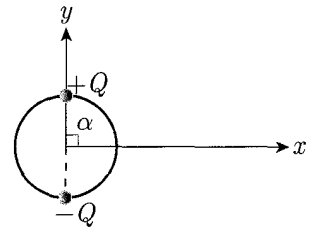
$$\sum F_x = ma_x$$

از آنجایی که تنها نیرویی که در راستای محور  $x$  بر بار نقطه‌ای اعمال می‌شود، نیروی ناشی از مؤلفه‌ی  $x$  میدان الکتریکی حاصل از دو بار نقطه‌ای است، با استفاده از عبارتی که در قسمت قبل برای میدان به دست آمده، معادله‌ی حرکت ذره را می‌نویسیم:

$$\begin{aligned} E_x \cdot q &= ma_x = m \frac{d^2 x}{dt^2} \\ \frac{4kQq}{x^2} \left(\frac{a}{x}\right) \cos \alpha &= m \frac{d^2 x}{dt^2} \end{aligned}$$

این عبارت معادله‌ی دیفرانسیل حرکت ذره بر روی محور  $x$  است. ولی برای به دست آوردن  $\alpha$  مجهول، از شرایطی که دو ذره در لحظه‌ی نخست در آن واقع هستند، استفاده

می‌کنیم. می‌دانیم که در لحظه  $t = 0$ ، مکان بار  $+Q$  نقطه  $(0, a, 0)$  و بار  $-Q$  نقطه  $(0, -a, 0)$  است. بنابراین مطابق شکل ۱-۲۷ مقدار  $\alpha$  در لحظه اول  $\frac{\pi}{4}$  است. برای این که  $\alpha$  را به صورت تابعی از  $x$  بنویسیم، می‌دانیم که قطر دایره با سرعت زاویه‌ای ثابت  $\omega$  می‌چرخد و  $\alpha$  را تغییر می‌دهد. داریم:



شکل ۱-۲۷

$$\begin{cases} t = 0 \rightarrow \alpha = \frac{\pi}{4} \\ \alpha = \omega t + \alpha_1 \end{cases} \rightarrow \alpha = \omega t + \frac{\pi}{4}$$

بنابراین معادله‌ی دیفرانسیل حرکت ذره بر روی محور  $x$  در حالتی که  $x \gg a$  باشد، به شکل زیر کامل می‌شود:

$$\begin{aligned} \frac{4kQq}{x^2} \left(\frac{a}{x}\right) \cos\left(\omega t + \frac{\pi}{4}\right) &= m \frac{d^2 x}{dt^2} \\ -\frac{4kQq}{x^2} \left(\frac{a}{x}\right) \sin(\omega t) &= m \frac{d^2 x}{dt^2} \end{aligned}$$

۳۱. حل. الف) فرض کنیم که  $f$  در راستای  $ox$  است و در نتیجه  $f$  ای که در معادلات آمده است، مؤلفه‌ی  $f$  اصلی در راستای  $ox$  است. معادله‌ی نیرو را در راستای میله‌ها می‌نویسیم:

$$\begin{aligned} \text{بار } q : \sum F &= ma_+ \\ f - \frac{kq^2}{[(x-x')^2 + b^2]} \cdot \frac{x-x'}{[(x-x')^2 + b^2]^{3/2}} &= m \frac{d^2 x}{dt^2} \\ \text{بار } -q : \sum F &= ma_- \\ \frac{kq^2}{[(x-x')^2 + b^2]} \cdot \frac{x-x'}{[(x-x')^2 + b^2]^{3/2}} &= m \frac{d^2 x'}{dt^2} \\ \begin{cases} x - x' = u \\ x' \equiv X \end{cases} &\Rightarrow \begin{cases} x = (2X + u)/2 \\ x' = (2X - u)/2 \end{cases} \\ f - \frac{kq^2 u}{(u^2 + b^2)^{3/2}} &= \frac{m}{2} \frac{d^2}{dt^2} (2X + u) = m(\ddot{X} + \frac{\ddot{u}}{2}) \\ \frac{kq^2 u}{(u^2 + b^2)^{3/2}} &= \frac{m}{2} \frac{d^2}{dt^2} (2X - u) = m(\ddot{X} - \frac{\ddot{u}}{2}) \end{aligned}$$

(ب)

$$\begin{aligned} f = 0 \rightarrow -\frac{kq^2 u}{(u^2 + b^2)^{3/2}} &= m(\ddot{X} + \frac{\ddot{u}}{2}) \\ \frac{kq^2 u}{(u^2 + b^2)^{3/2}} &= m(\ddot{X} - \frac{\ddot{u}}{2}) \end{aligned}$$

۳۲. حل. همان طوری که از صورت مسئله برمی‌آید، نیروی وارد بر الکترون بین هر دو برخورد، فقط ناشی از میدان الکتریکی بیرونی است. با توجه به این که فاصله‌ی بین هر دو برخورد، در ابعاد بسیار کوچکی در حدود میکرون می‌باشد، پس عملاً میدان الکتریکی بیرونی در این ناحیه

تغيير محسوسى نمى‌کند و مى‌توانيم اندازه‌ى ميدان را مطابق صورت سؤال ثابت و برابر  $E$  بگيريم.

الف) مى‌دانيم مه زمان بين هر دو برخورد متوالى  $T$  مى‌باشد و نيروى که در اين مدت بر الکترون وارد مى‌شود،  $qE$  مى‌باشد.

$$\sum F_x = ma_x \Rightarrow a_x = \frac{qE}{m}$$

اين شتاب نيز در زمان بين دو برخورد متوالى ( $T$ ) ثابت است. مطابق شکل ۱-۱۲۸، مبدأ بررسى الکترون، موقعيت آن پس از يک برخورد (که برخورد صفر ناميده شده است)، در نظر گرفته شده است که با سرعت  $v_0 + \Delta v$  حرکت مى‌کند. سرعت اين ذره درست پيش از برخورد بعدى (که با موقعيت ۱ نشان داده شده است)، با فرضى که در مورد ثابت بودن شتاب گرفته‌ايم، به صورت زير است:

$$\begin{aligned} v_x &= a_x T + v_{0x} \\ v_1 &= a_x T + v_0 + \Delta v \\ &= \frac{qET}{m} + v_0 + \Delta v \end{aligned}$$

ب) همان طور که گفته شده است، در حضور ميدان الکتريکى خارجى  $E$  در راستاى  $x$ ، زمان حرکت بين دو برخورد ثابت است و سرعت پيش از برخورد  $u + v_0 \pm$  به سرعت پس از برخورد  $\mp v_0 + \alpha u$  تبديل مى‌شود. با توجه به نتيجه‌ى قسمت قبل، سرعت ذره قبل از برخورد يک برابر با  $v_0 + \Delta v + \frac{qET}{m}$  به دست آمد. داريم:

$$\begin{aligned} v_1 &= \frac{qET}{m} + v_0 + \Delta v = v_0 + u_1 \\ \Rightarrow u_1 &= \frac{qET}{m} + \Delta v \end{aligned}$$

اگر سرعت ذره پس از برخورد يک باشد، با استفاده از  $u$  به دست آمده داريم:

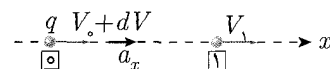
$$v'_1 = -v_0 + \alpha u_1 = -v_0 + \alpha \left( \frac{qET}{m} + \Delta v \right)$$

ج) براى برخورد يک تا برخورد دو، مانند قسمت اول عمل مى‌کنيم و با توجه به شتاب، سرعت را محاسبه مى‌کنيم

$$\begin{aligned} v_x &= a_x t + v_{0x} \\ \Rightarrow v_2 &= \frac{qE}{m} T + v'_1 \\ &= -v_0 + \alpha \Delta v + (\alpha + 1) \left( \frac{qET}{m} \right) \end{aligned}$$

د) مطابق قسمت (ب)، در اينجا نيز سرعت  $u + v_0 \pm$  قبل از برخورد، بعد از برخورد به مقدار  $\mp v_0 + \alpha u$  مى‌رسد. بنابراین سرعت پس از برخورد دوم بدین شکل خواهد بود:

$$v_2 = -v_0 + \alpha \Delta v + (\alpha + 1) \left( \frac{qET}{m} \right)$$



شکل ۱-۱۲۸

$$\begin{aligned}
 &= -v_0 + u_2 \\
 \Rightarrow u_2 &= a\Delta v + (\alpha + 1)\left(\frac{qET}{m}\right) \\
 v_2' &= v_0 + \alpha u_2 \\
 &= v_0 + \alpha^2 \Delta v + \alpha(\alpha + 1)\left(\frac{qET}{m}\right)
 \end{aligned}$$

ه) سرعت الکترون بعد از برخورد دو،  $v_2'$  و بعد از برخورد صفر  $v_0 + \Delta v$  می‌باشد. داریم:

$$\begin{aligned}
 v_2' &= v_0 + \Delta v \\
 v_0 + \alpha^2 \Delta v + \alpha(\alpha + 1)\left(\frac{qET}{m}\right) &= v_0 + \Delta v \\
 \Rightarrow \alpha(\alpha + 1)\left(\frac{qET}{m}\right) &= (1 - \alpha^2)\Delta v \\
 &= (1 + \alpha)(1 - \alpha)\Delta v
 \end{aligned}$$

حال دو حالت  $\alpha = -1$  و  $\alpha \neq -1$  را بررسی می‌کنیم.

$$\begin{aligned}
 \alpha \neq -1 : \alpha\left(\frac{qET}{m}\right) &= (1 - \alpha)\Delta v \\
 \Rightarrow \Delta v &= \frac{\alpha}{1 - \alpha}\left(\frac{qET}{m}\right) \\
 \alpha = -1 : \alpha(\alpha + 1)\left(\frac{qET}{m}\right) &= (1 + \alpha)(1 - \alpha)\Delta v = 0
 \end{aligned}$$

این حالت به ازای هر  $\Delta v$  ای برقرار است و در نتیجه  $\Delta v$  هر عدد دلخواهی می‌تواند باشد. در اینجا اگر کمی دقت کنیم متوجه می‌شویم که اگر  $\alpha = -1$  باشد، سرعت بعد از برخورد منفی سرعت قبل از برخورد می‌شود، که در واقع همان فرض مربوط به حالتی است که میدان خارجی وجود نداشته باشد.

و) برای محاسبه‌ی سرعت متوسط ذره می‌دانیم که باید جابه‌جایی ذره در حرکت از برخورد صفر به برخورد یک و از برخورد یک به برخورد دو را حساب کنیم و با هم جمع جبری کنیم. در حرکت از برخورد صفر به برخورد یک، الکترون با سرعت  $v_0 + \Delta v$  از نقطه‌ی صفر شروع به حرکت می‌کند و دارای شتاب  $\frac{qE}{m}$  است. مدت حرکت نیز  $T$  است. با استفاده از معادله‌ی مربوط به جابه‌جایی در حرکت شتابدار با شتاب ثابت داریم:

$$\begin{aligned}
 \Delta x_2 &= \frac{1}{2} A x t^2 + v_0 t \\
 \Delta x_1 &= \frac{1}{2} \left(\frac{qE}{m}\right) T^2 + (v_0 + \Delta v) T
 \end{aligned}$$

در حرکت دوم یعنی از یک دو به، الکترون سرعت اولیه‌ای برابر با  $v_1'$  دارد و همان شتاب  $\frac{qE}{m}$  را دارا می‌باشد. مدت این حرکت نیز  $T$  است.

$$\Delta x_1 = \frac{1}{2} \left(\frac{qE}{m}\right) T^2 + v_1' T$$

$$= \frac{1}{\gamma} \left( \frac{qE}{m} \right) T^2 + \left[ -v_0 + \alpha \left( \Delta v + \frac{qET}{m} \right) \right] T$$

$$\Rightarrow \Delta x_{\text{نهایی}} = \Delta x_1 + \Delta x_2$$

$$= (1 + \alpha) \left( \frac{qE}{m} \right) T^2 + (\alpha + 1) (\Delta v) T$$

$$= (1 + \alpha) \left( \frac{qET}{m} + \Delta v \right) T$$

همچنین مدت زمان حرکت از صفر تا دو نیز برابر  $2T$  می‌باشد. برای سرعت متوسط ذره از صفر تا دو داریم:

$$\overline{v_2} = \frac{\Delta x_{\text{نهایی}}}{2T} = \frac{1}{2} (1 + \alpha) \left( \frac{qET}{m} + \Delta v \right)$$

حال، دو حالت را بررسی می‌کنیم:

حالت بدون میدان خارجی  $\overline{v_2} = 0 \rightarrow \alpha = -1$  : حالت اول

حالت دوم  $\alpha \neq -1$  :  $\overline{v_2} = \frac{1}{2} (1 + \alpha) \left( \frac{qET}{m} + \frac{\alpha}{1 - \alpha} \cdot \frac{qET}{m} \right)$  قسمت ه

$$\Rightarrow \overline{v_2} = \left( \frac{1 + \alpha}{1 - \alpha} \right) \left( \frac{qET}{2m} \right)$$

□□■□ . حل. ۳۳

نیروی الکتریکی از رابطه‌ی مقابل تبعیت می‌کند:

$$F_e = \frac{kqQ}{r^2}$$

و نیروی گرانشی نیز از رابطه‌ی مشابهی به دست می‌آید که به نام قانون گرانش عمومی نیوتن شناخته می‌شود:

$$F_G = \frac{Gm_1m_2}{r^2}$$

نسبت نیروی الکتریکی به نیروی گرانشی را برای دو الکترون به جرم  $m$  و بار  $e$  و فاصله‌ی  $r$  از یکدیگر به دست می‌آوریم:

$$\frac{F_e}{F_G} = \frac{\frac{ke^2}{r^2}}{\frac{Gm^2}{r^2}} = \frac{ke^2}{Gm^2} = \frac{9,10 \times 10^9 \times 1,62 \times 10^{-38}}{6,7 \times 10^{-11} \times 9,12 \times 10^{-62}}$$

دقت کنید که در این مرحله تقریب مورد نظر است و نیازی به محاسبه‌ی عبارت بالا در ماشین حساب نیست چرا که چنین سؤالاتی در تأمین زمان کافی پاسخ به دیگر سؤالات زمان‌بر نقش به‌سزایی ایفا می‌کنند و بهتر است آنها را کاملاً به صورت تخمینی پاسخ دهید. تخمین را به این صورت انجام می‌دهیم: اعداد نزدیک به  $10^0$  برابر آن در نظر گرفته می‌شوند و اعداد نزدیک به  $1$  برابر  $10^0$  توان‌های  $10^0$  در صدر توجه واقع می‌شوند. به این صورت:

$$\frac{F_e}{F_G} = \frac{10 \times 10^9 \times 5 \times 10^{-38}}{10 \times 10^{-11} \times 10^2 \times 10^{-62}} = \frac{10^{-28}}{2 \times 10^{-71}} = 0,5 \times 10^{43} \simeq 10^{42}$$

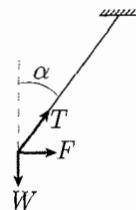
مشاهده می‌شود که این مقدار در گزینه‌ی (ب) قرار داده شده است. حتی اگر شما دست بالا تخمین زده باشید، و تمامی مقادیر صورت (۹ و  $۱/۶^۲$ ) را با مقدار بیشتر و مقادیر مخرج ( $۹/۱۲$  و  $۶/۷$ ) را با مقادیر کمتر از خودشان تخمین زده باشید، در بدترین حالت به ضریبی از  $۱۰^{۴۴}$  می‌رسید. در این حالت شما باید همچنان گزینه‌ی (ب) را علامت بزنید. چرا که با تخمین دست بالایی که در نظر گرفته‌اید، مقدار هنوز به گزینه‌ی (الف) که در درجه‌ی بعدی انتخاب قرار گرفته است، نرسیده است. بنابراین گزینه‌ی (ب) صحیح است.

۳۴. حل. □ □ ■ □

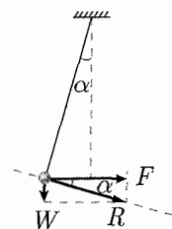
در شکل، نیروهای وارد بر آونگ نشان داده شده است. در زاویه‌ی  $\alpha$  نخ آونگ کشیده شده است و آونگ ساکن است با رها شدن آونگ گوله روی خط راست حرکت می‌کند. حرکت روی خط راست به معنی این است که یا نیروهای وارد بر آونگ در مسیر حرکتش صفر شده‌اند (و صفر مانده‌اند) که ممکن نیست، چرا که با تغییر زاویه، جهت نیروی نخ ( $T$ ) تغییر می‌کند و صفر ماندن برآیند نیروها امر ممکن نیست. معنی حرکت روی خط راست می‌تواند این باشد که نیروی نخ صفر شده است و آونگ در مسیر برآیند نیروهای  $F$  و  $W$  حرکت می‌کند. برای برقراری این حالت آونگ باید بتواند در مسیر خط راست حرکت کند. این مسیر که همان راستای عمود بر نخ است باید هم‌راستا با برآیند نیروهای وزن و الکتریکی وارد بر آونگ باشد. بنابراین زاویه‌ی  $\alpha$  وقتی به نسبت مشخص این دو نیرو می‌رسد، آونگ شل می‌شود. بنابراین زاویه‌ی  $\alpha$  باید از قبل بیشتر از این مقدار می‌بود.

$$\tan \alpha = \frac{mg}{qE} \Rightarrow \alpha > \tan^{-1} \left( \frac{mg}{qE} \right)$$

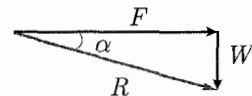
بنابراین گزینه‌ی (ب) صحیح است.



شکل ۱-۱۲۹

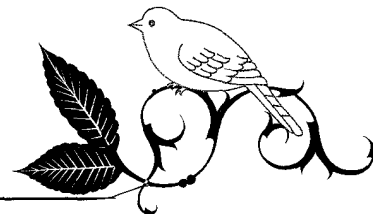


شکل ۱-۱۳۰



شکل ۱-۱۳۱

# قانون گاوس



## مقدمه

در فصل قبل با مفهوم بار الکتریکی و میدان آشنا شدیم و توانستیم میدان الکتریکی ناشی از توزیع بارهای نسبتاً ساده را به دست آوریم که این کار با قانون کولن ممکن بود. همان طور که احتمالاً دقت کردید، حتی یک توزیع بار ساده در فضا می تواند ما را دچار درسهای ریاضی آزاردهنده ای برای محاسبه انتگرال های لازم بکند.

در این فصل ما به مبحثی می پردازیم که می تواند رهیافتی بسیار ساده تر را برای حالتی از توزیع بار که از تقارن قابل قبولی برخوردارند، در اختیار ما بگذارد یعنی قانون گاوس.

اگرچه به کمک این قانون نمی توان میدان ناشی از توزیع بارهای بدون تقارن را به سادگی استخراج کرد، ولی کاربردهای روزمره ای ما معمولاً از اجزای الکتریکی تشکیل شده اند که می توان هر کدام را با فرضیاتی ساده کرد و به یک توزیع متقارن تبدیل کرد. اینجاست که سادگی باور نکردنی چهارچوب ریاضی قانون گاوس برای ما ارزشمند می شود.

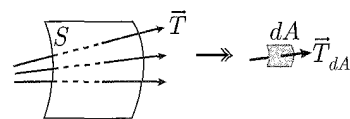
همچنین درست است که به نظر می رسد که قانون گاوس حالت خاصی از قانون کولن باشد ولی واقعیت کاملاً برعکس است، قانون گاوس بنیادی تر از قانون کولن است. حتی جالب است بدانید که قانون کولن برای بارهای استاتیکی قابل کاربرد بود ولی قانون گاوس در حالت کلی برقرار است و در واقع یکی از معادلات ماکسول خواهد بود که در آینده به آن خواهیم پرداخت.

## مفهوم شار؛ مطالعه ی موردی میدان جریان یک سیال

از دانسته های قبلی ریاضی، می دانید که اگر یک میدان برداری در فضا مانند  $\vec{T} = \vec{T}(x, y, z)$  و یک سطح در فضا مانند  $S$  در اختیار داشته باشیم، آنگاه شار میدان برداری  $\vec{T}$  روی سطح  $S$  به صورت زیر است:

$$f_{T,S} = \int_S \vec{T} \cdot d\vec{A}$$

که در آن  $dA$  المان سطح، روی سطح  $S$  است و بردار  $d\vec{A}$  برداری است با اندازه ی  $dA$  و در جهت عمود بر رویه  $S$  در هر نقطه (به یاد دارید که برای سطوح غیر بسته جهت این بردار دلخواه



شکل ۱-۲

است ولی برای سطح بسته جهت مثبت بردار  $dA$  به سمت بیرون رویه  $S$  است).  
 بیایید برای مثال شار یک سیال از یک سطح را در نظر بگیریم.

برای این مثال به دلیلی که بعداً خواهید فهمید، فرض می‌کنیم که این سطح، یک سطح بسته است. فرض کنید که سطح بسته که در واقع یک تور ماهی‌گیری به مانند شکل ۲-۲ است در آب رودخانه‌ای قرار دارد. طبعاً تور ماهی‌گیری سوراخ‌سوراخ است و آب علاوه بر دهانه‌ی آن می‌تواند از بدنه‌ی تور هم عبور کند. همچنین فرض کنید که چگالی آب ثابت است و برابر  $\rho_w$  و فرض کنید تور ماهی‌گیری حجم ثابتی دارد. به این صورت مقدار آب محبوس درون حجم تور ماهی‌گیری برابر است با:

$$m_{net} = \rho_w \times V_{net} = cte$$

همین مقدار آب درون این تور ماهی‌گیری ثابت است. همچنین می‌دانیم که همواره به این تور مقداری آب وارد و مقداری آب خارج می‌شود و می‌دانیم که جرم آب درون تور در هر لحظه  $t$  برابر است با:

$$m_{net}(t) = m_o + m_i(t) - m_e(t)$$

$m_o$ : جرم اولیه در لحظه‌ی  $t = 0$

$m_i$ : جرم ورودی تا لحظه‌ی  $t$

$m_e$ : جرم خروجی تا لحظه‌ی  $t$

از آنجا که  $m_{net} = cte$ ، با مشتق‌گیری نسبت به زمان خواهیم داشت:

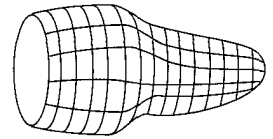
$$\begin{aligned} \frac{dm_{net}}{dt} = 0 &\rightarrow \frac{dm_o}{dt} + \frac{d(m_i(t) - m_e(t))}{dt} = 0 \\ &\rightarrow \frac{dm_i(t)}{dt} - \frac{dm_e(t)}{dt} = 0 \rightarrow \frac{dm_i(t)}{dt} = \frac{dm_e(t)}{dt} \end{aligned}$$

یعنی آهنگ ورودی و خروجی جرم به تور ماهی‌گیری برابر است. در ملاحظات بالا جرم را مثبت در نظر گرفتیم و پشت عبارت جرم خروجی یک منفی قرار دادیم، اما با استفاده از خواص بردار می‌توانیم رابطه را ساده‌تر کنیم. می‌دانیم اگر زاویه بین دو بردار از  $\frac{\pi}{2}$  بیشتر باشد، حاصل ضرب اسکالر آنها یک مقدار منفی است. به شکل‌های ۲-۳ و ۲-۴ دقت کنید که ورود و خروج جرم را نمایش می‌دهند. از این موضوع در ادامه استفاده خواهیم کرد. همچنین دقت کنید که ورود و خروج جرم از روی سطح تور ماهی‌گیری انجام می‌شود.

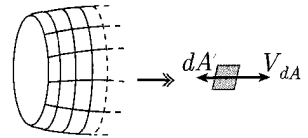
تساوی  $\frac{dm_i(t)}{dt} = \frac{dm_e(t)}{dt}$  بیان می‌کند که اگر در هر لحظه‌ی دلخواه  $t$  به اندازه‌ی زمان بسیار کوتاه  $dt$  صبر کنیم و تغییرات را در این بازه کوتاه زمانی بررسی کنیم، مقدار ورودی و خروجی جرم در این بازه  $dt$  برابر است. حالا تساوی بالا را به صورت زیر می‌نویسیم:

$$\frac{dm_e(t)}{dt} - \frac{dm_i(t)}{dt} = 0$$

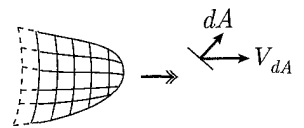
می‌خواهیم این تساوی را بر حسب کمیت‌های میدان جریان (میدان برداری سرعت سیال در همه‌ی فضا) بازنویسی کنیم. شکل ۲-۵ را در نظر بگیرید، این شکل یک المان سطح از رویه  $S$



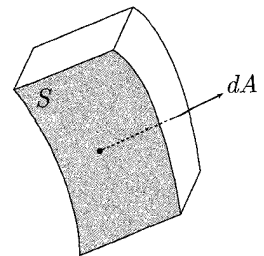
شکل ۲-۲



شکل ۲-۳



شکل ۲-۴



شکل ۲-۵



تور ماهی‌گیری) است. حجم اندک بالای این قسمت در واقع مقدار آبی است که در مدت  $dt$  از این سطح ( $dA$ ) عبور کرده است، برای سادگی فرض کنید این مقدار آب از داخل تور ماهی‌گیری به خارج آن رفته است. برای این المان سطح  $\frac{dm_e(t)}{dt}$  را محاسبه می‌کنیم.

$$dm_e(t) = \rho_\omega dV$$

$$dV = dA \times h = dA \times v \times dt \times \cos \theta$$

$dV$ : المان حجم

$h$ : ارتفاع لایه آب عبور کرده در بازه  $dt$

$v$ : سرعت سیال در محل  $dA$  و در لحظه  $t$

$\theta$ : زاویه‌ی بین بردار  $\vec{dA}$  و بردار  $\vec{v}$ ، دقت کنید که اگر این زاویه به  $\frac{\pi}{4}$  برسد،  $dV$  صفر است یعنی آب از سطح  $dA$  عبور نمی‌کند و فقط از روی آن می‌گذرد.

$$\rightarrow dV = dt \cdot (\vec{v} \cdot \vec{dA})$$

$$\rightarrow dm_e(t) = \rho_\omega dt (\vec{v} \cdot \vec{dA})$$

$$\rightarrow \left. \frac{dm_e(t)}{dt} \right|_{dA} = \rho_\omega (\vec{v} \cdot \vec{dA})$$

که در آن  $\left. \frac{dm_e(t)}{dt} \right|_{dA}$  به معنی نرخ جرم خروجی متناظر با المان سطح  $dA$  است. دقیقاً عین همین فرض را می‌توانیم برای یک المان سطح دیگر  $dA'$  در نظر بگیریم و این بار فرض کنیم جریان آب در محل این المان از بیرون به داخل تور جریان دارد. ولی باید دقت کنیم که ما مقدار  $m_i$  را مثبت در نظر گرفتیم، در حالی که حاصل ضرب داخلی  $\vec{v} \cdot \vec{dA}'$  بنا به شکل‌های ۲-۳ و ۲-۴ برای این المان منفی است، پس با قرار دادن یک منفی رابطه را به صورت زیر می‌نویسیم:

$$\left. \frac{dm_i(t)}{dt} \right|_{dA'} = -\rho_\omega (\vec{v} \cdot \vec{dA}')$$

به این صورت ما عبارت  $\frac{dm}{dt}$  را برای یک المان که در آن آب به تور داخل یا از آن خارج می‌شود محاسبه کردیم. برای محاسبه‌ی  $\frac{dm}{dt}$  کل باید سطح تور را به دو ناحیه‌ی  $S_i$  و  $S_e$  تقسیم کنیم.  $S_i$  ناحیه‌ای از سطح تور است که آب از آن به داخل می‌آید.  $S_e$  هم ناحیه‌ای که آب از آن خارج می‌شود. کل سطح تور هم  $S = S_i + S_e$  است.

$$\frac{dm_e(t)}{dt} = \int_{S_e} \left. \frac{dm_e(t)}{dt} \right|_{dA} = \int_{S_e} \rho_\omega (\vec{v} \cdot \vec{dA})$$

$$\frac{dm_i(t)}{dt} = \int_{S_i} \left. \frac{dm_i(t)}{dt} \right|_{dA'} = \int_{S_i} -\rho_\omega (\vec{v} \cdot \vec{dA}')$$

حالا تساوی اولیه‌مان  $\left( \frac{dm_e}{dt} - \frac{dm_i}{dt} = 0 \right)$  را بازنویسی می‌کنیم:

$$\int_{S_e} \rho_\omega (\vec{v} \cdot \vec{dA}) - \int_{S_i} -\rho_\omega (\vec{v} \cdot \vec{dA}') = 0$$

می‌دانیم که متغیر انتگرال اسمی است و  $dA$  و  $dA'$  صرفاً برای درک بهتر نام‌گذاری جدا شده‌اند و گرنه با هم هیچ تفاوتی ندارند و هر دو همان سطح هستند به جای هر دوی آنها  $dA$  می‌گذاریم:

$$\rho_w \left( \int_{S_e} \vec{v} \cdot d\vec{A} + \int_{S_i} (\vec{v} \cdot d\vec{A}) \right) = 0$$

$$\rightarrow \int_{S_e+S_i} \vec{v} \cdot d\vec{A} = 0 \rightarrow \int_S \vec{v} \cdot d\vec{A} = 0$$

یعنی شار میدان سرعت از درون سطح  $S$  (سطح بسته‌ی تور ماهی‌گیری) برابر با صفر است. نتیجه‌ی بدیهی به نظر می‌رسد! نه؟ در واقع به نوعی، صفر بودن شار میدان سرعت از این سطح بسته، بیان دیگری برای قانون بقای جرم است. حالا سعی کنید به دنبال حالتی بگردید که شار میدان سرعت روی این تور ماهی‌گیری صفر نباشد. (از تبدیل جرم به انرژی داخل تور ماهی‌گیری توسط واپاشی هسته‌ای صرف‌نظر کنید؛ چرا که بعید است در تور ماهی‌گیری چنین چیزی اتفاق بیافتد.) حتماً قبل از این‌که ادامه‌ی درس را بخوانید خودتان به این موضوع فکر کنید. فرض کنید یک مخزن آب داریم که روی آن یک پمپ، یک فواره یا آب‌فشان نصب شده است، چیزی شبیه به شکل ۶-۲.

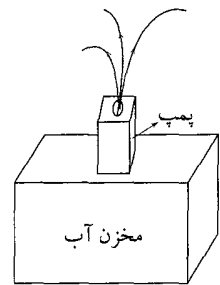
حالا یک سطح فرضی به هر شکلی که دوست دارید در این مجموعه در نظر بگیرید. بیایید  $\int_S \vec{v} \cdot d\vec{A}$  را برای این سطح فرضی بررسی کنیم. آب تنها از این سطح خارج می‌شود و از هیچ جا آبی به آن وارد نمی‌شود، بنابراین برای هر  $dA$ ،  $\vec{v} \cdot d\vec{A}$  یا صفر است یا مثبت و بنابراین  $\int_S \vec{v} \cdot d\vec{A} > 0$  و در نتیجه غیرصفر خواهد بود.

همچنین می‌توانید یک توپ را تصور کنید که سوراخ شده و در حالی که آب به آن وارد می‌شود زیر آب نگه داشته شده است. در این صورت هم با استدلال مشابهی  $\int_S \vec{v} \cdot d\vec{A} \neq 0$ . نتیجه‌گیری کلی ما تا اینجا این است که شار میدان سرعت سیال از یک سطح بسته در صورت وجود یک چشمه (Source) یا یک چاه (Sink) (به ترتیب مثل فواره و توپ سوراخ شده) مخالف صفر است و در صورت نبودن این عوامل، صفر است.

لطفاً به دو نکته دقت کنید، اول این‌که اگر به جای مخزن و فواره، یک شیر آب متصل به خط انتقال آب شهری را در نظر بگیریم شار میدان سرعت چقدر است و دیگر این‌که اگر چشمه یا چاهک بیرون مرز فرض ما باشند، مثلاً جایی بالادست رودخانه، شار میدان سرعت گذرنده از سطح چگونه خواهد بود. (در پاسخ به سؤال اول دقت کنید ممکن است سطح فرضی را کوچک بگیریم و یا آنقدر بزرگ که کره‌ی زمین هم درون آن بگنجد و در این دو صورت جواب‌ها ممکن است مختلف باشند.)

اما بیایید یک بررسی دقیق‌تر در مورد سطوحی بکنیم که درون آنها چاه یا چشمه وجود دارد و ببینیم شار میدان سرعت آنها دقیقاً چه مقداری دارد!

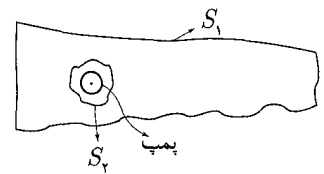
برای این کار دوباره تور ماهی‌گیری خودمان را در نظر می‌گیریم که این بار درون آب، یک پمپ متصل به یک مخزن قرار دارد، این پمپ مقدار  $\lambda \text{ kg/s}$  آب را از درون مخزن به فضای داخل تور می‌افشاند، کل مجموعه تور ماهی‌گیری مخزن و پمپ آب هم داخل یک رودخانه هستند.



شکل ۶-۲

هدف ما محاسبه‌ی  $\int_{S_1} \vec{v} \cdot d\vec{A}$  است، از آنجایی که تمام معادلاتی که ما در قسمت‌های قبل این فصل استفاده کردیم خطی بودند، مجازیم که از اصل برهم‌نهی<sup>۱</sup> استفاده کنیم، به این صورت  $\phi_{S_1}$  شار میدان سرعت عبوری از سطح  $S_1$  را می‌توان به صورت زیر نوشت:

رودخانه را با پسوند River و چشمه را با پسوند Source نمایش می‌دهیم:



شکل ۷-۲

$$\phi_{S_1} = \phi_{S_1 \text{ River}} + \phi_{S_1 \text{ Source}}$$

$\phi_{S_1 \text{ River}}$ : شار عبوری از سطح  $S_1$  ناشی از جریان عادی آب در رودخانه

$\phi_{S_1 \text{ Source}}$ : شار عبوری از سطح  $S_1$  ناشی از چشمه

از قسمت قبل می‌دانیم که  $\phi_{S_1 \text{ River}}$  برابر با صفر است و  $\phi_{S_1} = \phi_{S_1 \text{ Source}}$  یعنی برای محاسبه شار گذرنده از سطح  $S_1$  می‌توان فرض کرد که مجموعه تور و پمپ و... از درون رودخانه بیرون آورده شده‌اند.

برای محاسبه‌ی  $\phi_{S_1 \text{ River}}$  حجم محصور به دو سطح  $S_1$  و  $S_2$  را در نظر بگیرید ( $V_E$ ). با استدلالی مشابه قسمت قبل برای این حجم می‌توان گفت:

$$\frac{dm_i(t)}{dt} = \frac{dm_e(t)}{dt}$$

چون با پاشش آب توسط چشمه، جرم از سطح  $S_2$  وارد حجم  $V_E$  می‌شود و از سطح  $S_1$  خارج می‌نویسیم:

$$-\int_{S_2} \rho \omega \vec{v} \cdot d\vec{A} = \int_{S_1} \vec{v} \cdot d\vec{A}$$

حال اگر سطح  $S_2$  را کوچک و کوچک‌تر کنیم تا بچسبید به مرزهای چشمه، به راحتی و به صورت شهودی می‌توانیم بگوییم که مقدار سمت چپ تساوی بالا برابر با  $\lambda$  است، پس:

$$\begin{aligned} \lambda &= \int_{S_1} \rho \omega \vec{v} \cdot d\vec{A} \rightarrow \int_{S_1} \vec{v} \cdot d\vec{A} = \frac{\lambda}{\rho \omega} \\ &\rightarrow \int_{S_1} \vec{v} \cdot d\vec{A} \propto \lambda \end{aligned}$$

همچنین، همان‌طور که می‌بینید، این مقدار مستقل از ابعاد و مشخصات هندسی سطح  $S_1$  است، استدلالی کاملاً مشابه را می‌توان برای یک چاه داشت در این صورت با در نظر گرفتن حالت نبود چشمه یا چاه به عنوان  $\lambda_{\text{Source/Sink}} = 0$  می‌توان در حالت کلی نوشت:

$$\phi_S = \oint_S \vec{v} \cdot d\vec{A} \propto \lambda$$

که در رابطه‌ی بالا  $\lambda$  می‌تواند مثبت، منفی یا برابر صفر باشد.

## انتگرال روی مسیر و انتگرال روی سطح

احتمالاً انتگرال معین  $\int_a^b f(x)dx$  و انتگرال نامعین مربوط به آن را از بخش‌های مربوط به کتاب مکانیک و نیز از دانسته‌های ریاضیات دبیرستان خود می‌شناسید. این انتگرال برای توابع حقیقی که روی بازه‌های متناهی تعریف شده و کراندارند و نیز برای توابع بی‌کران و بازه‌های نامتناهی محاسبه شده است. در صورتی که به جای بازه  $[a, b]$  خمی از فضا (ی یک‌بعدی، دوبعدی یا حتی با ابعاد بالاتر) در بحث انتگرال‌گیری مطرح شود، انتگرال را «انتگرال روی مسیر» یا «انتگرال خمیده‌ی خطی» می‌نامند. در این نوع انتگرال‌گیری، انتگرالده (یا همان  $f$ ) یک تابع برداری است که روی این خم تعریف شده و کراندار است. مسیر مورد نظر را  $C$  بنامید و به صورت برداری آن را با  $\vec{r}$  نشان دهید. در این صورت انتگرال میدان برداری  $\vec{f}$  روی نمودار مسیر  $\vec{r}$  به یکی از دو صورت زیر نمایش داده می‌شود:

$$\int \vec{f} \cdot d\vec{S} = \int_C \vec{f} \cdot d\vec{S}$$

این انتگرال را، انتگرال خمیده‌ی خطی  $\vec{f}$  در طول  $C$  می‌نامند.  $C$  همان نمودار  $\vec{r}$  است. وقتی با نماد  $\oint$  مواجه می‌شوید، باید بدانید که مسیر  $C$  یک مسیر بسته است. بدین معنی که بردارهای نقاط ابتدایی و انتهایی آن بر هم منطبقند. بنابراین دو نماد دیگر که در انتگرال روی مسیر با آنها مواجه می‌شوید به شکل زیرند:

$$\oint \vec{f} \cdot d\vec{S} = \oint_C \vec{f} \cdot d\vec{S}$$

به همین ترتیب، اگر از میدان برداری  $\vec{f}$  بر روی یک سطح خمیده در فضا انتگرال بگیریم، مفهوم انتگرال روی سطح را تعریف کرده‌ایم. در این تعریف  $d\vec{A}$  یعنی المان سطحی ظاهر می‌شود که جهت آن در جهت «بیرون» صفحه تعریف می‌شود و اندازه‌ی آن برابر با اندازه‌ی آن جزء سطح است. در این انتگرال‌گیری هم مانند انتگرال روی مسیر با چهار نماد مختلف مواجه می‌شویم:

$$\iint \vec{f} \cdot d\vec{A}, \quad \int_S \vec{f} \cdot d\vec{A}, \quad \oint \vec{f} \cdot d\vec{A}, \quad \oint_S \vec{f} \cdot d\vec{A}$$

شاید در اینجا برای شما سؤال پیش بیاید که سطح بسته به چه سطحی گفته می‌شود. بنا به تعریف، سطح بسته سطحی است که فضا را به دو بخش بیرونی سطح و درون سطح تقسیم کند یا هیچ خمی وجود نداشته باشد که به عنوان خم ابتدایی یا انتهایی سطح محسوب شود. در این بخش با دو نماد انتگرال سطحی و انتگرال روی سطح بسته بسیار سروکار خواهید داشت.

## شار میدان الکتریکی

در قسمت قبل مفهوم شار توضیح داده شد و با یک مثال ملموس، یعنی آب، شار یک میدان برداری را از یک سطح بسته بررسی کردیم. مفهوم شار برای تمام میدان‌های برداری قابل توسعه است، یکی از مهم‌ترین موارد استفاده‌ی شار، شار میدان الکتریکی از سطوح است، خصوصاً

سطوح بسته. با توجه به تعریف شار در ریاضیات، برای میدان  $\vec{E}$  در فضا و یک سطح مفروض  $S$  (باز یا بسته) شار به صورت زیر تعریف می‌شود.

$$\phi_{\text{Electrical } S} = \int_S \vec{E} \cdot d\vec{A}$$

در قسمتی از فضا میدان الکتریکی به صورت  $\vec{E} = e^x \cdot \hat{i}$  است (مبدأ سنجش  $x$  در شکل نشان داده شده است). شار گذرنده از هر یک از سطوح زیر را حساب کنید.

**حل.** الف) سطح نشان داده شده از سه سطح مجزای  $S_1$ ،  $S_2$  و  $S_3$  تشکیل شده است که در شکل (۸-۲) نشان داده شده است.

انتگرال شار مربوط به کل حجم، معادل فرایند انتگرال شار گذرنده از هر یک از سطوح مربوطه به صورت مجزا می‌باشد، بدین ترتیب:

$$\oint_S \vec{E} \cdot d\vec{A} = \oint_{S_1} \vec{E} \cdot d\vec{A} + \oint_{S_2} \vec{E} \cdot d\vec{A} + \oint_{S_3} \vec{E} \cdot d\vec{A}$$

هر یک از انتگرال‌های فوق را جداگانه بررسی می‌کنیم.

الف-۱) سطح  $S_1$ . از آنجایی که مقدار تابع میدان ( $e^x$ ) در قسمت‌های مختلف سطح  $S_1$  متفاوت است، باید راهی بیابیم تا  $dA$  را به  $dx$  مرتبط کنیم تا این انتگرال قابل ملاحظه باشد.

$$\vec{E} \cdot d\vec{A} = |\vec{E}| |d\vec{A}| \cos \theta, \quad |\vec{E}| = e^x$$

سطح  $S_1$  در شکل ۲-۱۰ نشان داده شده است.  $dA$  مستطیل کوچکی روی آن است که طول ۱ و ارتفاع  $dx$  دارد.

$$|dA| = dl \times 1$$

$$dl = \frac{dx}{\cos \alpha} \Rightarrow |dA| = \frac{1 \times dx}{\cos \alpha}$$

برای محاسبه عبارت  $\vec{E} \cdot d\vec{A}$  باید زاویه‌ی بین بردارهای  $\vec{i}$  و  $d\vec{A}$  را بیابیم. با توجه به شکل ۲-۱۱ داریم:

$$\theta = \frac{\pi}{2} + \alpha$$

$$\vec{E} \cdot d\vec{A} = e^x \times \frac{dx}{\cos \alpha} \times \cos\left(\frac{\pi}{2} + \alpha\right) = \frac{e^x}{\cos \alpha} (-\sin \alpha) dx$$

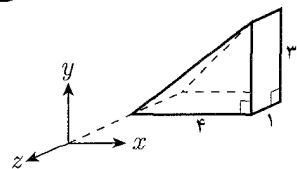
$$\Rightarrow \int_{S_1} \vec{E} \cdot d\vec{A} = - \int_0^f e^x \cdot \tan \alpha dx = - \tan \alpha \int_0^f e^x dx$$

$$= - \tan \alpha \cdot [e^x]_0^f = \tan \alpha (1 - e^f)$$

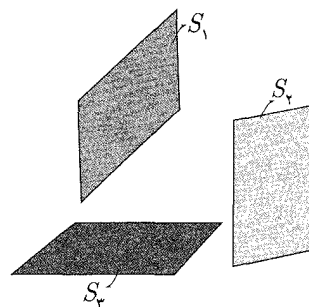
الف-۲) سطح  $S_2$ . این سطح پارامتر ثابتی دارد که مقدار آن ۴ است.

$$\int_{S_2} \vec{E} \cdot d\vec{A} = \int_{S_2} e^x \vec{i} \cdot d\vec{A} = e^x \int_{S_2} \vec{i} \cdot d\vec{A}$$

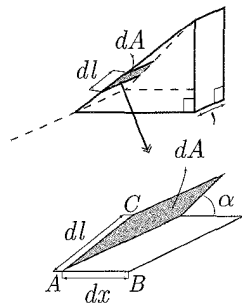
**مثال ۱**



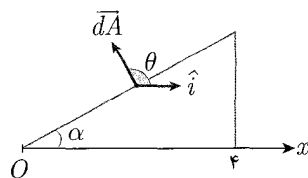
شکل ۸-۲ سطح بسته‌ی الف



شکل ۹-۲



شکل ۱۰-۲



شکل ۱۱-۲

در مرحله‌ی آخر انتگرال بالا، از آنجا که  $x$  روی این سطح ثابت است، عبارت  $e^x$  از انتگرال بیرون می‌آید.

$$S_T : x = 4, \vec{dA} = dA \cdot \vec{i} \Rightarrow \int_{S_T} \vec{E} \cdot \vec{dA} = e^x \int_{S_T} dA \\ = e^4 S_T = e^4 \times (3 \times 1) = 3e^4$$

الف-۳) روی سطح ۳، برای تمامی  $x$ ‌های دلخواه داریم:  $\vec{dA} \perp \vec{E}$  و در نتیجه:

$$\vec{E} \cdot \vec{dA} = 0 \Rightarrow \int_{S_T} \vec{E} \cdot \vec{dA} = 0$$

با برآیندگیری از سه انتگرال شار به دست آمده داریم:

$$\phi = \oint \vec{E} \cdot \vec{dA} = \tan \alpha (1 - e^4) + 3e^4 \\ \tan \alpha = \frac{3}{4} \Rightarrow \phi = \frac{3}{4} + \frac{9}{4}e^4 = \frac{3}{4}(1 + 3e^4)$$

ب) در این قسمت جهت المان سطح  $\vec{dA}$  برای هر جزء سطح متفاوت است. بنابراین در این سطح محاسبه‌ی شار از طریق جداسازی المان‌ها ممکن نیست و انتگرال باید یک جا محاسبه شود. با توجه به اینکه شکل بخشی از سطح یک استوانه است، راحت‌تر است که دستگاه استوانه‌ای را برای حل انتخاب کنیم. شکل از زاویه‌ای مانند شکل ۱۳-۲ دیده می‌شود که به اندازه‌ی ۱ واحد به داخل صفحه‌ی کاغذ فرو می‌رود. با انتخاب مختصه  $\theta$  به صورت نشان داده شده در شکل، مسئله به مختصات  $(R, \theta)$  منتقل می‌شود. داریم:

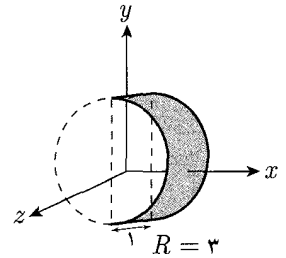
$$x = R \sin \theta \Rightarrow \vec{E}(\theta) = e^{R \sin \theta} \vec{i} \\ \Rightarrow \phi = \int_S e^{R \sin \theta} \vec{i} \cdot \vec{dA}$$

راستای بردار  $\vec{dA}$ ، همان راستای  $\hat{e}_R$  در هر  $\theta$  است:

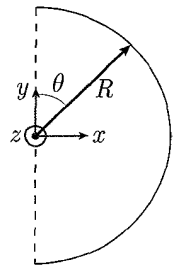
$$\vec{dA} = dA \cdot \hat{e}_R \\ dA = R d\theta \times 1 \\ \Rightarrow \vec{dA} = R d\theta \hat{e}_R \\ \Rightarrow \phi = \int_0^\pi e^{R \sin \theta} \vec{i} \cdot R d\theta \cdot \hat{e}_R$$

و با توجه به شکل ۱۴-۲

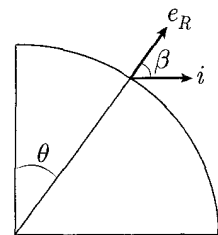
$$\vec{i} \cdot \hat{e}_R = |\vec{i}| |\hat{e}_R| \cos \beta = \cos \beta \\ \Rightarrow \phi = \int_0^\pi e^{R \sin \theta} R \sin \theta \cdot d\theta$$



شکل ۱۲-۲ سطح بسته ب



شکل ۱۳-۲



شکل ۱۴-۲

محاسبه‌ی انتگرال نهایی را رها می‌کنیم و پاسخ را به همین صورت از شما می‌پذیریم. چرا که محاسبه‌ی آن فراتر از سطح انتظارات ماست.

(۱) راستا، و نه جهت؛ چرا که  $dA$  سطح کلی باز است و جهت بردار سطح روی آن دلخواه است.



در قسمت‌های قبل با مفهوم شار آشنا شدیم و شار میدان الکتریکی را شناختیم. همچنین در یک مطالعه موردی شار میدان سرعت یک سیال را از یک سطح بسته در حالات مختلف بررسی کردیم. با توجه به این مفاهیم، اکنون قانون گاوس<sup>۱</sup> را معرفی می‌کنیم. گفتیم که قانون گاوس در واقع بیان الکتریکی رابطه‌ای است که برای میدان سرعت سیال نوشتیم، یعنی

$$\oint_S \vec{v} \cdot d\vec{A} \propto \lambda$$

در این رابطه  $\vec{v}$  بردار سرعت در هر نقطه فضا،  $S$  یک سطح فرضی و  $\lambda$  نشان دهنده بزرگی یا کوچکی در واقع قدرت چشمه یا چاهک<sup>۲</sup>هایی است که این سطح فرضی در برگرفته است. هر یک از کمیات در الکتریسیته معادلی به این صورت دارند:

$$\vec{v} \rightarrow \vec{E}$$

$$S \rightarrow S$$

$$\lambda \rightarrow q$$

همان‌طور که وجود یک چشمه ( $\lambda$ ) باعث به راه افتادن جریانی می‌شود که در نقطه‌های مختلف دارای سرعت‌های ( $v$ ) مختلف هستند، وجود یک بار ( $q$ ) باعث به وجود آمدن میدانی می‌شود که در هر نقطه دارای مقدار ( $E$ ) باشد. بدین ترتیب بیان پیشنهادی ما برای الکتریسیته به صورت زیر است.

$$\oint_S \vec{E} \cdot d\vec{A} \propto q$$

به خاطر داریم که در قسمت مطالعه میدان سرعت سیال تناسب را با ضریب تناسب  $\frac{1}{\rho_w}$  می‌توانستیم به تساوی تبدیل کنیم. قانون گاوس، ضریب تناسب معادله متناظر با تناسب بالا را معرفی می‌کند. به این صورت قانون گاوس به صورت زیر بیان می‌شود.

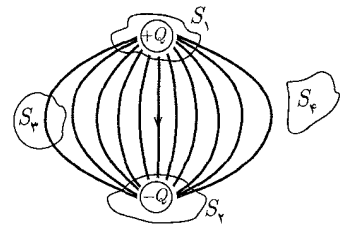
$$\oint \vec{E} \cdot d\vec{A} = \frac{1}{\epsilon_0} \times q \rightarrow \epsilon_0 \int \vec{E} \cdot d\vec{A} = q$$

در مورد بیان قانون گاوس، توجه داشته باشید که  $q$  اولاً باید توسط سطح فرضی  $S$  در برگرفته شده باشد و ثانیاً مساوی با جمع جبری تمام بارهای داخل سطح  $S$  باشد، یعنی اگر تعداد  $N$  بار درون سطح  $S$  وجود داشته باشند، با فرض علامت‌دار بودن  $q_i$  ها:

$$q = \sum_{i=1}^N q_i \quad \text{یا} \quad q = \int_V \rho dV$$

به عنوان یک مثال ساده به شکل ۱۵-۲ نگاه کنید.

چهار سطح بسته  $S_1$  تا  $S_4$  را ببینید و با توجه به قانون گاوس انتظار خود را درباره علامت شار خالص (شار ناشی از همه بارها روی همه سطح) گذرنده از هر یک بیان کنید. این پیش‌بینی را با نتایج شهودی مبنی بر نمایش گرافیکی خطوط میدان مقایسه کنید. برای سطح ۱، میدان در همه‌ی جای سطح در حال خارج شدن از آن است و بنابراین برای هر المان سطح حاصل  $\vec{E} \cdot d\vec{A}$  مثبت است و بنابراین شار خالص گذرنده از سطح هم مثبت است و قانون گاوس پیش‌بینی می‌کند که این سطح یک بار خالص مثبت را در بر بگیرد.



شکل ۱۵-۲

برای سطح  $S_2$ ، قضیه دقیقاً برعکس است. برای سطوح  $S_3$  و  $S_4$ ، قانون گاوس پیش‌بینی می‌کند که شار خالص گذرنده از این سطوح صفر است، به بیان فارادی، یعنی زبان تصویری که ما هنوز هم از آن استفاده می‌کنیم، تعداد خطوطی که به این سطح وارد می‌شوند برابر با تعداد خطوطی است که از آن خارج می‌شوند.

### کاربردهای قانون گاوس

قانون گاوس را بیان کردیم و با یک مثال سعی کردیم درک درستی از آن به دست بیاوریم. اما این قانون در حل چه مسائلی به کار می‌آید و چه نتایج عملی‌ای دارد؟ همان‌طور که گفته شد، قانون گاوس رابطه‌ای میان شار خالص گذرنده از یک سطح  $S$  و بار  $q$  که این سطح در بر می‌گیرد برقرار می‌کند. به عنوان یک تقسیم‌بندی منطقی می‌توانیم نتایج این قانون را به دو بخش تقسیم کنیم.

(الف) بررسی میزان بار موجود در یک سطح بسته با داشتن شار گذرنده از آن

(ب) بررسی شار و میدان در محل یک سطح با در دست داشتن توزیع بار داخل آن

این دو قسمت را جداگانه بررسی می‌کنیم و مثال‌هایی را که کاربرد بیشتری دارند در قسمت «ب» بیان می‌کنیم.

(الف) بررسی بار داخل یک سطح با در دست داشتن شار گذرنده از آن.

ایده کلی این قسمت کاملاً مشخص است، اگر ما به هر صورتی شار عبوری از یک سطح را داشته باشیم، می‌توانیم بگوییم به صورت خالص چه مقداری بار درون آن قرار دارد. برای مثال برگردیم و به مثال ۱ نگاه کنیم. با محاسبه متوجه شدیم که شار خالص گذرنده از این سطح برابر با  $\frac{3}{4}(1 + 3e^4)$  بود، با توجه به قانون گاوس داریم:

$$\epsilon \cdot \phi = q \rightarrow q = \frac{3}{4}\epsilon_0(1 + 3e^4)$$

یعنی با شرایط داده شده در مسئله، مقدار بار داخل سطح این مقدار است، اگرچه در مورد چگونگی توزیع این بار در داخل سطح چیزی گفته نشده است.

اما جدای از چنین کاربردی یک حالت بسیار مهم در این قسمت وجود دارد که به صورت جداگانه باید به آن پرداخت و آن حالتی است که در آن با یک رسانای باردار منزوی سروکار داریم، در این صورت یک قضیه‌ی بسیار مهم اثبات می‌شود. به شکل زیر توجه کنید. این شکل نشان‌دهنده‌ی یک قطعه رسانا با شکل دلخواه است که به رسانای دیگر یا منبع جریان یا چیز



دیگری وصل نیست.<sup>۱</sup>

فرض کنید با یک فرایند دلخواه، مقداری بار را در لحظه‌ی  $t = t_0$  به این قطعه رسانا منتقل کرده‌ایم و آنقدر صبر کرده‌ایم تا مطمئن شویم کره حالا به حالت مانایی رسیده است (به عبارت بهتر کره به ثبات رسیده است، بدین معنی که اگر از این به بعد هزار سال دیگر هم صبر کنیم، اتفاق دیگری در آن نمی‌افتد)، حالا بیایید فرض کنیم که در یک نقطه دلخواه درون این جسم رسانا، یک میدان الکتریکی با مقدار دلخواه  $\vec{E}_{\text{internal}} \neq 0$  وجود داشته باشد. از تعریف میدان می‌دانیم که این میدان بر الکترون‌های آزاد این قسمت از رسانا نیروی  $\vec{f} = -e\vec{E}_i$  وارد می‌کند و باعث شتاب گرفتن آنها و در نهایت ایجاد جریان می‌شود. همان‌طور که در بخش‌های بعدی خواهیم دید، وجود جریان باعث ایجاد تلفات جریان به خاطر وجود مقاومت و تلفات به صورت تابش الکترومغناطیسی خواهد بود.

به این صورت ما یک وضعیت پایدار خواهیم داشت، که در آن جسم انرژی تلف می‌کند و به محیط بیرون می‌دهد و این یعنی یک منبع لایزال انرژی. بدیهی است که این نتیجه با اصل پایستگی انرژی تناقض دارد. اگر استدلال‌هایی که انجام دادیم را مرحله به مرحله به عقب برگردیم، متوجه می‌شویم که اشتباه به وجود آمده در نتیجه‌ی حاصل فرض نادرست ما در ابتدای کار است، یعنی ممکن نیست که پس از رسیدن به حالت مانا در نقطه‌ای داخل یک رسانا میدان الکتریکی وجود داشته باشد یعنی: میدان الکتریکی در نقاط داخل یک رسانا صفر است (در حالت مانا). این خود به تنهایی نتیجه جالب توجهی است، اما ترکیب آن با قانون گاوس هم برای ما جذاب و مفید است. همان رسانای شکل (۱۶-۲) را در نظر بگیرید، می‌خواهیم قانون گاوس را در مورد یک سطح فرضی بسته درون آن به کار ببریم، طبق این قانون

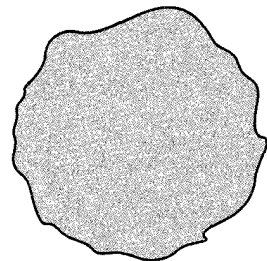
$$\epsilon \cdot \oint_S \vec{E} \cdot d\vec{S} = q$$

گفتیم که میدان داخل یک رسانا همه جا صفر است، پس  $\vec{E} = 0$  و به این صورت قانون گاوس به ما می‌گوید  $q = 0$ ، یعنی بار خالص که این سطح در برمی‌گیرد، برابر با صفر است، به عبارت بهتر:

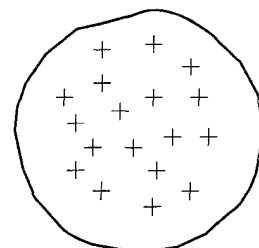
بار در درون یک رسانا صفر است و اگر رسانایی بار خالص داشته باشد، این بار اضافه ناگزیر است که روی سطح قرار بگیرد.

این نتیجه البته با درک شهودی ما هم سازگاری دارد، شکل ۱۷-۲ را در نظر بگیرید. این شکل وضعیت یک کره رسانا را در لحظه‌ی  $t = t_0$  (لحظه‌ای که در آن مقداری بار به جایی در وسط کره منتقل شده) نشان می‌دهد، این بارهای همنام تمایل دارند که تا جای ممکن از هم فاصله بگیرند و بنابراین در مدت زمان کوتاهی (که همان زمان لازم برای رسیدن به حالت مانا است) به سطح رسانا می‌روند. اما حالت جالب دیگری که جدای از حالت قبلی نیست این است، فرض کنید همان کره رسانای حالت قبل را داریم با این تفاوت که داخل آن را کمی تخلیه کرده‌ایم و یک حفره درون آن ایجاد کرده‌ایم. (شکل ۱۸-۲) حالا دو آزمایش با آن انجام می‌دهیم، در آزمایش اول

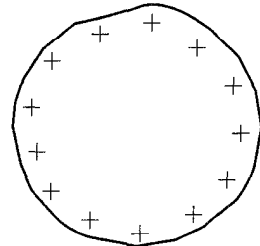
(۱) به چنین رسانایی «رسانای منزوی» گفته می‌شود. مثلاً سیمی که در درونش بارها در جریان‌اند، رسانای منزوی محسوب نمی‌شود.



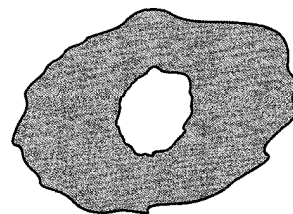
شکل ۱۶-۲



پس از گذشت زمانی اندک

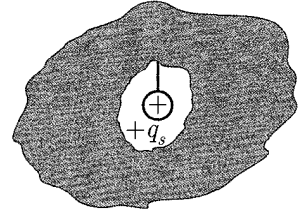


شکل ۱۷-۲



شکل ۱۸-۲

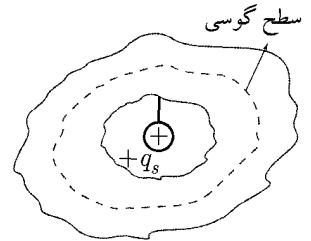
مقداری بار را به آن انتقال می‌دهیم، همان‌طور که انتظار دارید، نتیجه دقیقاً مطابق قسمت قبل است، با همان استدلال بار روی سطح خارجی رسانا جمع می‌شود. در آزمایش دوم اما مقداری بار را در فضای خالی حفره قرار می‌دهیم، مثلاً یک کره نارسانای باردار با بار  $+q_s$  با یک نخ نارسانا از بالای حفره آویزان می‌کنیم، مثل شکل ۱۹-۲.



شکل ۱۹-۲

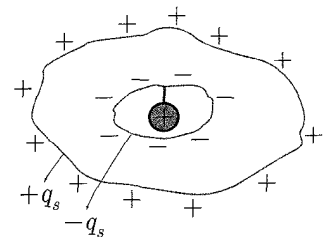
بیاید دوباره استدلال‌مان را مرور کنیم. هنوز هم میدان در داخل رسانا باید صفر باشد (بنابر اصل پایداری انرژی)، اگر دوباره یک سطح گاوسی مثل دفعه‌های قبل در نظر بگیریم (مثل شکل ۲-۱۵)، قانون گاوس به ما می‌گوید که بار خالص داخل این سطح باید صفر باشد. تنها حالت ممکن این است که بار  $-q_s$  روی سطح داخلی این قطعه رسانا قرار بگیرد تا بار داخل سطح گاوسی صفر شود، همچنین طبق قانون پایداری بار الکتریکی، بار  $+q_s$  باید یک جایی برود و تنها جای ممکن هم سطح خارجی است.

بنابراین توزیع بار ناشی از حضور بار  $q_s$  در داخل حفره‌ی درون رسانا چیزی شبیه به شکل ۲-۲۱ خواهد بود. سعی کنید خطوط میدان الکتریکی را در همه جای فضا رسم کنید (دقت کنید که قرار بود میدان داخل رسانا صفر باشد).



شکل ۲۰-۲

ب) بررسی شار و میدان در محل یک سطح با در دست داشتن توزیع بار درون آن همان‌طور که در مقدمه گفته شد، ما به کمک قانون کولن که در فصل‌های قبل فرا گرفتیم، باید بتوانیم میدان ناشی از هر توزیع باری را به دست آوریم اما این کار ممکن است با دردسرهای ریاضی برای انتگرال‌گیری مواجه شود. همچنین گفتیم که قانون گاوس در برخی موارد به ما کمک می‌کند که میدان را به راحتی به دست بیاوریم، در مواردی که دارای تقارن بالایی هستند. روش کار در این قسمت این است که ما با توجه به تقارن توزیع بار، سطحی را به عنوان سطح گاوسی (سطحی که می‌خواهیم قانون گاوس را برای آن به کار ببریم) انتخاب می‌کنیم که بتوانیم میدان الکتریکی  $\vec{E}$  را از انتگرال  $\phi = \oint_S \vec{E} \cdot d\vec{A}$  خارج کنیم. به این صورت قانون گاوس به صورت 
$$e_0 \times k \times E \times \int_S dA = q$$
 که  $\vec{E}$  بر آن عمود است، معمولاً  $k = 1$  می‌شود<sup>۱</sup>.



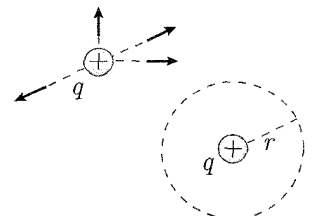
شکل ۲۱-۲

$$\epsilon_0 \times E \times A = q \rightarrow E = \frac{q}{A\epsilon_0}$$

در ادامه مثال‌هایی از این موضوع را بررسی می‌کنیم.

### ب-۱) حالت خاص، قانون کولن

می‌خواهیم به کمک قانون گاوس میدان ناشی از یک بار نقطه‌ای  $q$  را در همه نقاط فضا به دست آوریم، با توجه به تقارن کروی شکل، نتیجه می‌گیریم که میدان الکتریکی در راستای  $\hat{e}_R$  و جهت آن هم به سمت بیرون (واگرا شدن) است. یک کره به شعاع  $r$  را به عنوان سطح گاوسی و به مرکز بار نقطه‌ای انتخاب می‌کنیم.



شکل ۲۲-۲

دوباره با توجه به تقارن، اندازه‌ی میدان الکتریکی  $\vec{E}$  روی این کره ثابت است، بنابراین قانون

(۱) در مسائل مورد بحث، در این کتاب و هر آنچه شما سروکار خواهید داشت  $k$  برابر با ۱ در نظر گرفته می‌شود.

گاوس به صورت زیر در می‌آید:

$$\epsilon_0 \oint_S (E \hat{e}_R) \cdot (dA \hat{e}_R) = q \rightarrow \epsilon_0 \oint_S E \cdot dA = q$$

$$\epsilon_0 E \int dA = q \rightarrow \epsilon_0 E \cdot 4\pi r^2 = q \rightarrow E = \frac{1}{4\pi\epsilon_0} \cdot \frac{q}{r^2}$$

و این همان قانون کولن است.

### ب-۲) توزیع بار با تقارن مرکزی

این بار می‌خواهیم فرض قسمت قبل را کمی عمومی‌تر کنیم. به جای یک بار نقطه‌ای می‌خواهیم فرض کنیم در ناحیه‌ای از فضا مقدار بار موجود در واحد حجم فضا فقط به فاصله از یک نقطه ثابت بستگی دارد. اگر دستگاه کروی را برای بیان این امر استفاده کنیم  $\rho = f(r)$  که در آن  $r$  فاصله از آن نقطه ثابت است. این تابع  $f$  می‌تواند مقادیر بسیار متفاوتی داشته باشد.

با استدلالی مشابه قسمت قبل  $E = \frac{q}{4\pi\epsilon_0} \cdot \frac{1}{r^2}$  که در آن  $q$  مقدار بار داخل کره به شعاع  $r$  است یعنی

$$q = \int_{V(r)} \rho dV$$

(کره به شعاع  $r$ )

که در آن  $\rho$  چگالی حجمی بار است.

از آنجایی که  $\rho$  فقط تابعی از  $r$  است،  $dV$  را به صورت مناسب بر حسب  $r$  می‌نویسیم:

$$dV = 4\pi r^2 dr$$

به این صورت

$$q = \int_0^r f(r) \cdot 4\pi r^2 dr = 4\pi \int_0^r r^2 \cdot f(r) \cdot dr$$

یعنی میدان در فاصله  $r$  را می‌توان با جایگزین کردن کل بار داخل یک کره به شعاع  $r$  در مرکز کره و با قانون کولن به دست آورد.

میدان الکتریکی را برای توزیع بارهای داده شده، در همه‌ی نقاط فضا به دست آورید.



$$\rho(r) = \frac{1}{r^3}, \quad 0 \leq r < \infty \quad (\text{الف})$$

ب) یک پوسته‌ی کروی از بار

$$\rho(r) = \begin{cases} 0 & 0 \leq r < 4, \quad 6 < r < \infty \\ \frac{\ln r}{r^2} & 4 \leq r \leq 6 \end{cases}$$

**حل.** الف) تابع  $\rho(r)$  یک تابع پیوسته است، بنابراین همان‌طور که خواهید دید در نظر گرفتن یک سطح گاوسی کافیست. فرض کنید یک کره‌ی خیالی به شعاع  $r$  داریم، طبق گفته‌های قسمت قبل داریم:

$$E(r) = \frac{1}{4\pi\epsilon_0} \cdot \frac{q(r)}{r^2}, \quad q(r) = \int \rho(r) 4\pi r^2 \cdot dr$$

$$\rightarrow q(r) = \int \frac{1}{r^3} 4\pi r^2 \cdot dr = 4\pi \int \frac{1}{r} dr = 4\pi \ln r$$

$$\rightarrow E(r) = \frac{1}{\epsilon_0} \cdot \frac{\ln r}{r^2}$$

ب) توزیع بار داده شده  $\rho(r)$  همان طور که در شکل ۲۳-۲ دیده می شود، فضا را به سه ناحیه افزاز می کند. میدان را در این سه ناحیه و هر بار با در نظر گرفتن یک سطح گاوسی محاسبه می کنیم.

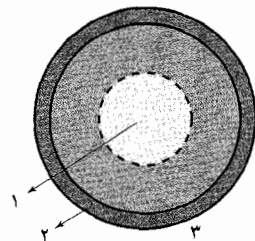
ب-۱) داخل پوسته کروی ( $r < 4$ )

سطح گاوسی را مطابق خط چین در شکل در نظر می گیریم، میدان روی همه ی این کره برابر و در راستای  $E\hat{r}$  است، طبق قانون گاوس:

$$\epsilon_0 \oint_S \vec{E} \cdot d\vec{A} = q \rightarrow \epsilon_0 \oint_S E \cdot dA \cdot \cos\theta = q$$

$$\cos\theta = \cos(0^\circ) = 1 \rightarrow \epsilon_0 E \oint_S dA = q = 0$$

$$\rightarrow \epsilon_0 E \cdot A = 0 \rightarrow E = 0$$



شکل ۲۳-۲

(بار داخل سطح گاوسی صفر است، هیچ باری توسط این سطح در بر گرفته نشده. یعنی میدان در داخل پوسته کروی صفر است.)

ب-۲) درون گوشته ی پوسته ( $4 \leq r \leq 6$ ):

این بار یک کره ی دیگر با شعاعی بین ۴ و ۶ را به عنوان سطح گاوسی انتخاب می کنیم.

$$\epsilon_0 \oint_S \vec{E} \cdot d\vec{A} = q, \quad q = \int_0^r 4\pi r'^2 \cdot \rho(r') \cdot dr'$$

$$q = \int_0^4 0 \cdot dr + \int_4^r 4\pi r'^2 \cdot \frac{\ln r'}{r'^2} \cdot dr = \int_4^r 4\pi \ln r' dr = 4\pi \int_4^r \ln r' dr$$

$$\int \ln r dr = r \ln r - \int r \times \frac{1}{r} \cdot dr = r \ln r - r = r(\ln r - 1)$$

$$q = 4\pi(r \ln r - r) \Big|_4^r = 4\pi(r \ln r - r - \underbrace{(4 \ln 4 - 4)}_{\alpha})$$

$$= 4\pi(r \ln r - r - \alpha)$$

$$\rightarrow \epsilon_0 E \cdot 4\pi r^2 = 4\pi(r \ln r - r - \alpha) \rightarrow E = \frac{1}{\epsilon_0} \cdot \frac{(r \ln r - r - \alpha)}{r^2}$$

ب-۳) این بار سطح گاوسی را آنقدر بزرگ در نظر می گیریم که کل توزیع بار داخل آن قرار بگیرد.

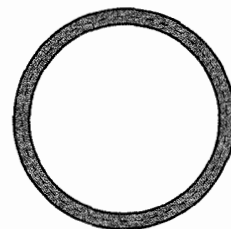
$$\epsilon_0 \oint_S \vec{E} \cdot d\vec{A} = q, \quad q = \int_0^r 4\pi r'^2 \rho(r') \cdot dr'$$

$$\rightarrow q = \int_0^4 0 \cdot dr + \int_4^6 \rho(r) \cdot 4\pi r'^2 \cdot dr + \int_6^r \rho \cdot dr = \int_4^6 4\pi \ln r' \cdot dr$$

$$= 4\pi(6 \ln 6 - 6 - 4 \ln 4 + 4) = 4\pi(\ln 6^6 - \ln 4^4 - 2)$$

$$= 4\pi \left( \ln \frac{6^6}{4^4} - 2 \right) \rightarrow E = \frac{1}{\epsilon_0} \cdot \frac{(\ln \frac{6^6}{4^4} - 2)}{r^2}$$

همان طور که می بینید برای  $r > 6$  این توزیع بار مثل یک بار متمرکز در مرکز کره عمل می کند!



شکل ۲۴-۲

ب-۳) خط نامتناهی بار

فرض کنید خطی از بار داریم که در یک راستا از  $-\infty$  تا  $+\infty$  کشیده شده است و در همه نقاط دارای چگالی خطی ثابت  $\lambda = \text{cte}$  باشد  $\frac{dq}{ds} = \lambda$  باشد ( $ds$  المان یک بعدی مسیر در راستایی است که توزیع بار در آن قرار دارد)، می‌خواهیم ببینیم که میدان در اطراف چنین توزیع باری چگونه است؟ ابتدا خط بار را مطابق شکل ۲-۲۵ فرض کنید.

حالا یک صفحه‌ی فرضی از این خط بار عبور دهید (می‌دانیم که بی‌شمار صفحه وجود دارند که از این خط می‌گذرند) و روی این صفحه یک نقطه دلخواه در نظر بگیرید، برای سهولت در رسم شکل ما این صفحه را همان کاغذ در نظر گرفته‌ایم، نقطه‌ی  $A$  نقطه‌ای است که می‌خواهیم میدان را در آن به دست بیاوریم.

بیا باید فرض کنیم میدان در نقطه‌ی  $A$ ، مؤلفه‌ای در راستای  $\hat{r}$  دارد، این بدان معناست که مقدار بار طرف چپ نقطه‌ی  $A$  بیشتر از مقدار بار طرف راست این نقطه است (با فرض وجود بار مثبت روی خط بار)، به نظر شما مقدار بار کدام طرف نقطه  $A$  بیشتر است؟ بیا باید این سؤال را طور دیگری مطرح کنیم. اگر فرض ما درست باشد (مقدار بار سمت چپ نقطه‌ی  $A$  بیشتر از سمت راستش باشد)، چقدر باید نقطه‌ی  $A$  را به طرف چپ جابه‌جا کنیم تا این دو مقدار بار مساوی شوند؟ همان‌طور که احتمالاً متوجه شده‌اید، اشکال کار در اینجاست که این خط از دو طرف نامحدود است و عملاً برای نقطه‌ی  $A$  طرف چپ و راست کاملاً مشابه‌اند، برای این‌که درک درستی از این وضعیت داشته باشید، فرض کنید که شما به عنوان یک ناظر در نقطه‌ی  $A$  مسئول شده‌اید که مقدار بار دو طرف خودتان را مقایسه کنید و برای این کار روشی که به کار می‌گیرید این است که ابتدا سرتان را به یک طرف (مثلاً چپ) می‌چرخانید و مقداری بار  $\lambda ds$  را در یک فاصله (مثلاً فاصله‌ی  $x$ ) پیدا می‌کنید، سپس سرتان را به طرف دیگر می‌گردانید و سعی می‌کنید همان مقدار بار را در همان فاصله  $(x, \lambda ds)$  پیدا کنید. قبول دارید که موفق می‌شوید؟ این کار را تا بی‌نهایت بار ادامه می‌دهید و همین نتیجه را می‌گیرید، بنابراین از نظر ناظری که در نقطه‌ی  $A$  است بار دو طرف یکسان است و بنابراین مؤلفه در راستای  $\hat{r}$  ندارد. همچنین به دلیل وجود تقارن استوانه‌ای میدانی در نقطه‌ی  $A$  مؤلفه‌ای در راستای  $\hat{k}$  هم ندارد و فقط می‌ماند مؤلفه در راستای  $\hat{r}$ . (یادمان هست که نقطه‌ی  $A$  یک نقطه‌ی دلخواه است و هیچ خاصیت ویژه‌ای ندارد.)

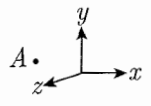
با توجه به چیزهایی که گفتیم می‌خواهیم به سراغ قانون گاوس برویم و میدان را حساب کنیم. با توجه به تقارن استوانه‌ای، شکل دستگاه مختصات استوانه‌ای  $(r, \theta, z)$  را برای بیان مختصات به کار می‌بریم.

یک استوانه به شعاع  $r$  را با طول دلخواه  $l$  در نظر بگیرید، طبق قانون گاوس برای این سطح:

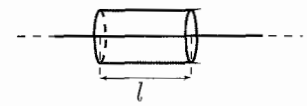
$$\epsilon_0 \oint \vec{E} \cdot d\vec{A} = q$$

سطح بسته‌ی  $S$ ، یعنی استوانه‌ی ما، از سه سطح تشکیل شده که میدان روی هر یک ویژگی خاصی دارد، دو صفحه‌ی دایره شکل عمود بر خط بار  $(S_1, S_2)$  و یک پوسته استوانه‌ای  $(S_3)$  برای دو سطح  $S_1$  و  $S_2$ . در هر المان سطح چنانچه گفته شد،  $\vec{E}$  در راستای  $E\hat{r}$  است، در حالی

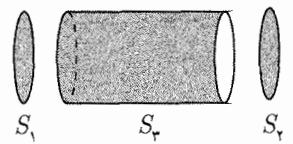
شکل ۲-۲۵



شکل ۲-۲۶



شکل ۲-۲۷



شکل ۲-۲۸

که  $d\vec{A}$  در راستای  $\hat{e}_z$  است و بنابراین  $\vec{E} \cdot d\vec{A} = 0$  پس:

$$\epsilon_0 \oint_S \vec{E} \cdot d\vec{A} = \epsilon_0 \int_{S_r} \vec{E} \cdot d\vec{A} = q$$

روی سطح  $E_r$ ,  $d\vec{A} = dA\hat{e}_r$ , هم که همه جا در راستای  $\hat{E}_R$  است:

$$\epsilon_0 \int_{S_r} E dA = q$$

$$\rightarrow \epsilon_0 E \times A = q \rightarrow \epsilon_0 E \times 2\pi r \times l = q$$

همچنین  $q = \lambda \times l$

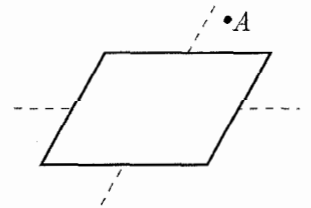
$$\epsilon_0 E \times 2\pi r = \lambda \rightarrow E = \frac{1}{2\pi\epsilon_0} \frac{\lambda}{r}$$

و به صورت برداری:

$$\vec{E} = \frac{1}{2\pi\epsilon_0} \cdot \frac{\lambda}{r} \cdot \hat{e}_r$$

#### ب-۴) ورقه‌ی نامتناهی از بار (نارسانا)، با چگالی بار سطحی

برای میدان اطراف یک صفحه‌ی نامتناهی از بار، داستان کاملاً شبیه به میدان خط نامتناهی از بار است، با این تفاوت که همه چیز دوبعدی شده است. فرض کنید صفحه‌ی نامتناهی در قسمتی از فضا به شکل زیر است. نقطه‌چین‌ها نشان دهنده‌ی آن است که این صفحه از همه طرف ادامه دارد. دوباره فرض کنید می‌خواهیم وضعیت میدان را در نقطه‌ای مثال نقطه‌ی  $A$ ، بررسی کنیم. با استدلالی مشابه قسمت قبل اگر بتوانیم نشان دهیم که ناظر خیالی که در نقطه‌ی  $A$  ایستاده و وضعیت بارهای اطرافش را بررسی می‌کند، وضعیت همه‌ی جهات را یکسان ارزیابی می‌کند، می‌توانیم نتیجه بگیریم که میدانی در نقطه‌ی  $A$  فقط مؤلفه‌ای در راستای عمود بر صفحه‌ی بار دارد.

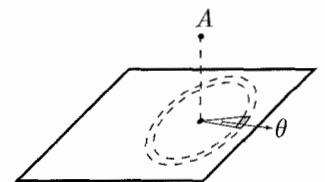


شکل ۲-۲۹

دوباره فرض کنید که شما به عنوان ناظر در نقطه‌ی  $A$  ایستاده‌اید، برای این‌که تقارن بار اطرافتان را بررسی کنید به هر طرفی که دوست دارید نگاه می‌کنید و در یک فاصله‌ی دلخواه مقداری بار را پیدا می‌کنید. به شکل ۲-۳۰ نگاه کنید.

از نقطه‌ی  $A$  به صفحه عمود می‌کنیم، پای عمود مرکز یک دستگاه مختصات استوانه‌ای است. حالا عبارت قبل را اینگونه تکرار می‌کنیم، اگر برای یک فاصله‌ی دلخواه  $r$ ، مقدار بار موجود در همه‌ی  $\theta$ ها یکسان باشد. میدان در نقطه‌ی  $A$  باید در راستای  $\hat{e}_z$  باشد. همان‌طور که می‌بینید مقدار بار موجود در فاصله‌ی  $r$  برای همه‌ی  $\theta$ ها برابر است با مقدار

$$\sigma \times dA = \sigma \times r \times dr \times d\theta$$

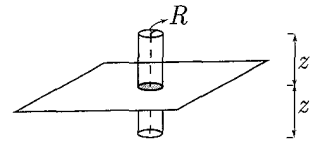


شکل ۲-۳۰

این نقاط روی یک دیسک به شعاع  $r$  و عرض  $dr$  قرار دارند و بی‌نهایت بودن صفحه، وجود چنین دیسکی را به هر شعاعی تضمین می‌کند.

حالا به سراغ قانون گاوس می‌رویم و به کمک آن میدان را در نقطه‌ی  $A$  به دست می‌آوریم. یک استوانه را به شعاع  $R$  و به ارتفاع  $2z$  به صورت شکل در نظر می‌گیریم. قانون گاوس را برای این سطح می‌نویسیم.

$$\epsilon_0 \oint_S \vec{E} \cdot d\vec{A} = q$$



شکل ۲-۳۱

سطح  $S$  را مثل قسمت پیش به سه قسمت  $S_1$ ،  $S_2$  و  $S_3$  تقسیم می‌کنیم. برای سطح  $S_3$ ،  $dA$  در راستای  $\hat{e}_r$  و برای دو سطح  $S_1$  و  $S_2$ ،  $dA$  در راستای  $\hat{e}_z$  است. میدان هم همواره در راستای  $\hat{e}_z$  است.

$$\epsilon_0 \left( \int_{S_1} \vec{E} \cdot d\vec{A} + \int_{S_2} \vec{E} \cdot d\vec{A} + \int_{S_3} \vec{E} \cdot d\vec{A} \right) = q$$

بنا به تقارن در بالا و پایین صفحه

$$\epsilon_0 \times 2 \oint_{S_1} \vec{E} \cdot d\vec{A} = q$$

$$\rightarrow \epsilon_0 \times 2 \times E \times \pi \times r^2 = q$$

$$q = \sigma \times A = \sigma \times \pi \times R^2 \quad (\text{مقدار بار موجود بر روی دایره هاشور زده شده})$$

$$\rightarrow \vec{E} = \frac{\sigma}{2\epsilon_0}$$

$$E = \frac{\sigma}{2\epsilon_0} \cdot \hat{e}_z \quad \text{که به صورت برداری به شکل روبه‌رو خواهد بود:}$$

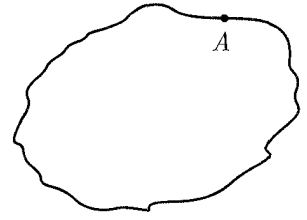
نتیجه جالب توجهی است، این طور نیست؟ این یعنی میدان در همه جا اطراف این صفحه برابر و در راستای  $\hat{e}_z$  است و حتی به فاصله از صفحه بستگی ندارد! این نتیجه برای ما کمی غیرقابل باور است، به نظر شما چرا؟

مشکل اینجا است که خط نامتناهی بار و صفحه نامتناهی بار عملاً وجود خارجی ندارند، بلکه مدل‌های ریاضی هستند برای واقعیت‌های عالم فیزیک، ما چه وقتی می‌توانیم از تقریب صفحه بی‌نهایت بار استفاده کنیم؟ فرض کنید این صفحه کاغذ که الان دارید می‌خوانید همان صفحه بار باشد. این صفحه به نظر شما بی‌نهایت نیست، اما فرض کنید آرام‌آرام به آن نزدیک می‌شوید، هر چه نزدیک می‌شوید صفحه از نظر شما بزرگ‌تر می‌شود. در فاصله‌ی بسیار کم از صفحه شما صفحه را بی‌نهایت می‌بینید مثلاً از دید یک مورچه که روی این صفحه راه برود. فرض کنید مساحت این صفحه کاغذ  $A_p$  و ارتفاعی که از آن کمتر تقریب صفحه بی‌نهایت تقریب قابل قبولی است  $Z$  باشد. اگر ابعاد این صفحه کاغذ مثلاً  $10^\circ$  برابر شدند، شما هم حالا می‌توانید فاصله‌ی  $Z$  را بیشتر کنید. مثل این است که به علتی نامعلوم همه‌ی عالم از لحاظ اندازه چند برابر شوند.

### ب) میدان الکتریکی خارجی یک رسانا

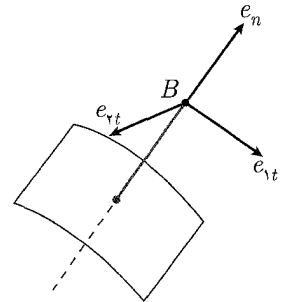
در قسمت (الف) همین بحث، به این نتیجه رسیدیم که بار الکتریکی اضافه‌ای که به یک رسانا داده شده، روی سطح خارجی آن جمع می‌شود، اما مشخص نکردیم که این بار به چه صورتی روی سطح جمع می‌شود، الان هم قصدمان این نیست. در فصل بعد خواهیم گفت که بار به گونه‌ای جمع می‌شود که سطح رسانا یک سطح هم‌پتانسیلی را تشکیل بدهد.

در این قسمت می‌خواهیم با فرض این‌که چگالی سطحی بار ( $\sigma$ ) را در همه‌ی نقاط می‌دانیم، میدان را در نزدیکی سطح رسانا به‌دست آوریم. شکل ۲-۳۲ یک رسانا را نشان می‌دهد که ما بار  $q$  را به آن داده‌ایم و توزیع این بار بر روی سطح، باعث به وجود آمدن چگالی سطحی بار  $\sigma = \frac{dq}{dA} \neq \text{cte}$  روی سطح شده است.



شکل ۲-۳۲

فرض کنید در نقطه‌ای مانند نقطه‌ی  $A$  می‌خواهیم میدان را در نزدیکی و خارج رسانا به‌دست آوریم. شکل بزرگ شده‌ی نقطه‌ی  $A$  در شکل (۲-۳۳) نشان داده شده است. نقطه‌ی  $B$  نقطه‌ی  $A$  از فضا است که می‌خواهیم میدان را در آن به‌دست آوریم.  $\hat{e}_n$  راستای عمود بر سطح در نقطه‌ی  $A$  است و  $\hat{e}_{1t}$  و  $\hat{e}_{2t}$  راستاهای موازی سطح هستند. با استدلالی مشابه قسمت (الف) می‌خواهیم بگوییم که میدان در نقطه‌ی  $B$  باید فقط مؤلفه‌ی عمود بر سطح (در راستای  $\hat{e}_n$ ) داشته باشد. اگر میدانی در سطح رسانا مؤلفه‌ی موازی سطح داشته باشد، این میدان به الکترون‌های آزاد سطح رسانا نیرو وارد می‌کند و باعث به وجود آمدن جریان‌های سطحی می‌شود که غیرقابل قبول است، بنابراین چنین مؤلفه‌ای ندارد و عمود بر سطح است.



شکل ۲-۳۳

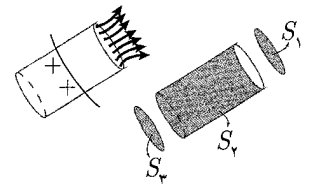
حالا به سراغ قانون گاوس می‌رویم، سطح گاوسی که این بار در نظر می‌گیریم، یک المان دیفرانسیلی حجم به شکل استوانه‌ای است. مطابق شکل (۲-۳۴)

طبق قانون گاوس:

$$\epsilon_0 \oint_S \vec{E} \cdot d\vec{A} = q$$

$$\epsilon_0 \left( \int_{S_1} \vec{E} \cdot d\vec{A} + \int_{S_2} \vec{E} \cdot d\vec{A} + \int_{S_3} \vec{E} \cdot d\vec{A} \right) = q$$

روی سطح  $S_2$ ،  $dA$  در راستای عمود بر راستای میدان (راستای عمود بر سطح) است. روی سطح  $S_3$  میدان صفر است چون سطح  $S_3$  درون رسانا قرار دارد.



شکل ۲-۳۴

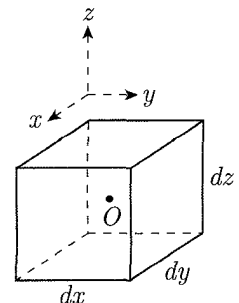
$$\epsilon_0 \int_{S_1} \vec{E} \cdot d\vec{A} = q \rightarrow \epsilon_0 E \cdot \pi \times (R_A)^2 = q$$

$$q = \sigma_A \times A_A = \sigma_A \times \pi \times (R_A)^2$$

$$\rightarrow \epsilon_0 E \times \pi \times (R_A)^2 = \sigma_A \times \pi \times (R_A)^2 \rightarrow E = \frac{\sigma_A}{\epsilon_0}$$

### شکل دیفرانسیلی قانون گاوس

در فصل بعد، نیاز پیدا خواهیم کرد که یک رابطه بین وضعیت توزیع بار در فضا و میدان در آن نقطه از فضا بیابیم. در این فصل و توسط قانون گاوس ما وضعیت میدان روی یک سطح بسته را به مقدار بار خالص داخل آن مرتبط کردیم. در این قسمت همین کار را برای یک جزء حجم دلخواه از فضا انجام خواهیم داد.



شکل ۲-۳۵

یک مکعب به شکل ۲-۳۵ در نظر بگیرید که ابعاد آن  $dx$ ،  $dy$  و  $dz$  هستند و هر یک از اضلاع موازی یکی از محورهای  $x$ ،  $y$  و  $z$  است.

نقطه‌ی  $O$  در این شکل مرکز مکعب است و فاصله‌ی آن از وجوه مختلف  $\frac{dx}{2}$  و  $\frac{dy}{2}$  و  $\frac{dz}{2}$

است.



این سطح یک سطح بسته است و می‌توان آن را به عنوان سطح گاوسی در نظر گرفت و این قانون را در مورد آن به کار گرفت، فرض کنید میدان الکتریکی در نقطه‌ی  $o$  به صورت  $E(\vec{o})$  باشد، در این صورت میدان روی سطوح این مکعب توسط بسط تیلور به دست می‌آید:

$$\begin{aligned} \vec{E}(o + \frac{dx}{2}) &= \vec{E}(o) + \frac{\partial \vec{E}}{\partial x} \cdot \frac{dx}{2} & , & \quad \vec{E}(o + \frac{dy}{2}) = \vec{E}(o) + \frac{\partial \vec{E}}{\partial y} \cdot \frac{dy}{2} \\ \vec{E}(o + \frac{dx}{2}) &= \vec{E}(o) + \frac{\partial \vec{E}}{\partial x} \cdot \frac{(-dx)}{2} & , & \quad \vec{E}(o - \frac{dy}{2}) = \vec{E}(o) + \frac{\partial \vec{E}}{\partial y} \cdot \frac{(-dy)}{2} \\ \vec{E}(o + \frac{dz}{2}) &= \vec{E}(o) + \frac{\partial \vec{E}}{\partial z} \cdot \frac{dz}{2} & , & \quad \vec{E}(o - \frac{dz}{2}) = \vec{E}(o) + \frac{\partial \vec{E}}{\partial z} \cdot \frac{(-dz)}{2} \end{aligned}$$

حال با دانستن میدان روی این سطوح، شار میدان الکتریکی را محاسبه می‌کنیم. دقت کنید که برای مثال، روی سطوح واقع در  $\pm \frac{dx}{2}$  بردار عمود بر سطح به صورت  $\pm \hat{i}$  است و برای دو صفحه متفاوت است، به این صورت شار کل از صفحه به صورت زیر است:

$$\begin{aligned} \phi &= \left( \vec{E}(o) + \frac{\partial \vec{E}}{\partial x} \cdot \frac{\partial x}{2} \right) \cdot (dydz \hat{i}) \\ &+ \left( \vec{E}(o) + \frac{\partial \vec{E}}{\partial x} \cdot \left(-\frac{dx}{2}\right) \right) \cdot (-dydz \hat{i}) + \dots \end{aligned}$$

که پس از ساده کردن، حاصل آن به صورت زیر است:

$$\begin{aligned} \phi &= \left( \frac{\partial \vec{E}}{\partial x} \cdot dx \cdot dy \cdot dz \right) \cdot \hat{i} + \left( \frac{\partial \vec{E}}{\partial y} \cdot dy \cdot dx \cdot dz \right) \cdot \hat{j} \\ &+ \left( \frac{\partial \vec{E}}{\partial z} \cdot dz \cdot dx \cdot dy \right) \cdot \hat{k} \end{aligned}$$

با اعمال قانون گاوس: می‌دانیم

$$\phi = \frac{q}{\epsilon_0} = \frac{\rho \cdot dV}{\epsilon_0} = \rho \cdot \frac{dx \cdot dy \cdot dz}{\epsilon_0}$$

با حذف  $dx \cdot dy \cdot dz$  از دو طرف داریم:

$$\phi = \frac{\partial \vec{E}}{\partial x} \cdot \hat{i} + \frac{\partial \vec{E}}{\partial y} \cdot \hat{j} + \frac{\partial \vec{E}}{\partial z} \cdot \hat{k} = \frac{\rho}{\epsilon_0}$$

اما میدان  $\vec{E}$  به صورت  $\vec{E} = E_x \hat{i} + E_y \hat{j} + E_z \hat{k}$  است، برای مثال

$$\frac{\partial \vec{E}}{\partial x} = \frac{\partial E_x}{\partial x} \hat{i} + \frac{\partial E_y}{\partial x} \hat{j} + \frac{\partial E_z}{\partial x} \hat{k}$$

و حاصل  $\frac{\partial \vec{E}}{\partial x} \cdot \hat{i}$  به صورت زیر خواهد بود:

$$\left( \frac{\partial E_x}{\partial x} \hat{i} + \frac{\partial E_y}{\partial x} \hat{j} + \frac{\partial E_z}{\partial x} \hat{k} \right) \cdot \hat{i} = \frac{\partial E_x}{\partial x}$$

بنابراین با نوشتن عبارتهای معادل برای دو جملهی دیگر، عبارت شار چنین به دست می آید:

$$\begin{aligned}\phi &= \frac{\partial E_x}{\partial x} + \frac{\partial E_y}{\partial y} + \frac{\partial E_z}{\partial z} \\ &= \left( \frac{\partial}{\partial x} \hat{i} + \frac{\partial}{\partial y} \hat{j} + \frac{\partial}{\partial z} \hat{k} \right) \cdot (E_x \hat{i} + E_y \hat{j} + E_z \hat{k})\end{aligned}$$

با توجه به تعریف عملگر  $\vec{\nabla}$  (گرادیان) و  $\vec{\nabla} \cdot$  (دیورژانس) این عبارت را می توان به صورت مقابل نوشت:

$$\vec{\nabla} \cdot \vec{E}(x, y, z) = \frac{\rho}{\epsilon_0}$$

به این شکل، با توجه به اینکه ما نقطه‌ی خاصی را برای نقطه‌ی  $o$  در نظر نگرفتیم، می توان عبارتهای بالا را برای هر نقطه‌ای به کاربرد، یعنی

$$\vec{\nabla} \cdot \vec{E}(x, y, z) = \frac{\rho(x, y, z)}{\epsilon_0}$$

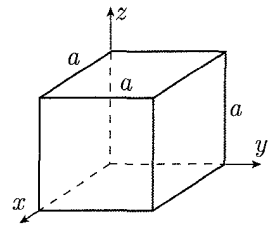
به این عبارت شکل دیفرانسیلی قانون گاوس گفته می شود. همان طور که می خواستیم، این عبارت وضعیت بار در هر نقطه از فضا را به وضعیت میدان در آن نقطه از فضا مربوط می کند. همان طور که گفته شد، این عبارت فعلاً برای ما کاربرد مستقیمی ندارد، بلکه از آن در قسمتی از فصل برای توضیح معادله پواسون و روش تصاویر استفاده خواهد شد.

۱. مکعبی مطابق شکل (۲-۳۶) در یک میدان الکتریکی با معادله:

$$4xi + e^y j = \vec{E} \quad \text{(الف)}$$

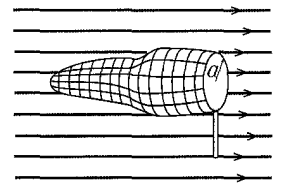
$$4yj + e^x j = \vec{E} \quad \text{(ب)}$$

قرار دارد. شار گذرنده از این مکعب را محاسبه کنید و با استفاده از قانون گاوس مقدار بار داخل این مکعب را محاسبه کنید.



شکل ۲-۳۶

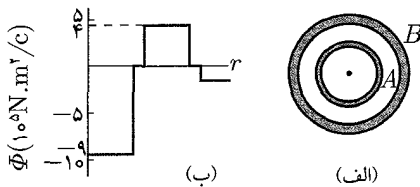
۲. مطابق شکل، یک تور ماهی‌گیری در میدان الکتریکی یکنواخت  $E = 370 \text{ mN/C}$  قرار دارد. قاب که دایره‌ای به شعاع  $a = 11 \text{ cm}$  است در جهت عمود بر میدان قرار دارد. هیچ بار الکتریکی درون تور وجود ندارد. شار الکتریکی که از تور می‌گذرد را به دست آورید.



شکل ۲-۳۷ سؤال ۲

۳. ذره‌ای با بار  $+q$  در گوشه‌ی یک سطح گاوسی مکعب شکلی قرار دارد. شار گذرنده از الف) هر وجه مکعب که مجاور آن گوشه قرار دارد و ب) سایر وجه‌های مکعب را به صورت ضربی از  $\frac{q}{\epsilon_0}$  به دست آورید.

۴. یک ذره‌ی باردار در مرکز دو پوسته‌ی کروی رسانای هم‌مرکز قرار گرفته است. شکل الف) سطح مقطع پوسته‌ها را نشان می‌دهد. نمودار شکل ب) شار خالص  $\Phi$  را که از یک سطح گاوسی کروی به مرکز ذره می‌گذرد. به صورت تابعی از شعاع  $r$  که نشان می‌دهد. الف) بار ذره‌ی مرکزی و بار خالص روی ب) پوسته‌ی  $A$  و ج) پوسته‌ی  $B$  را تعیین کنید.



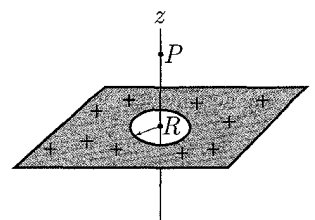
شکل ۲-۳۸

۵. یک استوانه‌ی صلب و بلند نارسانا به شعاع  $4.7 \text{ cm}$  دارای چگالی بار حجمی  $\rho$  است که به صورت تابعی از  $r$  (فاصله از محور استوانه) به صورت  $\rho = Ar^2$  می‌باشد. برای  $A = 2.75 \mu\text{C/m}^5$  اندازه‌ی میدان الکتریکی در الف)  $r = 3.7 \text{ cm}$  و ب)  $r = 5.7 \text{ cm}$  چقدر است؟



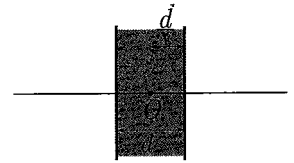
شکل ۲-۳۹ سؤال ۵

۶. مطابق شکل سوراخ دایره‌ای شکل کوچکی به شعاع  $R = 1.8 \text{ cm}$  تقریباً وسط یک صفحه‌ی نارسانای نامتناهی ایجاد شده است. چگالی بار سطحی روی صفحه  $\sigma = 4.5 \text{ pC/m}^2$  است. محور  $z$  که مبدأ آن در مرکز سوراخ قرار دارد عمود بر سطح رسم شده است. بر حسب بردارهای یکه میدان الکتریکی در نقطه‌ی  $P$  در  $z = 2.56 \text{ cm}$  چیست؟ (راهنمایی: از معادله‌ی میدان ناشی از قرص باردار استفاده کنید.)



شکل ۲-۴۰ سؤال ۶

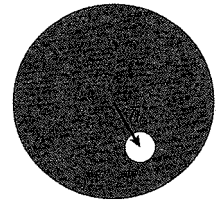
۷. شکل ۲-۴۱ سطح مقطع یک بُرهی خیلی بزرگ نارسانا را که ضخامت آن  $d = ۹/۴ \text{ mm}$  و چگالی بار حجمی آن  $\rho = ۵/۸ \text{ fC/m}^3$  است را نشان می‌دهد. مبدأ محور  $x$  ها در مرکز بُره قرار دارد. اندازهی میدان الکتریکی بُره را در مختصه‌ی  $x$  (الف)  $۰$  و (ب)  $۲/۰^\circ \text{ mm}$  و (ج)  $۴/۷^\circ \text{ mm}$  و (د)  $۲۶/۰^\circ \text{ mm}$  به دست آورید.



شکل ۲-۴۱ سؤال ۷

۸. یک کره‌ی صلب نارسانا به شعاع  $R = ۵/۶^\circ \text{ cm}$  دارای بار متغیر یکنواخت با چگالی  $\rho = (۱۴/۱ \text{ pC/m}^3) \frac{r}{R}$  است که در آن  $r$  فاصله‌ی شعاعی از مرکز کره می‌باشد. (الف) بار کل کره چقدر است؟ اندازه‌ی میدان الکتریکی در (ب)  $r = ۰$  و (ج)  $r = R/۲$  و (د)  $r = R$  چقدر است؟ (ه) منحنی  $E$  بر حسب  $r$  را رسم کنید.

۹. یک کره‌ی صلب نارسانا دارای چگالی حجمی بار  $\rho$  می‌باشد. فرض کنید  $\vec{r}$  برداری از مرکز کره به یک نقطه‌ی دلخواه درون کره باشد. (الف) نشان دهید که میدان الکتریکی در  $P$  به صورت  $\vec{E} = \rho \vec{r} / \epsilon_0$  است. (توجه کنید که این نتیجه از شعاع کره مستقل است.) (ب) مطابق شکل ۲-۴۲ حفره‌ای درون کره ایجاد می‌کنیم. با استفاده از مفهوم برهم‌نهی نشان دهید که میدان در تمام نقاط درون حفره یکنواخت است و توسط رابطه‌ی  $\vec{E} = \rho \vec{a} / 3\epsilon_0$  داده می‌شود که در آن  $\vec{a}$  بردار مکان از مرکز کره به مرکز حفره است. (توجه کنید که این نتیجه مستقل از شعاع کره و شعاع حفره می‌باشد.)



شکل ۲-۴۲ سؤال ۹



۱. برای محاسبه‌ی شار، ابتدا دقت می‌کنیم که میدان مؤلفه‌ای در راستای محور  $z$  ندارد. دو سطح بالایی و پایینی مکعب بردارهای سطحی در راستای  $z$  دارند و بنابراین شار میدان الکتریکی گذرنده از این دو سطح صفر است و بنابراین شار کل برابر با شار گذرنده از چهار وجه دیگر است:

(الف)

$$\begin{aligned}
 x = 0 &\rightarrow E = e^y \hat{j}, \quad \vec{dA} = |dA| \times (-\hat{i}) \\
 \rightarrow \phi_1 &= \int_{A_1} \vec{E} \cdot \vec{dA} = \int_{A_1} |E| \cdot |dA| \cdot \cos \frac{\pi}{2} = 0 \\
 x = a &\rightarrow E = \epsilon a \hat{i} + e^y \hat{j}, \quad \vec{dA} = |dA| \hat{i} \\
 \rightarrow \phi_2 &= \int_{A_2} \vec{E} \cdot \vec{dA} = \int_{A_2} \epsilon a \cdot dA = \epsilon a \cdot a^2 \\
 y = 0 &\rightarrow \vec{E} = \epsilon x \hat{i} + \hat{j}, \quad \vec{dA} = |dA| = -\hat{j} \\
 \rightarrow \phi_3 &= \int_{A_3} \vec{E} \cdot \vec{dA} = - \int_{A_3} dA = -a^2 \\
 y = a &\rightarrow \vec{E} = \epsilon x \hat{i} + e^a \hat{j}, \quad \vec{dA} = |dA| \hat{j} \\
 \phi_4 &= \int_{A_4} \vec{E} \cdot \vec{dA} = \int_{A_4} e^a \cdot dA = e^a \cdot a^2 \\
 \phi &= \phi_1 + \phi_2 + \phi_3 + \phi_4 = a^2 (\epsilon a - 1 + e^a) \\
 \text{طبق قانون گاوس} &\rightarrow q = \phi \epsilon_0 = \epsilon_0 \cdot a^2 (\epsilon a - 1 + e^a)
 \end{aligned}$$

(ب)

$$\begin{aligned}
 x = 0 &\rightarrow \vec{E} = \epsilon y \hat{i} + \hat{j}, \quad \vec{dA} = |dA| \times (-\hat{i}) \\
 \rightarrow \phi_1 &= \int_{A_1} \vec{E} \cdot \vec{dA} = \int_{A_1} -\epsilon y \cdot dA, \quad dA = a dy \\
 \rightarrow \phi_1 &= \int_0^a -\epsilon a y dy = -\epsilon a \frac{y^2}{2} \Big|_0^a = -\frac{\epsilon a^3}{2} = -\frac{1}{2} \epsilon a^3 \\
 x = a &\rightarrow \vec{E} = \epsilon y \hat{i} + e^a \hat{j}, \quad \vec{dA} = |dA| \hat{i} \\
 \rightarrow \phi_2 &= \int_{A_2} \vec{E} \cdot \vec{dA} = \int_{A_2} \epsilon y dA = \frac{1}{2} \epsilon a^3 \\
 y = 0 &\rightarrow \vec{E} = e^x \hat{j}, \quad \vec{dA} = |dA| \cdot -\hat{j} \\
 \rightarrow \phi_3 &= \int_{A_3} \vec{E} \cdot \vec{dA} = \int_0^a a(-e^x) \cdot dx = a(-e^x) \Big|_0^a = a(1 - e^a) \\
 y = a &\rightarrow \vec{E} = \epsilon a \hat{i} + e^x \hat{j}, \quad \vec{dA} = |dA| \hat{j} \\
 \rightarrow \phi_4 &= \int_{A_4} \vec{E} \cdot \vec{dA} = \int_0^a a e^x = a(e^a - 1) \\
 \rightarrow \phi &= \sum_{i=1}^4 \phi_i = 0 \rightarrow \text{طبق قانون گاوس} \rightarrow q = 0
 \end{aligned}$$

۲. از آنجا که درون تور هیچ بار الکتریکی وجود ندارد، دهانه‌ی دایره‌ای و بدنه‌ی آن را یک سطح بسته فرض می‌کنیم که شار کل عبوری از آن طبق قانون گاوس صفر است. شار کل عبوری از دهانه را  $\varphi_1$  و شار عبوری از بدنه را  $\varphi_2$  می‌نامیم. شار کل تور ماهی‌گیری، که برابر صفر است، با مجموع شار کل عبوری از دهانه و بدنه‌ی آن باید برابر باشد.

$$\varphi_2 + \varphi_1 = 0 \Rightarrow \varphi_2 = -\varphi_1$$

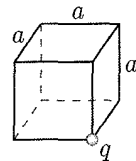
با توجه به این‌که شار به مساحت سطح عمود بر میدان بستگی دارد، و در این تور ماهی‌گیری سطح دهانه‌ی تور بر میدان الکتریکی که اتفاقاً یکنواخت است عمود شده است، محاسبه‌ی عددی مقدار شار کاری ساده است. این کار را انجام می‌دهیم:

$$\begin{aligned} \varphi_1 &= \vec{E} \cdot \hat{n} A = E \times \pi r^2 = (3 \times 10^{-3} \text{ N/C}) \times (3.14 \times 0.11^2) \\ &= 1.14 \times 10^{-4} \text{ V.m} \end{aligned}$$

در نتیجه شار الکتریکی گذرنده از تور، که همان شار کل عبوری از بدنه‌ی آن است ( $\varphi_2$ ) به دست می‌آید:

$$\varphi_2 = -1.14 \times 10^{-4} \text{ V.m}$$

۳. مطابق شکل، مکعبی به ضلع  $a$  را در نظر می‌گیریم. بار ذره‌ای  $+q$  در گوشه‌ی آن، که همان رأس آن است قرار گرفته است.



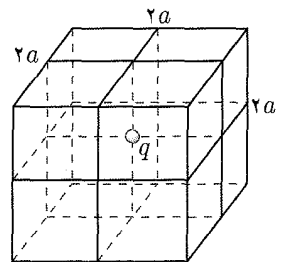
شکل ۴۳-۲

برای این‌که بتوانیم شکل مسئله را برای استفاده از قانون گاوس متناسب کنیم، شکل را مقارن می‌کنیم، به طوری که مکعب‌ها به هم بچسبند و بار  $q$  در مرکز مکعب بزرگ‌تر قرار گیرد. برای این کار چند مکعب لازم است؟ (فکر کنید) مطابق شکل زیر هشت مکعب از همان مکعب به ضلع  $a$  را به هم می‌چسبانیم تا مکعب بزرگ‌تری به ضلع  $2a$  به دست آید که بار  $q$  در مرکز آن قرار گرفته است. شاری که از این مکعب می‌گذرد، شار حاصل از این بار ذره‌ای تنها در مرکز آن است. بنابراین شار عبوری از وجوه بیرونی مکعب به ضلع  $2a$ ، طبق قانون گاوس برابر است:

$$\varphi = \frac{q}{\epsilon_0}$$

از آنجا که این شار به طور کروی در فضا پخش می‌شود، می‌توان کره‌ای را تصور کرد که در درون مکعب بزرگ محاط شده است. در هر مکعب کوچک یک هشتم کره قرار می‌گیرد. به عبارت بهتر، برای این‌که تصور کنید چگونه شار حاصل از بار نقطه‌ای واقع در مرکز مکعب بزرگ، به هشت قسمت تقسیم می‌شود و از مکعب‌های کوچک‌تر عبور می‌کند، می‌توانید از تصور کره‌ی محاط استفاده کنید. بنابراین به پاسخ سؤال مورد نظر خود رسیدیم. حال می‌دانیم که یک هشتم شار عبوری از مکعب بزرگ از مکعب کوچک می‌گذرد. شار مکعب اصلی را به شکل زیر می‌نویسیم:

$$\varphi_1 = \frac{q}{8\epsilon_0}$$



شکل ۴۴-۲

در مورد شار عبوری از وجوه مختلف مکعب اصلی، می‌توان تصور کرد که شار عبوری از وجوهی که بار بر روی آنها قرار گرفته است صفر است؛ چرا که وقتی چشمه روی سطحی قرار داشته باشد و خطوط میدان گسیلی از آن خط مستقیم باشند، در هیچ حالتی شار عبوری از سطح غیر صفر نمی‌شود. بنابراین پاسخ مورد (الف) صفر است. سایر وجوه‌های مکعب که بار بر روی آنها قرار ندارد، نیمی از کل وجوه‌های مکعب را تشکیل می‌دهند. بنابراین می‌توان گفت که شار عبوری از مکعب اصلی به سه قسمت تقسیم می‌شوند و در سایر وجوه آن عبور می‌کنند. پس پاسخ قسمت (ب) به ترتیب زیر خواهد بود:

$$\varphi' = \frac{1}{3} \times \frac{q}{\lambda \epsilon_0} = \frac{q}{24 \epsilon_0}$$

۴. الف) سطح گاوسی را کره‌ای با شعاعی کوچک‌تر از شعاع کره‌ی  $A$  ( $r_A$ ) در نظر می‌گیریم [ $r < r_A$ ]. بار  $q$  درون آن است و دو پوسته بر روی شار عبوری تأثیر نمی‌گذارند.

$$\varphi_1 = -9 \times 10^5 = \frac{q}{\epsilon_0}$$

$$q = -(9 \times 10^5) \times (\lambda, 85 \times 10^{-12}) = -7,97 \times 10^{-6} \text{ C}$$

ب) اگر این بار سطح گاوسی را کره‌ای به شعاعی کوچک‌تر از کره‌ی  $B$  ولی بزرگ‌تر از کره‌ی  $A$  در نظر بگیریم [ $r_A < r < r_B$ ], بار کره‌ی  $A$  نیز وارد قضیه می‌شود و شار عبوری به صورت زیر خواهد بود:

$$\varphi_2 = 4 \times 10^5 = \frac{q + q_A}{\epsilon_0}$$

$$4 \times 10^5 = \frac{(-7,97 \times 10^{-6}) + q_A}{(\lambda, 85 \times 10^{-12})} \Rightarrow q_A = 1,15 \times 10^{-5} \text{ C}$$

ج) این بار سطح گاوسی دیگری در نظر می‌گیریم. طوری که هر دو کره و بار درون‌شان را در بر بگیرد. حال بار نقطه‌ای درون کره‌ی  $A$  بار سطحی روی کره‌ی  $A$  و کره‌ی  $B$  هر سه عامل ایجاد شار هستند. داریم:

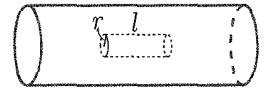
$$\varphi_3 = -2 \times 10^5 = \frac{q + q_A + q_B}{\epsilon_0} - (2 \times 10^5) \times (\lambda, 85 \times 10^{-12})$$

$$= -7,97 \times 10^{-6} + 11,51 \times 10^{-6} + q_B \Rightarrow q_B = -5,3 \times 10^{-6} \text{ C}$$

۵. میدان حاصل از یک استوانه با چگالی بار حجمی یکنواخت تقارن استوانه‌ای دارد. تقارن استوانه‌ای بار به ما کمک می‌کند تا بتوانیم از قانون گاوس استفاده کنیم و با سطح گاوسی مناسب، میدان را در شعاع دلخواه به دست بیاوریم. این کار را دو بار انجام می‌دهیم. یک بار برای شعاع‌های کوچک‌تر از شعاع استوانه و بار دیگر برای شعاع‌های بزرگ‌تر. مطابق شکل داریم:

$$\oint_S \vec{E} \cdot \hat{n} dA = \frac{q_s}{\epsilon_0}$$

از آنجا که ميدان، تقارن استوانه‌ای دارد، می‌توان دریافت که به طور یکنواخت و عمود بر محور استوانه‌ای کوچک از آن خارج می‌شود و شاری از دو قاعده‌ی سطح گاوسی استوانه‌ای کوچک عبور نمی‌کند.



شکل ۴۵-۲

$$E \times 2\pi r l = \frac{q_s}{\epsilon_0} \Rightarrow E = \frac{q_s}{2\pi \epsilon_0 r l}$$

$$q_s = \int_{V_s} \rho dV = \int_{r=0}^r Ar^2 \times 2\pi r l dr = \frac{1}{4}\pi A l r^4$$

$$E = \frac{\pi A l r^4}{2\pi \epsilon_0 r l} = \frac{A r^3}{2\epsilon_0} = \frac{(2,5 \times 10^{-6}) \times (0,03)^3}{2 \times 8,85 \times 10^{-12} \times 0,05} = 1,91 \text{ N/C}$$

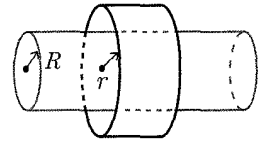
برای حالت (ب) که ميدان در خارج از استوانه‌ی صلب باردار مطلوب است. سطح گاوسی جدیدی در نظر می‌گیریم:

$$E = \frac{q_s}{2\pi \epsilon_0 r l}, \quad q_s = \int \rho dV = \left[ \frac{1}{4}\pi A l r^4 \right]_0^R = \frac{1}{4}\pi A l R^4$$

$$\Rightarrow E = \frac{\pi A l R^4}{2\pi \epsilon_0 r l} = \frac{A R^4}{2\epsilon_0 r}$$

$$\Rightarrow E = \frac{(2,5 \times 10^{-6}) \times (0,04)^4}{2 \times 8,85 \times 10^{-12} \times 0,05} = 3,62 \text{ N/C}$$

همان‌طور که مشاهده کردید، ميدان برای حالتی که درون استوانه‌ی باردار قرار داشتیم با توان سوم فاصله از محور متناسب بود، ولی برای حالت بیرون از استوانه‌ی باردار با عکس فاصله متناسب است. کمی فکر کنید؛ منطقی است، نه؟



شکل ۴۶-۲

۶. ميدان یک صفحه‌ی نامتناهی بدون سوراخ (کامل) باردار را با  $E$  نمایش می‌دهیم. برای تأثیر دادن ميدان سوراخ دایره‌ای شکل کوچک به شعاع  $R$  درون آن، دو توزیع بار صفحه‌ی کامل نامتناهی و صفحه‌ی دایره‌ای باردار با چگالی بار منفی چگالی بار صفحه را بر هم اثر می‌دهیم. یعنی صفحه را به دو قسمت سوراخ‌دار و سوراخش تقسیم می‌کنیم و از آنجا که ميدان صفحه‌ی نامتناهی و نیز ميدان صفحه‌ی دایره‌ای شکل برای ما مشخص است، ميدان مورد نظر که همان ميدان صفحه‌ی سوراخ‌دار است به دست می‌آید.

$$\vec{E} = \vec{E}_1 + \vec{E}_2$$

ميدان مورد نظر ما  $\vec{E}_1$  است.  $\vec{E}_2$  ميدان ناشی از قرص باردار است که قبلاً به دست آوردیم. داریم:

$$E_2 = \frac{\sigma}{2\epsilon_0} \left[ 1 - \frac{z}{\sqrt{z^2 + R^2}} \right]$$

$$\frac{\sigma}{2\epsilon_0} = E_1 + \frac{\sigma}{2\epsilon_0} \left[ 1 - \frac{z}{\sqrt{z^2 + R^2}} \right]$$

$$E_1 = \frac{\sigma z}{2\epsilon_0 \sqrt{z^2 + R^2}}$$

$$= \frac{(4,5 \times 10^{-12}) \times (2,56 \times 10^{-2})}{2 \times (8,85 \times 10^{-12}) \times \sqrt{(2,56)^2 + (1,8)^2} \times 10^{-2}}$$

$$\Rightarrow \vec{E}_1 = 0,208 \hat{k} \text{ N/C}$$



شکل ۴۷-۲



۷.

الف) در  $x = 0$  سطح دو طرف قطعه مانند دو صفحه‌ی نارسانای بزرگ و متقارن است که میدان یکسانی را در جهت عکس هم ایجاد می‌کنند. بنابراین میدان در این نقطه صفر است.

ب) در  $x = 2,0 \text{ mm}$  سطح گاوسی را به صورت استوانه‌ای در نظر می‌گیریم که نسبت به محور  $y$  متقارن است. مطابق شکل ۴۸-۲ خطوط میدان که بنا به تقارن بزه موازی با محور  $x$  است، شاری را از سطح جانبی استوانه عبور نمی‌دهد و تنها دو سطح ابتدایی و انتهایی استوانه در عبور شار تأثیر دارند که میدان بر آنها عمود است.

$$\oint_S \vec{E} \cdot \hat{n} dA = \frac{q_s}{\epsilon_0}$$

$$2EA = \frac{\rho A \times 2x}{\epsilon_0} \Rightarrow E = \frac{\rho x}{\epsilon_0}$$

همان‌طور که در شکل مشخص شده است سطح مقطع استوانه برابر  $A$  و نیم طول استوانه برابر  $x$  در نظر گرفته شده است.

$$E = \frac{(\rho \times 10^{-15})(2 \times 10^{-3})}{(\epsilon_0 \times 10^{-12})} = 1,31 \times 10^{-6} \text{ N/C}$$

ج) در  $x = 4,7 \text{ mm}$  سطح گاوسی استوانه‌ای مشابهی با طول بیشتر در نظر می‌گیریم. در این فاصله تمام حجم درون سطح گاوس دارای بار است. بنابراین مشابه حالت قبل داریم:

$$E = \frac{\rho x}{\epsilon_0}$$

$$= \frac{(\rho \times 10^{-15})(4,7 \times 10^{-3})}{(\epsilon_0 \times 10^{-12})} = 3,1 \times 10^{-6} \text{ N/C}$$

د) در  $x = 26,0 \text{ mm}$  میدان در بیرون از قطعه مورد نظر است. در بیرون از قطعه بزه‌ی نارسانا مانند صفحه‌ی بسیار بزرگی عمل می‌کند که همان میدان بخش قبل (ج) را در فضا ایجاد کرده است.

$$E = 3,1 \times 10^{-6} \text{ N/C}$$

۸.

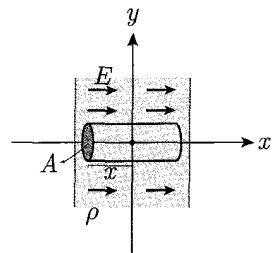
$$\rho = (14,1 \text{ pC/m}^3) \frac{r}{R} = \rho_0 \frac{r}{R}$$

که در آن  $\rho_0 = 14,1 \text{ pC/m}^3$  است.

برای پیدا کردن بار کل کره از معادله‌ی شعاعی چگالی حجمی بار در حجم کره انتگرال می‌گیریم:

$$q = \int \rho dV = \int_{r=0}^R \rho_0 \frac{r}{R} \times 4\pi r^2 dr = \frac{\pi \rho_0}{R} \times R^4 = \pi \rho_0 R^3$$

$$q = (14,1 \times 10^{-12})(3,14)(5,6 \times 10^{-2})^3 = 7,78 \times 10^{-15} \text{ C}$$



شکل ۴۸-۲

الف) اندازه‌ی میدان در شعاع‌های مختلف خواسته شده با استفاده از سطح گاوسی کروی به دست می‌آوریم. معادله‌ای را که در بسیاری از مسائل حل شده پیشین آمده است و باید تاکنون آشنای شما شده باشد، می‌نویسیم:

$$E = \frac{q_s}{4\pi\epsilon_0 r^2}$$

که در آن  $q_s$  بار موجود در داخل کره‌ی گاوسی مفروض است و مقدار آن در شعاع  $r$  برابر است با:

$$q_s = \int_0^r \rho_0 \frac{r}{R} 4\pi r^2 dr = \frac{\pi\rho_0}{R} r^4$$

$$\Rightarrow E = \frac{\pi\rho_0 r^4}{R} \times \frac{1}{4\pi\epsilon_0 r^2} = \frac{\rho_0 r^2}{4\epsilon_0 R}$$

$$r = 0 \Rightarrow E = \frac{\rho_0 \times 0^2}{4\epsilon_0 R} = 0 \quad \text{ب)}$$

ج)

$$r = \frac{R}{2} \text{ (درون کره)} \Rightarrow E = \frac{(14,1 \times 10^{-12})(R^2/4)}{4\epsilon_0 R} = \frac{14,1 \times 10^{-12} R}{16\pi\epsilon_0}$$

$$E = \frac{(14,1 \times 10^{-12}) \times (0,056)}{16 \times (8,85 \times 10^{-12})} = 5,576 \times 10^{-3} \text{ N/C}$$

د)

تمام بار درون سطح گاوسی قرار می‌گیرد)  $r = R$

$$E = \frac{\rho_0 R}{4\epsilon_0} = \frac{(14,1 \times 10^{-12}) \times (0,056)}{4 \times (8,85 \times 10^{-12})} = 2,23 \times 10^{-2} \text{ N/C}$$

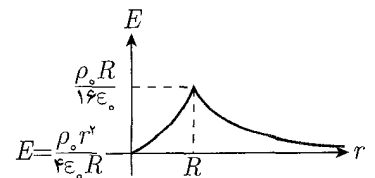
ه) برای رسم منحنی خواسته شده میدان را در سه نقطه از قبل مشخص کرده‌ایم. یعنی مختصات سه نقطه‌ی  $r = 0$ ،  $r = \frac{R}{2}$  و  $r = R$  برای ما معلوم است:

$$E(r = 0) = 0$$

$$E(r = \frac{R}{2}) = \frac{\rho_0 R}{16\epsilon_0}$$

$$E(r = R) = \frac{\rho_0 R}{4\epsilon_0}$$

از آنجایی که رابطه‌ی میدان در داخل کره با توان دوم  $r$  متناسب است، بنابراین در بازه‌ی شعاعی مرکز تا سطح کره رابطه برای ما مشخص است. با خروج از کره، میدان الکتریکی کره تمام بار داخل آن را در بر می‌گیرد و با تقریب خوبی (و همچنین با استفاده از سطح گاوسی کروی) می‌توان گفت که میدان با عکس مجذور فاصله متناسب است. بنابراین نمودار میدان بر حسب فاصله  $r$  چنین شکلی خواهد داشت (شکل ۲-۴۹).



شکل ۲-۴۹ پاسخ سؤال ۸

۹. از آنجا که چگالی حجمی بار کروی نارسانا یکنواخت است، سطح گاوسی کروی فرضی واقع در درون کره ( $r < R$ ) بار مشخص دارد:

$$q_s = \rho \times \frac{4}{3}\pi r^3$$

میدان آن با استفاده از قانون گاوس، همان طور که تا اینجا دیده ایم، چنین رابطه ای دارد:

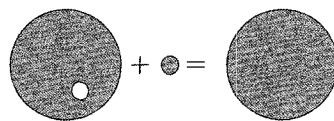
$$E = \frac{q_s}{4\pi\epsilon_0 r^2} = \frac{\rho \times \frac{4}{3}\pi r^3}{4\pi\epsilon_0 r^2} = \frac{\rho r}{3\epsilon_0}$$

کره شکلی متقارن است. وقتی سطح گاوسی درون آن در نظر می گیریم و میدان داخل آن را با استفاده از این کار به دست می آوریم، در واقع از تقارن کره استفاده کرده ایم. این تقارن به کره اجازه نمی دهد که میدان ناشی از چگالی بار یکنواخت مؤلفه های غیر شعاعی داشته باشد چرا که مؤلفه ای از میدان که عمود بر شعاع است، با کمی چرخش کره جابه جا می شود؛ در حالی که چرخش کره موقعیت بارهای آن را تغییر نمی دهد. (می توانید تصور کنید؟ کره هر چقدر هم بچرخد انگار نچرخیده است و اگر شما پشت تان را بکنید و کره را به هر سمتی بچرخانید، و دوباره برگردید، به هیچ وجه نمی توانید تغییر صورت گرفته را تشخیص دهید.) پس قبول کنید که اگر میدان کره فقط مؤلفه شعاعی داشته باشد، و در واقع میدان الکتریکی آن به صورت بردارهایی باشد که به صورت یکنواخت از سطح کره ی گاوسی بیرون زده است، آن وقت است که کره باز می تواند با بردار میدان هایش بچرخد و تغییری در حالت کلی میدان هایش ایجاد نشود، بنابراین رابطه ای که با استفاده از قانون گاوس برای میدان درون کره به دست آوردیم، در راستای شعاعی است، پس می توانیم آن را به شکل برداری بنویسیم:

$$\vec{E} = \frac{\rho \vec{r}}{3\epsilon_0}$$

این نتیجه همان طور که گفته شد مستقل از شعاع کره (یعنی  $R$ ) است. چرا که در هر سطح گاوسی به شعاع آن سطح کروی و چگالی بار کروی نارسانا مربوط می شود.

وقتی حفره ای درون کره ایجاد شود، معمولاً می توانیم دو نوع کره ی مختلف را در نظر بگیریم و برآیند اثرات میدان آنها را در یک نقطه ی مورد بررسی به دست آوریم؛ به طوری که مجموع این دو نوع کره، کره ی کاملی شود که میدان آن را از قبل می دانیم. به عبارت بهتر حالت شکل ۵۰-۲ را در نظر بگیریم:

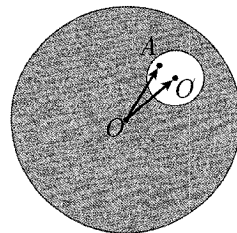


شکل ۵۰-۲

یعنی کره ی حفره دار را با حفره اش جمع کنیم تا کره ی کاملی به دست آید؛ به عبارت دیگر در این سؤال، برای پیدا کردن میدان حاصل از کره ی حفره دار، میدان حاصل از حفره ی کروی را از میدان حاصل از کره ی کامل «کم» می کنیم، و یا منفی میدان آن را به میدان کره ی بزرگ اضافه می کنیم. به این کار «برهم نهی» می گوئیم. بیا بیاید این کار را انجام دهیم.

$$\vec{E}_1 + \vec{E}_2 = \vec{E}$$

نقاط مورد بررسی ما، که میدان در آنها مطلوب است. نقاط درون حفره هستند؛ مثلاً در شکل ۵۱-۲، میدان در نقطه ی  $A$  مورد سؤال است. این نقطه در درون کره ی کوچکی است



شکل ۵۱-۲



که جای حفره قرار داشته است، یعنی میدان  $E_V$  از رابطه‌ای مشابه رابطه‌ی به‌دست آمده در بخش اول سؤال به‌دست می‌آید:

$$\vec{E}_V = \frac{\rho \vec{O'A}}{3\epsilon_0}$$

میدان کره‌ی کامل هم در نقطه‌ی  $A$  درون آن، دقیقاً از همین رابطه‌ی بخش اول به‌دست می‌آید، بدین ترتیب:

$$\begin{aligned} \vec{E} &= \frac{\rho \vec{OA}}{3\epsilon_0} \\ \Rightarrow \vec{E}_\perp &= \vec{E} - \vec{E}_V = \frac{\rho \vec{OA}}{3\epsilon_0} - \frac{\rho \vec{O'A}}{3\epsilon_0} \\ &= \frac{\rho}{3\epsilon_0} (\vec{OA} - \vec{O'A}) = \frac{\rho}{3\epsilon_0} (\vec{O'O}) \end{aligned}$$

همان‌طور که می‌بینید، و نتیجه‌ی روابط ما را به آن رساند، میدان در داخل حفره‌ی کره‌ی حفره‌دار که چگالی بار یکنواخت دارد، کاملاً مستقل از شعاع کره و شعاع حفره است و فقط به  $\vec{OO'}$  که بردار مکان وصل شده از مرکز کره به مرکز حفره است مربوط می‌شود جالب است، نه؟



۱. بار نقطه‌ای  $10^{-8} \text{C}$  در مرکز یک سطح ریاضی قرار دارد که به شکل مکعب و به ضلع  $8 \text{cm}$  است. میانگین مقدار  $E_n$  در یک وجه مکعب چقدر است؟

حل.  $5.9 \times 10^4 \text{N/C}$

۲. میدان الکتریکی در یک منقطه، صورت زیر را به صورت تابعی از  $x$ ،  $y$  و  $z$  دارد:

$$E_x = 510x, \quad E_y = 0, \quad E_z = 0$$

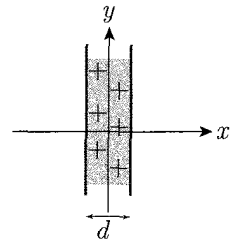
که در آن  $E$  به نیوتن بر کولن و  $x$  به متر است. این میدان نماینده‌ی بار الکتریکی در راستای  $x$  است که مقدار آن به نسبت مستقیم با  $x$  افزایش می‌یابد. نشان دهید که این‌گونه میدان الکتریکی فقط در صورتی وجود دارد که منقطه از یک چگالی بار سطحی پر باشد. مقدار چگالی بار لازم را به صورت تابعی از  $x$ ،  $y$  و  $z$  پیدا کنید.

حل.  $4.4 \times 10^{11} \text{C/m}^2$

۳. بیشینه‌ی مقدار بار الکتریکی در هر واحد طول که می‌توان روی یک موی مستقیم و دراز انسان به قطر  $8 \times 10^{-3} \text{cm}$  قرار دارد به طوری که هوای اطراف دچار تجزیه‌ی الکتریکی نشود، چقدر است؟ هوا در صورتی دچار تجزیه الکتریکی می‌شود که میدان الکتریکی از  $3 \times 10^6 \text{N/C}$  تجاوز کند.

حل.  $7 \times 10^{-9} \text{C/m}$

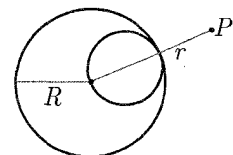
۴. در حجم قرص مسطح بزرگی از پلاستیک (با فرض این‌که پلاستیک اثری بر میدان الکتریکی ندارد) به ضخامت  $d$  مطابق شکل، بار به طور یکنواخت توزیع شده است. چگالی بار  $\rho$  کولن بر متر مکعب است. صفحه‌ی وسط قرص صفحه‌ی  $z - y$  است. میدان الکتریکی در فاصله‌ی  $x$  از وسط صفحه چقدر است؟ هر دو حالت  $|x| < \frac{d}{2}$  و  $|x| > \frac{d}{2}$  را در نظر بگیرید.



شکل ۵۲-۲

$$\begin{cases} \vec{E}(\rho x / \epsilon_0) \hat{x} & x < d/2 \\ \vec{E} = \pm(\rho d / 2 \epsilon_0) \hat{x} & \pm x > d/2 \end{cases}$$

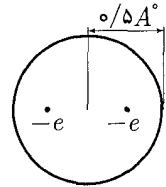
۵. بار مثبت  $Q$  به طور یکنواخت در حجم کره‌ی توپری به شعاع  $R$  توزیع شده است. فرض کنید حفره‌ی کروی به شعاع  $R/2$  در داخل آن ایجاد شده است که مرکز آن در فاصله‌ی  $R/2$  از مرکز کره‌ی توپری اولیه شکل قرار دارد. به ماده‌ی حفره و بار آن کاری نداریم. کره دارای حفره در نقطه‌ی  $P$  به فاصله‌ی  $r$  از مرکز اولیه چه میدان الکتریکی ایجاد می‌کند؟ فرض کنید  $r > R$  است.



شکل ۵۳-۲

حل.  $E_r = \frac{Q}{4\pi\epsilon_0} \left[ \frac{1}{r^2} - \frac{1}{4(r - R/2)^2} \right]$

۶. مطابق مدل تامسون، اتم هلیوم شامل یک ابر کروی یکنواخت با بار مثبت است که در آن دو الکترون نشسته‌اند، فرض کنید که بار مثبت کره‌ای به شعاع  $0.75 \text{ \AA}$  است که بار  $2e$  به طور یکنواخت در حجم آن توزیع شده است. دو الکترون مطابق شکل به طور متقارن نسبت به مرکز جای گرفته‌اند. الکترون‌ها در چه فاصله‌ای از یکدیگر در حالت تعادل قرار می‌گیرند؟  
حل.  $0.75 \text{ \AA}$



شکل ۲-۵۴

۷. ذره‌ی تاو، ذره‌ای با بار منفی مشابه الکترون است اما جرم بسیار بیشتری دارد - جرم آن  $3.18 \times 10^{-27} \text{ kg}$  است یعنی حدود  $3490$  برابر جرم الکترون. ماده‌ی هسته نسبت به تاو شفاف است؛ بنابراین تاو می‌تواند درون هسته تحت تأثیر جاذبه‌ی الکتریکی بار هسته گردش مداری داشته باشد. فرض کنید تاو در مدار دایره‌ای به شعاع  $2.9 \times 10^{-15} \text{ m}$  درون یک هسته‌ی اورانیوم است. هسته را کره‌ای به شعاع  $7.4 \times 10^{-15} \text{ m}$  و بار  $92e$  که به طور یکنواخت در حجم آن توزیع شده، در نظر بگیرید. تندی، انرژی جنبشی، اندازه حرکت زاویه‌ای و بسامد حرکت مداری تاو را بیابید.

حل.  $6.5 \times 10^2 \text{ Hz}$ ,  $1.1 \times 10^{-24} \text{ J.s}$ ,  $2.2 \times 10^{-13} \text{ J}$ ,  $1.2 \times 10^7 \text{ m/s}$

۸. بار الکتریکی پروتون در یک نقطه متمرکز نیست بلکه در یک حجم توزیع شده است طبق بررسی‌های آزمایشی در شتاب‌دهنده‌ی خطی استانفورد، توزیع بار پروتون را می‌توان به طور تخمینی با چگالی باری توصیف کرد که تابع نمایی فاصله‌ی شعاعی است:  $\rho = \frac{e}{4\pi b^2} e^{-r/b}$  که در آن  $b$  یک ثابت و  $b = 0.23 \times 10^{-15} \text{ m}$  است. میدان الکتریکی را به صورت تابعی از فاصله‌ی شعاعی بیابید. مقدار میدان الکتریکی در  $r = 1.0 \times 10^{-15} \text{ m}$  چقدر است؟  
انتگرال زیر به عنوان راه نمایی ارائه می‌شود:

$$\int x^2 e^{-x} dx = -x^2 e^{-x} - 2e^{-x}(x + 1)$$

حل.  $1.2 \times 10^{21} \text{ N/C}$

۹. هنگامی که بار نقطه‌ای  $q$  که با تندی زیاد حرکت می‌کند از بار نقطه‌ای ساکن  $q'$  عبور می‌کند، اثر عمده‌ی نیروهای الکتریکی آن است که به هر باریک تحریک عرضی بدهند. شکل زیر نشان می‌دهد بار  $q$  با سرعت تقریباً ثابت  $v$  در امتداد محور  $x$  روی خطی تقریباً مستقیم حرکت می‌کند و بار  $q'$  در فاصله‌ی  $R$  زیر مبدأ قرار دارد. تحریک عرضی روی  $q$  چنین است:

$$\int_{-\infty}^{\infty} F_y dt = \frac{q}{v} \int_{-\infty}^{\infty} E_y dx$$

مقدار انتگرال سمت راست از طریق قانون گاوس قابل محاسبه است و می‌توان نشان داد که:

$$\int_{-\infty}^{\infty} F_y dt = \frac{q}{v} \cdot \frac{q'}{2\pi\epsilon_0 R}$$

این رابطه اندازه‌ی حرکت عرضی را که یک ذره‌ی باردار با تندی زیاد در عبور از کنار یک ذره‌ی باردار ساکن به دست می‌آورد به دست می‌دهد.

الف) اندازه‌ی حرکت عرضی را که الکترون با تندی  $10^7 \text{ m/s}$  در عبور از کنار یک الکترون ساکن در فاصله‌ی  $10^{-10} \text{ m}$  به دست می‌آورد حساب کنید.

ب) چه سرعت عرضی با این اندازه حرکت منطبق است؟

ج) سرعت پس زدن الکترون ساکن (اگر آزادی حرکت داشته باشد) چقدر است؟

حل. الف)  $1.9 \times 10^{-25} \text{ kg}\cdot\text{m/s}$ ، ب)  $2.1 \times 10^5 \text{ m/s}$ ، ج)  $2.1 \times 10^5 \text{ m/s}$

۱۰. یک کره‌ی مسی توپر به شعاع  $3 \text{ cm}$  دارای بار  $10^{-6} \text{ C}$  است. این کره به طور هم‌مرکز درون یک پوسته‌ی نازک کروی به شعاع  $15 \text{ cm}$  قرار دارد که دارای بار  $3 \times 10^{-6} \text{ C}$  است. فرمولی برای میدان الکتریکی در فضای بین پوسته و کره بیابید. فرمولی برای میدان الکتریکی بیرون پوسته پیدا کنید. این میدان‌های الکتریکی را به صورت تابعی از شعاع رسم کنید.

حل.  $10^{-6} \text{ C}/(4\pi\epsilon_0 r^2)$ ،  $4 \times 10^{-6} \text{ C}/(4\pi\epsilon_0 r^2)$

۱۱. در روزهایی که هوا خوب است، میدان الکتریکی زمین حدود  $10^0 \text{ N/C}$  است. این میدان دارای راستای عمودی و پایین‌سو است. چگالی بار سطحی در زمین چقدر است؟ زمین در یک رسانای مسطح در نظر بگیرید.

حل.  $8.8 \times 10^{-10} \text{ C/m}^2$

۱۲. سیستمی را در نظر بگیرید که شامل یک توپ باردار به شعاع  $R$  که بار آن دارای تقارن کروی است و فضای بیرون آن با چگالی حجمی  $\rho = \frac{\alpha}{r}$  ( $\alpha$  عددی ثابت است و  $r$  فاصله از مرکز توپ می‌باشد).

الف) مقدار بار توپ را طوری بیابید که اندازه میدان الکتریکی بیرون توپ، مستقل از  $r$  باشد.

ب) اندازه میدان الکتریکی چقدر است؟

حل. الف)  $q = 2\pi\alpha R^2$ ، ب)  $E = \frac{\alpha}{2\epsilon_0}$

۱۳. فضایی با چگالی حجمی بار  $\rho = \rho_0 e^{-\alpha r^3}$  پر شده که  $\rho_0$  و  $\alpha$  اعدادی ثابت و  $r$  فاصله از مرکز این سیستم است. اندازه بردار میدان الکتریکی را به صورت تابعی از  $r$  بیابید. عبارت به دست آمده را برای مقادیر بسیار کوچک و بزرگ  $1 << \alpha r^3 << 1$  بررسی نمایید.

حل.  $E_r = \frac{\rho_0}{3\epsilon_0 \alpha r^2} (1 - e^{-\alpha r^3})$ ،  $E_r \simeq \frac{\rho_0 r}{3\epsilon_0}$  ( $\alpha r^3 << 1$ )

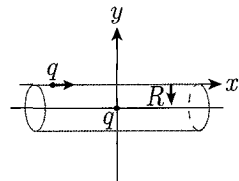
$E_r \simeq \frac{\rho_0}{3\epsilon_0 \alpha r^2}$  ( $\alpha r^3 >> 1$ )

۱۴. داخل توپی که با چگالی حجمی  $\rho$  به صورت یکنواخت باردار شده است، حفره‌ای کروی شکل قرار دارد، مرکز این کره به اندازه بردار  $\vec{a}$  از مرکز توپ جابه‌جا شده است، بردار  $\vec{E}$  در داخل حفره را محاسبه کنید.

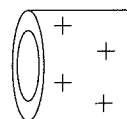
حل.  $\frac{\rho}{3\epsilon_0} \vec{a}$

۱۵. داخل استوانه‌ای به طول بی‌نهایت، که به صورت یکنواخت با چگالی حجمی بار  $\rho$  باردار شده است، حفره‌ای استوانه‌ای شکل قرار دارد، فاصله بین محور استوانه و محور حفره برابر  $a$  است. بردار  $\vec{E}$  را در داخل حفره بیابید.

حل.  $\frac{\rho}{2\epsilon_0} \vec{a}$



شکل ۵۵-۲



شکل ۵۶-۲

۱۶. یک ریسمان بسیار بلند با چگالی بار خطی یکنواخت  $\lambda$  را روی محور دایره‌ای به شعاع  $R$  قرار می‌دهیم به طوری که انتهای ریسمان منطبق بر مرکز دایره باشد. شار الکتریکی گذرنده از دایره را بیابید.

حل.  $\pm \frac{\lambda R}{2\epsilon_0}$

۱۷. در بار نقطه‌ای  $q, -q$  مطابق شکل به فاصله  $2l$  از یکدیگر قرار دارند، مطلوب است محاسبه شار میدان الکتریکی گذرنده از دایره‌ای به شعاع  $R$ .

حل.  $\frac{q}{\epsilon_0} \left( 1 - \frac{L}{\sqrt{L^2 + R^2}} \right)$

۱۸. توپی به شعاع  $R$  به صورت یکنواخت با چگالی بار حجمی (بار بر واحد حجم)  $\rho$  باردار شده است. شار الکتریکی گذرنده از سطح مقطع توپ که در اثر تقاطع صفحه‌ای با فاصله‌ی  $r_0 < R$  از مرکز کره به وجود آمده است را بیابید.

حل.  $\frac{\pi \rho r_0}{3\epsilon_0} (R^2 - r_0^2)$

۱۹. یک میدان الکتریکی فقط تابعی است از  $x$  و  $y$  و از رابطه  $\vec{E} = \frac{a(x\hat{i} + y\hat{j})}{x^2 + y^2}$  تبعیت می‌کند،  $a$  عددی ثابت است و  $i$  و  $j$  بردارهای یکه هستند. مطلوب است محاسبه شار میدان الکتریکی گذرنده از کره‌ای به شعاع  $R$  که مرکز آن منطبق بر مرکز مختصات باشد.

حل.  $4\pi a R$

۲۰. توپی به شعاع  $R$  دارای بار مثبتی است که چگالی بار حجمی آن برابر  $\rho = \rho_0 \left( 1 - \frac{r}{R} \right)$  می‌باشد. در این رابطه  $r$  فاصله از مرکز توپ و  $\rho_0$  عددی ثابت است. مطلوب است:

الف) اندازه شدت میدان الکتریکی به صورت تابعی از  $r$  هم در داخل توپ و هم در خارج آن.

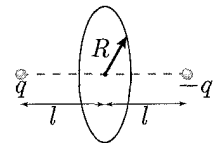
ب) ماکزیمم شدت  $E_{\max}$  و فاصله‌ی مربوط به آن  $r_m$ .

حل. الف)  $\frac{\rho_0}{3\epsilon_0} \left( r - \frac{3r^2}{4R} \right) \quad (r < R)$

ب)  $E = \frac{\rho_0 R}{6\epsilon_0}, \quad r = \frac{2R}{3}, \quad \frac{\rho_0 R^3}{12r^2\epsilon_0} \quad (r > R)$

۲۱. فرض کنید چگالی بار سطحی موجود بر روی کره‌ای به شعاع  $R$  بستگی به زاویه کروی  $\theta$  به صورت  $\sigma = \sigma_0 \cos \theta$  داشته باشد، که  $\sigma_0$  یک ثابت مثبت است. نشان دهید که این توزیع بار معادل است با دو توپ باردار به شعاع  $R$  که به صورت یکنواخت باردار شده‌اند و به فاصله‌ی کمی از یکدیگر قرار دارند. بارهای دو توپ از نظر اندازه با هم برابر و از نظر علامت مخالف هم هستند، با توجه به این معادل‌سازی بردار شدت میدان الکتریکی در داخل کره مفروض را بیابید.

حل.  $\frac{\sigma_0}{3\epsilon_0} \vec{k}$  (بردار واصل مراکز)



شکل ۲-۵۷





۱. مسئله‌ی ۱۰، مرحله‌ی اول یازدهمین المپیاد فیزیک ایران  
یک پوسته‌ی فلزی که روی پایه‌ی نارسانا قرار دارد، بار الکتریکی  $Q$  دارد. نیرویی که بر قسمت کوچکی از این پوسته وارد می‌شود را  $F$  می‌نامیم. نیروی  $F$ :

- (الف) به طرف بیرون پوسته و متناسب با  $Q$  است.
- (ب) به طرف داخل پوسته و متناسب با  $Q^2$  است.
- (ج) به طرف بیرون پوسته و متناسب با  $Q^2$  است.
- (د) به طرف داخل پوسته و متناسب با  $Q$  است.

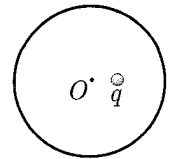
(ه) به طرف بیرون است اگر  $Q > 0$  و به طرف داخل است اگر  $Q < 0$ ، و در هر صورت متناسب با  $Q$  است.

۲. مسئله‌ی ۳، مرحله‌ی اول یازدهمین المپیاد فیزیک ایران

مطابق شکل، بار نقطه‌ای  $q$  درون یک پوسته‌ی کروی رسانای بدون بار قرار دارد. از طرف کره بر بار  $q$ :

(الف) نیرویی وارد نمی‌شود.

- (ب) نیرویی در راستای شعاع و به سمت مرکز وارد می‌شود.
- (ج) نیرویی در راستای شعاع و به سمت خارج وارد می‌شود.
- (د) نیرویی در راستای عمود بر شعاع وارد می‌شود.

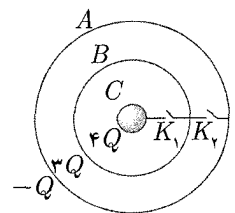


شکل ۲-۵۸ سؤال ۲

۳. مسئله‌ی ۲۸ مرحله‌ی اول سیزدهمین المپیاد فیزیک ایران

پوسته‌های کروی فلزی  $A$  و  $B$  و کره‌ی فلزی  $C$  را مطابق شکل (۲-۵۹) در نظر بگیرید. بار الکتریکی کره‌ها به ترتیب  $Q_A = -Q$ ،  $Q_B = 3Q$  و  $Q_C = 4Q$  است. با بستن کلیدهای  $k_1$  و  $k_2$  کره‌ها به هم متصل می‌شوند. پس از تعادل، کدام گزینه درست است؟

- (الف)  $Q_C = +2Q$ ،  $Q_B = 0$ ،  $Q_A = +4Q$
- (ب)  $Q_C = 0$ ،  $Q_B = 0$ ،  $Q_A = +6Q$
- (ج)  $Q_C = Q_B = Q_A = +2Q$
- (د)  $Q_C = +Q$ ،  $Q_B = +2Q$ ،  $Q_A = +3Q$

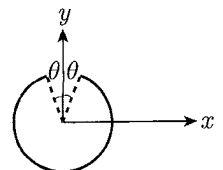


شکل ۲-۵۹ سؤال ۳

۴. مسئله‌ی ۸، مرحله‌ی اول هفدهمین المپیاد فیزیک کشور

روی میله‌ی نازکی به شکل بخشی از دایره، بار الکتریکی مثبت، به طور یکنواخت توزیع شده است. مرکز این دایره مبدأ مختصات و دایره در صفحه‌ی  $xy$  است. میدان الکتریکی در نقطه‌ی  $(x = 0, y = 0, z > 0)$  می‌شود  $\vec{E} = E_x \vec{i} + E_y \vec{j} + E_z \vec{k}$ . کدام گزینه درست است؟

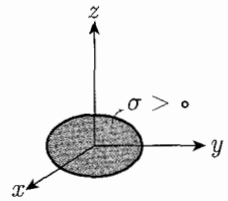
- (الف)  $E_z < 0$ ،  $E_y < 0$
- (ب)  $E_z > 0$ ،  $E_y < 0$
- (ج)  $E_z < 0$ ،  $E_y > 0$
- (د)  $E_z > 0$ ،  $E_y > 0$



شکل ۲-۶۰ سؤال ۴

۵. مسئله‌ی ۲۲، مرحله‌ی اول هجدهمین المپیاد فیزیک ایران

یک قرص یکنواخت باردار شده را در نظر بگیرید که در صفحه‌ی  $xy$  است. مرکز قرص مبدأ مختصات و بار قرص مثبت است. نقطه‌ای با مختصات  $(x, y, z)$  را در نظر بگیرید، که  $z > 0$  و  $x > 0$  و  $y = 0$  است. کدام گزینه درباره‌ی  $E_x$  (مؤلفه‌ی  $x$  میدان الکتریکی حاصل از این قرص در این نقطه) درست است؟



شکل ۲-۶۱ سؤال ۵

(الف) حتماً  $E_x$  منفی است.

(ب) حتماً  $E_x$  صفر است.

(ج) حتماً  $E_x$  مثبت است.

(د)  $x$ هایی هست که  $E_x$  مثبت است و  $x$ هایی هم هست که  $E_x$  منفی است.

۶. مسئله‌ی ۱، آزمون دوم، تابستان ۱۳۷۶

دو صفحه‌ی بی‌نهایت مطابق شکل که به فاصله‌ی  $l$  از یکدیگر هستند، چگالی بار سطحی یکنواخت  $+\sigma$  و  $-\sigma$  را دارند. این دو صفحه دارای دو سوراخ دایره‌ای هم‌مرکز به شعاع  $R$  هستند.

(الف) میدان الکتریکی بر روی محور عبورکننده از مرکز سوراخ‌ها را به دست آورید.

(ب) میدان الکتریکی شعاعی را در نقاط دور از صفحه‌ها و نزدیک محور پیدا کنید.

(ج) شکل تقریبی میدان الکتریکی را رسم نمایید.

مبدأ مختصات را وسط دو صفحه و روی محور انتخاب کنید.

۷. مسئله‌ی چهار، آزمون دوم، تابستان ۱۳۷۷

یک چهارقطبی الکتریکی، (شکل ۲-۶۲) از یک بار  $-2q$  و دو بار  $+q$  روی محور  $z$  تشکیل شده است، فاصله‌ی بارها از یکدیگر  $l$  است.

(الف) خطوط میدان الکتریکی را ترسیم کنید.

(ب) خطوط میدان الکتریکی که از بار  $+q$  در زاویه قطبی  $\delta\theta$  از قطب شمال و جنوب آن سرچشمه می‌گیرند، در چه زاویه قطبی  $\delta\theta'$  و  $\delta\theta''$  روی بار  $-2q$  فرود می‌آیند؟

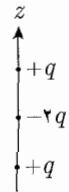
(ج) میدان الکتریکی ناشی از این چهارقطبی روی محور  $z$  کدام است؟

(د) با استفاده از قانون گاوس میدان الکتریکی شعاعی را در امتداد بردار واحد  $e_\rho$  و در نقاط دور از بارها و نزدیک محور  $z$  به دست آورید. ( $e_\rho$  بردار واحد شعاعی در مختصات استوانه‌ای است.)

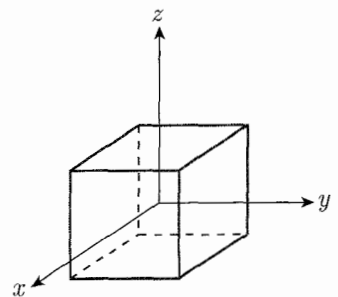
۸. مسئله‌ی ۲، آزمون اول تابستان ۱۳۸۰

مکعبی نارسانا را در نظر بگیرید که تمام وجوهش دارای چگالی بار سطحی  $\sigma$  است.

(الف) با استفاده از تقارن نشان دهید، میدان در مرکز مکعب صفر است.



شکل ۲-۶۲

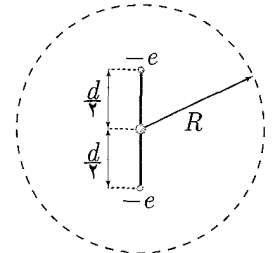


شکل ۲-۶۳ سؤال ۸

ب) حال فرض کنید کمی از مرکز مکعب دور می‌شویم (یعنی از  $(0, 0, 0)$  به  $(x, y, z)$  می‌رویم). با بسط دادن هر یک از مؤلفه‌های میدان حول مرکز مکعب تا مرتبه‌ی اول نسبت به  $x, y, z$  و با استفاده از تقارن و قانون گاوس، نشان دهید تغییرات مرتبه‌ی اول میدان در راستای عمود بر وجه‌ها صفر است.

۹. مسئله‌ی ۱، آزمون دوم، تابستان ۱۳۸۰

در مدل اتمی تامسون، اتم هلیوم تشکیل شده از یک کره به شعاع  $R$  که به طور یکنواخت بار  $+2e$  دارد، به علاوه دو الکترون که هر کدامشان  $-e$  است. این دو الکترون در داخل کره مثبت قرار دارند. فاصله  $d$  بین دو الکترون چقدر باشد تا وضعیت متقارن شکل ۲-۶۴، وضعیت تعادل باشد؟ (در این وضعیت الکترون‌ها حرکت نمی‌کنند.)



شکل ۲-۶۴ سؤال ۹

۱۰. مسئله‌ی ۱، آزمون پنجم، تابستان ۱۳۸۰

در مدل اتمی تامسون، هسته، کره‌ای است به شعاع  $R$  که بار  $+Ze$  به طور یکنواخت در حجم آن توزیع شده است و  $Z$  تا الکترون (هر یک با بار  $-e$ ) در آن قرار دارند.

الف) برای  $Z = 3$  یک آرایش ساکن وجود دارد. سه الکترون در سه رأس یک مثلث متساوی‌الاضلاع قرار دارند و مرکز تقارن این مثلث همان مرکز هسته است. طول ضلع این مثلث را حساب کنید.

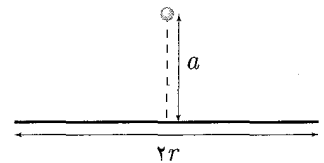
ب) برای  $Z = 4$  نیز یک آرایش ساکن وجود دارد. چهار الکترون در چهار رأس یک هرم منتظم در داخل هسته می‌باشند و مرکز تقارن این هرم همان مرکز هسته می‌باشد. طول ضلع این هرم را حساب کنید.

۱۱. مسئله‌ی ۶، آزمون اول، تابستان ۱۳۸۲

در این مسئله میدان الکتریکی چگالی بار خطی روی میله را مورد بررسی قرار می‌دهیم.

الف) میدان الکتریکی در فاصله‌ی عمودی  $a$  از میله‌ی بی‌نهایت طولی با چگالی بار یکنواخت  $\lambda$  را بیابید. این میدان را  $E_0$  می‌نامیم.

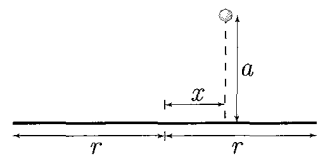
ب) میدان الکتریکی در فاصله‌ی عمودی  $a$  از مرکز میله‌ای به طول  $2r$  را  $E$  می‌نامیم اگر  $\epsilon = \frac{a}{r}$  کوچک باشد.  $\frac{E}{E_0}$  را بسط تیلور داده و جملات آن را تا مرتبه‌ی  $\epsilon^2$  نگه دارید.



شکل ۲-۶۵ سؤال ۱۱-الف

ج) اگر نقطه‌ی مورد نظر در فاصله‌ی عمودی  $a$  از میله اما به فاصله‌ی افقی  $x$  از مرکز میله قرار داشته باشد، مؤلفه‌ی عمود بر میله‌ی میدان را برای  $\frac{x}{r}$  های کوچک محاسبه کنید.

د) چقدر کوچک باشد تا با دقت  $1\%$  مؤلفه‌ی عمود بر میله‌ی میدان الکتریکی یکنواخت باشد.

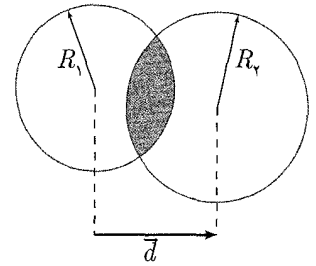


شکل ۲-۶۶ سؤال ۱۱-ج

۱۲.

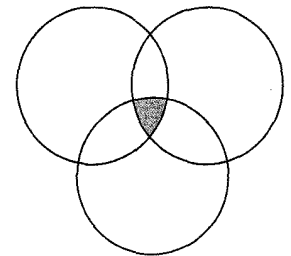
الف) دو کره‌ی نارسانا به شعاع‌های  $R_1$  و  $R_2$ ، به ترتیب با چگالی بار الکتریکی حجمی ثابت  $\rho_1$  و  $\rho_2$  را مطابق شکل (۲-۶۷) طوری کنار یکدیگر قرار می‌دهیم که در یک ناحیه هم‌پوشانی

کنند، یعنی  $d < R_1 + R_2$  که بردار واصل مراکز کره از کره ۱ به سمت کره ۲ می‌باشد. شرطی بین پارامترهای مسئله بیاید که به ازای آن اندازه‌ی میدان الکتریکی در ناحیه‌ی هم‌پوشانی (ناحیه‌ی هاشور خورده در شکل (۶۷-۲)) ثابت باشد. در این شرایط جهت و راستای میدان را در راستای مذکور تعیین کنید.



شکل ۶۷-۲

(ب) حال سه کره نارسانا به شعاع‌های  $R_1, R_2, R_3$ ، به ترتیب با چگالی بار الکتریکی حجمی ثابت  $\rho_1, \rho_2, \rho_3$  را مطابق شکل (۶۸-۲) طوری کنار یکدیگر قرار می‌دهیم که در یک ناحیه هر سه هم‌پوشانی (ناحیه هاشور خورده در شکل (۶۸-۲)) کنند. شرطی را به دست آورید که به ازای آن، اندازه‌ی میدان الکتریکی در ناحیه‌ی مشترک بین هر سه کره ثابت باشد.



شکل ۶۸-۲

**تعریف** بردار  $\vec{d}_{ij}$  را بردار واصل مراکز کره‌های  $i$  و  $j$  در جهت از مرکز  $i$  به مرکز  $j$  تعریف می‌کنیم.

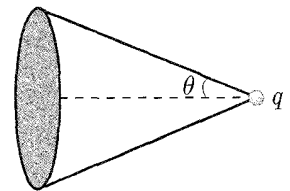
(ج) فرض کنید شرط قسمت (ب) برقرار است. در صورتی که میدان در ناحیه‌ی هم‌پوشانی بر راستای  $\vec{d}_{13}$  عمود باشد، نسبت بین چگالی‌ها را به دست آورید. به عبارت دیگر  $\alpha_1, \alpha_2$  و  $\alpha_3$  را در رابطه‌ی

$$\frac{\rho_1}{\alpha_1} = \frac{\rho_2}{\alpha_2} = \frac{\rho_3}{\alpha_3}$$

بر حسب  $\vec{d}_{ij}$ ‌ها بیابید.

(د) حالتی را در نظر بگیرید که در آن  $N$  کره به شعاع‌های  $R_1$  تا  $R_N$  به ترتیب با چگالی بارهای حجمی ثابت  $\rho_1$  تا  $\rho_N$  چنان در کنار یکدیگر قرار گرفته‌اند که در یک ناحیه همگی هم‌پوشانی می‌کنند. با توجه به قسمت‌های (الف) و (ب)، شرطی را بیابید که اندازه‌ی میدان در این ناحیه هم‌پوشانی ثابت باشد.

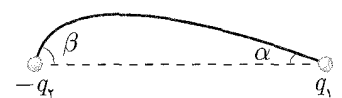
۱۳. می‌دانیم اگر بار نقطه‌ای  $q$  در مقابل صفحه‌ای دایره‌ای و روی محور تقارن آن قرار داشته باشد (مطابق شکل (۶۹-۲))، شار میدان الکتریکی گذرنده از صفحه‌ی دایره‌ای برابر است با:  $(1 - \cos \theta) \frac{q}{2\epsilon_0}$  که در آن  $\theta$  زاویه‌ی گشودگی مخروط است به رأس  $q$  و قاعده‌ی صفحه‌ی دایره‌ای. حال فرض کنید دو بار الکتریکی نقطه‌ای  $q_1$  و  $q_2$  در مقابل هم قرار گرفته‌اند. یک خط میدان الکتریکی را در نظر بگیرید که با زاویه‌ی  $\alpha$  از  $q_1$  خارج می‌شود.



شکل ۶۹-۲

(الف) این خط میدان با چه زاویه‌ای وارد بار  $-q_2$  می‌شود؟ (یعنی  $\beta$  را در شکل (۷۰-۲)) بیابید.  
(ب) معادله‌ی این خط میدان را به صورت  $f(x, y) = 0$  به دست آورید.

(ج) حال فرض کنید تعداد دلخواهی ( $N$ ) بار نقطه‌ای روی محور  $x$ ‌ها قرار دارند. مقدار بارها  $q_i$  و مکان آنها  $x_i$  است. هر کدام از  $q_i$ ‌ها می‌توانند مثبت یا منفی باشند. مطلوب است محاسبه‌ی معادله‌ی خطوط میدان به صورت  $f(x, y) = \text{cte}$  بر حسب  $q_i$ ‌ها و  $x_i$ ‌ها.



شکل ۷۰-۲

(د) پاسخ قسمت (الف) را با استفاده از رابطه‌ی قسمت (ج) به دست آورید.



## ۱. حل. □■□□

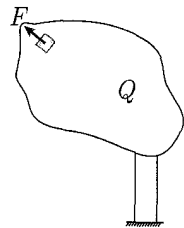
پوسته‌ی فلزی را مطابق شکل به صورت دلخواه در نظر می‌گیریم. مطابق آنچه گفته شد، می‌دانیم که میدان در داخل پوسته‌ی فلزی باردار صفر است و در محل پوسته، در هر قسمت بسته به علامت بار کره به طرف داخل یا بیرون پوسته است و عمود بر آن است. همچنین می‌دانیم که میدان بر روی پوسته با  $Q$  متناسب است. از آنجا که شکل پوسته دلخواه در نظر گرفته شده است، توزیع بار الکتریکی نیز بر روی آن یکنواخت نخواهد بود و میدان در نقاط مختلف آن متفاوت خواهد بود. میدان الکتریکی در حالت کلی با چگالی سطحی بار در هر نقطه متناسب است. اگر بار کل کره،  $Q$ ، تغییر کند، چگالی بار هر نقطه نیز متناسب با آن تغییر می‌کند. بنابراین نتیجه‌گیری «میدان در هر نقطه از سطح پوسته با  $Q$  متناسب است» نتیجه‌ی معقولی به نظر می‌رسد. المان کوچکی از سطح پوسته را، همان‌طور که در شکل نشان داده شده است، در نظر می‌گیریم و مساحت آن را  $dA$  می‌نامیم. چگالی بار سطحی  $\sigma$  بر روی این سطح جزء بار  $dQ$  به وجود آورده است:

$$dQ = \sigma \cdot dA$$

$\sigma$  همان‌طور که گفته شد با بار کل  $Q$  متناسب است، بنابراین جزء بار  $dQ$  نیز با بار کل  $Q$  متناسب خواهد بود. نیروی وارده بر این المان کوچک که  $F$  نامیده شده است، با میدان و بار این المان متناسب است. داریم:  $F = EdQ$ . بنابراین نیروی  $F$  با توان دوم  $Q$  متناسب بوده است. جهت آن نیز با مثبت یا منفی فرض کردن  $Q$  به دست می‌آید. المان با بار مثبت  $Q$  در میدان به سمت بیرون و المان بار منفی در میدان به سمت درون قرار می‌گیرد و در هر دو حالت نیروی وارد بر جزء بار به طرف بیرون پوسته خواهد بود. بنابراین گزینه‌ی «ج» صحیح است.

## ۲. حل. □■□□

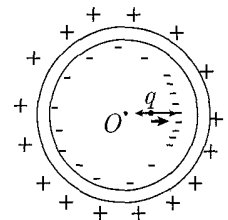
برای دریافت درک درستی از وضعیت بار نقطه‌ای  $q$  در این پوسته‌ی کروی بی‌بار، آزمون بار مثبت  $q$  را در نظر می‌گیریم. می‌دانیم که در این حالت، بار منفی بر سطح داخلی پوسته‌ی کروی القا می‌شود، به شیوه‌ای که بر حسب نزدیکی به بار  $q$ ، چگالی بار القایی نیز مثبت است. به عبارت بهتر بارهای الکتریکی آزاد موجود بر پوسته حرکت می‌کنند و چیدمانی را به خود می‌گیرند که با ثابت نگه داشته شدن بار  $q$  در محل خود، پوسته‌ی کروی به تعادل برسد و بارها ساکن شوند. بارهای القایی منفی واقع بر سطح داخلی کره متناظرند با بارهای مثبت واقع بر سطح بیرونی آن. سطح بیرونی کره، بر خلاف درون آن توزیع بار یکنواختی خواهد داشت، به طوری که میدان ناشی از توزیع بار مثبت سطح بیرونی کره در درون آن صفر شود. تقارن مسئله ایجاب می‌کند که چگالی بارهای منفی القایی بر سطح درونی نسبت به قطری از کره که از بار  $q$  می‌گذرد، متقارن باشد. بنابراین، نیرویی که از طرف این بارها بر  $q$  وارد می‌شود،



شکل ۲-۷۱

در راستای همین محور خواهد بود. مطابق شکل ۲-۷۲، توزیع بارهای داخلی، جهت نیروی وارد بر بار  $q$  را مشخص می‌کند.

بارهای منفی نزدیک به  $q$  که بیشتر از بارهای منفی دور از آن هستند، نیروی جاذبه‌ی بیشتری وارد می‌کنند. بارهای مثبت بیرونی هم همان‌طور که گفته شد تأثیری بر داخل کره ندارند. بنابراین در مجموع نیروی برآیندی در راستای شعاع کره و به سمت خارج از  $O$  به  $q$  وارد می‌شود. بنابراین گزینه‌ی «ج» صحیح است. بد نیست یادآوری کنیم که همین نیرو متقابلاً از طرف بار  $q$  بر کره‌ی بردار هم وارد می‌شود.



شکل ۲-۷۲

۳. حل. □□■□

همان‌طور که دیدیم، با اتصال دو جسم رسانا به یکدیگر، دو جسم مجموعاً یک رسانا را تشکیل می‌دهند. در مورد سه کره‌ی  $A$ ،  $B$  و  $C$  با بستن دو کلید  $k_1$  و  $k_2$ ، سه کره به هم متصل می‌شوند و یک جسم رسانا را به وجود می‌آورند. می‌دانیم که در یک جسم رسانای بردار در حال تعادل، بارها تنها روی خارجی‌ترین بخش آن قرار می‌گیرند. پوسته‌ی  $A$  در این جسم پوسته‌ی خارجی جسم رسانا محسوب می‌شود و مجموع بارهای سه کره، که اکنون بار جسم کل محسوب می‌شود بر روی پوسته‌ی  $A$  قرار خواهد گرفت. بار دو کره‌ی  $B$  و  $C$  نیز صفر خواهد شد.

$$Q'_A = Q_A + Q_B + Q_C = -Q + 3Q + 4Q = 6Q$$

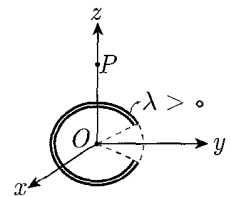
$$Q'_B = 0$$

$$Q'_C = 0$$

بنابراین گزینه‌ی «ب» صحیح است.

۴. حل. ■□□□

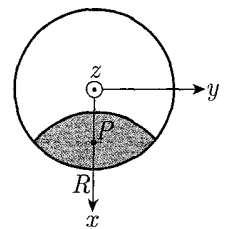
با توجه به شکل سه‌بعدی رسم شده (شکل ۲-۷۳) توزیع بار مثبت بر روی میله‌ی نازک نسبت به محور  $y$  متقارن است. بنابراین میدان در نقطه‌ی  $(x = 0, y = 0, z > 0)$  که نقطه‌ای روی محور  $z$  است، مؤلفه‌ای در راستای محور  $x$  نخواهد داشت. بنابراین  $E_x = 0$ . از آنجا که چگالی بار خطی میله مثبت است، میدان نقطه‌ی  $P$  مثبت خواهد بود. بدین معنی که هر بار مثبت واقع در نقطه‌ی  $P$  از سوی میله دفع می‌شود. از آنجا که تعداد بار مثبت بیشتری در سوی منفی محور  $y$  وجود دارد. میدان در راستای محور  $y$  بر نقطه‌ی مورد نظر مثبت خواهد بود؛ یعنی  $E_y > 0$ . میدان راستای  $z$  هم فقط می‌تواند مثبت (ناشی از دافعه) باشد. بنابراین  $E_z > 0$ . پس گزینه‌ی «د» صحیح است.



شکل ۲-۷۳ سؤال ۴

۵. حل. □■□□

نقطه‌ی  $(x, y, z)$  با شرایط  $x > 0$  و  $z > 0$  در صفحه‌ی مثبت  $xz$  واقع است. مطابق شکل ۲-۶۱ (در صورت سؤال) اگر شعاع قرص  $R$  باشد، در هر نقطه با  $x \geq R$  میدان ناشی از بارهای مثبت قرص در راستای محور  $x$  مثبت است. برای سایر نقاط صفحه‌ی  $xz$  که  $0 < x < R$  دارند، شکل ۲-۷۴ را در نظر می‌گیریم.



شکل ۲-۷۴

توجه کنید که نمایش هر نقطه‌ی مفروض بر صفحه‌ی  $xz$  در این شکل، تصویر شده‌ی نقطه بر سوی مثبت محور  $x$  خواهد بود. نقطه‌ی  $P$  را در نظر می‌گیریم. در این نقطه، میدانی ناشی از دو بخش هاشورخورده‌ی نشان داده شده از لحاظ مقدار برابر و در جهت عکس است. بنابراین باید سایر بخش‌های هاشور نخورده را در نظر گرفت. با توجه به مثبت بودن بار قرص،  $E_x$  در نقطه‌ی  $P$  مقدار مثبتی خواهد بود. بنابراین  $E_x$  حتماً مثبت است و گزینه‌ی «ج» صحیح است.

۶. حل. الف) میدان الکتریکی ناشی از هر یک از صفحه‌ها با سوراخ را می‌شود به دو صورت به دست آورد: اول این‌که با المان‌گیری مستقیم میدان را به دست آورد و دوم این‌که از اصل برهم‌نهی. دو صفحه‌ی بی‌نهایت با سوراخ وسط‌شان معادلند با دو صفحه‌ی بی‌نهایت به اضافه دو صفحه‌ی دایره‌ای شکل با بارهای مخالف هر صفحه و همان چگالی بار، در حل این سؤال از راهکار اول استفاده می‌کنیم و روش دوم را به عهده‌ی خواننده می‌گذاریم. از فصل قبل می‌دانیم که میدان الکتریکی یک المان حلقوی بار به شکل زیر برابر است با:

$$dE = \frac{1}{4\pi\epsilon_0} \frac{\sigma(2\pi r z dr)}{(r^2 + z^2)^{3/2}}$$

شکل برای هر مورد نشان می‌دهد که شعاع برای هر کدام از این دو صفحه بین  $R$  و  $\infty$  تغییر می‌کند، پس  $E$  روی هر محور برابر است با:

$$E = \int dE = \frac{1}{\epsilon_0} \sigma z \int_R^\infty \frac{r dr}{(r^2 + z^2)^{3/2}} = \frac{\sigma}{2\epsilon_0} \cdot \frac{z}{\sqrt{R^2 + z^2}}$$

در این رابطه  $z$  از سطح صفحه سنجیده شده بود، حالا میدان را برای دو صفحه‌ی موازی با محور در وسط دو صفحه محاسبه می‌کنیم

$$E = E + (+E_-) = \frac{\sigma}{2\epsilon_0} \cdot \frac{z - L/2}{\sqrt{R^2 + (z - L/2)^2}} - \frac{\sigma}{2\epsilon_0} \cdot \frac{z + L/2}{\sqrt{R^2 + (z + L/2)^2}}$$

ب) برای این قسمت فرض می‌کنیم که اندکی از محور دور شده‌ایم و در آنجا میدان وجود دارد (در راستای شعاعی) برای به دست آوردن میدان در راستای شعاعی، یک المان دیفرانسیلی حجم (یک سطح بسته دیفرانسیلی مانند شکل (۲-۷۶) در نظر می‌گیریم) و قانون گاوس را برای آن می‌نویسیم:

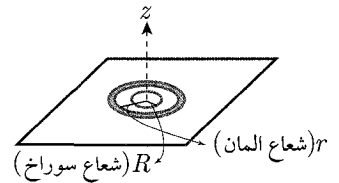
$$S_1 \rightarrow E = \frac{\sigma}{2\epsilon_0} \left( \frac{z - L/2}{\sqrt{R^2 + (z - L/2)^2}} - \frac{z + L/2}{\sqrt{R^2 + (z + L/2)^2}} \right)$$

$$S_2 \rightarrow E(z + dz) = E(z) + \frac{\partial E(z)}{\partial z} dz$$

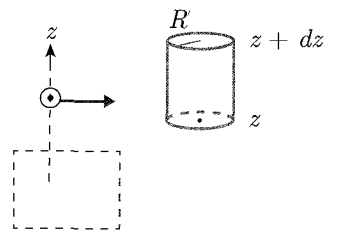
$$S_3 \rightarrow E(r) \text{ مجهول}$$

$$\epsilon_0 \oint_S \vec{E} \cdot d\vec{A} = q = 0 \rightarrow \oint_S \vec{E} \cdot d\vec{A} = 0$$

$$\rightarrow -E(z) \cdot \pi R^2 + E(z + dz) \cdot \pi R^2 - E(R) \cdot 2\pi R dz = 0$$

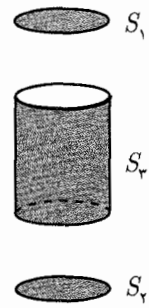


شکل ۲-۷۵



شکل ۲-۷۶

پس برای پیدا کردن  $E(r)$  تنها لازم داریم که  $E(z + dz)$  را حساب کنیم، بسط تا مرحله‌ی اول:



شکل ۲-۷۷

$$\begin{aligned}
 E(z + dz) &= E(z) + \frac{\partial E(z)}{\partial z} \cdot dz \\
 &= \frac{\sigma}{2\epsilon_0} \left( \frac{z - L/2}{\sqrt{R^2 + (z - L/2)^2}} - \frac{z + L/2}{\sqrt{R^2 + (z + L/2)^2}} \right) \\
 &\quad \text{با ضرب صورت و مخرج جمله‌ی دوم در } \sqrt{R^2 + (z + h/2)^2} \\
 \rightarrow E(z + dz) &= \frac{\sigma}{2\epsilon_0} \left( \frac{z - L/2}{\sqrt{R^2 + (z - L/2)^2}} - \frac{z + L/2}{\sqrt{R^2 + (z + L/2)^2}} \right) \\
 &\quad + \frac{\sigma}{2\epsilon_0} \left[ \frac{R^2}{(R^2 + (z - L/2)^2)^{3/2}} - \frac{R^2}{(R^2 + (z + L/2)^2)^{3/2}} \right]
 \end{aligned}$$

با توجه به این‌که گفته شده میدان در فاصله‌ای دور از صفحه رسم شده، می‌توان  $z$  را در برابر  $L$  و  $R$  به بی‌نهایت میل داد.

$$\begin{aligned}
 \lim_{z \rightarrow \infty} \left( -E(z) \cdot \pi R^2 + \left[ E(z) + \frac{\partial E}{\partial z} \cdot dz \right] \pi R^2 - E(R') \cdot 2\pi R' dz \right) &= 0 \\
 \rightarrow \lim_{z \rightarrow \infty} \pi R^2 \frac{\partial E}{\partial z} \cdot dz - E(R) \cdot 2\pi R' dz &= 0 \\
 \rightarrow \lim_{z \rightarrow \infty} \frac{\partial E}{\partial z} \cdot \pi R^2 = E(R) \cdot 2\pi R' \rightarrow \lim_{z \rightarrow \infty} \frac{\partial E}{\partial z} = E(R) \cdot \frac{2}{R} \\
 \rightarrow \frac{\sigma R^2}{2\epsilon_0} \lim_{z \rightarrow \infty} \left[ \frac{1}{(R^2 + (z - L/2)^2)^{3/2}} - \frac{1}{(R^2 + (z + L/2)^2)^{3/2}} \right] &= \frac{2E(R')}{R'} \\
 &= \frac{\sigma R^2}{2\epsilon_0} \cdot \frac{1}{z^3} \left[ \frac{1}{\left( \frac{R^2}{z^2} + \left( 1 - \frac{L}{2z} \right)^2 \right)^{3/2}} - \frac{1}{\left( \frac{R^2}{z^2} + \left( 1 + \frac{L}{2z} \right)^2 \right)^{3/2}} \right] \\
 &\quad \text{چون } \lim_{x \rightarrow 0} (1+x)^\alpha = 1 + \alpha x + \dots \\
 &= \frac{\sigma R^2}{2\epsilon_0} \cdot \frac{1}{z^3} \left[ \left( 1 - \frac{L}{2z} \right)^{-3} - \left( 1 + \frac{L}{2z} \right)^{-3} \right] \\
 \rightarrow \frac{\sigma R^2}{2\epsilon_0} \cdot \frac{1}{z^3} \left[ 1 + \frac{3L}{2z} - \left( 1 - \frac{3L}{2z} \right) \right] \\
 &= \frac{\sigma R^2}{2\epsilon_0} \cdot \frac{1}{z^3} \cdot \frac{3h}{z} = \frac{2E(R')}{R'} \\
 \rightarrow \frac{\sigma R^2}{2\epsilon_0} \cdot \frac{1}{z^3} \cdot \frac{3L}{z} &= \frac{2E(R')}{R'} \\
 \rightarrow E(R') &= \frac{3\sigma R^2 R' L}{4\epsilon_0} \cdot \frac{1}{z^4}
 \end{aligned}$$

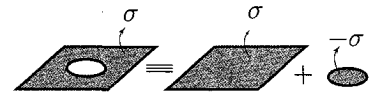
ج) برای این قسمت از راه‌حل دوم استفاده می‌کنیم توزیع بار نشان داده شده را به صورت برهم‌نهی چهار المان، دو صفحه‌ی بی‌نهایت با چگالی  $\pm\sigma$  و دو دیسک بار به شعاع  $R$  با چگالی سطحی با  $\pm\sigma$ .



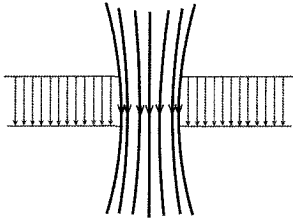
میدان ناشی از برهم نهی میدان دو صفحه بی نهایت در همی نقاط غیر از بین دو صفحه

$$E = \frac{+\sigma}{2\epsilon_0} + \frac{-\sigma}{2\epsilon_0} = 0$$

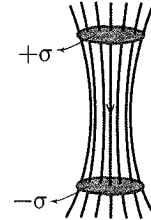
و به این صورت میدان حاصل، حاصل برهم نهی میدان دو قرص بار است. این توزیع بار شبیه به یک دوقطبی است و بنابراین میدان روی محور این سوراخ مثل میدان یک دوقطبی است. (شکل ۷۹-۲)



شکل ۷۸-۲



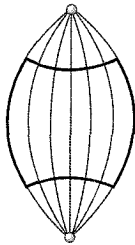
شکل ۸۰-۲



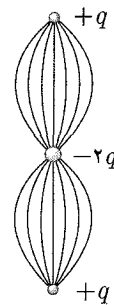
شکل ۷۹-۲

میدان کلی حاصل ترکیب این دو تحلیل است. (۸۰-۲)

۷. حل. الف) با توجه به دانسته‌هایمان از فصل میدان و دوقطبی‌ها، خطوط میدان به صورت شکل ۸۱-۲ است.



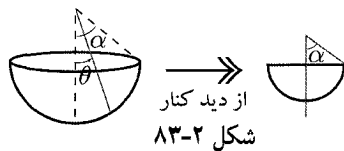
شکل ۸۲-۲



شکل ۸۱-۲

ب) برای این قسمت مطابق قسمت‌های گذشته، سطح گاوسی مناسبی پیدا می‌کنیم که فقط قسمت‌های مجهول مسئله ما را حل کند. به این صورت سطح گاوسی مطابق شکل ۸۲-۲ در نظر می‌گیریم.

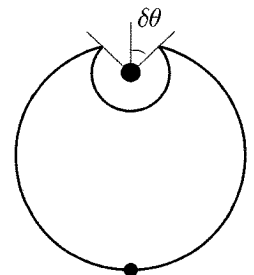
حالا می‌خواهیم شار گذرنده از یک عرقچین با زاویه‌ی کروی  $\alpha$  را به دست بیاوریم:



شکل ۸۳-۲

ابتدا المان سطح را به صورت شکل در نظر می‌گیریم:

$$dA = 2\pi r \cdot \frac{dz}{\sin \theta}$$



شکل ۸۴-۲

$$z = R(1 - \cos \theta)$$

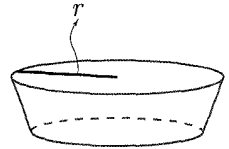
$$r = R \sin \theta$$

$$\rightarrow dz = R \sin \theta \cdot d\theta \rightarrow dA = 2\pi R^2 \sin \theta d\theta$$

$$\begin{aligned} \rightarrow \int_{\theta=0}^{\theta=\alpha} &= \int_0^\alpha 2\pi R^2 \sin \theta \cdot d\theta = -2\pi R^2 [\cos \theta]_0^\alpha \\ &= -2\pi R^2 [\cos \alpha - 1] = 2\pi R^2 [1 - \cos \alpha] \end{aligned}$$

در فاصله‌ی بسیار نزدیک به بار،  $+q$ ، می‌توان حضور سایر بارها را نادیده گرفت.

$$\begin{aligned} R \rightarrow 0 \rightarrow \phi &= E \times A = \frac{1}{4\pi\epsilon_0} \cdot \frac{q}{R^2} \cdot 2\pi R^2 [1 - \cos \alpha], \quad R \rightarrow 0 \\ &= \frac{q}{2\epsilon_0} [1 - \cos \alpha] \end{aligned}$$



شکل ۲-۸۵

حالا قانون گاوس را برای سطوح گاوسی که در این قسمت در نظر گرفتیم اعمال می‌کنیم.

$$\begin{aligned} (1) \phi_S = 0 &\rightarrow \frac{q}{2\epsilon_0} [1 - \cos \delta\theta] = \frac{2q}{2\epsilon_0} [1 - \cos \delta\theta'] \\ &\rightarrow 2 \sin^2 \frac{\delta\theta}{2} = 2 \times 2 \sin^2 \frac{\delta\theta'}{2} \rightarrow \frac{\delta\theta^2}{4} = 2 \times \frac{\delta\theta'^2}{4} \\ &\rightarrow \delta\theta^2 = 2\delta\theta'^2 \rightarrow \delta\theta' = \frac{1}{\sqrt{2}} \delta\theta \end{aligned}$$

$$\begin{aligned} (2) \phi_S = 0 &\rightarrow \frac{q}{2\epsilon_0} [1 - \cos(\pi - \delta\theta)] = \frac{2q}{2\epsilon_0} [1 - \cos \delta\theta''] \\ &\rightarrow 1 + \cos \delta\theta = 2[1 - \cos \delta\theta''] \\ &\rightarrow 2 \cos^2 \frac{\delta\theta}{2} = 2 \left[ 2 \sin^2 \frac{\delta\theta''}{2} \right] \\ &\rightarrow \cos^2 \frac{\delta\theta}{2} = 2 \sin^2 \frac{\delta\theta''}{2} \rightarrow \delta\theta \rightarrow 0 \rightarrow \cos \delta\theta \rightarrow 1 \\ &\rightarrow \sin^2 \frac{\delta\theta''}{2} = \frac{1}{2} \rightarrow \frac{\delta\theta''}{2} = \frac{\pi}{4} \rightarrow \delta\theta'' = \frac{\pi}{2} \end{aligned}$$

ج) میدان در نقطه‌ای به فاصله‌ی  $z$  از مرکز دوقطبی روی محور آن به صورت زیر است:

$$\begin{aligned} E &= \frac{1}{4\pi\epsilon_0} \cdot \frac{q}{(z-l)^2} \cdot \hat{k} + \frac{1}{4\pi\epsilon_0} \cdot \frac{-2q}{z^2} \cdot \hat{k} + \frac{1}{4\pi\epsilon_0} \cdot \frac{q}{(z+l)^2} \cdot \hat{k} \\ &= \frac{q}{4\pi\epsilon_0} \left( \frac{1}{(z-l)^2} + \frac{q}{(z+l)^2} - \frac{2}{z^2} \right) \end{aligned}$$

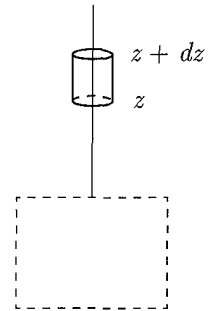
د) برای به دست آوردن میدان در فواصل دور  $l \gg z$ :

$$\begin{aligned} E &= \frac{q}{4\pi\epsilon_0} \cdot \frac{q}{z^2} \left( \frac{1}{\left(1 - \frac{l}{z}\right)^2} + \frac{1}{\left(1 + \frac{l}{z}\right)^2} - 2 \right) \\ &\rightarrow \frac{q}{4\pi\epsilon_0} \cdot \frac{1}{z^2} \left( \left(1 + \frac{2l}{z} + \frac{3l^2}{z^2} + \dots\right) + \left(1 - \frac{2l}{z} + \frac{3l^2}{z^2} + \dots\right) - 2 \right) \end{aligned}$$

$$= \frac{q}{4\pi\epsilon_0} \cdot \frac{q}{z^2} \left( \frac{+6l^2}{z^2} \right) = \frac{q}{4\pi\epsilon_0} \cdot \frac{6l^2}{z^4}$$

$$E = \frac{6q}{4\pi\epsilon_0} \cdot \frac{l^2}{z^4} = \frac{3q}{\pi\epsilon_0} \cdot \frac{l^2}{z^4}$$

برای به دست آوردن میدان در راستای  $l_p$ ، در فواصل دور  $z$  و نزدیک به محور، سطح گاوسی مطابق شکل (۸۶-۲) در نظر بگیرید.



شکل ۸۶-۲

$$E(z+dz)\pi r^2 - E(z)\pi r^2 + E(r) \cdot 2\pi r \cdot dz = 0$$

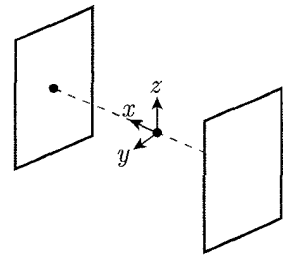
$$\rightarrow \left( E(z) + \frac{\partial E}{\partial z} \cdot dz - E(z) \right) \pi r^2 + E(r) \cdot 2\pi r \cdot dz = 0$$

$$\Rightarrow -\frac{6q}{\pi\epsilon_0} \cdot \frac{l^2}{z^5} \cdot \pi r^2 dz + E(r) \cdot 2\pi r dz = 0$$

$$\frac{6q}{\pi\epsilon_0} \cdot \frac{l^2}{z^5} \cdot \pi r^2 = 2\pi r \cdot E(r)$$

$$\rightarrow \frac{3ql^2}{\pi\epsilon_0 z^5} r = E(r) \rightarrow E(r) = \frac{3l^2}{\pi\epsilon_0} \cdot \frac{qr}{z^5}$$

۸. حل. الف) میدان در مرکز مکعب به عنوان یک بردار، دارای سه مؤلفه‌ی  $E_x, E_y, E_z$  است. در هر یک از این راستاها، می‌توان یک بار فرض کرده  $E_x, E_y, E_z$  و سپس شکل را به صورت خیالی به اندازه‌ی  $\pi$  رادیان چرخاند. واضح است که شکل به دلیل تقارن تغییری نمی‌کند اما در این صورت چون میدان هم با مکعب چرخیده  $E'_x, E'_y, E'_z < 0$  (مؤلفه‌های جدید میدان)، که این نتیجه مطلقاً غیرقابل قبول است پس تنها فرض ممکن این است که  $E_x = E_y = E_z = 0$ .



شکل ۸۷-۲

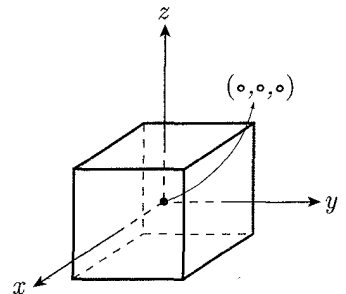
ب) ابتدا فرض کنیم که روی محور  $x$  از یک وجه تا وجه مقابل جابه‌جا نشویم، در این صورت اگر دقت کنیم در هر نقطه‌ای روی محور  $x$  داشتن مؤلفه‌هایی در راستاهای  $y$  و  $z$  به دلیلی مشابه دلیل گفته شده در قسمت (الف) غیرمنطقی است و بنابراین میدان روی این خط در جهت  $x$  فقط تابعی از  $x$  است و بنابراین میدان را روی این خط می‌توان به صورت  $\vec{E} = E_x(x)\hat{i}$  نوشت. به همین صورت میدان را روی دو خط محور دیگر، به صورت  $\vec{E} = E_y(y)\hat{j}$  و  $\vec{E} = E_z(z)\hat{k}$  می‌نویسیم. سپس بیایید با هم یک مکعب با ابعاد دیفرانسیلی  $dx, dy, dz$  حول مرکز مکعب تصور کنیم، وجه‌های این مکعب در محل‌های  $\pm \frac{dx}{2}, \pm \frac{dy}{2}, \pm \frac{dz}{2}$  قرار دارند، می‌خواهیم شارگذرنده از این مکعب را محاسبه کنیم. برای مثال شارگذرنده از وجه واقع در محل  $+\frac{dx}{2}$  را به صورت زیر محاسبه می‌کنیم.

$$\phi_{+x} = \vec{E} \left( \frac{dx}{2} \right) \cdot \vec{A}$$

که در آن

$$\vec{E} \left( \frac{dx}{2} \right) = \left( E_x + \frac{\partial E_x}{\partial x} \cdot \frac{dx}{2} \right) \hat{i}, \quad \vec{A} = dy \cdot dz \hat{i}$$

$$\rightarrow \phi_{+x} = \frac{\partial E_x}{\partial x} \cdot \frac{dx}{2} \cdot dy \cdot dz$$



شکل ۸۸-۲

بنا به ملاحظات تقارن  $\phi_{-x}$ ، یعنی شار عبوری از وجه روبه‌روی وجه متناظر با  $\phi_{+x}$ ، برابر با  $\phi_{+x}$  است.

$$\phi_x = \phi_{+x} + \phi_{-x} = \frac{\partial E_x}{\partial x} \cdot dx \cdot dy \cdot dz$$

و به این صورت

$$\phi_y = \frac{\partial E_y}{\partial y} \cdot dy \cdot dx \cdot dz$$

$$\phi_z = \frac{\partial E_z}{\partial z} \cdot dz \cdot dx \cdot dy$$

پس شار کل گذرنده از سطح برابر است با:

$$\phi = dx dy dz \left( \frac{\partial E_x}{\partial x} + \frac{\partial E_y}{\partial y} + \frac{\partial E_z}{\partial z} \right)$$

طبق قانون گاوس:

$$\phi = \frac{q}{\epsilon_0} = 0 \rightarrow dx dy dz \left( \frac{\partial E_x}{\partial x} + \frac{\partial E_y}{\partial y} + \frac{\partial E_z}{\partial z} \right) = 0$$

همچنین با توجه به ملاحظات تقارن

$$\frac{\partial E_x}{\partial x} = \frac{\partial E_y}{\partial y} = \frac{\partial E_z}{\partial z} = \xi$$

$$\rightarrow 3\xi = 0 \rightarrow \xi = 0 \rightarrow \frac{\partial E_x}{\partial x} = \frac{\partial E_y}{\partial y} = \frac{\partial E_z}{\partial z} = 0$$

۹. حل. بار  $+2e$  به صورت یکنواخت در کره پخش شده است، می‌دانیم که میدان در محل حضور الکترون‌ها، بستگی به مقدار باری دارد که در کره‌ای به شعاع  $d/2$  قرار دارد، نام مقدار این بار را می‌گذاریم:  $q_{\text{effective}}$ .

$$\begin{aligned} q_{\text{effective}} &= \frac{\rho V_e}{\rho V_{\text{total}}} \cdot q = \frac{4/3\pi \times R_e^3}{4/3\pi \times R^3} \cdot q \\ &= \left(\frac{R_e}{R}\right)^3 \cdot q = \left(\frac{d/2}{R}\right)^3 \cdot q = \left(\frac{d}{2R}\right)^3 \cdot 2e \end{aligned}$$

میدان ناشی از بار توزیع شده در کره، دارای تقارن کروی است. قانون گاوس برای این بار، به صورت زیر است.  $E_S$  نشان دهنده میدان ناشی از بار درون کره است ( $E_{S\text{Sphere}}$ ).

$$e. \oint_S \vec{E}_S \cdot d\vec{A} = q_e$$

$$\rightarrow \epsilon_0 \times E_S \times 4 \times \pi \times R_e^2 = q_e$$

$$\rightarrow \epsilon_0 \times E_S \times 4 \times \pi \times (d/2)^2 = \left(\frac{d/2}{R}\right)^3 \cdot 2e$$

$$\rightarrow E_S = \frac{1}{4\pi\epsilon_0} \cdot \frac{d/2}{R^3} \cdot 2e = \frac{1}{4\pi\epsilon_0} \cdot \frac{de}{R^3}$$

میدان ناشی از دو الکترون، میدان دیگری است که باید محاسبه شود. این کار بسیار ساده است.

$$E_e = E_{\text{electrons}} = \frac{1}{4\pi\epsilon_0} \cdot \frac{-l}{d^2}$$

برای حفظ تعادل، میدان باید صفر شود.

$$\rightarrow \frac{1}{4\pi\epsilon_0} \cdot \frac{de}{R^2} = \frac{1}{4\pi\epsilon_0} \cdot \frac{e}{d^2}$$

$$\rightarrow \frac{d}{R^2} = \frac{1}{d^2} \rightarrow d = R$$

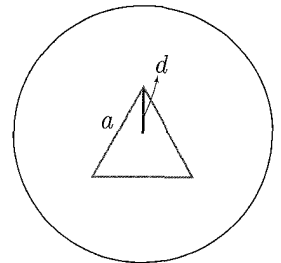
تنها چیزی که باید در این سؤال به آن دقت می‌کردید، این بوده که کل بار  $+2e$  را به صورت یک بار متمرکز در مرکز در نظر نگیرید. البته این سؤال را می‌توانستیم، با گرفتن المان‌های کروی بار هم حل کنیم که جواب مشابهی به دست می‌آمد. دقت کنید که پوسته‌ی کروی که در فاصله  $d/2 < r < R$  قرار دارد، عملاً در میدان در محل  $r = d/2$  بی‌اثر است.



۱۰. حل الف)

$$d \cos \frac{\pi}{6} = \frac{a}{2} \rightarrow d \frac{\sqrt{3}}{2} = \frac{a}{2} \rightarrow a = d\sqrt{3}$$

حال سؤال را مانند سؤال قبل تحلیل می‌کنیم، میدان ناشی از توزیع بار کروی در محل رئوس مثلث باید برابر با میدان ناشی از حضور سایر الکترون‌ها در محل هر الکترون باشد. از نتیجه قسمت قبل میدان توزیع بار مثبت برابر با میدان قسمتی از بار کره است که در کره‌ای به شعاع  $d$  قرار دارد، با فرض این‌که این مقدار از بار در مرکز کره متمرکز شده باشد.



شکل ۲-۸۹

$$q_e = \frac{\rho V_e}{\rho V} q = \frac{4/3 \times \pi \times d^3}{4/3 \times \pi \times R^3} \cdot q = \left(\frac{d}{R}\right)^3 \cdot z \cdot e$$

$$E_S = \frac{1}{4\pi\epsilon_0} \cdot \frac{q_e}{d^2} = \frac{1}{4\pi\epsilon_0} \cdot \frac{dze}{R^3}$$

از آنجایی که شکل از تقارن کروی برخوردار است، این میدان به صورت برداری  $E_S = \frac{1}{4\pi\epsilon_0} \cdot \frac{dze}{R^3} \hat{e}_R$  است، حالا نوبت به محاسبه‌ی میدان ناشی از هر دو الکترون در محل الکترون سوم است میدان ناشی از هر الکترون در محل دیگری به صورت زیر است:

$$E_e = E_{\text{electrons}} = \frac{1}{4\pi\epsilon_0} \cdot \frac{-e}{a^2}$$

به این صورت میدان برآیند، ناشی از دو الکترون به صورت

$$E_R = E_{\text{Resultant}} = 2E_e \cos \frac{\pi}{6} = \sqrt{3}E_e$$

در صفحه‌ای که این مثلث قرار دارد، میدان برآیند برداری است که به علت تقارن از مرکز مثلث خواهد گذشت، پس به صورت برداری  $\vec{E}_R = \sqrt{3}E_e \hat{e}_R$  هم به صورت  $\vec{E}_R = \sqrt{3}E_e \hat{e}_R$  است.

$$\vec{E} = \vec{E}_S + \vec{E}_R = 0$$

$$\begin{aligned} \rightarrow \sqrt{3} \cdot \frac{1}{4\pi\epsilon_0} \cdot \frac{e}{a^2} &= \frac{1}{4\pi\epsilon_0} \cdot \frac{dze}{R^2} \\ \rightarrow \frac{\sqrt{3}}{4d^2} &= \frac{zd}{R^2} \rightarrow \sqrt{3}zd^2 = R^2 \rightarrow d = \frac{R}{\sqrt[3]{\sqrt{3}z}} \\ \rightarrow a = d\sqrt{3} &= \frac{\sqrt{3}R}{\sqrt[3]{\sqrt{3}z}} = \frac{E\sqrt{3}}{\sqrt{z}} \end{aligned}$$

(ب) باید  $d$  را در شکل تعیین کرد.

$$V = \frac{A \times h}{3} = 4 \times V' = 4 \times \frac{A \times (h-d)}{3}$$

$$\rightarrow h = 4(h-d) \rightarrow h = 4h - 4d$$

$$\rightarrow 3h = 4d \rightarrow d = \frac{3}{4}h$$

اما حالا باید خود  $h$  را بر حسب  $a$  (اندازه‌ی ضلع این هرم) پیدا کرد.

$$\rightarrow \left(\frac{a}{\sqrt{3}}\right)^2 + h^2 = a^2 \rightarrow \frac{a^2}{3} + h^2 = a^2 \rightarrow h^2 = \frac{2}{3}a^2$$

$$\rightarrow h = \sqrt{\frac{2}{3}}a \rightarrow d = \frac{3}{4} \cdot \frac{\sqrt{2}}{\sqrt{3}} \cdot a \rightarrow d = \frac{\sqrt{6}}{4} \cdot a$$

از اینجا به بعد استدلال‌ها مثل قسمت (الف) است، نخست میدان ناشی از توزیع بار

مثبت:

$$\vec{E}_S = \frac{1}{4\pi\epsilon_0} \cdot \frac{dze}{R^2} \hat{e}_R$$

$$E_e = \frac{1}{4\pi\epsilon_0} \cdot \frac{-e}{a^2}$$

$$\vec{E}_R = 3 \times E_e \times \cos \frac{\pi}{6} \hat{e}_R = -\frac{3\sqrt{3}}{2} \cdot \frac{1}{4\pi\epsilon_0} \cdot \frac{e}{a^2}$$

دوباره برای برقراری تعادل، میدان باید صفر باشد.

$$\vec{E} = \vec{E}_S + \vec{E}_R = 0$$

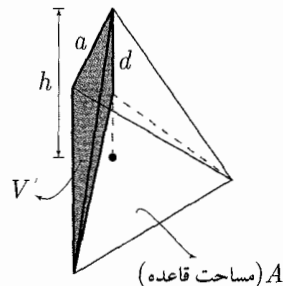
$$\rightarrow \frac{1}{4\pi\epsilon_0} \cdot \frac{\sqrt{6}a.z.e}{4R^2} = \frac{3\sqrt{3}}{2} \cdot \frac{1}{4\pi\epsilon_0} \cdot \frac{e}{a^2}$$

$$\rightarrow \frac{\sqrt{2}az}{24R^2} = \frac{3}{2} \cdot \frac{1}{a^2} \rightarrow \sqrt{2}a^2z = 6R^2$$

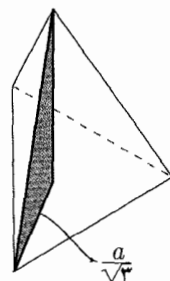
$$\rightarrow a^2 = \frac{6}{\sqrt{2}z} R^2 \rightarrow a = R \sqrt{\frac{6}{\sqrt{2}z}} = R \sqrt{\frac{3\sqrt{2}}{z}}$$

۱۱. حل. الف) به وسیله‌ی قانون گaus میدان را در فاصله‌ی  $a$  از این خط بار به دست می‌آوریم:

$$E_0 \times 2\pi r \times l = \frac{\lambda \times l}{\epsilon_0} \Rightarrow ra E_0 = \frac{\lambda}{2\pi r \epsilon_0} \Big|_{r=a} \rightarrow E_0 = \frac{\lambda}{2\pi a \epsilon_0}$$

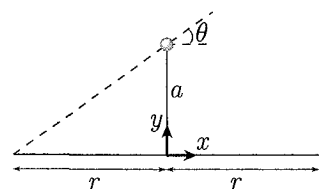


شکل ۹۰-۲



شکل ۹۱-۲

ب) برای به دست آوردن میدان در این قسمت باید با المان‌گیری و قانون کولن میدان را به دست بیاوریم:



شکل ۲-۹۲

$$dE = E_y = \frac{1}{4\pi\epsilon_0} \cdot \frac{dq}{d^2} \cdot \sin \theta$$

$$\rightarrow E = \int dE = \int_{-r}^r \frac{1}{4\pi\epsilon_0} \cdot \frac{\lambda dx}{a^2 + x^2} \cdot \frac{a}{\sqrt{a^2 + x^2}}$$

$$= \frac{\lambda}{4\pi\epsilon_0 a} \cdot \frac{2r}{\sqrt{r^2 + a^2}}$$

$$\rightarrow \frac{E}{E_0} = \frac{\lambda}{4\pi\epsilon_0 a} \cdot \frac{2r}{\sqrt{r^2 + a^2}} \bigg/ \frac{\lambda}{2\pi a \epsilon_0} = \frac{r}{\sqrt{r^2 + a^2}}$$

برای نوشتن بسط تیلور

$$\frac{E}{E_0} = \frac{1}{\frac{\sqrt{r^2 + a^2}}{r}} = \frac{1}{\sqrt{1 + \frac{a^2}{r^2}}} = \frac{1}{\sqrt{1 + \epsilon^2}}$$

$$\rightarrow (1 + \epsilon^2)^{-1/2} = 1 - \frac{1}{2}\epsilon^2$$

ج) با توجه به قسمت ب)، ما میدان ناشی از جمع میدان المان‌های خطی بار را به دست آوردیم. در این قسمت کافی است حدود جدید را جایگزین کنیم:

$$E = \int dE = \int_{-(r+x)}^{r-x} \frac{1}{4\pi\epsilon_0} \cdot \frac{\lambda d\xi}{a^2 + \xi^2}$$

$$= \frac{\lambda}{4\pi\epsilon_0 a} \left[ \frac{\xi}{\sqrt{a^2 + \xi^2}} \right]_{-(r+x)}^{r-x}$$

$$= \frac{\lambda}{4\pi\epsilon_0 a} \left( \frac{r-x}{\sqrt{a^2 + (r-x)^2}} - \frac{(-r+x)}{\sqrt{a^2 + (r+x)^2}} \right)$$

$$= \frac{\lambda}{4\pi\epsilon_0 a} \left( \frac{r-x}{\sqrt{a^2 + (r-x)^2}} + \frac{r+x}{\sqrt{a^2 + (r+x)^2}} \right)$$

با نوشتن بسط تیلور این عبارت و حذف جمله‌های لازم داریم:

$$E = \frac{\lambda}{4\pi\epsilon_0 a} \left( \left(1 + \frac{x}{r}\right) \left(1 - \frac{x}{r} - \frac{1}{2} \frac{x^2}{r^2} - \frac{1}{2} \frac{a^2}{r^2} + \frac{3}{2} \frac{x^2}{r^2}\right) \right.$$

$$+ \frac{3}{8} \frac{x^4}{r^4} + \frac{3}{8} \frac{a^4}{r^4} + \frac{3}{2} \frac{x^2}{r^2} + \frac{3}{2} \frac{x}{r} \cdot \frac{a^2}{r^2} + \frac{3}{4} \frac{x^2}{r^2}$$

$$\left. - \frac{5}{2} \frac{x^2}{r^2} - \frac{15}{4} \frac{x^4}{r^4} - \frac{15}{4} \frac{x^2}{r^2} \cdot \frac{a^2}{r^2} + \frac{35}{8} \frac{x^4}{r^4} \right)$$

$$+ \left(1 - \frac{x}{r}\right) \left(1 + \frac{x}{r} - \frac{1}{2} \frac{x^2}{r^2} - \frac{1}{2} \frac{a^2}{r^2} + \frac{3}{2} \frac{x^2}{r^2} + \frac{3}{8} \frac{x^4}{r^4} + \frac{3}{8} \frac{a^4}{r^4} - \frac{3}{2} \frac{x^2}{r^2} \right.$$

$$\left. - \frac{3}{2} \frac{x}{r} \cdot \frac{a^2}{r^2} + \frac{3}{4} \frac{x^2}{r^2} \cdot \frac{a^2}{r^2} + \frac{5}{2} \frac{x^2}{r^2} - \frac{15}{4} \frac{x^4}{r^4} - \frac{15}{4} \frac{x^2}{r^2} \cdot \frac{a^2}{r^2} + \frac{35}{8} \frac{x^4}{r^4} \right)$$

$$= \frac{\lambda}{4\pi\epsilon_0 a} \left( 2 - \frac{x^2}{r^2} - \frac{a^2}{r^2} + \frac{3x^2}{r^2} \frac{3x^2}{r^4} + \frac{3a^4}{r^4} + \frac{3x^2}{r^2} \frac{a^2}{r^2} \right)$$

$$-\frac{15x^4}{2r^4} - \frac{15x^2}{2r^2} \cdot \frac{a^2}{r^2} + \frac{35x^4}{4r^4} - 2\frac{x^2}{r^2} + 3\frac{x^4}{r^4} + 3\frac{x^2}{r^2} \cdot \frac{a^2}{r^2} - 5\frac{x^4}{r^4}$$

$$= \frac{\lambda}{4\pi\epsilon_0 a} \left( 2 - \frac{a^2}{r^2} + \frac{3a^4}{4r^4} - 3\frac{x^2 a^2}{r^2 r^2} \right)$$

جملهی  $\frac{a^4}{r^4}$  جملهی جدیدی نیست، چرا که با بسط عبارت بخش (ب) تا مرتبهی چهارم نیز می‌توانستیم به آن برسیم. اختلاف حاصل از تغییر  $x$  در توزیع بار در جملهی  $\frac{x^2}{r^2} \times \frac{a^2}{r^2}$  ظاهر شده است.

(د) طبق قسمت (ج)

$$\frac{3}{2} \frac{x_{\max}^2 a^2}{r^4} = 0.1 \rightarrow |x| < \sqrt{\frac{0.1 \cdot 2}{3} r^2} \frac{a}{r}$$

۱۲. حل. الف) فرض کنید می‌خواهیم میدان را در فاصله‌ی  $r$  داخل یک توزیع بار به شعاع  $R$  ( $R > r$ ) با چگالی باریکناخت  $\rho$  پیدا کنیم، طبق قانون گاوس

$$\epsilon_0 \cdot E(r) \cdot 4\pi \times r^2 = \rho \times \frac{4}{3}\pi \times r^3 \rightarrow E(r) = \frac{\rho}{3\epsilon_0} r$$

همچنین فرض کنید نقطه‌ای که می‌خواهیم میدان را در آن حساب کنیم نسبت به مراکز دو کره با بردارهای  $\vec{r}_1$  و  $\vec{r}_2$  بیان شود. (این بردارها در فضای سه‌بعدی قرار دارند.) در قسمت (الف) می‌خواهیم اندازه‌ی میدان نقاط مشترک ثابت باشد، یعنی:

$$|\vec{E}| = |\vec{E}_1 + \vec{E}_2| = \text{cte}, \quad \vec{E} = \frac{\rho_1}{3\epsilon_0} \cdot \vec{r}_1 + \frac{\rho_2}{3\epsilon_0} \cdot \vec{r}_2$$

$$\vec{E} = \frac{1}{3\epsilon_0} (\rho_1 \vec{r}_1 + \rho_2 \vec{r}_2) = \frac{1}{3\epsilon_0} (\rho_1 (\vec{r}_1 - \vec{r}_2) + (\rho_2 + \rho_1) \vec{r}_2)$$

$$\rightarrow \vec{E} = \frac{1}{3\epsilon_0} (\rho_1 \cdot \vec{d} + (\rho_1 + \rho_2) \vec{r}_2)$$

که در آن  $\vec{d}$  بردار واصل مرکز دو کره و برداری ثابت است.

$$|\vec{E}| = \text{cte} \rightarrow |\rho_1 \vec{d} + (\rho_1 + \rho_2) \vec{r}_2| = \text{cte}$$

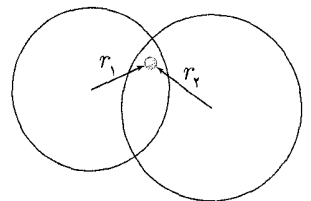
چون  $\vec{d}$  برداری ثابت است، برای آن‌که برای  $\vec{r}_2$ ‌های مختلف اندازه‌ی بردار برآیند ثابت باشد، باید ضریب  $r_2$  صفر باشد.

$$\rho_1 + \rho_2 = 0$$

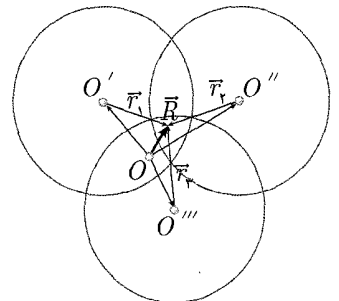
(ب) برای این قسمت شکل را در نظر بگیرید که در آن  $O$  یک نقطه‌ی ثابت دلخواه است و  $\vec{R}$  بردار واصل  $O$  به نقطه‌ی مورد نظر

$$\vec{E} = \vec{E}_1 + \vec{E}_2 + \vec{E}_3$$

$$= \frac{1}{3\epsilon_0} (\rho_1 \vec{r}_1 + \rho_2 \vec{r}_2 + \rho_3 \vec{r}_3)$$



شکل ۹۳-۲



شکل ۹۴-۲



برای راحتی  $2\vec{E}$  را تشکیل می‌دهیم

$$\begin{aligned} 2\vec{E} &= \frac{1}{3\epsilon_0} (2\rho_1\vec{r}_1 + 2\rho_2\vec{r}_2 + 2\rho_3\vec{r}_3) \\ &= \frac{1}{3\epsilon_0} (\rho_1\vec{r}_1 + \rho_2\vec{r}_2 + \rho_1\vec{r}_1 + \rho_2\vec{r}_2 + \rho_2\vec{r}_2 + \rho_3\vec{r}_3) \\ &= \frac{1}{3\epsilon_0} (\rho_1(\vec{r}_1 - \vec{r}_2) + (\rho_1 + \rho_2)\vec{r}_2 + \rho_3(\vec{r}_3 - \vec{r}_1) + (\rho_1 + \rho_3)\vec{r}_1 \\ &\quad + \rho_2(\vec{r}_2 - \vec{r}_3) + (\rho_2 + \rho_3)\vec{r}_3) \end{aligned}$$

طبق تعریف:

$$\vec{r}_1 - \vec{r}_2 = \vec{d}_{12}, \quad \vec{r}_3 - \vec{r}_1 = \vec{d}_{31}, \quad \vec{r}_2 - \vec{r}_3 = \vec{d}_{23}$$

بردارهای ثابت هستند.

$$\begin{aligned} 2\vec{E} &= \frac{1}{3\epsilon_0} (\vec{k} + (\rho_1 + \rho_2)\vec{r}_2 + (\rho_1 + \rho_3)\vec{r}_1 + (\rho_2 + \rho_3)\vec{r}_3) \\ &= \frac{1}{3\epsilon_0} (\vec{k} + (\rho_1 + \rho_2)(\vec{R} - \vec{oo}'') + (\rho_1 + \rho_3)(\vec{R} - \vec{oo}'') \\ &\quad + (\rho_2 + \rho_3)(\vec{R} - \vec{oo}''')) \end{aligned}$$

بردارهای  $\vec{oo}'$ ,  $\vec{oo}''$  و  $\vec{oo}'''$  بردارهای ثابت هستند.

$$2\vec{E} = \frac{1}{3\epsilon_0} (\vec{k}' + \vec{R}(2)(\rho_1 + \rho_2 + \rho_3))$$

برای این‌که اندازه‌ی این بردار در همه جای فضا ثابت باشد، باید ضرب بردار مکان دلخواه  $\vec{R}$  صفر باشد. یعنی

$$\rho_1 + \rho_2 + \rho_3 = 0$$

ج) برای این قسمت، از حل قسمت (ب) کمک می‌گیریم. می‌دانیم:

$$\begin{aligned} 2\vec{E} &= \frac{1}{3\epsilon_0} ((\rho_1\vec{d}_{12} + \rho_3\vec{d}_{31} + \rho_2\vec{d}_{23} - (\rho_1 + \rho_2)\vec{oo}'' \\ &\quad - (\rho_1 + \rho_3)\vec{oo}' - (\rho_2 + \rho_3)\vec{oo}''' + 2(\rho_1 + \rho_2 + \rho_3)\vec{R}) \\ &= \frac{1}{3\epsilon_0} (\rho_1(\vec{d}_{12} + \vec{o}''\vec{o} + \vec{o}'\vec{o}) + \rho_2(\vec{d}_{23} + \vec{o}'''\vec{o} + \vec{o}''\vec{o}) \\ &\quad + \rho_3(\vec{d}_{31} + \vec{o}'\vec{o} + \vec{o}'''\vec{o}) + 2(\rho_1 + \rho_2 + \rho_3)\vec{R}) \\ &= \frac{2}{3\epsilon_0} (\rho_1\vec{o}'\vec{o} + \rho_2\vec{o}''\vec{o} + \rho_3\vec{o}'''\vec{o} + (\rho_1 + \rho_2 + \rho_3)\vec{R}) \end{aligned}$$

حالا برای این‌که میدان همه جا یک اندازه باشد (فرض قسمت (ب) باید  $\rho_1 + \rho_2 + \rho_3$

صفر باشد)

$$2\vec{E} = \frac{2}{3\epsilon_0} (\rho_1\vec{o}'\vec{o} + \rho_2\vec{o}''\vec{o} + \rho_3\vec{o}'''\vec{o})$$

برای این که این میدان بر راستای  $\vec{d}_{13}$  عمود باشد، باید ضرب داخلی  $\vec{E} \cdot \vec{d}_{13}$  برابر صفر باشد.

$$(\rho_1 \vec{o}'o + \rho_2 \vec{o}''o + \rho_3 \vec{o}'''o) \cdot \underbrace{(\vec{oo}''' - \vec{oo}')}_{\vec{d}_{13}} = 0$$

$$\rho_1 \vec{o}'o \cdot \vec{oo}''' + \rho_2 \vec{o}''o \cdot \vec{oo}''' - \rho_3 (\vec{oo}''')^2 + \rho_1 (\vec{oo}')^2 + \rho_2 \vec{o}''o \cdot \vec{o}'o + \rho_3 \vec{o}'''o \cdot \vec{o}'o = 0$$

با توجه به این که نقطه‌ی  $o$  نقطه‌ای دلخواه است، می‌توان آن را به دلخواه طوری انتخاب کرد که معادلات را آسان کند، به این صورت یک بار  $o$  را روی  $o'$  و بار دیگر روی  $o'''$  منطبق می‌کنیم:

$$\begin{cases} \rho_2 \vec{o}''o' \cdot \vec{o}'o''' + \rho_3 \vec{o}'''o' \cdot \vec{o}'o''' = 0 \\ \rho_1 \vec{o}'o''' \cdot \vec{o}'o''' + \rho_2 \vec{o}''o''' \cdot \vec{o}'o''' = 0 \end{cases}$$

حاصل این ضرب‌های داخلی با توجه به مشخصات هندسی، محل قرارگیری سه مرکز دایره به دست می‌آید و به این صورت  $\alpha_1, \alpha_2, \alpha_3$  مشخص می‌شوند. شکل (۲-۹۵) را در نظر بگیرید.

$$\vec{o}''o' \cdot \vec{o}'o''' = -ac \cos \alpha = \frac{b^2 - a^2 - c^2}{2}$$

$$\vec{o}''o''' \cdot \vec{o}'o''' = bc \cos \gamma = \frac{b^2 + c^2 - a^2}{2}$$

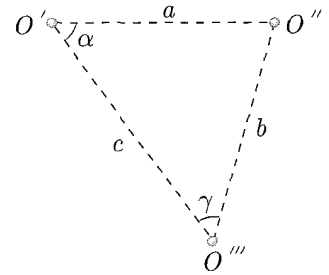
به این صورت دستگاه معادله به صورت زیر در می‌آید:

$$\rho_2 \left( \frac{b^2 - a^2 - c^2}{2} \right) + \rho_3 (-c^2) = 0$$

$$\rho_1 c^2 + \rho_2 \left( \frac{b^2 + c^2 - a^2}{2} \right) = 0$$

$$\rightarrow \frac{\rho_1}{1} = \frac{\rho_2}{\frac{2c^2}{a^2 - b^2 - c^2}} = \frac{\rho_3}{\frac{b^2 - a^2 - c^2}{a^2 - b^2 - c^2}}$$

$$\rightarrow \frac{\rho_1}{a^2 - b^2 - c^2} = \frac{\rho_2}{2c^2} = \frac{\rho_3}{b^2 - a^2 - c^2}$$



شکل ۲-۹۵

(د) با توجه به قسمت (ب) برای  $N$  کره، با تشکیل  $N\vec{E}$  و دوه‌دوگرفتن کره‌ها (میدان‌ها) عبارت مطلوب برای وجود میدان با اندازه‌ی ثابت چنین خواهد بود

$$\sum_{i=1}^N \rho_i = 0$$

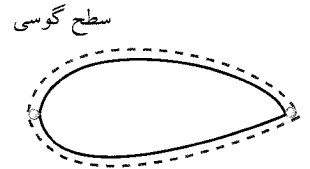
لازم به ذکر است که در قسمت (ج) و در بخش نهایی حل، اگر  $o$  را بر دو نقطه‌ی دیگر، مثلاً  $o'$  و  $o''$  منطبق می‌کردیم، همین جواب به دست می‌آمد.

۱۳. حل. الف) ابتدا یک سطح گاوسی به شکل (۲-۹۶) در نظر می‌گیریم. طبق قانون گاوس، شار عبوری از این سطح باید برابر صفر باشد. پس:

$$-\frac{q}{2\epsilon_0}(1 - \cos \alpha) + \frac{+q_2}{2\epsilon_0}(1 - \cos \beta) = 0$$

$$\rightarrow q_2(1 - \cos \beta) \cdot q_1(1 - \cos \alpha) \rightarrow 1 - \cos \beta = \frac{q_1}{q_2}(1 - \cos \alpha)$$

$$\rightarrow \cos \beta = 1 - \frac{q_1}{q_2}(1 - \cos \alpha)$$



شکل ۹۶-۲

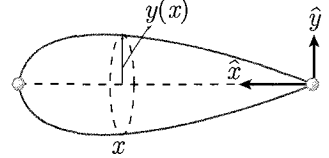
ب) برای به دست آوردن معادله‌ی خط  $f(x, y) = 0$  برای میدان یک سطح گاوسی در نظر می‌گیریم که یک طرف آن در کناریکی از بارها و طرف دیگر آن در مکان  $x$  باشد، مطابق شکل (۲-۹۷) (فاصله‌ی دو بار است).

$$\phi = -\frac{q_1}{2\epsilon_0}(1 - \cos \alpha) + \frac{q_1}{2\epsilon_0}(1 - \cos \theta) + \frac{q_2}{2\epsilon_0}(1 - \cos \theta') = 0$$

$$\cos \theta = \frac{x}{\sqrt{x^2 + y^2(x)}} \quad , \quad \cos \theta' = \frac{(l-x)}{\sqrt{(l-x)^2 + y^2(x)}}$$

$$\rightarrow q \left( 1 - \frac{x}{\sqrt{x^2 + y^2}} - 1 + \cos \alpha \right) + q_2 \left( 1 - \frac{l-x}{\sqrt{(l-x)^2 + y^2}} \right) = 0$$

$$\rightarrow q_1 \left( \cos \alpha - \frac{x}{\sqrt{x^2 + y^2}} \right) + q_2 \left( \frac{l-x}{\sqrt{(l-x)^2 + y^2}} \right) = 0$$



شکل ۹۷-۲

ج) مثل قسمت (ب)، فرض کنیم که اولین بار، مقدار  $q_1$  را دارد و خط میدانی را دنبال می‌کنیم که از بار  $q_1$  با زاویه‌ی  $\alpha$  جدا شده است.

$$-\frac{q_1}{2\epsilon_0}(1 - \cos \alpha) + \sum_{i=1}^N \frac{q_i}{2\epsilon_0} \cdot \frac{(x - x_i)}{|x - x_i|} \times$$

$$\left( 1 - \frac{|x - x_i|}{\sqrt{(x - x_i)^2 + y^2}} \right) = \frac{Q}{\epsilon_0}$$

که در آن  $\lambda$  توزیع بار روی محور  $x$  را نشان می‌دهد.

$$Q = \lim_{a \rightarrow 0^+} \int_a^x \lambda(x) dx$$

د) به ازای  $N = 2$  معادله قسمت (ج) به شکل زیر در می‌آید:

$$-\frac{q_1}{2\epsilon_0}(1 - \cos \alpha) + \frac{q_1}{2\epsilon_0} \frac{(x)}{|x|} \cdot \left( 1 - \frac{x}{\sqrt{x^2 + y^2}} \right)$$

$$+ \frac{-q_2}{2\epsilon_0} \left( \frac{(x-l)}{|x-l|} \cdot \left( 1 - \frac{|x-l|}{\sqrt{(x-l)^2 + y^2}} \right) \right) = 0$$

$$\begin{aligned} \rightarrow & -\frac{q_1}{r\epsilon_0}(1 - \cos \alpha) + \frac{q_1}{r\epsilon_0} \left( 1 - \frac{x}{\sqrt{x^2 + y^2}} \right) \\ & + \frac{q_2}{r\epsilon_0} \left( 1 - \frac{l-x}{\sqrt{(l-x)^2 + y^2}} \right) = 0 \end{aligned}$$

که به شکل  $g(x, y) = 0$  است. حالا برای به دست آوردن زاویه  $\beta$  می‌گوییم

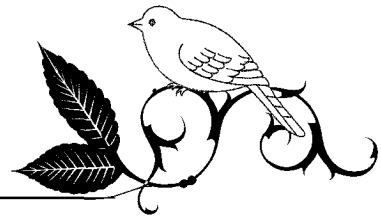
$$\tan \beta = \left. \frac{dy}{dx} \right|_{x=l}$$

$$\rightarrow g(x, y) = 0 \rightarrow dg = 0 \rightarrow \frac{\partial g}{\partial x} dx + \frac{\partial g}{\partial y} dy = 0$$

$$\rightarrow \frac{dy}{dx} = -\frac{\frac{\partial g}{\partial x}}{\frac{\partial g}{\partial y}}$$

برای این قسمت چون مقادیر ثابت در مشتق‌گیری تأثیری ندارند می‌نویسیم:

$$\begin{aligned} g(x, y) &= q_1 \frac{x}{\sqrt{x^2 + y^2}} + q_2 \frac{l-x}{\sqrt{(l-x)^2 + y^2}} \\ \rightarrow \frac{\partial g}{\partial x} &= q_1 \left( \frac{\sqrt{x^2 + y^2} - \frac{x \times 2x}{2\sqrt{x^2 + y^2}}}{x^2 + y^2} \right) \\ &+ q_2 \left( \frac{-\sqrt{(l-x)^2 + y^2} - (l-x) \frac{-2(l-x)}{2\sqrt{(l-x)^2 + y^2}}}{(l-x)^2 + y^2} \right) \\ &= q_1 \left( \frac{y^2}{(x^2 + y^2)^{3/2}} \right) + q_2 \left( \frac{-y^2}{((l-x)^2 + y^2)^{3/2}} \right) \\ \frac{\partial g}{\partial y} &= q_1 \left( \frac{-\frac{2yx}{2\sqrt{x^2 + y^2}}}{(x^2 + y^2)^{3/2}} \right) + q_2 \left( \frac{-\frac{2y(l-x)}{\sqrt{(l-x)^2 + y^2}}}{((l-x)^2 + y^2)^{3/2}} \right) \\ &= \frac{\partial g}{\partial y} = - \left[ q_1 \frac{xy}{(x^2 + y^2)^{3/2}} + q_2 \frac{y(l-x)}{((l-x)^2 + y^2)^{3/2}} \right] \\ \rightarrow \frac{dy}{dx} &= \frac{q_1 \frac{y^2}{(x^2 + y^2)^{3/2}} + q_2 \frac{-y^2}{((l-x)^2 + y^2)^{3/2}}}{q_1 \frac{xy}{(x^2 + y^2)^{3/2}} + q_2 \left( \frac{y(l-x)}{((l-x)^2 + y^2)^{3/2}} \right)} \end{aligned}$$



در دو فصل قبل ابتدا با مفهوم میدان الکتریکی آشنا شدیم و آموختیم که چگونه می‌توان با کمک قانون کولن به محاسبه‌ی میدان الکتریکی پرداخت. در فصل قبل، قانون گاوس را مطالعه کردیم و با استفاده از آن درباره‌ی شارگذرنده از سطوح بسته اظهارنظر کردیم و دیدیم که چطور در مدل‌هایی با تقارن زیاد، می‌توان وضعیت میدانی را که با دردسر زیاد از قانون کولن به دست می‌آید، به سادگی به دست آورد.

حالا در این مرحله بیاید ذهنمان را به چند فصل قبل برگردانیم (منظور از فصل‌های قبل، فصل‌هایی از جلد‌های قبل است) به قسمت دینامیک، دیدیم که می‌توان معادله‌ی حرکت اجسام را با استفاده از اصول دینامیک (قوانین نیوتن، سینماتیک) به دست آورد. در فصل‌های ابتدایی این روش را در مسائل متعددی به کار بستیم و پاسخ‌های صحیح را یافتیم. اما به خاطر دارید که کارها در قسمت مکانیک به همین جا ختم نشد، بعد از آن مفهومی به اسم کار را مطرح کردیم و به رفتار انرژی موجود در یک سیستم دینامیکی علاقه نشان دادیم، دیدیم که هر از چند گاهی مسائلی که از دیدگاه دینامیک برداری به سختی حل می‌شدند از منظر انرژی بسیار ساده قابل تحلیل بودند، منظری که در آن کمیت‌های برداری نظیر مکان، سرعت، شتاب و ... جای خود را به کمیت اسکالر (نرده‌ای) انرژی می‌دهد.

بعد از دینامیک به سراغ گرانش رفتیم. نیرویی که به علت خواص ویژه‌اش توانستیم در فضا، کمیتی به نام میدان گرانشی را به آن نسبت دهیم و سپس برای آن انرژی پتانسیل و پتانسیل گرانشی تعریف کنیم. شباهت‌های کم‌نظیر الکترواستاتیک و گرانش ما را وسوسه می‌کند که تحلیلی شبیه به گرانش را برای میدان الکتریکی مد نظر قرار دهیم.



در قسمت کار و انرژی با استفاده از قانون نیوتن، به معادله‌ی کار و انرژی می‌رسیدیم. برای یادآوری، این قسمت را مرور می‌کنیم. در یکی از پرتکرارترین فرم‌های موجود در طبیعت برای شکل نیروی

وارد شده ( $\vec{f}$ ) بر يك ذره‌ی مادی در حال حرکت، فرض می‌کنیم نیروی وارد شده  $\vec{f}$ ، تابعی از مکان ذره باشد<sup>۱</sup> یعنی

$$\vec{f} = \vec{f}(\vec{r})$$

که بردار مکان نقطه‌ای است که نیرو در آن محاسبه می‌شود، با فرض متمرکز بودن جرم  $m$  در نقطه‌ی  $\vec{r}$ ، طبق قانون دوم نیوتن

$$\vec{f}(\vec{r}) = m\vec{a} = m \cdot \frac{d^2\vec{r}}{dt^2} \quad (I)$$

از طرفی می‌دانیم:

$$\begin{aligned} \vec{v} \cdot \vec{a} &= \vec{a} \cdot \vec{v} \rightarrow \vec{v} \cdot \frac{d\vec{v}}{dt} = \vec{a} \cdot \frac{d\vec{r}}{dt} \\ \rightarrow \vec{v} \cdot d\vec{v} &= \vec{a} \cdot d\vec{r} = \frac{d^2\vec{r}}{dt^2} \cdot d\vec{r} \end{aligned} \quad (II)$$

با ضرب طرفین رابطه‌ی (I) در  $d\vec{r}$  و جایگذاری رابطه‌ی (II) در آن،

$$\vec{f} \cdot d\vec{r} = m \cdot \vec{v} \cdot d\vec{v}$$

همچنین طبق قاعده‌ی مشتق زنجیره‌ای از ریاضیات می‌دانیم،

$$d(\rho \cdot q) = d\rho \cdot q + dq \cdot \rho$$

که در آن  $\rho$  و  $q$  دو تابع دلخواه هستند. در واقع این عمل دقیقاً مشتق‌گیری نیست بلکه دیفرانسیل‌گیری است و به صورت، ”دیفرانسیل  $\rho \cdot q$  برابر است با ...“ خوانده می‌شود. با استفاده از این موضوع می‌توانیم بنویسیم:

$$d(v^2) = d(\vec{v} \cdot \vec{v}) = 2(\vec{v} \cdot d\vec{v})$$

به این صورت

$$\vec{f} \cdot d\vec{r} = \frac{1}{2} m \cdot d(v^2)$$

با انتگرال گرفتن از دو طرف این رابطه روی یک مسیر دلخواه  $C$  و از نقطه‌ی  $A$  تا  $B$  داریم:

$$\frac{1}{2} m v_B^2 - \frac{1}{2} m v_A^2 = \int_A^B \vec{f} \cdot d\vec{r}$$

طبق تعریف، به سمت راست این معادله کار انجام شده توسط نیروی  $\vec{f}$  در امتداد مسیر  $C$  و از نقطه‌ی  $A$  تا  $B$  گفته می‌شود، حالا به مثال زیر دقت کنید.

نیروهای

$$\vec{f} = yz\hat{i} + xy\hat{j} + xz\hat{k} \quad (\text{الف})$$

$$\vec{f} = yz\hat{i} + xz\hat{j} + xy\hat{k} \quad (\text{ب})$$

(۱) منظور این است که تابع سایر کمیت‌های فیزیکی مانند سرعت، زمان و ... نباشد. البته منظور، تابعیت مستقل است، چرا که به صورت نظری هر تابعی از سرعت، زمان و ... را می‌توان به صورت تابعی از مکان بیان کرد.

و دو نقطه‌ی  $(0, 0, 0)$  و  $(1, 1, 1)$  مفروضند، کار نیروی  $\vec{f}$  را در امتداد دو مسیر  $C_1$  و  $C_2$  نشان داده شده بر روی شکل و از نقطه‌ی  $(0, 0, 0)$  تا نقطه‌ی  $(1, 1, 1)$  محاسبه کنید.

حل. الف-۱) در امتداد این مسیر می‌دانیم در هر نقطه  $x = y = z$  و  $dx = dy = dz$

$$\begin{aligned} \rightarrow \int_A^B \vec{f} \cdot d\vec{r} &= \int_A^B \vec{f} \cdot (dx\hat{i} + dy\hat{j} + dz\hat{k}) \\ &= \int_0^1 x^2 \cdot dx + \int_0^1 x^2 \cdot dx + \int_0^1 x^2 \cdot dx = 1 \end{aligned}$$

الف-۲) این مسیر به دقت تقسیم می‌شود، در قسمت اول،  $dz = 0$  و  $z = cte = 0$  و در قسمت دوم  $x = y = cte = 1$  به این صورت

$$\begin{aligned} C_2 : \int_A^B \vec{f} \cdot d\vec{r} &= \int_A^E \vec{f} \cdot d\vec{r} + \int_E^B \vec{f} \cdot d\vec{r} \\ \int_A^E \vec{f} \cdot d\vec{r} &= \int_A^E xy dy = \int_0^1 y^2 dy = \frac{1}{3} \\ \int_E^B \vec{f} \cdot d\vec{r} &= \int_0^1 z dz = \frac{1}{2} \\ \rightarrow \int_A^B \vec{f} \cdot d\vec{r} &= \frac{1}{3} + \frac{1}{2} = \frac{5}{6} \end{aligned}$$

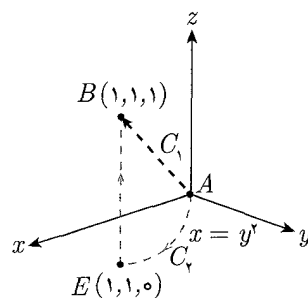
$$C_1 : \int_A^B \vec{f} \cdot d\vec{r} = 3 \int_0^1 x^2 \cdot dx = 1 \quad \begin{array}{l} \text{ب-۱} \\ \text{ب-۲} \end{array}$$

$$\begin{aligned} C_2 : \int_A^E \vec{f} \cdot d\vec{r} &= 0, \quad \int_E^B \vec{f} \cdot d\vec{r} = \int_0^1 dz = 1 \\ \int_A^B \vec{f} \cdot d\vec{r} &= 0 + 1 = 1 \end{aligned}$$

همان‌طور که دیده می‌شود، کار انجام شده توسط نیروی الف، در دو مسیر  $C_1$  و  $C_2$  متفاوت است، حال آن‌که برای نیروی ب، این دو مقدار برابر است، نیروی گرانش و نیروی اصطکاک مثال خوب دیگر از این موضوع است، حاصل انتگرال  $\int_A^B \vec{f} \cdot d\vec{r}$  در حالت کلی به غیر از نقاط  $A$  و  $B$  به مسیر انتگرال‌گیری هم بستگی دارد، اما در حالت‌های خاصی که در آنها به نیروی  $\vec{f}$  نیروی پایستار گفته می‌شد وضعیت به گونه‌ی دیگری بود، حاصل انتگرال کار نیرو در هر مسیری فقط به نقاط ابتدایی و انتهایی بستگی پیدا می‌کرد. این نوع نیروها، منشأ به وجود آمدن مفهوم پتانسیل هستند، در ادامه به توضیح بیشتر این مفهوم می‌پردازیم.

فرض کنید حاصل انتگرال  $\int_A^B \vec{f} \cdot d\vec{r}$  بخواهد برای تمام مسیرهای دلخواه  $C$  یکسان باشد (مستقل از مسیر باشد)، در این صورت باید تابعی مثل  $\phi$  وجود داشته باشد که  $d\phi = \vec{f}(\vec{r}) \cdot d\vec{r}$  تا بتوان حاصل انتگرال را طبق قضیه‌ی اساسی انتگرال به صورت  $\phi(B) - \phi(A)$  نوشت. با فرض وجود داشتن چنین تابعی

$$d\phi = \vec{f}(\vec{r}) \cdot d\vec{r} = f_x(\vec{r}) \cdot dx + f_y(\vec{r}) \cdot dy + f_z(\vec{r}) \cdot dz$$



شکل ۳-۱

$$\int_A^B \vec{f} \cdot d\vec{r} = \int_A^B d\phi = \phi_B - \phi_A$$

از طرفی طبق قاعده مشتقات زنجیره‌ای که آنها را در قسمت ریاضی مطالعه کرده‌ایم می‌دانیم:

$$d\phi = \frac{\partial \phi}{\partial x} dx + \frac{\partial \phi}{\partial y} dy + \frac{\partial \phi}{\partial z} dz + \frac{\partial \phi}{\partial t} dt$$

با متحد قرار دادن دو ضابطه  $d\phi$  خواهیم داشت:

$$f_x = \frac{\partial \phi}{\partial x}, f_y = \frac{\partial \phi}{\partial y}, f_z = \frac{\partial \phi}{\partial z}, \circ = \frac{\partial \phi}{\partial t} \quad (I)$$

عبارت آخر نشان می‌دهد که این تابع جدید  $\phi$  نباید بستگی به زمان (یا به همین صورت عوامل مستقل از مکان دیگر) داشته باشد. اما اگر تابعی مثل  $\phi$  بخواهد وجود داشته باشد باید پیوسته باشد و به این صورت، طبق قضایای ریاضی،

$$\frac{\partial^2 \phi}{\partial x \partial y} = \frac{\partial^2 \phi}{\partial y \partial x}, \frac{\partial^2 \phi}{\partial x \partial z} = \frac{\partial^2 \phi}{\partial z \partial x}, \frac{\partial^2 \phi}{\partial y \partial z} = \frac{\partial^2 \phi}{\partial z \partial y} \quad (II)$$

با مطابقت روابط (I) و (II):

$$\begin{aligned} \frac{\partial f_x}{\partial y} &= \frac{\partial f_y}{\partial x}, \frac{\partial f_z}{\partial x} = \frac{\partial f_x}{\partial z}, \frac{\partial f_z}{\partial y} = \frac{\partial f_y}{\partial z} \\ \frac{\partial f_x}{\partial y} - \frac{\partial f_y}{\partial x} &= \circ \\ \frac{\partial f_z}{\partial x} - \frac{\partial f_x}{\partial z} &= \circ \\ \frac{\partial f_z}{\partial y} - \frac{\partial f_y}{\partial z} &= \circ \end{aligned}$$

و به این صورت طبق تعریف  $\vec{\nabla} \times \vec{f}$  داریم:

$$\det \begin{pmatrix} i & j & k \\ \frac{\partial}{\partial x} & \frac{\partial}{\partial y} & \frac{\partial}{\partial z} \\ f_x & f_y & f_z \end{pmatrix} = \circ \rightarrow \vec{\nabla} \times \vec{f} = \circ$$

به این صورت برای این که تابع  $\phi$  وجود داشته باشد و حاصل انتگرال مستقل از مسیر  $C$  باشد باید  $\vec{\nabla} \times \vec{f} = \circ$  باشد اثبات‌های دیگری هم به طرق مشابه برای تابع این موضوع وجود دارند.





قضیه‌ی مشتق‌های جزئی، جزء یک تابع مانند  $f$  را که تابعی از سه متغیر  $x$ ،  $y$  و  $z$  است، به صورت زیر بیان می‌کند

$$df = \left(\frac{\partial f}{\partial x}\right)dx + \left(\frac{\partial f}{\partial y}\right)dy + \left(\frac{\partial f}{\partial z}\right)dz$$

که در آن برای مثال  $\frac{\partial f}{\partial x}$  مشتق جزئی تابع  $f$  نسبت به متغیر  $x$  نامیده می‌شود و بدین مفهوم است که در صورتی که متغیرهای دیگر (در اینجا  $y$  و  $z$ ) ثابت باشند، تغییرات تابع  $f$  با تغییر  $x$  چگونه خواهد بود. قضیه‌ی مشتقات جزئی، تغییرات  $f$  را وقتی متغیرها به مقدار بی‌نهایت کوچک  $dx$ ،  $dy$  و  $dz$  تغییر می‌کنند، نشان می‌دهد. در مشتق یک تابع نسبت به یک متغیر، دانستیم که مشتق تابع  $f$ ، تغییرات آن را در یک جابه‌جایی کوچک معلوم می‌کند اما با بالا رفتن تعداد متغیرها این تغییرات به جهت جابه‌جایی بستگی خواهد داشت، چرا که در سه جهت مختلف  $(x)$ ،  $y$  و  $z$  تغییر مکان ممکن است. مثلاً ممکن است تغییرات  $f$  با حرکت به سمت  $x$  سریع باشد ولی با حرکت به سمت بالا (در جهت  $z$ ) تغییرات چشم‌گیری وجود نداشته باشد. بنابراین جواب‌های مختلفی برای سرعت تغییرات تابع بیش از یک متغیره وجود دارد. با استفاده از قضیه‌ی مشتقات جزئی، تغییرات تابع به صورت جمعی از حاصل ضرب مشتق جزئی نسبت به یک متغیر در جزء آن متغیر تعریف می‌شود و با این کار تغییرات تابع در حالت کلی با استفاده از سه مشتق جزئی آن در راستای سه محور مختلف معلوم می‌شود. معادله‌ی گفته شده را می‌توان به شکل ضرب داخلی یک بردار در بردار جابه‌جایی بسیار کوچک، یعنی  $d\vec{r}$  نشان داد. بردار اول در این ضرب داخلی را «بردارگرادیان تابع  $f$ » می‌نامند.

$$\begin{aligned} ds &= \left(\frac{\partial f}{\partial x}\hat{x} + \frac{\partial f}{\partial y}\hat{y} + \frac{\partial f}{\partial z}\hat{z}\right) \cdot (dx\hat{x} + dy\hat{y} + dz\hat{z}) \\ &= \vec{\nabla}f \cdot d\vec{r} \end{aligned}$$

گرادیان  $f$  مشتق تعمیم یافته‌ای برای تابع  $f$  با سه مؤلفه است که خود برداری با سه مؤلفه شده است. توجه کنید که علامت  $\nabla$  که عملگر «نابلا» نامیده می‌شود وقتی در یک اسکالر مانند  $f$  ضرب می‌شود شکل گرفته شده را پیدا می‌کند. این عملگر در نوع خود به شکل زیر تعریف می‌شود:

$$\vec{\nabla} = \hat{x}\frac{\partial}{\partial x} + \hat{y}\frac{\partial}{\partial y} + \hat{z}\frac{\partial}{\partial z}$$

در عمل، عملگر نابلا در تابع  $f$  ضرب نمی‌شود، بلکه عملگری است برداری که با اصطلاح روی  $f$  عمل می‌کند و از آن مشتق می‌گیرد. البته باید توجه کرد که  $\vec{\nabla}$  علی‌رغم بودن، خودش یک بردار است و می‌توان تمامی اعمال مربوط به بردارها را بر آن پیاده کرد. این عملگر با عمل کردن روی تابع اسکالر سه متغیره‌ی  $f$  در حقیقت نشان می‌دهد که با جابه‌جایی نقطه توسط بردار کوچک  $d\vec{r}$ ، تابع  $f$  چقدر تغییر می‌کند. توجه کنید که دیفرانسیل  $f$  برابر با ضرب داخلی دو بردارگرادیان  $f$  و بردار جابه‌جایی تعریف شده است. این بدین معنی است که تغییرات  $f$  زمانی بیشترین مقدار



است که گرادیان  $f$  با بردار جابه‌جایی هم‌جهت باشد (چرا که در ضرب داخلی دو بردار، زمانی پاسخ ضرب بیشینه است که زاویه  $\theta$  بین دو بردار صفر باشد که در نتیجه  $\cos \theta$  برابر ۱ شود). بنابراین بیشترین تغییرات تابع هنگامی اتفاق می‌افتد که ما در جهت بردار گرادیان تابع حرکت کنیم. با این توضیح معلوم می‌شود که گرادیان خودبه‌خود در امتدادی است که بیشترین تغییرات  $f$  رخ می‌دهد. اندازه‌ی این بردار همان آهنگ افزایش تابع  $f$  در امتداد بیشینه‌ی تغییرات آن است. بنابراین در حرکت روی سطح منحنی‌الشکل یک کوه، در هر نقطه تندترین سرازیری جهت گرادیان را معلوم می‌کند و اندازه‌ی شیب حرکت در آن نقطه همان اندازه‌ی گرادیان خواهد بود. برای تعیین نقطه‌ای که در آن جزء جابه‌جایی تابع  $f$  باشد، مانند تابع یک‌متغیره، کافیست گرادیان آن را صفر قرار دهید. بنابراین گرادیان در مجموع معادل با شکل برداری مشتق است.

گرادیان تابع  $f(x, y, z) = x^2 y^3 z^4$  را به دست آورید.



حل.

$$\begin{aligned}\vec{\nabla} f &= \frac{\partial f}{\partial x} \hat{x} + \frac{\partial f}{\partial y} \hat{y} + \frac{\partial f}{\partial z} \hat{z} \\ &= 2x \times y^3 z^4 \hat{x} + 3y^2 \times x^2 z^4 \hat{y} + 4z^3 \times x^2 y^3 \hat{z} \\ &= 3z^4 \hat{x} + 3x^2 y^2 z^4 \hat{y} + 4x^2 y^3 z^3 \hat{z}\end{aligned}$$

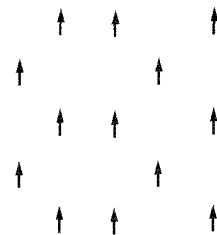
## دیورژانس یک بردار



دیورژانس یک بردار به صورت ضرب داخلی بردار عملگر نابلا ( $\vec{\nabla}$ ) در یک بردار تعریف می‌شود:

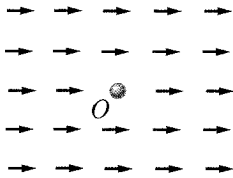
$$\begin{aligned}\vec{\nabla} \cdot \vec{A} &= \left( \hat{x} \frac{\partial}{\partial x} + \hat{y} \frac{\partial}{\partial y} + \hat{z} \frac{\partial}{\partial z} \right) \cdot (A_x \hat{x} + A_y \hat{y} + A_z \hat{z}) \\ &= \frac{\partial A_x}{\partial x} + \frac{\partial A_y}{\partial y} + \frac{\partial A_z}{\partial z}\end{aligned}$$

دیورژانس یک بردار نشان‌دهنده‌ی شکل و میزان پخش شدگی در نقطه‌ی اثر بردار است. البته برداری که بیش از یک متغیر دارد به صورت تابع برداری شناخته می‌شود که در سطح یا فضا پخش شده است. اگر هر بردار را به صورت یک پیکان در نظر بگیریم که خاصیتی مانند سرعت سیال یا هر چیز دیگری را حمل می‌کند، سمت و سویی که مجموعه‌ی بردارها به همراه یکدیگر شکل می‌دهند با استفاده از مفهوم دیورژانس قابل تعبیر است. یک تابع برداری با دیورژانس صفر به صورت شکل ۲-۳ دیده می‌شود که هیچ‌گونه پخش و جمع شدنی ندارد. در نقطه‌ی دیگر از تابع برداری، مجموعه‌ای از بردارها به صورت شکل ۳-۳ یا ۴-۳ دیده می‌شوند که نقطه‌ی میانی‌شان (نقطه‌ی  $o$ ) را در نقش یک چشمه یا چاه نشان می‌دهند. در این نقطه دیورژانس تابع برداری مثبت است. بر عکس این موضوع وقتی است که بردارها به سمت داخل نقطه‌ی  $o$  جهت‌گیری کرده باشند که در این صورت دیورژانس نقطه‌ی  $o$  منفی خواهد بود. به عنوان مثال نقطه‌ی محل

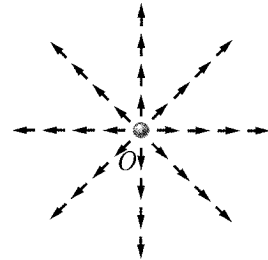


شکل ۲-۳

فوران آب از زمین در یک چشمه دارای دیورژانس مثبت و نقطه‌ی نفوذ آب به داخل زمین (یا همان چاهک) دارای دیورژانس منفی هستند. همان‌طور که از رابطه هم معلوم است، محاسبه‌ی دیورژانس بردار  $\vec{A}$  به شکل جمع مشتقات جزئی هر کدام از مؤلفه‌ها نسبت به متغیر متناظرشان صورت می‌گیرد.



شکل ۴-۳



شکل ۳-۳

دیورژانس تابع برداری  $\vec{A} = xy^2\hat{x} + 3y^3\hat{y} + 4xz^3\hat{z}$  را به دست آورید. حل. با توجه به تعریف دیورژانس:

$$\vec{\nabla} \cdot \vec{A} = \frac{\partial A_x}{\partial x} + \frac{\partial A_y}{\partial y} + \frac{\partial A_z}{\partial z} = y^2 + 12yz^2 + 12xz^2$$

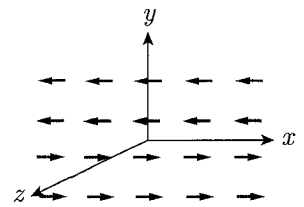
مثال ۳

کرل یک بردار



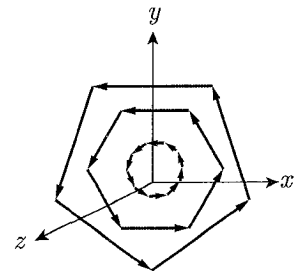
کرل یک بردار به صورت ضرب خارجی بردار عملگر نابلا ( $\vec{\nabla}$ ) در یک بردار تعریف می‌شود که برابر با دترمینان ماتریس زیر است:

$$\vec{\nabla} \times \vec{A} = \begin{vmatrix} \hat{x} & \hat{y} & \hat{z} \\ \frac{\partial}{\partial x} & \frac{\partial}{\partial y} & \frac{\partial}{\partial z} \\ A_x & A_y & A_z \end{vmatrix} = \left( \frac{\partial A_z}{\partial y} - \frac{\partial A_y}{\partial z} \right) \hat{x} + \left( \frac{\partial A_x}{\partial z} - \frac{\partial A_z}{\partial x} \right) \hat{y} + \left( \frac{\partial A_y}{\partial x} - \frac{\partial A_x}{\partial y} \right) \hat{z}$$



شکل ۵-۳

کرل یک تابع برداری در یک نقطه نشان دهنده‌ی میزان چرخش آن بردار حول آن نقطه است. به عنوان مثال هر سه تابع برداری نشان داده شده در شکل ۲-۳، ۳-۳ و ۴-۳ کرل صفر دارند. در یک گردابه که در سینک ظرف‌شویی به وجود می‌آید، کرل تابع سرعت آب در نقطه‌ی خروج آب سینک غیرصفر است. هر چه کرل آن بزرگ‌تر باشد، یعنی با شدت بیشتری در حال چرخش است. البته شکل ۵-۳ هم نمایانگر یک تابع برداری با کرل غیرصفر است. اگر تابع برداری به صورت دوبعدی در صفحه‌ی  $x - y$  باشد، مثبت بودن کرل در جهت محور  $z$  با استفاده از قاعده‌ی دست راست به راحتی قابل تشخیص خواهد بود. مثلاً در شکل ۶-۳ کرل تابع غیرصفر و حتی مثبت و در جهت  $z$  است.



شکل ۶-۳

کرل تابع برداری  $\vec{A} = x\hat{y}$  را به دست آورید.

$$\vec{\nabla} \times \vec{A} = \begin{vmatrix} \hat{x} & \hat{y} & \hat{z} \\ 0 & x & 0 \end{vmatrix} = \hat{z} \quad \text{حل.}$$

## شباهت‌های نیروهای الکترواستاتیکی و گرانشی

همان‌طور که در قسمت مقدمه گفته شد، شباهت‌های بسیاری بین سرشت نیروهای الکترواستاتیکی و گرانشی وجود دارد، دقت کنید:

$$f_{\text{gravitational}} = G \frac{m_1 m_2}{r^2}, \quad f_{\text{electrostatic}} = \frac{1}{4\pi\epsilon_0} \cdot \frac{q_1 q_2}{r^2}$$

یعنی اندازه‌ی نیروی وارد شده در هر دو مورد، برابر است با یک ضریب تناسب  $(\frac{1}{4\pi\epsilon_0}, G)$  در حاصل ضرب یک ویژگی از ذراتی که به هم نیرو وارد می‌کنند (جرم / بار) تقسیم بر مجذور فاصله آنها.

همچنین دقت کنید که هر دو نیرو، جزء دسته نیروهایی هستند که برایشان میدان تعریف می‌شود، و اندازه و جهت میدان برایشان به صورت‌های زیر به دست می‌آید:

$$\vec{E}_{\text{gravitational}} = \frac{\vec{f}_{\text{gravitational}}}{m_0}, \quad \vec{E}_{\text{electrostatic}} = \frac{\vec{f}_{\text{electrostatic}}}{q_0}$$

یعنی در هر مورد برای اندازه‌گیری میدان ناشی از وجود بار  $q$  یا جرم  $m$  بار دیگر  $q_0$  و یا جرم دیگر  $m_0$  را تحت اثر آنها می‌گذاشتیم و با اندازه‌گیری نیروی وارد شده و تقسیم آن بر بار یا جرم آزمون  $(m_0, q_0)$  میدان را تعیین می‌کردیم.

## انرژی پتانسیل

همان‌طور که از قسمت گرانش به یاد دارید، مستقل بودن حاصل انتگرال  $\int_A^B \vec{f} \cdot d\vec{r}$  از مسیر  $C$ ، و بستگی تنهای آن به نقاط  $A$  و  $B$ ، برای توابع پتانسیل به ما این امکان را می‌دهد که با نسبت دادن یک مقدار انرژی دلخواه به یک نقطه‌ی دلخواه به عنوان سطح مبدأ به سایر نقاط فضا، مقادیر انرژی یکتایی را نسبت بدهیم، مقداری که به آن انرژی پتانسیل می‌گفتیم.

## انرژی پتانسیل الکتریکی

انرژی پتانسیل، تنها در صورتی برای یک نیرو قابل تعریف است که آن نیرو از دسته نیروهای پتانسیل (پایستار) باشد، بنابراین اولین قدم در بررسی انرژی پتانسیل الکتریکی، آن است که از سرشت پایستار این نیرو اطمینان حاصل کنیم.

فرض کنید در نقطه از فضا، بار  $q$  قرار دارد، و بار  $q_0$  در فضای اطراف آن به شکل دلخواه (ولی با سرعت‌های پایین) حرکت می‌کند. اگر بتوانیم ثابت کنیم  $\vec{\nabla} \times \vec{f} = 0$ ، نیروی وارد بر بار  $q_0$ ، صفر

است، به هدف خود نزدیک می‌شویم. با در نظر گرفتن یک دستگاه مختصات کروی، در مرکز  $q$ ،

$$\vec{f} = \frac{qq_0}{4\pi\epsilon_0} \cdot \frac{1}{r^2} \cdot \hat{e}_r$$

با استفاده از روابط قسمت آنالیز برداری، قسمت دستگاه کروی

$$\begin{aligned} & \frac{1}{r \sin \theta} \left[ \frac{\partial}{\partial \theta} (f_\varphi \sin \theta) - \frac{\partial f_\theta}{\partial \varphi} \right] \hat{e}_r \\ & + \frac{1}{r} \left[ \frac{1}{\sin \theta} \frac{\partial f_r}{\partial \varphi} - \frac{\partial}{\partial r} (r f_\varphi) \right] \hat{e}_\theta \\ & \hat{e}_\theta + \frac{1}{r} \left[ \frac{\partial}{\partial r} (r f_\theta) - \frac{\partial f_r}{\partial \theta} \right] \hat{e}_\varphi = 0 \end{aligned}$$

به این صورت، نیروی وارده از هر بار منفرد به بارهای اطراف خود یک نیروی پایستار خواهد بود، با توجه به خطی بودن اپراتور  $\vec{\nabla} \times$  مجموع چند تابع پایستار، خود یک تابع (نیروی) پایستار خواهد بود و با معرفی هر توزیع بار پیوسته یا گسسته به عنوان مجموع بارهای منفرد نقطه‌ای یا دیفرانسیلی، به نتیجه‌گیری مورد نظر خواهیم رسید.

به عنوان یک روش دیگر، با بیان ریاضی دقیق‌تر، می‌توان در حالت کلی ثابت کرد که  $\vec{\nabla} \times \vec{f}$  صفر است، در این روش ابتدا تابعی پیدا می‌کنیم مانند  $\phi$  که بتوان  $\vec{f}$  را به عنوان  $\nabla \phi$  معرفی کرد. برای مثال، اگر یک بار با اندازه‌ی  $q$  در محل  $\vec{r}_0$  نسبت به مبدأ قرار داشته باشد، نیروی وارد بر بار  $q_0$ ، واقع در مکان  $\vec{r}$ ، به صورت

$$\vec{f}(\vec{r}) = \frac{qq_0}{4\pi\epsilon_0} \cdot \frac{(\vec{r} - \vec{r}_0)}{|\vec{r} - \vec{r}_0|^3} = \frac{qq_0}{4\pi\epsilon_0} \cdot \vec{\nabla} \frac{1}{|\vec{r} - \vec{r}_0|}$$

قابل نمایش است. حال با در دست داشتن این نمایش جدید نیروی  $\vec{f}$  و با استفاده از قضایای ریاضی داریم:

$$\begin{aligned} \vec{\nabla} \times \vec{f} &= \vec{\nabla} \times \left( \frac{qq_0}{4\pi\epsilon_0} \vec{\nabla} \frac{1}{|\vec{r} - \vec{r}_0|} \right) \\ &= \frac{qq_0}{4\pi\epsilon_0} \cdot \vec{\nabla} \times \left( \vec{\nabla} \frac{1}{|\vec{r} - \vec{r}_0|} \right) = 0 \end{aligned}$$

چون می‌دانیم که  $(\vec{\nabla} \times (\vec{\nabla} \psi))$  که در آن  $\psi$  یک تابع اسکالر است برابر است با صفر. حال که می‌دانیم که نیروی الکتریکی از دسته نیروهای پایستار است و حاصل انتگرال  $\int_C \vec{f} \cdot d\vec{r}$  بستگی به مسیر ندارد، آماده‌ایم تا انرژی پتانسیل الکتریکی را تعریف کنیم و روابط آن را به دست آوریم.

طبق قضیه‌ی کار و انرژی که در ابتدای این فصل هم به آن مراجعه کردیم، می‌دانیم

$$\frac{1}{2} m v_B^2 - \frac{1}{2} m v_A^2 = \int_A^B \vec{R} \cdot d\vec{r}$$

که در آن  $\vec{R}$  برآیند برداری کل نیروهای وارد به یک ذره است.

فرض کنيم ذره‌ی ما، یک جرم باردار نقطه‌ای به جرم  $m$  و بار  $q$  باشد. در حالت کلی بر این بار در حضور میدان الکتریکی دو نیرو وارد می‌شود، نخست نیروی الکتریکی ناشی از میدان الکتریکی و دیگر، نیروی خارجی، که می‌توانیم آن را به هر وسیله‌ای مثلاً با دست یا یک میدان گرانشی به ذره وارد کنیم. برای درک شهودی فرض کنیم این نیرو را با دست به ذره وارد می‌کنیم. بنابراین نیروهای وارد به ذره را با  $\vec{f}_{elec}$  و  $\vec{f}_{ext}$  نمایش می‌دهیم، پس تا اینجا:  $\vec{R} = \vec{f}_{elec} + \vec{f}_{ext}$ . در ادامه فرض کنید این ذره درون میدان از نقطه‌ی  $A$  به نقطه‌ی  $B$  و روی مسیر دلخواه  $C$  حرکت می‌کند، همچنین فرض کنیم که این ذره در مبدأ و مقصد سرعتی برابر  $v_0$  داشته، بنابراین:

$$\int_A^B \vec{R} \cdot d\vec{r} = \frac{1}{2} m (v_0^2 - v_0^2) = 0 = \int_A^B (\vec{f}_{elec} + \vec{f}_{ext}) \cdot d\vec{r} = 0$$

$$\rightarrow \int_A^B \vec{f}_{ext} \cdot d\vec{r} = - \int_A^B \vec{f}_{elec} \cdot d\vec{r}$$

و نشان دادیم که مقدار عبارت سمت راست، مستقل از مسیر  $C$  است، و به اجبار، طرف چپ هم همین وضعیت را دارد. یعنی کاری که نیروی خارجی، مثلاً نیروی دست ما، باید بر یک ذره وارد کند تا آن را در حالی که تحت اثر یک میدان الکتریکی است جابه‌جا کند به طوری که سرعت در ابتدا و انتهای مسیر یکسان باشد، مستقل از مسیری است که ما برای این کار انتخاب می‌کنیم. به این صورت می‌توانیم اختلاف انرژی پتانسیل بین دو نقطه را به این صورت بیان کنیم:

$$U_B - U_A = - \int_A^B \vec{f}_{elec} \cdot d\vec{r}$$

برای راحتی در قالب‌بندی اختلاف این انرژی پتانسیل، یک نقطه‌ی مبدأ را به عنوان سطح مبنا، با انرژی پتانسیل صفر در نظر می‌گیریم. معمولاً این نقطه را نقطه‌ی بی‌نهایت دور از مجموعه بار تولید کننده‌ی میدان در نظر می‌گیریم و انرژی پتانسیل آنجا را صفر محاسبه می‌کنیم:

$$U_B - U_\infty = - \int_\infty^B \vec{f}_{elec} \cdot d\vec{r}, \quad U_\infty = 0$$

$$\rightarrow U_B = -q_0 \int_\infty^B \vec{E}_{elec} \cdot d\vec{r}$$

به این صورت تعریف نهایی ما، برای انرژی پتانسیل به صورت زیر است:  
انرژی پتانسیل یک بار در یک نقطه‌ی یک میدان الکتریکی برابر است با کاری که نیروی خارجی باید برای جابه‌جایی آن بار از فاصله‌ی بی‌نهایت دور تا آن نقطه و با سرعت‌های برابر در ابتدا و انتهای مسیر انجام دهد.

اما بیایید با چند مثال، روند تغییر انرژی پتانسیل را بررسی کنیم.

فرض کنید دو بار  $q_1$  و  $q_2$  در فاصله‌ی  $d$  از یکدیگر مستقر شده‌اند. فرض کنید در این چیدمان بار  $q_1$  ثابت است و محل بار  $q_2$  تغییر می‌کند. برای تغییر فاصله‌ی  $d$ ، انرژی پتانسیل بار  $q_2$  چگونه تغییر می‌کند.

**حل.** هدف سؤال بررسی انرژی پتانسیل بار  $q_2$  در میدان بار  $q_1$  است، میدان بار  $q_1$  در فاصله  $r$  از آن به صورت زیر است:

$$\vec{E}(\vec{r}) = \frac{1}{4\pi\epsilon_0} \cdot \frac{q_1}{r^2} \cdot \hat{e}_r$$

که در آن میدان در دستگاه استوانه‌ای بیان شده است.

طبق تعریف، انرژی پتانسیل بار  $q_2$  در این میدان، در نقطه‌ای به فاصله  $r$  به صورت زیر

است:

$$U(r) = -q_2 \int_{\infty}^r \left( \frac{1}{4\pi\epsilon_0} \cdot \frac{q_1}{r^2} \cdot \hat{e}_r \right) \cdot d\vec{r}$$

برای محاسبه‌ی این انتگرال،  $d\vec{r}$  را به صورت  $+dr \cdot \hat{e}_r$  بازنویسی می‌کنیم، دلیل این‌که با تأکید علامت مثبت را متذکر شدیم را در ادامه خواهیم آورد، اما قبل از آن به تلاشمان برای پاسخ سؤال ادامه می‌دهیم، تا اینجای کار:

$$\begin{aligned} U(r) &= -\frac{q_1 q_2}{4\pi\epsilon_0} \cdot \int_{\infty}^r \frac{1}{r^2} \cdot dr \\ &= \frac{q_1 q_2}{4\pi\epsilon_0} \cdot \left[ \frac{1}{r} \right]_{\infty}^r = \frac{q_1 q_2}{4\pi\epsilon_0} \cdot \frac{1}{r} \end{aligned}$$

بنابراین اگر دو بار در فاصله  $d$  از یکدیگر قرار داشته باشند، انرژی پتانسیل برابر  $\frac{q_1 q_2}{4\pi\epsilon_0} \cdot \frac{1}{d}$  خواهد بود. اما در مورد روند تغییر انرژی پتانسیل با تغییر  $d$ ، دقت می‌کنیم که تا اینجای کار ما یک تابع انرژی پتانسیل بر حسب فاصله به دست آوردیم، اگر از این تابع بر حسب  $r$  مشتق بگیریم:

$$\begin{aligned} U(r) &= \frac{q_1 q_2}{4\pi\epsilon_0} \cdot \frac{1}{r} \\ \frac{dU(r)}{dr} &= -\frac{q_1 q_2}{4\pi\epsilon_0} \cdot \frac{1}{r^2} \end{aligned}$$

بنابراین روند تغییر انرژی پتانسیل بر حسب فاصله  $d$  بسته به وضعیت بارهای  $q_1$  و  $q_2$  می‌تواند دو حالت داشته باشد.

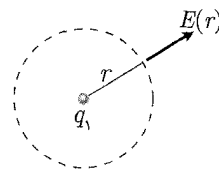
**الف) دو بار هم‌نام باشند:**

در این صورت مشتق یک مقدار همواره منفی خواهد بود، به این معنا که با دور شدن بارها انرژی کاهش خواهد یافت، با توجه به اصل کمینگی انرژی پتانسیل<sup>۱</sup> می‌توانیم پیش‌بینی کنیم که اگر دو بار هم‌نام را در کنار هم یا در نزدیکی هم رها کنیم (در این مسأله بار  $q_2$  را رها کنیم) حداکثر فاصله ممکن قرار خواهد گرفت. همچنین در این شرایط  $U(r)$  همواره مقداری مثبت دارد، و در حداقل حالت و در بی‌نهایت انرژی پتانسیل مقداری برابر صفر دارد.

**ب) دو بار ناهم‌نام باشند:**

در این صورت مشتق یک مقدار همواره مثبت است، یعنی وضعیت بر عکس حالت قبل است و بنابراین بارها در دورترین فاصله بیشترین انرژی پتانسیل را دارند، همچنین مقدار  $U(r)$  در

۱) طبق اصل، رویدادهای فیزیکی در طبیعت همواره در جهتی پیش می‌روند که سیستم‌های فیزیکی به حداقل سطح انرژی پتانسیل برسند. این اصل در شاخه‌های مختلفی از علم تجربی مانند فیزیک، شیمی، زیست و غیره مطرح است.



شکل ۷-۳



این شرایط همواره مقداری منفی است و در فاصله‌ی بی‌نهایت بیشترین مقدار خود، یعنی صفر را دارد. در این پیکربندی، اگر بارها را رها کنیم به هم نزدیک می‌شوند و حداقل فاصله ممکن را اختیار می‌کنند.

اما توضیح چند تذکر در قالب این مثال، سودمند خواهد بود:

قبل از هر چیز، برگردیم به این‌که چرا روی علامت مثبت در جمله‌ی  $d\vec{r} = +dr\hat{e}_r$  تأکید کردیم. یکی از سوالات رایج که دانش‌آموزان در مواجهه اول با این مطلب مطرح می‌کنند آن است که مگر نه این‌که در این انتگرال‌گیری، حرکت از سمت  $r = \infty$  به سمت  $r$  های کمتر است و مگر  $d\vec{r}$  جزء بردار حرکت روی مسیر انتگرال‌گیری از مبدأ به مقصد نیست؟ پس  $d\vec{r}$  در جهت  $-\hat{e}_r$  است و نه در جهت  $\hat{e}_r$ ، اما به محاسبه‌ی انتگرال زیر دقت کنید:

$$\begin{aligned}\int_r^\infty q_2 \vec{E} \cdot d\vec{r} &= \int_r^\infty \frac{q_2 \cdot q_1}{4\pi\epsilon_0} \cdot \frac{1}{r^2} \cdot \hat{e}_r \cdot dr \hat{e}_r \\ &= \frac{q_1 q_2}{4\pi\epsilon_0} \cdot \int_r^\infty \frac{1}{r^2} dr\end{aligned}$$

حاصل این انتگرال کار نیروی الکتریکی در جابه‌جایی از فاصله‌ی  $r$  تا بی‌نهایت دور را نشان می‌دهد، به این صورت اگر بارها هم‌نام باشد، نیروی الکتریکی با جابه‌جایی هم‌جهت است و حاصل انتگرال یک مقدار مثبت، و اگر بارها ناهم‌نام باشند برعکس.

حالا فرض کنید این بار با حفظ تمام شرایط بالا فقط جهت جابه‌جایی بارها را برعکس می‌کنیم، یعنی از بی‌نهایت دور تا فاصله‌ی  $r$ ، و دوباره کار نیروی الکتریکی را حساب می‌کنیم. انتظار داریم که بر خلاف دفعه‌ی قبل، اگر بارها هم‌نام باشند، کار نیروی الکتریکی مقداری منفی باشد، چرا که نیرو و جابه‌جایی در خلاف جهت هم خواهند بود و نیروی الکتریکی نیروی مقاوم محسوب شده اما اگر استدلال به کار رفته در ابتدای این تذکر درست باشد، یعنی در این انتگرال جدید  $d\vec{r}$  را به صورت  $-dr\hat{e}_r$  بازنویسی کنیم:

$$\begin{aligned}\int_\infty^r q_2 \cdot \vec{E} \cdot d\vec{r} &= \int_\infty^r \frac{q_1 q_2}{4\pi\epsilon_0} \cdot \frac{1}{r^2} \cdot \hat{e}_r \cdot (-dr) \hat{e}_r \\ &= -\frac{q_1 q_2}{4\pi\epsilon_0} \cdot \int_\infty^r \frac{1}{r^2} \cdot dr\end{aligned}$$

و با تأثیر دادن علامت منفی در حدود انتگرال‌گیری:

$$-\frac{q_1 q_2}{4\pi\epsilon_0} \int_\infty^r \frac{1}{r^2} \cdot dr = \frac{q_1 q_2}{4\pi\epsilon_0} \int_r^\infty \frac{1}{r^2} \cdot dr$$

همان‌طور که می‌بینید حاصل دقیقاً مانند حاصل قسمت قبل شد، در صورتی که باید منفی (قرینه) آن می‌شد، پس اشکال کار کجاست؟

مشکل کار در آن است که حرکت برعکس شده نسبت به بار اول، دو بار حساب شده، بار اول در وارونه کردن حدود انتگرال‌گیری و بار دوم در قرینه کردن المان برداری جابه‌جایی ( $d\vec{r}$ ) و در کل انگار هیچ تغییر ایجاد نشده است.



- دیگر این که، بر خلاف چیزی که به آن اشاره کردیم، این که کار محاسبه شده باید مستقل از مسیر باشد، ما کار را برای یک مسیر خاص (حرکت روی یک خط شعاعی) محاسبه کردیم، که دلیل این کار آسان سازی محاسبه بود. طبق اثبات های ارائه شده حاصل برای جابه جایی روی هر مسیر دیگری هم همین نتیجه را در پی داشت.

- دقت کنید که سطح مبنای پتانسیل به جای بی نهایت و با مقدار صفر می توانست هر نقطه ای دیگری و با هر مقداری باشد در این صورت تنها یک مقدار ثابت با انرژی پتانسیل جمع می شد، اما چیزی که واقعاً برای ما اهمیت دارد، تغییر انرژی پتانسیل است نه خود آن.  
- مشابهت های بسیاری بین انرژی پتانسیل الکتریکی و انرژی پتانسیل گرانشی وجود دارد، به آنها خوب دقت کنید.

- دقت کنید که اگر فرض مطرح شده در صورت مثال را عوض کنیم، یعنی این بار، بار  $q_2$  ثابت باشد و بار  $q_1$  را جابه جا کنیم و آن را از بی نهایت به فاصله  $d$  بیاوریم، انرژی پتانسیل تفاوتی نخواهد کرد، یعنی انرژی پتانسیل یکی از کمیت ها و خصلت های کل سیستم بارها موجود است. وجود حاصل ضرب  $q_1 q_2$  در عبارت انرژی پتانسیل، این گفته ی ما را تأیید می کند، در واقع فرض ثابت نگه داشتن یکی از بارها یک فرض زائد است و فقط برای تصور راحت تر پیکربندی مسأله به آن اضافه شده است.

این بار فرض کنید ابتدا ۳ بار  $q_1, q_2, q_3$  و سپس  $n$  بار  $q_1, q_2, \dots, q_n$  از فاصله ی بسیار دور به وضعیتی آورده شده اند که فاصله ی دو بار  $i$  و  $j$ ، برابر  $d_{ij}$  (مقداری ثابت) باشد. انرژی پتانسیل سیستم را در این دو حالت محاسبه کنید.

**حل.** هدف این سؤال در واقع محاسبه ی انرژی پتانسیل سیستمی از بارها (مجموعه ای از بارها با پیکربندی دلخواه) است.<sup>۱</sup>

الف) سه بار  $q_1, q_2, q_3$ :

حالا که بیش از دو بار در پیکربندی حضور دارند، ترتیب جابه جا کردن آنها ممکن است مهم به نظر بیاید، گرچه این طور نیست، برای اطمینان یک بار بارها را به ترتیب ۱، ۲ و ۳ بار دیگر به ترتیب ۱، ۳، ۲ وارد می کنیم.

الف-۱) در ابتدا، یک فضای بسیار بزرگ خالی از هر باری را در اختیار داریم. به این صورت هیچ نیروی مقاومی در برابر حرکت دادن بار  $q_1$ ، وجود ندارد و نیروی خارجی نباید هیچ کاری انجام دهد، تبعاً هیچ انرژی پتانسیلی ذخیره نمی شود، در مرحله ی بعد، باید بار  $q_2$  را از بی نهایت دور به فاصله ی  $d_{12}$  از بار  $q_1$  بیاوریم، این مسأله مشابه مثال ۱ است، در این صورت انرژی پتانسیل ذخیره شده در سیستم برابر  $U_0 = \frac{q_1 q_2}{4\pi\epsilon_0} \cdot \frac{1}{d_{12}}$  خواهد بود، در مرحله ی بعد باید بار  $q_3$  را وارد کنیم. همان طور که گفته شد، مسیر حرکت در نیروهای پایستار اهمیتی ندارد، بنابراین می توان فرض کرد، بار  $q_3$  به هر دو بار  $q_1$  و  $q_2$  در یک مسیر شعاعی نزدیک می شود.<sup>۲</sup>

۱) بنا به تعریف، انرژی پتانسیل یک سیستم از بارها برابر با مقدار انرژی است که عامل خارجی باید صرف کند تا اجزای مختلف آن آرایش بار را از فاصله ی بی نهایت دور به وضعیت جدید برساند به صورتی که وضعیت بارها از لحاظ سرعت در ابتدا و انتهای مسیر یکسان باشد.

۲) برای اینکه درک بهتری از این موضوع داشته باشید، بد نیست بدانید که در هندسه هیچ تفاوتی بین نقاط مختلف از آنچه آن را بی نهایت می خوانیم وجود ندارد؛ حتی نقاطی که در دو راستای مختلف از بی نهایت واقع اند.



با استفاده از تعریف انرژی پتانسیل الکتریکی که در قسمت‌های پیشین مطرح شد، انرژی پتانسیل اضافه شده به سیستم را به این صورت محاسبه می‌کنیم:

$$\Delta U = - \int_{\infty}^B \vec{f}_{\text{elec}} \cdot d\vec{r} = -q_3 \int_{\infty}^B \vec{E}_{\text{elec}} \cdot d\vec{r}$$

اما در هر نقطه میدان الکتریکی  $\vec{E}_{\text{elec}}$ ، حاصل برآیند بردار  $\vec{E}_1$  و  $\vec{E}_2$  است، که به ترتیب ناشی از حضور  $q_1$  و  $q_2$  هستند.

$$\Delta U = -q_3 \left( \int_{\infty}^B \vec{E}_1 \cdot d\vec{r} + \int_{\infty}^B \vec{E}_2 \cdot d\vec{r} \right)$$

و نقطه‌ی  $B$  (نقطه‌ی مقصد) است به میدان‌های  $\vec{E}_1$  و  $\vec{E}_2$  به ترتیب متناظر با فاصله  $d_{13}$  و  $d_{23}$  است، بنابراین

$$\begin{aligned} \Delta U &= -q_3 \left( \int_{\infty}^{d_{13}} \frac{1}{4\pi\epsilon_0} \cdot \frac{q_1}{r^2} \cdot dr + \int_{\infty}^{d_{23}} \frac{1}{4\pi\epsilon_0} \cdot \frac{q_2}{r^2} \cdot dr \right) \\ &= \frac{1}{4\pi\epsilon_0} \cdot \frac{q_1 q_3}{d_{13}} + \frac{1}{4\pi\epsilon_0} \cdot \frac{q_2 q_3}{d_{23}} \end{aligned}$$

اما انرژی پتانسیل نهایی سیستم برابر است با:

$$\begin{aligned} U &= U_0 + \Delta U = \frac{1}{4\pi\epsilon_0} \cdot \frac{q_1 q_2}{d_{12}} \\ &+ \frac{1}{4\pi\epsilon_0} \cdot \frac{q_1 q_3}{d_{13}} + \frac{1}{4\pi\epsilon_0} \cdot \frac{q_2 q_3}{d_{23}} \end{aligned}$$

اگر به معنی کمیت  $\Delta U$  و جمع کردن آن با انرژی اولیه‌ی سیستم اعتراض دارید قسمت زیر را بخوانید.

در قسمت اول بخش انرژی پتانسیل الکتریکی ما بی‌نهایت دور را به عنوان مبدأ پتانسیل در نظر گرفتیم و پتانسیل صفر را به آن نسبت دادیم، برای حالتی که سیستم فقط شامل دو بار بود، اما در این قسمت انرژی پتانسیل بی‌نهایت را برابر با  $U_0$  در نظر گرفتیم که  $U_0$  انرژی پتانسیل سیستم شامل دو بار بود. وقتی بار سوم در بی‌نهایت باشد، دلیل این کار آن است که درست است که قرار ما، صفر در نظر گرفتن پتانسیل در بی‌نهایت دور بود، اما در مسائل مقدار مرزی ریاضی، در هر مسأله فقط یک بار حق انتخاب مقدار اولیه وجود دارد. مبدأ ما حالت بی‌نهایت دور شامل دو بار بود، یعنی وقتی که بار یک در مبدأ (برای مثال) و بار دو در بی‌نهایت دور بود و ما مجاز نیستیم وقتی دو بار در فاصله‌ی  $d_{1,2}$  از یکدیگر قرار داشتند و بار  $q_3$  در بی‌نهایت دور، برای بار دوم سطح مبنای پتانسیل را انتخاب کنیم.

(الف-۲) در این صورت با استدلالی مشابه قسمت (الف-۱)

$$U_0 = \frac{q_1 q_3}{4\pi\epsilon_0} \cdot \frac{1}{d_{13}}$$

همچنین برای راحتی می‌توان تصور کرد که بارها قبل از راه افتادن از بی‌نهایت به سمت نقطه‌ی مورد نظر در صفحه، در بی‌نهایت طوری جابه‌جا می‌شوند که امتداد حرکت آنان به نقطه‌ی مورد نظر، در راستای دلخواه ما باشد.

$$\Delta U = \frac{q_3 q_2}{4\pi\epsilon_0} \cdot \frac{1}{d_{32}} + \frac{q_1 q_2}{4\pi\epsilon_0} \cdot \frac{1}{d_{12}}$$

$$U = \frac{1}{4\pi\epsilon_0} \left( \frac{q_1 q_2}{d_{12}} + \frac{q_1 q_3}{d_{13}} + \frac{q_2 q_3}{d_{23}} \right)$$

همان‌طور که دیده می‌شود، این مقدار برابر مقدار قسمت (الف-۱) است، یعنی ترتیب جابه‌جا کردن بارها برای ما هیچ اهمیتی ندارد.

ب) در این قسمت هدف ما محاسبه‌ی انرژی پتانسیل چیدمان باری است که از  $n$  بار نقطه‌ای تشکیل شده است. به به کارگیری روند قسمت (الف) برای تعداد بیشتری بار، انرژی پتانسیل سیستم به صورت زیر بیان می‌شود.

$$U = \frac{1}{4\pi\epsilon_0} \sum_{i=1}^n \sum_{j=1}^n \frac{q_i q_j}{d_{ij}} \Big|_{i \neq j}$$

یعنی انرژی پتانسیل سیستم برابر است با مجموع انرژی‌های پتانسیل هر یک از حالت‌هایی که در آن دو بار از میان  $n$  بار از بی‌نهایت به مکان‌های مشخص شده‌ی خود بیایند.

## پتانسیل الکتریکی



بیاید دوباره به دانسته‌هایمان از بخش گرانش رجوع کنیم. به یاد داریم در نزدیکی‌های سطح زمین (برای سادگی) انرژی پتانسیل گرانشی به صورت  $mgh$  بیان می‌شود، (دقت کنید که  $g$  در واقع ضریبی از  $M_e$ ، جرم مولد میدان گرانشی بود). بدین معنا که هر جرمی که به اندازه‌ی  $h$  در راستای قائم جابه‌جا شود، انرژی آن به اندازه‌ی  $mgh$  تغییر خواهد کرد، اگر این مقدار را بر  $m$  تقسیم کنیم جمله‌ی حاصل یعنی  $gh$ ، برای تمام ذرات با هر جرم دلخواه  $m$  برابر خواهد بود (به شرط جابه‌جایی یکسان  $h$ ) و  $gh$  به صورت ضریبی از جرم مولد میدان (در اینجا  $M_e$ ) ضرب در کمیتی از جابه‌جایی بیان می‌شود. با این دید، بیاید به سراغ انرژی پتانسیل الکتریکی برویم، طبق بحث‌های ابتدای فصل، انرژی پتانسیل با در نظر گرفتن سطح مبنای پتانسیل صفر برابر است با:

$$U = -q_0 \int_{\infty}^B \vec{E}_{\text{elec}} \cdot d\vec{r}$$

که در آن  $\vec{E}_{\text{elec}}$ ، خو ضریبی است از بار به وجود آورنده میدان الکتریکی، این عبارت بیان می‌کند که اگر هر بار  $q_0$ ، در میدان از بی‌نهایت تا فاصله‌ای دلخواه جابه‌جا شود، انرژی پتانسیل الکتریکی آن به اندازه‌ی  $q_0 \times (V)$  تغییر می‌کند، در این عبارت نماد  $V$  جایگزین عبارت  $(-\int_{\infty}^B \vec{E}_{\text{elec}} \cdot d\vec{r})$  شده است، به طریق مشابه قسمت گرانش، با تقسیم انرژی پتانسیل الکتریکی بر بار  $q_0$ ، به کمیتی به نام پتانسیل الکتریکی می‌رسیم، کمیتی که آن را با یکای ولت (Volt) می‌سنجیم:

$$V = \frac{U}{q_0} = - \int_{\infty}^B \vec{E}_{\text{elec}} \cdot d\vec{r}$$

از تعریف این کمیت جدید، می‌توان رابطه‌ی یکای جدید Volt را با یکاهای قبل به دست آورد.



دقت کنید که اگر مبدأ پتانسیل را طور دیگری انتخاب می‌کردیم، پتانسیل هم تغییر می‌کرد و دارای سطح مبنای دیگری می‌شد، با تعریف فعلی، پتانسیل در بی‌نهایت صفر است.

در ادامه پس از بررسی یک مثال مختصر از مفهوم پتانسیل و معرفی مفهوم اختلاف پتانسیل در ضمن آن تلاشمان را روی به‌دست آوردن پتانسیل برای توزیع‌های مختلف بار متمرکز می‌کنیم. یک ذره  $\alpha$  ( $q = +2e$ ) در یک شتاب‌دهنده هسته‌ای از یک پایانه با پتانسیل  $V_a = +6.5 \times 10^6 \text{ V}$  به پایانه‌ی دیگر با پتانسیل  $V_b = 0 \text{ V}$  می‌رود. الف) انرژی پتانسیل سیستم چه تغییری می‌کند؟ ب) با فرض این‌که پایانه‌ها و بارهای آنها جابه‌جا نمی‌شوند، و نیز این‌که هیچ عامل خارجی روی این سیستم اثر نمی‌کند، تغییر در انرژی جنبشی ذره چقدر است؟ حل. الف) با توجه به تعریف انرژی پتانسیل، می‌توانیم اختلاف در انرژی پتانسیل را به صورت زیر بنویسیم:

$$\begin{aligned} U(B) - U(A) &= - \int_{\infty}^B \vec{f}_{\text{elec}} \cdot d\vec{r} - \left( - \int_{\infty}^A \vec{f}_{\text{elec}} \cdot d\vec{r} \right) \\ &= - \int_{\infty}^B \vec{f}_{\text{elec}} \cdot d\vec{r} - \int_A^{\infty} \vec{f}_{\text{elec}} \cdot d\vec{r} \\ &= - \int_A^B \vec{f}_{\text{elec}} \cdot d\vec{r} \end{aligned}$$

اختلاف پتانسیل الکتریکی هم به همین صورت، پس:

$$V(B) - V(A) = - \int_A^B \vec{E}_{\text{elec}} \cdot d\vec{r}$$

باید دقت کنیم که همان‌طور که قبلاً هم گفتیم، چیزی که برای ما از لحاظ فیزیکی مهم است، اختلاف کمیات انرژی پتانسیل و پتانسیل است، نه خود آنها، بنابراین ممکن بود، پتانسیل‌های ذکر شده برای پایانه‌های  $A$  و  $B$  در صورت سؤال، هر کدام مثلاً  $10^6 \text{ V}$  بیشتر باشد، اما هیچ تغییری در فیزیک مسأله ایجاد نمی‌شد!

با توجه به عبارت‌های بالا، و با فرض  $\vec{f}_{\text{elec}} = q \cdot \vec{E}_{\text{elec}}$  می‌توان گفت  $\Delta V = \frac{\Delta U}{q}$  و با جایگذاری داده‌های مثال،

$$\begin{aligned} \Delta U &= q \cdot \Delta V = (+2) \cdot (1.6 \times 10^{-19} \text{ C}) \cdot (0 - 6.5 \times 10^6 \text{ V}) \\ &= -2.1 \times 10^{-12} \text{ J} \end{aligned}$$

ب) اگر هیچ نیروی خارجی به یک سیستم وارد نشده می‌دانیم که انرژی مکانیکی آن بدون تغییر باقی خواهد ماند:

$$E = \text{cte} = K + U \rightarrow \Delta K = -\Delta U \rightarrow \Delta K = 2.1 \times 10^{-12} \text{ J}$$

ممکن است اعتراض کنید که تعریف انرژی پتانسیل به گونه‌ای بود که محاسبه‌ی آن مستلزم حفظ وضعیت سرعت (انرژی جنبشی) در ابتدا و انتهای مسیر است، اما یک بار دیگر به روند

تعریف انرژی پتانسیل نگاه کنید. این شرط صرفاً یک نقش قراردادی بازی می‌کند. نقشی که به ما اجازه می‌دهد تعریفی واحد از انرژی پتانسیل ارائه دهیم. شالوده‌ی تعریف انرژی پتانسیل یعنی انتگرال کار میدان الکتریکی  $\int_A^B \vec{f}_{elec} \cdot d\vec{r}$  هیچ بستگی به وضعیت سرعت ندارد، این ما بودیم که با صفر کردن تغییرات انرژی جنبشی، کار نیروی خارجی را به عنوان انرژی پتانسیل تعریف کردیم. بنابراین تعمیم اختلاف انرژی پتانسیل به سایر وضعیت‌های سرعت ذره در میدان الکتریکی هم معتبر خواهد بود، مثل مثال بالا که سرعت در ابتدا و انتهای مسیر مقادیر متفاوتی دارد. ولی ما برای محاسبه‌ی کمیات موردنظر فرض کردیم که سرعت‌ها برابر باشد و به این صورت کار میدان به دست آمد و پس از آن با داشتن مقدار کار که کمیتی حقیقی است و بستگی به تعریف ما ندارد، سایر کمیات موردنظر مان را محاسبه کردیم.

## محاسبه‌ی پتانسیل



پتانسیل به ما چه کمکی می‌کند؟ در مثال ۳، دیدید که بدون این که از وضعیت میدان الکتریکی محاسبه کردیم. شکل میدان الکتریکی، شکل شتاب‌دهنده، اندازه‌ی مسیری که ذره در شتاب‌دهنده و... طی می‌کند، داشته باشیم. توانستیم افزایش انرژی جنبشی ذره را در اثر گذر از شتاب‌دهنده محاسبه کنیم. در واقع وقتی یک توزیع بار در اختیار داریم و می‌خواهیم تأثیر آن را روی سایر بارها پیش‌بینی کنیم، می‌توانیم از مفهوم پتانسیل کمک بگیریم، اگر به روند مقایسه بین نیروی الکتریکی و گرانشی برگردیم، پتانسیل کم و بیش نقشی شبیه به ارتفاع را برای ما بازی می‌کند، برای مثال، حرکت خودروها در یک جاده کوهستانی را در نظر بگیرید.

اگرچه ما نمی‌توانیم پیش‌بینی کنیم که خودرویی که از نقطه‌ی خاصی می‌گذرد چه سرعتی دارد و چه انرژی جنبشی دارد، می‌توانیم با انتخاب یک سطح مبنا در هر نقطه‌ی جاده تابلویی نصب کنیم و ارتفاع آن نقطه را نسبت به سطح مبنا ذکر کنیم. به این صورت اگر وضعیت خودرو را در یک نقطه بدانیم می‌توانیم سرعت و انرژی جنبشی خودرو را در سایر نقاط جاده محاسبه کنیم و... (البته به شرطی که خودرو خلاص باشد و ترمز نکند و از اصطکاک هم صرف‌نظر کنیم).

در مورد پتانسیل الکتریکی هم، وضع به همین صورت است، اگرچه ما نمی‌توانیم در هر نقطه‌ی میدان تابلویی نصب کنیم! که به ما انرژی جنبشی و سرعت ذره‌ی باردار را بدهد. ولی می‌توانیم به هر نقطه‌ی میدان پتانسیلی نسبت بدهیم، و اگر وضعیت را در یک نقطه داشته باشیم و عوامل خارجی دخالت نداشته باشند، وضعیت ذره را در پتانسیل‌های دیگر به دست آوریم!

ما پتانسیل الکتریکی را از روی میدان الکتریکی تعریف کردیم، بنابراین همواره می‌توانیم پس از محاسبه‌ی میدان، پتانسیل را به کمک آن محاسبه کنیم. اما در این صورت از خاصیت بسیار مهم پتانسیل که در مقدمه‌ی فصل به آن اشاره کردیم، یعنی اسکالر بودن پتانسیل استفاده نکرده‌ایم. در ادامه فصل ابتدا پتانسیل ناشی از چند توزیع بار ساده و بنیادین را به کمک انتگرال‌گیری از میدان به دست خواهیم آورد و سپس به کمک نتایج این بخش به سراغ توزیع بارهای پیچیده‌تری خواهیم رفت.

الف) محاسبه‌ی پتانسیل از میدان و اصل برهم‌نهی

به خاطر دارید که برای محاسبه‌ی اختلاف پتانسیل بین دو نقطه در میدان چه مراحل را طی می‌کردیم، فرض کنید می‌خواهیم اختلاف پتانسیل بین دو نقطه‌ی (a) و (b) را در شکل زیر محاسبه کنیم، روند کلی این بود که ابتدا، کار نیروی الکتریکی را در طی این مسیر حساب کنیم، که مستقل از خود مسیر خواهد بود، و سپس با ضرب یک منفی در آن و تقسیم آن بر  $q_0$  (بار آزمون مورد استفاده برای محاسبه‌ی کار) اختلاف پتانسیل را به دست می‌آوردیم.

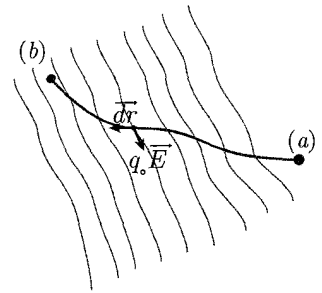
دنبال کردن این روش به صورت پارامتری منجر به رابطه زیر برای پتانسیل بر حسب میدان الکتریکی شد

$$V_B = - \int_{\infty}^B \vec{E}_{elec} \cdot d\vec{r}$$

و به دنبال آن اختلاف پتانسیل به صورت

$$V_B - V_A = - \int_A^B \vec{E}_{elec} \cdot d\vec{r}$$

به دست آمد. حالا با استفاده از این رابطه، پتانسیل ناشی از چند توزیع بار ساده اما مهم را به دست می‌آوریم.



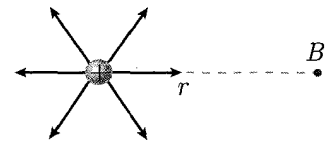
شکل ۳-۸

الف-۱) پتانسیل ناشی از یک بار نقطه‌ای

بار  $q$  و نقطه‌ی  $B$ ، به فاصله‌ی  $r$  از بار  $q$  را مطابق شکل زیر در نظر بگیرید. همچنین برای سادگی در نظر بگیرید که حرکت از بی‌نهایت تا فاصله‌ی  $r$ ، به صورت شعاعی انجام می‌شود، بدیهی است که حرکت به هر صورت دیگری هم باشد، پاسخ هیچ تغییری نخواهد کرد، در این صورت پتانسیل نقطه‌ی  $B$  برابر است با:

$$\begin{aligned} V_B &= - \int_{\infty}^B \vec{E} \cdot d\vec{r} = - \int_{\infty}^r \vec{E} \cdot d\vec{r} = - \int_{\infty}^r \frac{1}{4\pi\epsilon_0} \cdot \frac{q}{r^2} \cdot \hat{e}_r \cdot dr \hat{e}_r \\ &= - \int_{\infty}^r \frac{1}{4\pi\epsilon_0} \cdot \frac{q}{r^2} \cdot dr = \frac{q}{4\pi\epsilon_0} \cdot \left[ \frac{1}{r} \right]_{\infty}^r = \frac{q}{4\pi\epsilon_0} \left( \frac{1}{r} - \frac{1}{\infty} \right) = \frac{1}{4\pi\epsilon_0} \cdot \frac{q}{r} \end{aligned}$$

با اطلاعاتی که کمی بعد در مورد توزیع بارهای پیوسته به دست خواهیم آورد، می‌توان نشان داد که این معادله برای هر توزیع بار با تقارن کروی و خارج از آن توزیع بار، درست است.



شکل ۳-۹

الف-۲) پتانسیل ناشی از مجموعه‌ای از بارهای نقطه‌ای

در قسمت انرژی پتانسیل به موضوع مجموعه‌ای از بارها پرداختیم و گفتیم که انرژی کل مجموعه برابر مجموع انرژی دوبه‌دوی بارها بدون توجه به حضور سایر بارهاست و در واقع، انرژی پتانسیل از اصل برهم‌نهی تبعیت می‌کند، اما در قسمت پتانسیل، ما علاقه‌ای به دانستن وضعیت بارهای مولد میدان نداریم و فقط تأثیر آنها بر فضای اطرافشان و بار فرضی  $q_0$  برایمان مهم است، به این صورت با توجه به برقراری اصل برهم‌نهی در مورد میدان الکتریکی:

$$V_B = - \int_{\infty}^B \vec{E} \cdot d\vec{r} = - \int_{\infty}^B (\vec{E}_1 + \vec{E}_2 + \dots + \vec{E}_n) \cdot d\vec{r}$$

$$= V_1 + V_2 + \dots + V_N = \sum_{i=1}^N V_i = \frac{1}{4\pi\epsilon_0} \cdot \sum_{i=1}^n \frac{q_i}{r_i}$$

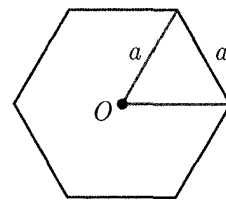
که در آن،  $r_i$  فاصله‌ی نقطه‌ی  $B$  (نقطه‌ای که می‌خواهیم پتانسیل را در آن محاسبه کنیم) از بار  $q_i$  است. نتیجه‌ی بسیار مهم این مطلب این است که برای محاسبه‌ی پتانسیل می‌توان از اصل برهم‌نهی استفاده کرد.

پتانسیل را در مرکز یک شش‌ضلعی منتظم به طول ضلع  $0.1$  متر و با بارهای  $q_1 = 10^{-6}$  C،  $q_2 = 2q_1$ ،  $q_3 = \dots$  و  $q_6 = 6q_1$  محاسبه کنید.

حل. طبق مطالب گفته شده در بالا، پتانسیل به صورت زیر است:

$$V_0 = \sum_1^6 V_i = \frac{1}{4\pi\epsilon_0} \cdot \sum_{i=1}^6 \frac{q_i}{0.1} \\ = \frac{100}{4\pi\epsilon_0} \cdot 21 \cdot q_1 = \frac{21 \times 100}{4\pi\epsilon_0} \times 0.1 = \frac{21}{4\pi\epsilon_0} \text{ (V)}$$

مثال ۸

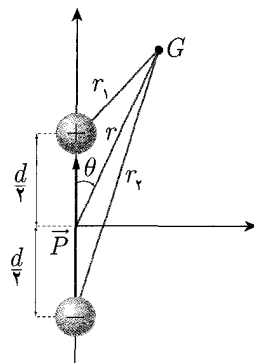


شکل ۳-۱۰

الف-۳) پتانسیل ناشی از یک دوقطبی الکتریکی

تعریف یک دوقطبی الکتریکی را از قسمت میدان به یاد دارید. دو بار مساوی و با علامت‌های مخالف ( $\pm q$ ) که در فاصله‌ی  $d$  از هم قرار داشته باشند، یک دوقطبی الکتریکی را به وجود می‌آورند. به هر دوقطبی، یک بردار گشتاور دوقطبی با نماد  $\vec{P}$  نسبت داده می‌شود که اندازه‌ی آن برابر  $qd$  و جهت آن در راستای محور واصل دو بار و در جهت بار منفی به بار مثبت است. شکل را ببینید.

می‌خواهیم پتانسیل ناشی از حضور این دوقطبی را در نقطه‌ی دلخواه  $G$  به دست آوریم. مختصات نقطه‌ی  $G$  در شکل نشان داده شده است، طبق اصل برهم‌نهی:

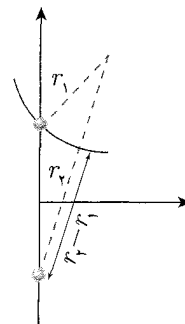


شکل ۳-۱۱

$$V = V_1 + V_2 = \frac{1}{4\pi\epsilon_0} \cdot \frac{q}{r_1} - \frac{1}{4\pi\epsilon_0} \cdot \frac{q}{r_2} \\ = \frac{q}{4\pi\epsilon_0} \cdot \frac{r_2 - r_1}{r_1 r_2}$$

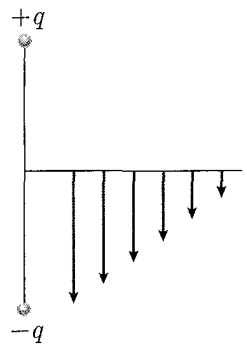
این جواب به نوبه‌ی خود کاملاً دقیق است، اما با توجه به ابعاد معمول دوقطبی‌ها، می‌توان دست به ساده‌سازی‌هایی زد، شبیه به آنچه در قسمت میدان انجام دادیم:

$$V = \frac{q}{4\pi\epsilon_0} \cdot \frac{r_2 - r_1}{r_1 r_2} \\ r_2 - r_1 \simeq d \cos \theta, \quad r_1 r_2 \simeq r^2 \\ \rightarrow v \simeq \frac{q}{4\pi\epsilon_0} \cdot \frac{d \cos \theta}{r^2} \simeq \frac{p \cos \theta}{4\pi\epsilon_0} \cdot \frac{1}{r^2}$$



شکل ۳-۱۲

در هر دو صورت (قبل و بعد از تقریب) پتانسیل روی محور عمودمنصف دوقطبی صفر است، صفر بودن پتانسیل به معنای آن است که برای جابه‌جا کردن ذره از بی‌نهایت دور تا نقطه‌ای روی محور نیروی الکتریکی کاری روی ذره انجام نمی‌دهد. برای مشاهده بهتر این موضوع، فرض کنید که ذره از بی‌نهایت دور روی عمودمنصف حرکت کند، در قسمت میدان دیدیم که میدان روی عمودمنصف به شکل زیر بود، همان‌طور که دیده می‌شود میدان در همه‌ی نقاط بر محور عمود است. در صورت جابه‌جایی در راستای عمودمنصف، میدان و نیروی الکتریکی هیچ کاری روی بار الکتریکی انجام نمی‌دهد، چون بر راستای حرکت عمودند و طبق تعریف، در انتگرال کار حاصل ضرب برداری  $\vec{f} \cdot d\vec{r}$  برابر صفر خواهد بود.



شکل ۱۳-۳

یک چهارقطبی الکتریکی از دو، دوقطبی الکتریکی تشکیل شده است که به شکل زیر قرار گرفته‌اند. پتانسیل الکتریکی را به صورت تابعی از فاصله از مرکز دوقطبی و برای نقاطی که روی محور دوقطبی قرار دارند، بیابید.

مثال ۹

حل. در این مورد هم با استفاده از اصل برهم‌نهی

$$V(r) = \sum_{i=1}^4 V_i = \frac{1}{4\pi\epsilon_0} \left( \frac{q}{r-d} + \frac{q}{r+d} - \frac{2q}{r} \right)$$

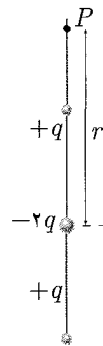
$$= \frac{1}{4\pi\epsilon_0} \frac{2qd^2}{r(r^2 - d^2)}$$

اگر بخواهیم برای ساده‌سازی تأثیر ابعاد ناچیز دوقطبی‌های معمول را اعمال کنیم، در فاصله‌ی  $r \gg d$  باید جمله  $d/r$  تولید کنیم با تقسیم صورت و نخرج بر  $r^2$

$$V = \frac{1}{4\pi\epsilon_0} \cdot \frac{2qd^2/r^2}{r(1 - d^2/r^2)}$$

در شرایط  $r \gg d$  می‌توان از جمله‌ی  $\frac{d^2}{r^2}$  در برابر عدد ۱، چشم‌پوشی کرد و به این صورت

$$V = \frac{1}{4\pi\epsilon_0} \cdot \frac{2qd^2/r^2}{r} = \frac{1}{4\pi\epsilon_0} \cdot \frac{2qd^2}{r^3}$$



شکل ۱۴-۳

بیابید یک بار دیگر نتایج بررسی‌هایمان تا به اینجا را در مورد پتانسیل ناشی از توزیع بارهای مختلف بررسی کنیم:

بار منزوی  $\leftarrow$  پتانسیل  $\frac{1}{r}$ ، دوقطبی  $\leftarrow$  پتانسیل  $\frac{1}{r^2}$ ، چهارقطبی  $\leftarrow$  پتانسیل  $\frac{1}{r^3}$ ، ...  
(علامت  $\alpha$  به معنی "متناسب است با")

به نظر می‌رسد که چیدمان‌هایی از چندقطبی‌های مختلف به ما توان‌های مختلف جمله  $\frac{1}{r}$  را می‌دهند. به کمک این توان‌های توان بسط‌های چندقطبی از عبارات دیگر تشکیل داد، این مطلب اساس یک روش قدرتمند در مباحث الکتریسته و مغناطیس محاسباتی است که به عنوان بسط چندقطبی (multipole expansion) شناخته می‌شود. برای مطالعه‌ی بیشتر در این مورد



می‌توانید به کتاب‌های الکترومغناطیس مراجعه کنید. (عنوان یکی از این کتاب‌ها در پاورقی آورده شده‌اند).<sup>۱</sup>

ب) محاسبه‌ی پتانسیل ناشی از توزیع بارهای پیوسته

در این قسمت تلاشمان را روی به‌دست آوردن پتانسیل ناشی از توزیع بارهای پیوسته متمرکز می‌کنیم. اگر چه در عالم واقع چیزی به اسم توزیع بار پیوسته وجود فیزیکی ندارد، اما در عالم ریاضیات می‌توانیم نه تنها توزیع بار را پیوسته در نظر بگیریم، بلکه آن را به صورت قطعه‌قطعه ببریم، ابعاد این قطعات را به صفر میل داده و به آنها به عنوان بار نقطه‌ای نگاه کنیم.

همان‌طور که در بخش قبل گفتیم پتانسیل الکتریکی از اصل برهم‌نهی تبعیت می‌کند. با استفاده از این مطلب، روش کار در حالت کلی آن خواهد بود که با داشتن پتانسیل یک جزء و انتگرال‌گیری از آن روی کل توزیع بار، پتانسیل کل توزیع بار را به‌دست آوریم. از این قسمت به ذکر یک نمونه بسنده می‌کنیم و مثال‌های دیگر را در قسمت سؤالات با جواب بررسی می‌کنیم.

پتانسیل الکتریکی را در نقطه‌ای روی محور یک قطاع دایره‌ای نارسانا به شعاع  $R$  با چگالی بار سطحی  $\sigma$  و به زاویه‌ی رأس  $\alpha$  درجه، در فاصله‌ی  $z$  از صفحه، به‌دست آورید.

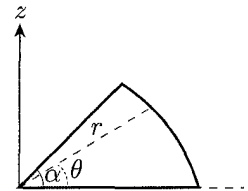
حل. از این صفحه، یک جزء بار در دستگاه قطبی مطابق شکل جدا می‌کنیم. برای یک المان در یک دستگاه داریم:

$$\begin{aligned} dq &= \sigma \cdot dA = \sigma \cdot r dr \cdot d\theta \\ \rightarrow dV &= \frac{1}{4\pi\epsilon_0} \cdot \frac{dq}{l}, \quad l = \sqrt{r^2 + z^2} \\ \rightarrow dV &= \frac{1}{4\pi\epsilon_0} \cdot \frac{dq}{\sqrt{r^2 + z^2}} \rightarrow V = \int_A dV \\ \rightarrow V &= \frac{1}{4\pi\epsilon_0} \int_0^\alpha \int_0^R \frac{\sigma r dr d\theta}{\sqrt{r^2 + z^2}} = \frac{\sigma \alpha}{4\pi\epsilon_0} \int_0^R \frac{r dr}{\sqrt{r^2 + z^2}} \\ &= \frac{\sigma \alpha}{4\pi\epsilon_0} ((R^2 + z^2)^{1/2} - z) \end{aligned}$$

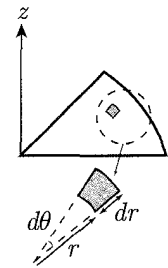
همان‌طور که می‌بینید، بدون نیاز به توجه به مشکلاتی که معمولاً در کار کردن با کمیت‌های برداری با آنها سروکار داشتیم، مثل جهت و راستا، و حتی بدون لحاظ کردن ملاحظات تقارن، پتانسیل به راحتی و صرفاً با انتگرال‌گیری مستقیم از جزء ایجادکننده پتانسیل به‌دست آمد.

البته، همانند قسمت محاسبه‌ی میدان و ... می‌توان از المان‌های مختلفی برای انتگرال‌گیری استفاده کرد. انتخاب المان مناسب با توجه به تقارن موجود در هر سؤال تأثیر زیادی در ساده‌سازی روند حل آن دارد.

مثال ۱۰



شکل ۱۵-۳



شکل ۱۶-۳

سطوح هم‌پتانسیل



تا به حال درک شهودی ما از میدان مبتنی بر نمایش نمادین خطوط میدان (یا خطوط نیرو) بود، نمایشی که توسط فارادی معرفی شده به دلیل کاربردی بودنش هم‌چنان استفاده می‌شود. این

1) Classical Electrodynamics, Hans C. Ohanian; Jones and Bartlett Publications, Second Edition, 2006

نمایش وقتی برای ما اهمیت دارد که بخواهیم بردار نیروی وارد بر ذره در هر نقطه را بدانیم یا سایر کمیاتی که به نحوی برداری هستند را بررسی کنیم. همان طور که گفتیم، مفهوم پتانسیل ما را از فضای برداری به فضای اسکالر می‌برد و به این صورت درک جدیدی از فضای اطراف یک بار به ما می‌دهد، متناظر این درک جدید از میدان، یک راه نمایش جدید هم برای آن به دست می‌آید. راهی که در آن به جای خطوط نیرو، خطوط یا صفحات (رویه‌های) هم‌پتانسیل رسم می‌شوند. یک بار نقطه‌ای منفرد را در فضا در نظر بگیرید، پتانسیل ناشی از این بار در فضا به صورت زیر است:

$$V(r) = \frac{1}{4\pi\epsilon_0} \cdot \frac{q}{r}$$

به این صورت تمام نقاطی که از بار  $q$  فاصله  $r$  یکسانی داشته باشند، دارای پتانسیل یکسان خواهند بود. با وصل کردن این نقاط به هم یک سطح به وجود می‌آید به عبارت دیگر، به ازای هر  $r = r_0 = \text{cte}$  (و تبعاً  $V = V_0 = \text{cte}$ ) یک رویه به وجود می‌آید، که به آن سطح هم‌پتانسیل نظیر  $V = V_0$  گفته شده، اما این سطوح چه خاصیتی دارند؟

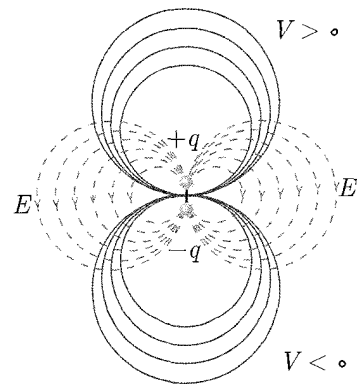
طبق تعریف پتانسیل و انرژی پتانسیل، برای هر مسیری که ابتدا و انتهای آن به ترتیب نقاط  $A$  و  $B$  باشند

$$\frac{U(B) - U(A)}{q_0} = V(B) - V(A)$$

به این صورت اگر مسیری را در نظر بگیریم که ابتدا و انتهای آن هر دو روی یک سطح از سطوح هم‌پتانسیل باشند، اختلاف انرژی پتانسیل ابتدا و انتهای آن مسیر صفر خواهد بود، در این صورت با توجه به تعریف انرژی پتانسیل در کل کاری برای طی مسیر انجام نمی‌شود، و اگر کل مسیر یک بار (نه فقط ابتدا و انتهای آن) داخل یکی از رویه‌های پتانسیل باشد، در هیچ یک از نقاط مسیر کاری انجام نخواهد شد، حرکت فرضی الکترون به دور هسته‌ی اتم مثال خوبی از چنین حالتی است. اگر فرض کنیم هسته‌ی اتم یک بار نقطه‌ای به اندازه‌ی  $q_n$  باشد و الکترون روی یک کره به شعاع  $R_e$  حرکت کند، (البته فرض حرکت الکترون روی یک پوسته‌ی کروی ساده فرض نادرستی است، این فرض در مدل‌های ابتدایی اتمی کاربرد داشت)، کل مسیر الکترون داخل سطح هم‌پتانسیل متناظر با  $V_R = \frac{1}{4\pi\epsilon_0} \cdot \frac{q_n}{R_e}$  خواهد بود، به این صورت کاری روی الکترون انجام نمی‌شود و بر اساس قوانین کار و انرژی، سرعت آن ثابت می‌ماند، همین اتفاق در مورد سطوح هم‌پتانسیل گرانشی هم می‌افتد، هنگامی که یک جرم در میدان گرانشی جرم دیگر حرکت سیاره‌ای می‌کند (مثلاً یک ماهواره در میدان گرانشی زمین).

در شکل ۱۷-۳ چند نمایش میدان به وسیله‌ی سطوح پتانسیل را برای یک دوقطبی مشاهده می‌کنید.

توجه داشته باشید که، همان‌طور که امکان نمایش تمام خطوط میدان در فضای اطراف یک توزیع بار وجود نداشت، و ما این خطوط را طوری از بین تمام خطوط قابل رسم انتخاب می‌کردیم که میزان چگالی این خطوط در هر ناحیه‌ی فضا معیاری از شدت میدان در آن ناحیه باشد، در مورد رویه‌های هم‌پتانسیل هم وضع به همین منوال است. هر قدر در ناحیه‌ای از فضا شدت میدان بیشتر باشد، رویه‌های پتانسیل به هم نزدیک‌ترند، چرا که، در حالتی که میدان الکتریکی شدت بیشتری



شکل ۱۷-۳

داشته باشد به ازای یک حرکت محدود  $\vec{dr}$  در فضا  $\vec{E} \cdot \vec{dr}$  مقدار بزرگتری خواهد داشت، و به این صورت برای طی کردن فاصله‌ی دو صفحه با اختلاف پتانسیل  $\Delta V$  جایی که میدان الکتریکی قوی‌تر است فاصله کمتری باید پیموده شود. همچنین اگر به شکل‌ها دقت کنید، خواهید دید که رویه‌های هم‌پتانسیل در تمام نقاطشان بر خطوط میدان عمودند، از لحاظ فیزیکی، اگر این طور نبود، خطوط میدان مؤلفه‌ای موازی با (در صفحه) رویه‌ی پتانسیل در نقطه‌ی برخورد خط میدان و رویه پتانسیل داشتند، این مؤلفه در صورت وجود می‌توانست به ذره‌ای که در حال حرکت (یا ساکن) در درون رویه است و از آن نقطه می‌گذرد، نیرو وارد کند و به این صورت روی آن کار انجام دهد. به این صورت برای حفظ وضعیت سرعت ذره، باید کار انجام می‌دادیم و این به معنای تغییر انرژی پتانسیل و تبعاً تغییر در پتانسیل می‌بود، که خلاف فرضی است که ما انجام دادیم - یعنی هم‌پتانسیل بودن نقاط رویه - . در قسمت بعد، برهان ریاضی استدلال بالا را هم بیان خواهیم کرد.

### رابطه‌ی دیفرانسیلی میدان و پتانسیل الکتریکی - به دست آوردن میدان از روی پتانسیل

در قسمت قبل گفتیم که نمایش خطوط میدان و صفحات هم‌پتانسیل به عنوان دو صورت نمایش وضعیت میدان الکتریکی پذیرفته شده‌اند. در این بخش پا را از این فراتر می‌گذاریم و روی رابطه‌ی این دو مفهوم دقت بیشتری می‌کنیم. ادعای ما در این بخش این است که نه تنها نمایش خطوط میدان و صفحات پتانسیل دو صورت نمایش از یک واقعیت فیزیکی‌اند، بلکه بیان میدان و پتانسیل، دو صورت متحد و هم‌ارز از واقعیت فیزیکی الکترواستاتیک هستند.

از ابتدای بحث تا به اینجای کار روی مفهوم پتانسیل و به دست آوردن آن از روی معادله‌ی میدان صحبت کردیم و حاصل کار، یک معادله به فرم انتگرالی بود، که پتانسیل را در هر نقطه، با توجه به یک نقطه‌ی مبنای دلخواه (که ما آن را بی‌نهایت دور در نظر گرفتیم) ارائه می‌کرد.

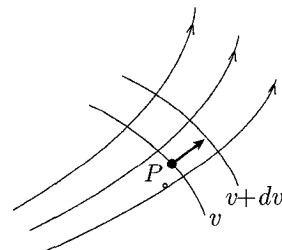
$$V(A) = \int_{\infty}^A \vec{E}_{\text{elec}} \cdot \vec{dr}$$

اکنون می‌خواهیم، برعکس این کار را انجام دهیم، یعنی ببینیم با داشتن وضعیت پتانسیل در فضای اطراف یک توزیع بار (یا هر عامل مولد میدان) می‌توانیم به وضعیت خود میدان و معادله‌ی آن پی ببریم یا نه.

ابتدا با یک رویکرد فیزیکی و با کمک روابط انرژی به استخراج این رابطه می‌پردازیم و پس از آن از قضایای ریاضی برای صحه گذاشتن روی محاسبات فیزیکی‌مان بهره خواهیم گرفت.

فرض کنید یک بار نقطه‌ای  $q$ ، در نقطه‌ای دلخواه مثل  $P$  از یک میدان الکتریکی  $\vec{E}$  قرار گرفته است مطابق شکل زیر. سپس این ذره با یک انتقال بسیار کوچک دیفرانسیلی،  $ds$  در یک جهت دلخواه به محل جدید  $P_1$  می‌رود. پتانسیل در این نقطه مقداری خواهد داشت که با مقدار قبلی آن به اندازه‌ی  $dV$  تفاوت دارد، یعنی  $V + dV$ . اما اختلاف در پتانسیل با مقدار جابه‌جایی در جهت دلخواه و به اندازه‌ی  $ds$  از نقطه‌ی  $P$  طبق تعریف، به صورت زیر به هم مربوط می‌شوند:

$$q_0 (V + dV - V) = -(\vec{f}_{\text{elec}} \cdot \vec{ds})$$



شکل ۳-۱۸

که در آن  $\vec{ds}$  بردار جابه‌جایی در جهت دلخواه به اندازه‌ی  $ds$  است.

$$q_0 dV = -q_0 \vec{E}(p_0) \cdot \vec{ds}$$

$\vec{E}(P_0)$  نمایش میدان الکتریکی در نقطه‌ی  $P_0$  است و به این صورت در تمام طول حرکت روی المان  $\vec{ds}$  میدان را با میدان در نقطه‌ی  $P_0$  برابر فرض کرده‌ایم، که به خاطر اندازه‌ی ناچیز این المان کار درستی است. فرض کنیم این بردار  $\vec{ds}$  با جهت میدان در نقطه‌ی  $P_0$ ، زاویه‌ی  $\theta$  بسازد، به این صورت

$$\begin{aligned} q_0 dV &= -q_0 |\vec{E}(p_0)| \cdot ds \cdot \cos \theta \rightarrow \frac{dV}{ds} \cdot \frac{1}{\cos \theta} \\ &= |\vec{E}(p_0)| \text{ یا } \frac{dV}{ds} = |\vec{E}(p_0)| \cdot \delta s(\theta) \end{aligned}$$

به این صورت، آهنگ تغییر پتانسیل با جابه‌جایی در میدان، به عنوان تابعی از  $\theta$  و در واقع به عنوان تابعی از جهت انتخابی برای  $\vec{ds}$  (که آن را دلخواه فرض کردیم) به دست می‌آید. ما می‌دانیم که اگر  $\vec{ds}$  را طوری انتخاب کنیم که منطبق بر خط میدان در نقطه‌ی  $p_0$  باشد،  $\cos \theta = 1$  خواهد شد، و به این صورت  $\delta dV/ds$ ، به ما کمترین مقدار خودش خواهد رسید. این به این معنی است که تغییرات پتانسیل در راستای میدان از همه‌ی راستاهای دیگر بیشتر است. با انتخاب  $\vec{ds}^*$  به عنوان المان دیفرانسیلی جابه‌جایی در جهت خطوط میدان رابطه‌ی بالا (که با انتخاب  $ds^*$  در آن  $\cos \theta = 1$ ) به صورت زیر در می‌آید:

$$\frac{dV}{ds^*} = -E(p_0)$$

همچنین در قسمت‌های قبل با استفاده از قانون کار و انرژی به این نتیجه رسیدیم که جهت میدان الکتریکی  $E$  در هر نقطه عمود بر رویه‌ی پتانسیل گذرنده از آن نقطه است. به این صورت  $\vec{ds}^*$  در راستای  $\vec{E}$  و بنابراین در جهت عمود بر رویه‌ی پتانسیل خواهد بود.

این عبارت بیان می‌کند که اگر بخواهیم با داشتن پتانسیل به میدان الکتریکی برسیم باید  $\frac{dV}{ds}$  را محاسبه کنیم در حالی که  $ds$  در هر نقطه هم‌راستای میدان الکتریکی در آن نقطه و بنابراین عمود بر رویه‌ی هم‌پتانسیل در آن نقطه است.

به عبارت  $\frac{dV}{ds}$  که به جهت  $ds$  بستگی دارد، مشتق جهتی گفته می‌شود و از قسمت ریاضیات به یاد دارید که در صورتی که این جهت را طوری انتخاب کنیم که تغییرات بیشینه شود، نام این عبارت گرادیان کمیت خواهد بود. بنابراین با استفاده از نماد گرادیان

$$|\vec{\nabla} V| = -E(p_0) = -|\vec{E}(p_0)|$$

با کاربرد مفهوم گرادیان یک تابع اسکالر درباره‌ی پتانسیل می‌توانیم عبارت بالا را به صورت برداری هم بازنویسی کنیم، چرا که از لحاظ برداری هم بر هم منطبقند:

$$\vec{E}(p_0) = -\vec{\nabla} V$$

با توجه به این که  $p_0$  یک نقطه دلخواه بود، می‌توان آن را به صورت نقطه‌ی دلخواه در حالت کلی در نظر گرفت و به این صورت

$$\vec{E}(\vec{r}_0) = -\vec{\nabla}V|_{\vec{r}=\vec{r}_0}$$

و این یعنی میدان در هر نقطه‌ی فضا، برابر منفی گرادیان تابع پتانسیل در آن نقطه از فضاست. بنابراین به نتیجه‌ی دلخواه دست یافتیم و حالا می‌توانیم میدان را هم بر حسب پتانسیل محاسبه کنیم. اما قرار بود، بیانی ریاضی برای این استدلال بیان کنیم. در زیر به این موضوع می‌پردازیم. اگر میدان  $\vec{E}$  دارای خاصیت‌هایی باشد که گفته شد ( $\vec{\nabla} \times \vec{E} = 0$ )، همان‌طور که در ابتدای فصل گفتیم، می‌توانیم برای آن یک تابع پتانسیل به صورت زیر در نظر بگیریم:

$$\vec{V}(\vec{r}) = - \int_{\infty}^r \vec{E}(r) \cdot d\vec{r} \quad (I)$$

از طرف دیگر از قسمت ریاضیات، و با استفاده از قضیه‌ی اساسی گرادیان‌ها می‌توانیم بنویسیم:

$$V = \int dV$$

$$\frac{\partial V}{\partial x} dx + \frac{\partial V}{\partial y} dy + \frac{\partial V}{\partial z} dz = dV = \vec{\nabla}V \cdot d\vec{r} = \left( \frac{\partial V}{\partial x} \hat{i} + \frac{\partial V}{\partial y} \hat{j} + \frac{\partial V}{\partial z} \hat{k} \right) \cdot d\vec{r} \quad (II)$$

که در آن  $d\vec{r}$  در دستگاه مختصات دکارتی است،

$$d\vec{r} = dx\hat{i} + dy\hat{j} + dz\hat{k}$$

و به این صورت و با مقایسه‌ی روابط (I) و (II)

$$V(\vec{r}) = - \int_{\infty}^{\vec{r}} \vec{E}(r) \cdot d\vec{r} = \int_{\infty}^r \vec{\nabla}V \cdot d\vec{r}$$

از آنجا که این رابطه برای تمام  $r$ های دلخواه صحیح است، راهی نیست غیر از آن که انتگرالده‌ها (توابع داخلی انتگرال، گاهی انتگراند هم نامیده می‌شود) با هم برابر باشند و به این صورت

$$-\vec{E}(\vec{r}) = \vec{\nabla}V \rightarrow \vec{E}(r) = -\vec{\nabla}V$$

که همان نتیجه‌ی قبلی است، ولی بدون توجه به فیزیک مفهوم پتانسیل به دست آمد. به این صورت اگر تابع پتانسیل را بر حسب مختصات فضایی داشته باشیم، می‌توانیم به وسیله‌ی آن میدان را در تمام نقاط به دست آوریم.

بدیهی است، بیان میدان و پتانسیل می‌توانند در دستگاه‌های مختلف انجام بپذیرند و راحت‌تر آن است که در هر دستگاه از روابط گفته شده برای مشتق‌گیری (گرادیان‌گیری) در همان دستگاه استفاده شود.

در زیر، مثالی از به دست آوردن میدان از روی پتانسیل، بیان می‌کنیم.

مثال ۱۱

میدان الکتروستاتیک  $\vec{E}(x, y)$  مربوط به پتانسیل الکتریکی  $\phi(x, y) = -axy$  را بیابید.  
حل.

$$E_x = -\frac{\partial \phi}{\partial x} = +ay$$

$$E_y = -\frac{\partial \phi}{\partial y} = +ax$$

$$\Rightarrow \vec{E} = E_x \vec{i} + E_y \vec{j} = ay \vec{i} + ax \vec{j} = a(y\vec{i} + x\vec{j})$$

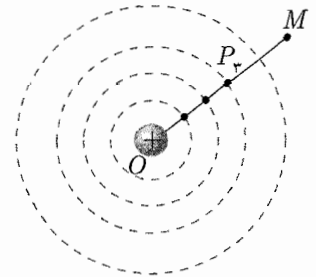
به صورت نوشتاری دیگر و با استفاده از تعریف عملگر  $\vec{\nabla}$  می‌توان نوشت:

$$\begin{aligned} \vec{E}(x, y) &= -\vec{\nabla}V(x, y) = -\left(\frac{\partial V(x, y)}{\partial x} \hat{i} + \frac{\partial V(x, y)}{\partial y} \hat{j}\right) \\ &= a(y\hat{i} + x\hat{j}) \end{aligned}$$

اما ممکن است برایتان این پرسش مطرح شود که چگونه ممکن است که با داشتن یک تابع اسکالر بتوانیم یک تابع برداری را در فضا به دست بیاوریم. شاید به دست آوردن جهت این میدان برداری در هر نقطه با عمود کردن بر رویه "اسکالر = ثابت" با شهود ما سازگار باشد، اما ممکن است به نظر برسد به دست آمدن اندازه‌ی آن خیلی با شهود ما سازگار نیست.

پاسخ آن است که عملگری که روی تابع اسکالر ما، یعنی پتانسیل عمل می‌کند، تا به ما میدان را در هر نقطه بدهد. علاوه بر جهتی که تغییر در آن رخ می‌دهد به آهنگ تغییر در آن قسمت هم حساس است، به عنوان مثال ساده، فضای اطراف یک بار نقطه‌ای با بار  $q$  را در نظر بگیرید.

پتانسیل در فاصله‌ی  $r$  از این بار به صورت  $v(r) = \frac{1}{4\pi\epsilon_0} \cdot \frac{q}{r}$  است و همان‌طور که گفته شد، رویه‌های پتانسیل اطراف این بار به صورت شکل روبه‌رو هستند. همچنین پاره‌خط راست  $OM$  را در نظر بگیرید. که به مرکزیت بار  $q$  در یک امتداد دلخواه قرار دارد. نقطه‌ی  $p_i$  نشان دهنده‌ی محل برخورد خط  $OM$  و  $i$ امین رویه هم‌پتانسیلی است که ما رسم کردیم. حالا فقط به شکل‌ها نگاه کنید و سعی کنید بگویید که میدان در نقاط  $p_i$  برای  $i$ های مختلف چه وضعیتی دارد؟ مسلماً میدان در هر نقطه در راستای  $OM$  خواهد بود. اما از مشاهده‌ی هر کره‌ی هم‌پتانسیل یک داده‌ی دیگر غیر از راستای عمود بر سطح کره می‌توان استخراج کرد و آن آهنگ تغییر انحنای کره‌ها (رویه‌های هم‌پتانسیل است) هر چه میدان قوی‌تر، تغییر شعاع انحنا سریع‌تر است و برای یک حرکت در فضا تعداد کره‌های بیشتری را قطع خواهیم کرد، و این چیزی است که مشتق‌گیری (گرادیان) به آن حساسیت نشان می‌دهد.



شکل ۳-۱۹

از نظر ریاضی هم، این‌که این تابع اسکالر  $V$  که ما تعریف کردیم، چه خاصیتی دارد که با داشتن یک (و تنها) مؤلفه‌ی آن می‌توان سه مؤلفه‌ی میدان را به دست آورد، به این برمی‌گردد که اگر چه ما قائل به مستقل بودن مؤلفه‌های میدان هستیم و می‌گوییم وضعیت میدان در یک نقطه‌ی فضا می‌تواند به هر صورتی باشد، اما باید در نظر بگیریم که اگر مؤلفه‌های میدان در فضا را به عنوان تابعی از مکان در نظر بگیریم، و میدان را به صورت  $\vec{E}(\vec{r}) = f_x(\vec{r})\hat{i} + f_y(\vec{r})\hat{j} + f_z(\vec{r})\hat{k}$

بیان کنیم، توابع  $f_x$ ،  $f_y$  و  $f_z$  دیگر از هم کاملاً مستقل نیستند، بلکه به وسیله‌ی یک رابطه، که همان  $\vec{\nabla} \times \vec{E} = 0$  به هم وابسته‌اند این امر توجیه می‌کند که چرا ما توانایی آن را داریم که سه مؤلفه‌ی میدان را از روی یک مؤلفه‌ی اسکالر به دست آوریم.

### جمع بندی

بنابراین در این فصل، پس از بررسی مفهوم پتانسیل و تعریف آن به راهکارهای به دست آوردن آن و کاربردش در نمایش میدان پرداختیم و در آخر رویه‌های برعکس رویه‌ی قسمت‌های اول را پیش گرفتیم و با دانستن پتانسیل به محاسبه‌ی میدان پرداختیم. به این صورت علاوه بر کاربردهای کلی که این مطالب به خودی خود دارند، می‌توانیم به سراغ یک مبحث دیگر هم برویم.

مطالبی که عموماً تحت عنوان "مسائل شرایط مرزی در الکترواستاتیک" شناخته می‌شوند. در این مبحث، پس از بیان شکل دیفرانسیلی قانون گاوس به صورت عام و ترکیب آن با بیان میدان بر حسب پتانسیل به یک معادله‌ی دیفرانسیل برخوردیم خورد که پس از حل آن در شرایط مختلف و در شرایط مرزی مختلف که بسته به هندسه و... مسأله تغییر می‌کند، می‌توان توزیع پتانسیل و میدان را در همه‌ی نقاط فضا (و حتی داخل رساناهای مختلف با آرایش‌ها و اتصالات مختلف) به دست آورد، همچنین در بخشی از این سر فصل، معمولاً این راه به روش "تصاویر" یا "بارهای تصویری" برای حل مسائل پرداخته می‌شود.

برای مطالعه‌ی این دو قسمت، می‌توانید به کتاب الکتریسیته و مغناطیس ذکر شده در پاورقی مراجعه کنید.<sup>۱</sup>

### قضایای مقدار مرزی پتانسیل الکتریکی، روش بارهای تصویری

در این قسمت، توضیح بسیار مختصری در مورد مبحث مسائل مقدار مرزی الکترواستاتیک داده خواهد شد و به صورت خاص، به روش تصاویر یا بارهای تصویری به عنوان راه‌حلی که بعضاً در مسائل دوره‌ی تابستانی مورد استفاده قرار می‌گیرد، خواهیم پرداخت.

هدف کلی این مبحث، حل مسائلی است که در آنها، علاوه بر توزیع بار الکتریکی، یک یا چند عامل هندسی، بر فیزیک مسأله تأثیر می‌گذارند و به عبارت دیگر شرایط مرزی را به مسأله تحمیل می‌کنند. همان‌طور که در فصل قانون گاوس اشاره کردیم، فرمول دیفرانسیلی این قانون، به صورت زیر است:

$$\vec{\nabla} \cdot \vec{E} = \frac{\rho}{\epsilon_0}$$

همچنین، همان‌طور که در این فصل به آن پرداختیم، میدان الکتریکی را می‌توان به صورت گرادینان یک تابع اسکالر نوشت. طبق تعریف ما از کمیت پتانسیل الکتریکی

$$\vec{E} = -\vec{\nabla}V$$

و به این صورت، با ترکیب دو رابطه:

$$\vec{\nabla} \cdot (-\vec{\nabla}V) = \frac{\rho}{\epsilon_0} \rightarrow \vec{\nabla} \cdot (\vec{\nabla}V) = -\frac{\rho}{\epsilon_0}$$

1) Electricity and Magnetism, Munir H. Nayfeh, Morton K. Brussel; John Wiley and Sons, 1985.

اما اگر عملگرهای  $\vec{\nabla}$  و  $\vec{\nabla} \cdot$  را به صورت گسترده بنویسیم، خواهیم داشت:

$$\vec{\nabla} = \frac{\partial}{\partial x} \hat{i} + \frac{\partial}{\partial y} \hat{j} + \frac{\partial}{\partial z} \hat{k}$$

$$\vec{\nabla} \cdot = \left( \frac{\partial}{\partial x} \hat{i} + \frac{\partial}{\partial y} \hat{j} + \frac{\partial}{\partial z} \hat{k} \right) \cdot$$

و به این صورت معادله‌ی بالا به صورت زیر، قابل نوشتن خواهد بود.

$$\vec{\nabla} \cdot (\vec{\nabla} V) = \left( \frac{\partial}{\partial x} \hat{i} + \frac{\partial}{\partial y} \hat{j} + \frac{\partial}{\partial z} \hat{k} \right) \left( \frac{\partial V}{\partial x} \hat{i} + \frac{\partial V}{\partial y} \hat{j} + \frac{\partial V}{\partial z} \hat{k} \right)$$

$$= \frac{\partial^2 V}{\partial x^2} + \frac{\partial^2 V}{\partial y^2} + \frac{\partial^2 V}{\partial z^2} = -\frac{\rho}{\epsilon_0}$$

سمت چپ عبارت بالا، در ادبیات ریاضی به صورت  $\nabla^2 V$  (بخوانید "پلاسین  $V$ " یا "لاپلا دوی  $V$ ") نوشته می‌شود به این ترتیب حاصل معادله‌ی بالا چنین خواهد بود:

$$\nabla^2 V = -\frac{\rho}{\epsilon_0}$$

که اگر آن را به صورت کامل بنویسیم به شکل زیر است:

$$\nabla^2 V(x, y, z) = -\rho(x, y, z)/\epsilon_0$$

این معادله به معادله‌ی پواسون معروف است.

در واقع هدف کلی مبحث مسائل مرزی، حل معادله‌ی پواسون با داشتن تابع  $\rho(x, y, z)$  به عنوان تابع معلوم و شرایط مرزی مناسب است.

در حالت کلی راه‌حل‌های مختلفی برای حل این معادله پیشنهاد شده است. اما با توجه به پیچیدگی‌های ریاضی که اغلب این راه‌حل‌ها با آن همراهند، مطالعه‌ی آنها فراتر از سطح این کتاب و مباحث دوره‌ی تابستانه المیاد فیزیک است.

در این میان روش تصاویر به خاطر اینکه تا حد زیادی بر شهود فیزیک استوار است، نیازی به عملیات پیچیده‌ی ریاضی ندارد و در حل مسائلی که از تقارن زیادی برخوردارند، مورد استفاده است. در ادامه درس، ابتدا قضیه‌ی یگانگی جواب را مطرح کرده و سپس با حل مسئله‌ی مقدار مرزی برای هندسه‌های مهم، نتایج آن را استخراج می‌کنیم.

### قضیه‌ی یگانگی جواب

این قضیه در حالت کلی بیان می‌کند که اگر به هر وسیله‌ای، تابع پتانسیل  $V(x, y, z)$  را طوری به دست آوریم که برای یک توزیع بار مشخص (تابع  $\rho(x, y, z)$  مشخص) دو شرط زیر را دارا باشد، این تابع پتانسیل، تنها تابعی است که خصوصیات موردنظر ما را داراست (در معادله صدق می‌کند). این دو شرط عبارتند از:

- ۱) در معادله‌ی پواسون صدق کند.
- ۲) در شرایط مرزی داده شده در مسأله صدق کند.



روند ما از اینجا به بعد این خواهد بود که با تکیه بر درک فیزیکی مان جواب‌های معادله پواسون را طوری حدس بزنیم که در شرایط مرزی هم صدق کنند. به این صورت طبق قضیه یگانگی جواب، جوابی که ما پیدا کرده‌ایم تنها جواب مسأله خواهد بود.

اگرچه لازم نیست که شما بدانید که شرایط مرزی در ریاضیات چگونه طبقه‌بندی می‌شوند، اما بد نیست بدانید که شرایط مرزی که در حل معادله‌ی پواسون که با آن سروکار داریم به یکی از دو صورت زیر و یا ترکیبی از این دو هستند.

۱) شرایط مرزی دیریشله (Dirichlet): در این نوع شرط مرزی، مقدار تابع پتانسیل یا  $V(x, y, z)$  روی مرز یا قسمتی از مرز (در صورت مخلوط بودن شرط مرزی) داده می‌شود.

۲) شرط مرزی نویمان (Neumann): در این نوع شرط مرزی، شار میدان الکتریکی از سطح، روی سطح مرزی مشخص است.

بررسی‌های ما در روش بار تصویری بیشتر به شرط اول مربوط می‌شود.

### روش بار تصویری

این روش را با یک مثال و بر مبنای مقدماتی که تا به حال گفتیم، بیان خواهیم کرد. فرض کنید که یک بار نقطه‌ای  $+q$ ، به فاصله‌ی  $d$  از یک صفحه‌ی رسانای بی‌نهایت بزرگ قرار دارد، همچنین فرض کنید که این صفحه طوری به زمین متصل شده است که پتانسیل صفحه‌ی فلزی برابر با صفر (پتانسیل در نقطه‌ی بی‌نهایت فضا) است.

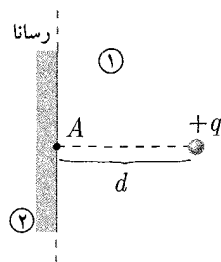
الف) میدان الکتریکی را به همراه پتانسیل الکتریکی در هر نقطه از فضا که خارج صفحه و در طرف بار  $+q$  از صفحه (همان طرفی از صفحه که بار  $+q$  قرار دارد) واقع شده است، بیابید.

ب) آیا به بار الکتریکی  $+q$  نیرویی وارد می‌شود؟ در صورت مثبت بودن جواب اندازه‌ی این نیرو را به دست آورید.

**حل.** طبق گفته‌های سؤال، شکل مسأله به صورت ۳-۲۰ است و هدف ما از حل این سؤال در قسمت (الف) پیدا کردن پتانسیل الکتریکی و به دنبال آن میدان الکتریکی در ناحیه‌ی (۱) است، طبق صورت سؤال سطحی که از وضعیت آن اطلاعاتی در دست داریم و به لحاظ فیزیکی، شرایطی را بر حل ما تحمیل می‌کند، سطح رسانا است. در واقع اگر این رسانای زمین شده در مسأله وجود نداشت ما پتانسیل، مثلاً نقطه‌ی  $A$ ، را به صورت  $V(A) = \frac{1}{4\pi\epsilon_0} \frac{q}{d}$  محاسبه می‌کردیم، اما حالا که صفحه‌ی رسانای متصل به زمین در آنجا قرار دارد، به ناچار خواهیم داشت  $V(A) = 0$ . همان‌طور که گفتیم، تلاش ما در این روش این است که با یک حدس هوشمندانه، به دور از پیچیدگی‌های ریاضی، مسأله را به یک مسئله‌ی حل شده تبدیل کنیم و به کمک قضیه‌ی یگانگی جواب، اثبات کنیم که جواب پیشنهادی ما، همان جواب مسأله است.

حال بیابید به شکل سؤال برگردیم، همان‌طور که دیده می‌شود، چیزی که ما را دچار مشکل کرده است، صفحه‌ی رسانا با پتانسیل صفر است، اگر بتوانیم آن را از مسأله حذف کنیم، به پاسخ سؤال نزدیک شده‌ایم. اگر صفحه‌ی فلزی را که به زمین متصل است، از سؤال حذف کنیم، باید به گونه‌ای دیگر شرط  $V = 0$  در محل صفحه را اعمال کنیم، حالا وقت به کار بستن شهود فیزیکی است.

### مثال ۱۲



شکل ۳-۲۰

با دقت در شکل می‌توان دریافت که اگر یک بار  $-q$  در فاصله‌ی  $d$  از سطح رسانا و در طرف صفحه قرار دهیم، برای هر نقطه‌ای روی صفحه‌ی رسانا داریم:

$$V(B) = V_+(B) + V_-(B) = \frac{1}{4\pi\epsilon_0} \left( \frac{+q}{\sqrt{z^2 + d^2}} + \frac{-q}{\sqrt{z^2 + d^2}} \right) = 0$$

به این صورت اگر در عالم ریاضیات، صفحه‌ی رسانای متصل به زمین را حذف کنیم و به جای آن یک بار  $-q$  در محل نشان داده شده قرار دهیم، ناظرهایی که در سمت راست صفحه فرضی رسانا هستند متوجه هیچ تغییری نمی‌شوند، چرا که اگر ناحیه‌ی (۱) را در نظر بگیریم (سمت راست صفحه فرضی رسانا) تابع توزیع بار  $\rho(x, y, z)$  هیچ تغییری نکرده (هیچ تغییری در وضعیت تک بار موجود در سمت راست صفحه رخ نداده است). همچنین، در شرایط مرزی هم روی مرز فرضی که در محل صفحه‌ی رسانا قرار دارد هیچ تغییری رخ نداده و هم چنان پتانسیل روی همه‌ی نقاط آن صفر است. به این صورت قضیه‌ی یگانگی جواب به ما می‌گوید که اگر ما مسأله را برای این حالت معادل (بارهای  $+q$  و  $-q$  به فاصله‌ی  $2d$  و بدون صفحه‌ی رسانا) حل کنیم، پاسخ این مسأله در ناحیه‌ی (۱) تنها پاسخ مسأله است و بنابراین برابر با پاسخ موردنظر ما در حالتی است که صفحه‌ی رسانا با پتانسیل صفر در محل مرز قرار دارد. با این توضیحات به سراغ حل مسأله می‌رویم.

الف) برای پیدا کردن پتانسیل در سمت راست صفحه‌ی رسانا (و نه سمت چپ آن) می‌توانیم از چیدمان معادل آن استفاده کنیم، طبق شکل زیر:

$$\begin{aligned} V(x, y) &= V_+(x, y) + V_-(x, y) \\ &= \frac{1}{4\pi\epsilon_0} \left( \frac{q}{\sqrt{y^2 + (x-d)^2}} + \frac{-q}{\sqrt{y^2 + (x+d)^2}} \right) \end{aligned}$$

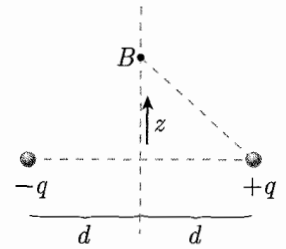
همان‌طور که می‌بینید، پتانسیل در هر نقطه ناشی از حضور یک دوقطبی است و می‌توان از روابط مربوط به دوقطبی در مواقع مناسب استفاده کرد.

همچنین میدان الکتریکی را می‌توان با استفاده از روابط دوقطبی یا با گرادینانگی از تابع پتانسیل پیدا کرد.

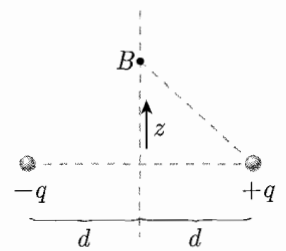
ب) نیروی وارد بر بار  $+q$  اگر اصولاً چنین نیرویی وجود داشته باشد، باید ناشی از میدان خارجی باشد. بنابراین از میدان الکتریکی به دست آمده در مرحله‌ی قبل نمی‌توان برای محاسبه‌ی نیرو استفاده کرد (میدان هیچ باری به خود بار نیروی خالص وارد نمی‌کند). بنابراین باید تنها تأثیرات ناشی از حضور صفحه را به حساب آورد و همان‌طور که گفتیم اثر صفحه‌ی رسانا با پتانسیل صفر روی بار  $+q$ ، معادل با اثر بار  $-q$  در فاصله‌ی  $2d$  از آن است، بنابراین برای محاسبه‌ی نیروی وارد بر بار  $+q$  هم می‌توانیم از "بار تصویری"  $-q$  استفاده کنیم

$$f = \frac{1}{4\pi\epsilon_0} \cdot \frac{q \times (-q)}{(2d)^2} = \frac{1}{16\pi\epsilon_0} (-q)^2 = -\frac{q^2}{16\pi\epsilon_0}$$

و جهت آن هم  $\hat{i}$  است.



شکل ۲۱-۳



شکل ۲۲-۳

قبل از آنکه به سراغ مثال بعد برویم، بد نیست توجه شما را به چند نکته جلب کنیم:

نخست آنکه حالا که با روش تصاویر توزیع پتانسیل در فضای بیرون صفحه‌ی رسانا به دست آمده، ما مجازیم از آن تمام استفاده‌هایی را که از پتانسیل به دست آمده از روش‌های مستقیم داشتیم، داشته باشیم. برای مثال حالا که میدان الکتریکی را در مجاورت صفحه‌ی رسانا داریم می‌توانیم با توجه به آنکه در نزدیکی سطح رسانا با چگالی سطح بار  $\sigma$ ، میدان از رابطه‌ی  $\frac{\sigma}{\epsilon_0}$  به دست می‌آید، تابع توزیع چگالی بار  $\sigma$  را روی کل صفحه‌ی نارسانا پیدا کنیم. نکته‌ی دوم اینکه حتماً توجه داشته باشید که حل ارائه شده به وسیله‌ی روش تصاویر تنها در ناحیه‌ای که شرایط قضیه‌ی یگانگی جواب را دارد قابل استفاده است، و در سایر نقاط این جواب بی‌معنی است.

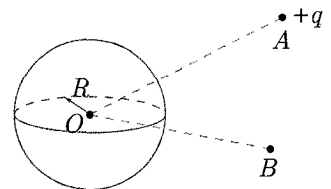
نکته‌ی سوم اینکه، با توجه به خطی بودن تمام روابطی که در این قضیه استفاده شده‌اند، روش تصاویر قابلیت استفاده شدن در اصل برهم‌نهی را دارد. همچنین اگر سیستم بارهای  $q'$  تصویر سیستم بارهای  $q$  باشد، با حفظ شرایط مرزی، سیستم  $q'$  هم تصویر سیستم  $q$  است و در مواقع لزوم می‌توان از یک تکنیک استفاده کرد.

فرض کنید، مرکز یک کره‌ی رسانا که به زمین متصل شده است، روی مبدأ مختصات قرار دارد. شعاع این کره  $R$  است. حال فرض کنید، یک بار نقطه‌ای با اندازه‌ی  $+q$  به فاصله‌ی  $d$  از مبدأ مختصات به نحوی که  $d > R$  قرار دارد (بار خارج از کره) پتانسیل الکتریکی را در تمام نقاط خارج از کره به دست آورید.

**حل.** ابتدا شکل زیر را برای سؤال در نظر بگیرید. در واقع هدف ما پیدا کردن پتانسیل الکتریکی ناشی از بار  $+q$  واقع در نقطه‌ی  $A$  و کره‌ی رسانا به شعاع  $R$ ، در نقطه‌ای دلخواه مانند نقطه‌ی  $B$  است.

برای حل این مسأله به روش تصاویر همچنان باید یک حدس مناسب را مینا قرار داده و بر اساس آن سعی بر حل مسأله کنیم. نخست، با توجه به تقارن مسئله، معقول به نظر می‌رسد که بار تصویر بار  $+q$  جایی روی محور  $OA$  باشد و نه خارج از آن. با این حدس و فرض کردن بار  $q'$  به عنوان بار تصویری و فاصله‌ی  $d'$  به عنوان فاصله‌ی بار تصویر از مبدأ و با توجه به صورت سؤال خواهیم داشت:

مثال ۱۳



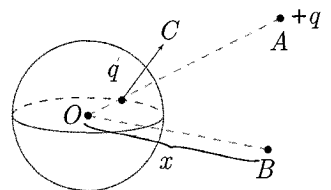
شکل ۲۳-۳

$$V(B) = \frac{1}{4\pi\epsilon_0} \left( \frac{+q}{|\vec{OA} - \vec{OB}|} + \frac{q'}{|\vec{OC} - \vec{OB}|} \right)$$

برای راحتی در محاسبات راستای  $\vec{OA}$  را با  $\hat{e}_1$  و راستای  $\vec{OB}$  را با  $\hat{e}_2$  نشان می‌دهیم، در این صورت:

$$V(B) = \frac{1}{4\pi\epsilon_0} \left( \frac{+q}{|d\hat{e}_1 - x\hat{e}_2|} + \frac{q'}{|d'\hat{e}_1 - x\hat{e}_2|} \right)$$

حالا وقت آن است که شرایط مرزی را در مورد این کره لحاظ کنیم، شرط مرزی در بیان ما از مسأله به صورت زیر است:



شکل ۲۴-۳

$$x = R \rightarrow V(B) = 0$$

با اعمال این شرط در رابطه‌ی قبل داریم:

$$\frac{q}{|d\hat{e}_1 - R\hat{e}_2|} + \frac{q'}{|d'\hat{e}_1 - R\hat{e}_2|} = \frac{q}{|d\hat{e}_1 - R\hat{e}_2|} + \frac{q'}{|R\hat{e}_2 - d'\hat{e}_1|} = 0$$

از آنجا که عبارت بالا باید برای جفت‌های  $\hat{e}_1$  و  $\hat{e}_2$  درست باشند (تا تمام سطح کره دارای پتانسیل صفر باشد)، عبارت بالا باید به صورت یک اتحاد ریاضی در بیاید، به این صورت:

$$\frac{q}{d|\hat{e}_1 - \frac{R}{d}\hat{e}_2|} + \frac{q'}{R|\hat{e}_2 - \frac{d'}{R}\hat{e}_1|} \equiv 0 \quad (\text{اتحاد ریاضی } \equiv)$$

که در آن

$$\frac{q}{d} = \frac{-q'}{R}, \quad \frac{-R}{d} = \frac{-d'}{R}$$

به این صورت با این دو معادله، دو مجهول  $d'$  و  $q'$  هم پیدا می‌شوند

$$d' = \frac{R^2}{d}, \quad q' = \frac{-Rq}{d}$$

حالا در هر نقطه دلخواه  $B$ ، پتانسیل به صورت

$$V(B) = \frac{1}{4\pi\epsilon_0} \left( \frac{q}{|d\hat{e}_1 - x\hat{e}_2|} - \frac{\frac{Rq}{d}}{|\frac{R^2}{d}\hat{e}_1 - x\hat{e}_2|} \right)$$

خواهد بود.

تذکراهایی که بعد از حل مثال قبل داده شده در مورد این مثل هم صادق هستند.

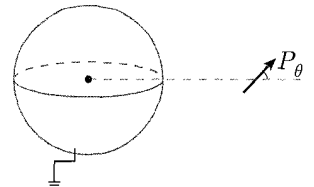
همان‌طور که گفته شد روش تصاویر در حالت‌های دیگر از جمله اینکه سطوح هم‌پتانسیل دارای پتانسیل غیر از صفر باشند یا به جای اطلاع از پتانسیل از وضعیت بار روی آنها اطلاع داشته باشیم، هم مورد استفاده است که منبع مطالعه مناسب آن در پاورقی ذکر شد، اما این‌گونه از مسائل اصلاً کاربرد و جذابیت چندانی در مسائل المپیاد ندارند. قضیه‌ی تصاویر هم چنین در مورد بعضی دیگر از هندسه‌ها کاربرد دارند. هندسه‌هایی از قبیل استوانه و ... اما این هندسه‌ها هم اهمیت چندانی در کار ما ندارند. بنابراین به عنوان آخرین مثال پر کاربرد از قضیه‌ی تصاویر به تصویر یک دوقطبی در یک کره‌ی متصل به زمین می‌پردازیم.

یک دوقطبی الکتریکی با ممان دوقطبی  $\vec{p}$ ، در محل  $\vec{r}_p$  قرار گرفته است، یک کره‌ی رسانا هم با شعاع  $R < r_p$  در مرکز مختصات قرار دارد. پتانسیل الکتریکی را در تمام نقاط فضا که بیرون از کره قرار دارند، بیابید.

**حل.** شکل کلی حل این سؤال به صورت زیر است.

همان‌طور که از قسمت دوقطبی به یاد دارید، در فواصل به اندازه‌ی کافی دور از دوقطبی، نه بار  $q$  تشکیل دهنده‌ی دوقطبی و نه اندازه‌ی ( $d$ ) فاصله بین دو بار، مهم نیستند، بلکه کمیت، ممان دوقطبی است که دارای اهمیت فیزیکی است. با توجه به این‌که ممان دوقطبی  $\vec{p}$ ، یک بردار است، از قواعد جمع برداری در هر نقطه از فضا تبعیت می‌کند. به این صورت می‌توان آن را به

### مثال ۱۴



شکل ۳-۲۵

دو مؤلفه‌ی عمود بر هم، یکی در راستای  $\vec{r}_p$  و دیگری عمود بر  $\vec{p}$ ، تجزیه کرده و به این صورت اثر دوقطبی در فضا، برابر حاصل جمع آثار این دو، دوقطبی به دست آمده خواهد بود.

$$\vec{p} = \vec{p}_\perp + \vec{p}_\parallel = -p \sin \theta \hat{e}_\varphi + p \cos \theta \hat{e}_r$$

است که در آن  $\hat{e}_r$  و  $\hat{e}_\varphi$  در دستگاه کروی بیان شده‌اند.

با توجه به تقارن کروی مسئله، می‌توان مسأله را به حالت دوبعدی ساده کرد و به این صورت

$$\vec{p} = p \sin \theta \hat{j} + p \cos \theta \hat{i}$$

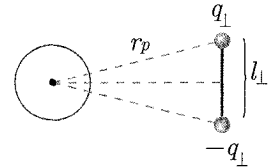
که در آن  $\hat{i}$  و  $\hat{j}$  بردارهای یکه دستگاه مختصات دکارتی هستند.

حال، اثر هر کدام از این دوقطبی را به صورت جداگانه به وسیله‌ی روش بارهای تصویری مورد

بررسی قرار می‌دهیم:

**الف) اثر  $p_\perp$ :**

در این حالت فرض می‌کنیم، تنها مؤلفه‌ی  $p_\perp$  از دوقطبی  $p$  در فضا وجود دارد. همچنین فرض کنیم که این دوقطبی به شکلی ساخته شده که  $q_\perp l_\perp = p_\perp = p \sin \theta$ . شکل این حالت از مسأله به صورت زیر است: شکل ۳-۲۶.



شکل ۳-۲۶

به این صورت می‌توان بار تصویری این حالت را، مجموع بار تصویری دو بار نقطه‌ای با اندازه‌های

$\pm q_\perp$  دانست، با توجه به مثال قبل:

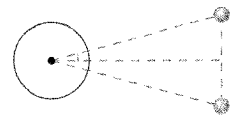
$$q' = -\frac{Rq}{d}, \quad d' = \frac{R^2}{d}$$

به این صورت شکل بار تصویری به صورت زیر است:

در این قالب، داریم:

$$d = d_\perp = \sqrt{r_p^2 + \frac{(l_\perp)^2}{4}}, \quad q = q_\perp$$

$$\rightarrow d'_\perp = \frac{R^2}{(r_p)^2 + \frac{(l_\perp)^2}{4}}, \quad q'_\perp = -\frac{Rq_\perp}{\sqrt{(r_p)^2 + \frac{(l_\perp)^2}{4}}}$$



شکل ۳-۲۷

و در این صورت، در درون کره‌ی فلزی هم، یک دوقطبی تشکیل خواهد شد که بردار دوقطبی

آن به صورت زیر است:

$$p'_\perp = q'_\perp \cdot l'_\perp$$

$$l'_\perp = 2 \times \frac{1}{4} l'_\perp = 2 \times \frac{l'_\perp}{d'_\perp} \times d'_\perp \times \frac{1}{2}$$

$$= 2 \times \frac{l_\perp}{d_\perp} \cdot d'_\perp \times \frac{1}{2} = \frac{l_\perp}{\sqrt{(r_p)^2 + \frac{(l_\perp)^2}{4}}} \times d'_\perp = \frac{R^2 l_\perp}{(r_p)^2 + \frac{(l_\perp)^2}{4}}$$

$$p'_\perp = q'_\perp \cdot l'_\perp = -\frac{R^2 q_\perp l_\perp}{((r_p)^2 + \frac{(l_\perp)^2}{4})^{3/2}} = -\frac{R^2 p_\perp}{((r_p)^2 + \frac{(l_\perp)^2}{4})^{3/2}}$$

و با لحاظ کردن  $r_p \gg l_{\perp}$  می‌توان نوشت:

$$p'_{\perp} = -\frac{R^2}{(rp)^2} p_{\perp}$$

که علامت منفي ناشی از وارد شدن علامت بارها نسبت به دوقطبی اصلی است. همچنین در مورد محل قرارگیری این دوقطبی می‌توان گفت:

$$\begin{aligned} \frac{r_{p'_{\perp}}}{r_p} &= \frac{d'_{\perp}}{d_{\perp}} = \frac{R^2/d_{\perp}}{d_{\perp}} = \frac{R^2}{d_{\perp}^2} \rightarrow r_{p'} = \frac{R^2}{d_{\perp}^2} \cdot r_p \\ &= \frac{R^2}{(r_p)^2 + \frac{(l_{\perp})^2}{4}} \cdot r_p \simeq \frac{R^2}{r_p} \end{aligned}$$

که در آن از قوانین مشابه مثلث‌ها استفاده کرده‌ایم.

ب) حالا به سراغ حالت دیگر می‌رویم، حالتی که در آن دوقطبی موازی خط را بررسی می‌کنیم. شکل این حالت به صورت ۲۸-۳ است.

$$p_{\parallel} = q_{\parallel} \cdot l_{\parallel}$$

برای این حالت هم در نظر می‌گیریم: و مسأله را به صورت زیر می‌نویسیم.

با استفاده از مسئله‌ی قبل که حل شده، بار دیگر از روابط آن استفاده می‌کنیم:

$$q' = -\frac{R}{d} q, \quad d' = \frac{R^2}{d}$$

در این حالت برای بارهای نزدیک و دورتر به کره داریم: (در این حالت بار نزدیک به کره را با  $q_N$ ، بار دورتر به کره را با  $q_F$  نشان می‌دهیم)

$$q_{N\parallel} = -q_{F\parallel} = -q_{\parallel}, \quad d_{N\parallel} = r_p - \frac{l_{\parallel}}{4}$$

$$d_{F\parallel} = r_p + \frac{l_{\parallel}}{4}$$

به این صورت

$$q'_{N\parallel} = \left( -\frac{R}{r_p - \frac{l_{\parallel}}{4}} \right) (-q_{\parallel}) = \frac{Rq_{\parallel}}{r_p - \frac{l_{\parallel}}{4}}$$

$$q'_{F\parallel} = \left( -\frac{R}{r_p + \frac{l_{\parallel}}{4}} \right) (q_{\parallel}) = -\frac{Rq_{\parallel}}{r_p + \frac{l_{\parallel}}{4}}$$

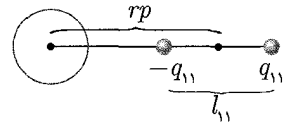
$$d'_{N\parallel} = \frac{R^2}{d_{N\parallel}} = \frac{R^2}{r_p - \frac{l_{\parallel}}{4}}$$

$$d'_{F\parallel} = \frac{R^2}{d_{F\parallel}} = \frac{R^2}{r_p + \frac{l_{\parallel}}{4}}$$

به این صورت با دو بار مخالف  $q'_{F\parallel}$  و  $q'_{N\parallel}$  در دو نقطه‌ی مختلف قرار داریم. در حالت کلی نمی‌توان این دو بار را به صورت دوقطبی نوشت، بلکه باید آن را به صورت یک دوقطبی و یک



شکل ۲۸-۳



شکل ۲۹-۳

بار خالص نوشت. برای این منظور دو بار  $q'_{F\parallel}$  و  $q'_{N\parallel}$  را به صورت زیر می‌نویسیم.

$$q_{N\parallel} = \frac{Rq_{\parallel}}{rp + \frac{l_{\parallel}}{\epsilon}} + \left( \frac{Rq_{\parallel}}{rp - \frac{l_{\parallel}}{\epsilon}} - \frac{Rq_{\parallel}}{rp + \frac{l_{\parallel}}{\epsilon}} \right)$$

$$= \frac{Rq_{\parallel}}{rp + \frac{l_{\parallel}}{\epsilon}} + Rq_{\parallel} \left( \frac{l_{\parallel}}{rp^2 - \frac{l_{\parallel}^2}{\epsilon}} \right)$$

$$q_{F\parallel} = \frac{Rq_{\parallel}}{rp + \frac{l_{\parallel}}{\epsilon}}$$

به این صورت می‌توان مجموعه‌ی این دو بار را به صورت یک دوقطبی با بار  $\pm \frac{Rq_{\parallel}}{rp + \frac{l_{\parallel}}{\epsilon}}$  و

اندازه‌ی  $l'_{\parallel} = |d'_{N\parallel} - d'_{F\parallel}|$  و یک بار خالص  $q^* = \frac{Rq_{\parallel}l_{\parallel}}{rp^2 - \frac{l_{\parallel}^2}{\epsilon}}$  در محل  $d'_{N\parallel}$  است.

حالا این مقادیر را ساده می‌کنیم:

$$p'_{\parallel} = \frac{Rq_{\parallel}}{rp + \frac{l_{\parallel}}{\epsilon}} \cdot \left( \frac{R^{\vee}}{rp - \frac{l_{\parallel}}{\epsilon}} - \frac{R^{\vee}}{rp + \frac{l_{\parallel}}{\epsilon}} \right)$$

$$= \frac{R^{\vee}q_{\parallel}l_{\parallel}}{rp + \frac{l_{\parallel}}{\epsilon}} \left( \frac{l_{\parallel}}{rp^2 - \frac{l_{\parallel}^2}{\epsilon}} \right)$$

که با میل دادن  $l_{\parallel}$  به سمت صفر به طوری که  $l_{\parallel}q_{\parallel}$  به سمت یک مقدار معلوم  $p_{\parallel}$  میل کند

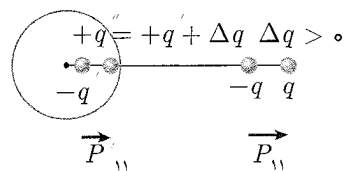
داریم:

$$p'_{\parallel} = \frac{R^{\vee}p_{\parallel}}{rp^{\vee}}$$

این عبارت بدون در نظر گرفتن جهت ممان دوقطبی است. با در نظر گرفتن جهت آن و با توجه به اینکه بار تصویری هر بار، قرینه‌ی آن است، جهت ممان دوقطبی موازی  $(p'_{\parallel})$  با جهت  $p_{\parallel}$  یکی است، طبق شکل:

و به این صورت نیازی به تغییر در علامت رابطه‌ی به دست آمده برای  $p'_{\parallel}$  نیست. همچنین

محل این دوقطبی، برابر با



شکل ۳-۳۰

$$r'p_{\parallel} = d'_{F\parallel} + \frac{1}{\epsilon}(l'_{\parallel})$$

$$d'_{F\parallel} + \frac{1}{\epsilon}(d'_{N\parallel}) - d'_{F\parallel} = \frac{d'_{N\parallel} + d'_{F\parallel}}{\epsilon}$$

$$= \frac{1}{\epsilon}R \left( \frac{1}{rp - \frac{l_{\parallel}}{\epsilon}} + \frac{1}{rp + \frac{l_{\parallel}}{\epsilon}} \right) = \frac{1}{\epsilon}R \left( \frac{2rp}{rp^2 - \frac{l_{\parallel}^2}{\epsilon}} \right)$$

و با میل دادن  $l_{\parallel}$  به سمت صفر خواهیم داشت:

$$r'p_{\parallel} = \frac{R^{\vee}}{rp}$$

پس وضعیت دوقطبی حاصل معلوم شد، وضعیت بار خالص که آن را جدا کردیم هم به صورت زیر است،  $l_{||}$  را به صفر میل می‌دهیم تا از تقریب دوقطبی الکتریکی استفاده کنیم:

$$q^* = \frac{Rq_{||}l_{||}}{rp^2 - \frac{l_{||}^2}{4}}, \quad l_{||} \rightarrow 0, q_{||}l_{||} \rightarrow p_{||}$$

$$q'' = \frac{Rp_{||}}{r^2p}$$

$$d'_{N||} = \frac{R^2}{rp - \frac{l_{||}}{4}}, \quad l_{||} \rightarrow 0 \rightarrow d'_{N||} = \frac{R^2}{rp}$$

به این صورت بار تصویری نظیر قرار گرفتن یک دوقطبی با بردار  $\vec{p}$  و در فاصله  $rp$  از کره به صورت زیر خواهد بود

$$r'p_{||} = r'p_{\perp} = \frac{R^2}{rp} = r'p$$

$$\rightarrow \vec{p}' = p'_{\perp}\hat{j} + p'_{||}\hat{i} = \frac{R^2}{(rp)^2}p_{||}\hat{i} - \frac{R^2}{(rp)^2}p_{\perp}\hat{j}$$

و یک تک بار  $\frac{Rp_{||}}{(rp)^2}$  که در فاصله  $r'p$  برابر  $\frac{R^2}{rp}$  قرار دارد. به این صورت با دانستن بارهای تصویری و به راحتی، پتانسیل و میدان در خارج از کره به دست می‌آیند.

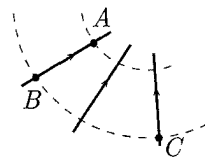
---





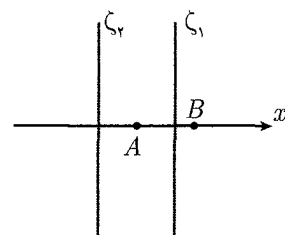
۱. میدان الکتریکی  $E$  و خطوط هم‌پتانسیل آن، مطابق شکل مفروضند. می‌دانیم در صورت حرکت از  $A$  به  $B$ ، میدان روی یک الکترون کاری برابر با  $3.9 \times 10^{-19} \text{ J}$  انجام خواهد داد. در این صورت اختلاف پتانسیل‌های  $V_C - V_B$  و  $V_C - V_A$  را به دست آورید.

رویه هم پتانسیل  
خط میدان



شکل ۳۱-۳

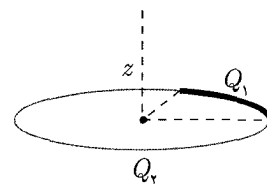
۲. دو صفحه‌ی نارسانای بی‌نهایت، هر کدام به صورت یکنواخت باردار شده‌اند. هر دو موازی صفحه‌ی  $yz$  و در مکان‌های  $x = \pm 5^\circ \text{ cm}$ ، چگالی بارهای روی صفحات به ترتیب  $-5^\circ \text{ nC/m}^2$  و  $+25^\circ \text{ nC/m}^2$  هستند، اختلاف پتانسیل بین مبدأ و نقطه‌ای در  $x = +8^\circ \text{ cm}$  را به دست آورید.



شکل ۳۲-۳

۳. مولکول آب قطبی و دارای گشتاور دوقطبی برابر با  $1.47 \text{ D}$  می‌باشد،  $1 \text{ D}$  (یک دبای - با اسم او حداقل در درس شیمی برخورد داشته‌اید یا دارید). برابر با  $3.34 \times 10^{-30} \text{ C.m}$  است، پتانسیل ناشی از این دوقطبی را در فاصله‌ی  $52 \text{ nm}$  در امتداد محور دوقطبی ( $\theta = 0^\circ$ ) به دست آورید.

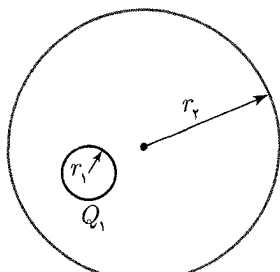
۴. یک نوار نارسانای باریک به شکل یک حلقه‌ی دایره‌ای درآمده است.  $R = 8.2 \text{ cm}$  و بار در دو قسمت  $Q_1 = 4.2 \text{ pC}$  و  $Q_2 = -6Q_1$  که به ترتیب روی یک و سه ربع از محیط دایره توزیع شده‌اند قرار گرفته است. پتانسیل را روی محور حلقه و در فاصله‌های  $z = 0$  (مرکز حلقه، روی دیسک) و  $z = 6.71 \text{ cm}$  بیابید.



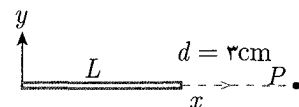
شکل ۳۳-۳

۵. یک میله‌ی نارسانای نازک به طول  $L = 12 \text{ cm}$  در شکل ۳-۳۴ آمده است، بار روی این میله با توزیع خطی  $\lambda = Cx$ ،  $C = 28.9 \text{ pC/m}^2$  قرار گرفته است. با در نظر گرفتن پتانسیل صفر در بی‌نهایت پتانسیل الکتریکی را در نقطه‌ی  $p$  به فاصله‌ی  $3 \text{ cm}$  از یک انتهای میله و روی محور آن به دست آورید.

۶. یک کره‌ی فلزی به شعاع  $r_1$  که تا پتانسیل  $\phi_1$  باردار شده است، در یک پوسته‌ی کره‌ی نازک رسانا به شعاع  $r_2$  محاط شده است (شکل زیر). بعد از این‌که برای مدت کوتاهی این کره با یک رسانا به یک پوسته‌ی کره‌ی وصل شد، دارای پتانسیل  $\phi_2$  می‌شود.  $\phi_2$  را بیابید.



شکل ۳۵-۳

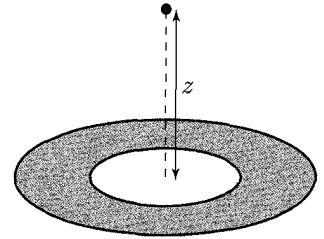


شکل ۳۴-۳

۷. دو کره‌ی فلزی کوچک  $A$  و  $B$  به جرم‌های  $m_A = 5 \text{ gr}$  و  $m_B = 1^\circ \text{ gr}$  دارای بارهای مثبت یکسان  $q = 5 \mu\text{C}$  هستند. کره‌ها با نخ‌های نارسانای بدون جرم به طول  $d = 1 \text{ m}$  به هم متصل شده‌اند. این فاصله بسیار بیشتر از قطر دو کره است. الف) انرژی پتانسیل

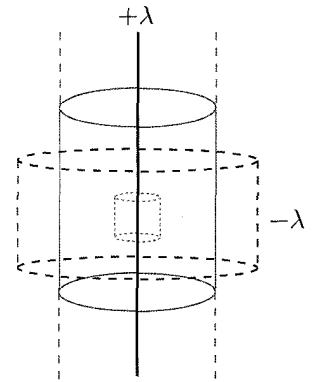
الکتریکی سیستم چقدر است؟ ب) فرض کنید در یک لحظه نخ‌ها به یک باره قطع شوند، در این لحظه‌ی به خصوص شتاب هر یک از دو کره را به دست آورید. ج) پس از گذشتن زمان طولانی، اندازه‌ی سرعت هر کره خواهد بود؟

۸. کره‌ی یک به شعاع  $R_1$  دارای بار مثبت  $q$  است، کره‌ی دو به شعاع  $2R_1$ ، در فاصله‌ی زیاد از کره‌ی یک قرار دارد و در ابتدا بدون بار است. سپس این دو کره توسط یک سیم بسیار نازک به هم وصل می‌شوند (این سیم بار بسیار کمی را روی خود نگه می‌دارد). الف) پتانسیل  $V_1$  کره‌ی یک بزرگ‌تر، کوچک‌تر یا مساوی پتانسیل  $V_2$  کره‌ی دو است؟ ب) بعد از اتصال چه قسمتی از بار روی کره‌ی یک و دو قرار می‌گیرند؟ ج) نسبت چگالی بار سطحی روی کره‌ها را به دست آورید.



شکل ۳-۳۶

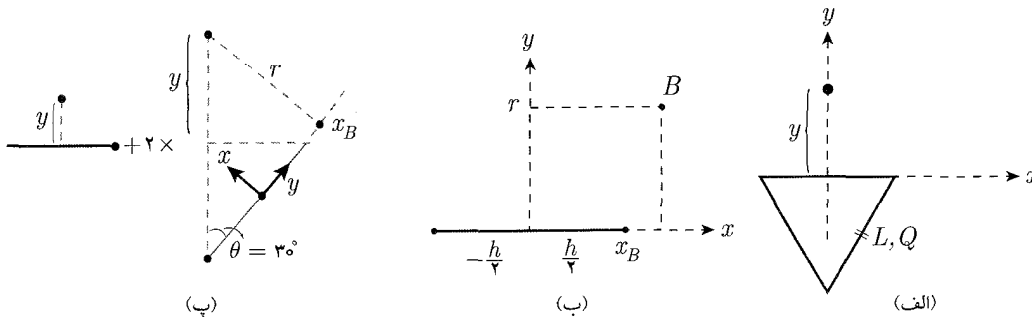
۹. در شکل یک صفحه‌ی دایره‌ای با یک سوراخ دایره‌ای در مرکز آن وجود دارد. شعاع قسمت داخلی  $r = 0.2R$  و شعاع دایره خارجی است. چگالی بار یکنواخت  $\sigma = 6.2 \text{ pC/m}^2$  است. با در نظر گرفتن  $v = 0$  در بی‌نهایت پتانسیل الکتریکی را در نقطه‌ی  $p$ ، روی محور مرکزی حلقه و در فاصله‌ی  $z = 2R$  از مرکز آن به دست آورید.



شکل ۳-۳۷

۱۰. یک استوانه‌ی بسیار بلند (میله) نارسانا به شعاع  $R_1$  توسط یک پوسته‌ی استوانه‌ای به شعاع  $R_2$  احاطه شده است. مقدار بار موجود روی واحد طول میله و پوسته به ترتیب  $+\lambda$  (توزیع شده به صورت یکنواخت روی حجم میله) و  $-\lambda$  است. اندازه‌ی اختلاف پتانسیل را بین مرکز میله و نقطه‌ای روی پوسته‌ی استوانه‌ای به دست آورید.

۱۱. با سه میله‌ی باریک به طول  $L$ ، یک مثلث متساوی‌الاضلاع مطابق شکل ساخته‌ایم. پتانسیل را روی عمود منصف هر یک از اضلاع و به فاصله‌ی  $y$  از آن ضلع بیابید، با فرض این‌که روی هر یک از این میله‌ها بار  $Q$  به صورت یکنواخت پخش شده باشد.



شکل ۳-۳۸

۱۲. فرض کنید می‌دانیم پتانسیل در ناحیه‌ای از فضا به صورت  $\phi(x, y, z) = ax^2 + by^3$  باشد که در آن  $a$  و  $b$  اعداد ثابتی هستند، توزیع بار را در همه‌ی نقاط فضا به دست آورید.

۱۳. یک دوقطبی از یک جفت بار مثبت و منفی به اندازه‌ی  $q$  و بدون جرم به طول  $b$  و جرم  $m$  تشکیل شده است. این دوقطبی در یک میدان یکنواخت  $\vec{E}$  به حالت تعادل قرار دارد. فرکانس نوسانات زاویه‌ای کوچک این دوقطبی را در میدان و حول مرکز جرمش به دست آورید.

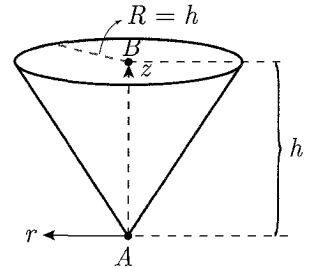
۱۴. دو معادله‌ی زیر را برای میدان الکتریکی در فضا در نظر بگیرید.

$$\vec{E} = k[xy\hat{x} + 2yz\hat{y} + 3xz\hat{z}] \quad (\text{الف})$$

$$\vec{E} = k[y^2\hat{x} + (2xy + z^2)\hat{y} + 2yz\hat{z}] \quad (\text{ب})$$

یکی از این دو معادله برای میدان الکتریکی نمی‌تواند صحیح باشد، کدام یک؟  
برای معادله‌ای که ممکن است با انتخاب مبدأ دستگاه مختصات به عنوان مبدأ پتانسیل، پتانسیل الکتریکی را در فضا به دست آورید.

۱۵. یک سطح مخروطی (مثل یک قیف بستنی خالی) حامل چگالی بار سطحی یکنواخت  $\sigma$  است. ارتفاع مخروط  $h$  و شعاع دایره‌ی بالایی مخروط هم  $h$  است. اختلاف پتانسیل الکتریکی را بین رأس مخروط و نقطه‌ای در مرکز دایره‌ی بالایی به دست بیاورید. (اختلاف پتانسیل نقاط  $A$  و  $B$  در شکل)



شکل ۳-۳۹

۱. حل. همان طور که می‌دانیم، پتانسیل  $V_B - V_A = V_C - V_A$  (چون  $B$  و  $C$  روی یک رویه‌ی هم‌پتانسیل قرار دارند).

$$V_B - V_A = - \int_A^B \vec{E} \cdot d\vec{s} = \frac{\int_A^B -q\vec{E} \cdot d\vec{s}}{q} = \frac{-AW_B}{q}, \quad q = -e$$

که در آن  $AW_B$ ، کار انجام شده روی بار، توسط میدان و از  $A$  تا  $B$  است.

$$V_B - V_A = \frac{-3,94 \times 10^{-19}}{-1,6 \times 10^{-19}} = 2,46V$$

همچنین  $V_B - V_C = 0$  و این از مفهوم رویه‌ی هم‌پتانسیل نتیجه می‌شود.

۲. حل. از فصل قبل می‌دانیم که میدان در اطراف یک صفحه‌ی بی‌نهایت نارسانا با چگالی بار  $\sigma$  به صورت  $\frac{\sigma}{2\epsilon_0}$  است، در این صورت با توجه به تعریف مان از پتانسیل الکتریکی داریم:

$$V(x) = \int_0^x \vec{E} \cdot d\vec{x}^* = \int_0^x \frac{\sigma}{2\epsilon_0} \cdot dx^* = \left[ \frac{\sigma}{2\epsilon_0} x^* \right]_0^x = \frac{\sigma}{2\epsilon_0} (x - \infty)$$

همان طور که می‌بینید، این عبارت مقداری مبهم (شامل  $\infty$ ) است و ابهام آن هم رفع شدنی نیست. واضح است که مشکل در انتخاب سطح مبنا است. اما مشکل چیست؟ ایراد کار در آنجاست که اصولاً، فرض صفحه نامتناهی بار، با فرض کردن جایی به اسم بی‌نهایت دور برای سطح مبنای پتانسیل در تناقض است، چرا که منظور ما از مبدأ پتانسیل واقع در  $\infty$  جایی بود که از کلیه‌ی بارهای ممکن فاصله‌ی  $\infty$  داشته باشد، ولی اگر صفحه‌ی بار نامتناهی باشد، این فرض معتبر نیست.

اما نباید این پیشامد نگرانی‌ای به وجود آورد. چرا که همان‌گونه که پیش‌تر گفته شد آن چه اهمیت فیزیکی دارد پتانسیل نیست بلکه اختلاف پتانسیل است. همان طور که دیده می‌شود، در صورت سؤال هم اختلاف پتانسیل بین دو نقطه خواسته شده است. بنابراین، برای حل این مشکل می‌توانیم به چند شکل عمل کنیم. نخست آنکه می‌توانیم در انتخاب مبدأ پتانسیل رویه‌ی قبلی را کنار بگذاریم. برای مثال، نقطه‌ی  $x = 0$  را به عنوان مبدأ پتانسیل (پتانسیل صفر) در نظر بگیریم. به این صورت، محاسبات ما به صورت زیر تغییر خواهد کرد (برای رجوع بعدی پتانسیل این قرارداد را با  $V_0(x)$  نشان می‌دهیم).

$$V_0(x^*) = \int_0^x \vec{E}(x) \cdot d\vec{x}^* = \int_0^x E(x) dx = \int_0^x \frac{\delta}{2\epsilon_0} dx = \frac{\sigma}{2\epsilon_0} x^*$$

که در آن باید دقت کنیم که  $x^*$  بیانگر فاصله از مرکز صفحه‌ی حاوی چگالی بار است (با تغییر  $x^*$  به  $-x^*$ ، به علت تقارن، پتانسیل نباید تغییر کند) در این صورت در هر مرحله با نوشتن روابط و استفاده از اصل برهم‌نهی جواب به دست می‌آید. اما راه حل کلی‌تر که به آن

قصد داریم پاسخ را به دست آوریم این است که به صورت پارامتری، سطح مبنا را در نقطه‌ی  $x^* = c$  فرض کنیم. در این حالت پتانسیل را با  $V_*(x^*)$  نشان می‌دهیم:

$$V_*(x^*) = \int_c^{x^*} \vec{E}(x) \cdot d\vec{x} = \int_c^{x^*} \frac{\sigma}{2\epsilon_0} dx = \frac{\sigma}{2\epsilon_0} (x^* - c)$$

است که همچنان در آن، منظور از  $x^*$  و  $c$  اندازه (و نه جهت) فاصله از مرکز صفحه‌ی بار است، به این صورت با داشتن دو صفحه و با استفاده از اصل برهم‌نهی داریم (پتانسیل‌های مربوط به صفحه‌ی یک را با  $V_{*1}$  و صفحه دو را با  $V_{*2}$  نشان داده‌ایم) (نقطه‌ی  $x = 8 \text{ cm}$  را با  $B$  و نقطه‌ی  $x = 0$  را با  $A$  نشان می‌دهیم):

$$\Delta V = V_*(B) - V_*(A) = (V_{*1}(B) - V_{*1}(A)) + (V_{*2}(B) - V_{*2}(A))$$

$$\Delta V = (V_{*1}(x_{*1B}) - V_{*1}(x_{*1A})) + (V_{*2}(x_{*2B}) - V_{*2}(x_{*2A}))$$

که در آنها  $x_{*iA}$  و  $x_{*iB}$ ، فاصله‌ی نقاط  $A$  و  $B$  تا صفحه‌ی بار شماره‌ی  $i$  می‌باشد.

$$\Rightarrow \Delta V = \frac{1}{2\epsilon_0} [\sigma_1((x_{*1B} - C_1) - (x_{*1A} - C_1)) + \sigma_2((x_{*2B} - C_2) - (x_{*2A} - C_2))]$$

که در آن انتخاب مقدار  $C_2$  به سطح مبنا‌ی صفحه‌ی دو به این علت انجام گرفته است که انتخاب سطح مبنا، یک بار و برای صفحه‌ی یک انجام شده است و نقطه‌ای به فاصله‌ی  $C_1$  از صفحه‌ی اول، پتانسیل صفر دارد. بنابراین برای صفحه‌ی دوم نقطه‌ای به فاصله‌ی  $C_2 = C_1 + d$  (که در آن  $d$  فاصله‌ی بین دو صفحه است) دارای پتانسیل صفر خواهد بود. در این صورت

$$\Delta V = \frac{1}{2\epsilon_0} [(x_{*1B} - x_{*1A}) + (x_{*2B} - x_{*2A})\sigma_2]$$

با توجه به اطلاعات مسئله:

$$x_{*1B} = 0.3 \text{ m}, \quad x_{*2B} = 1.3 \text{ m}$$

$$x_{*1A} = 0.5 \text{ m}, \quad x_{*2A} = 0.5$$

$$\Rightarrow \Delta V = \frac{1}{2\epsilon_0} [(-0.2) \times (-50) \times 10^9 + 0.8 \times 25 \times 10^{-9}]$$

همان‌طور که دیده شد، پاسخ مستقل از انتخاب  $C$  است.

توجه کنید که پاسخ این مسأله در یک سطر قابل دست‌یابی است ولی توضیحات داده شده تنها برای روشن ساختن نکته‌ی گفته شده بود که احتمال می‌دادیم در ذهن شما سؤال ایجاد کند. امیدواریم خسته نشده باشید!

۳. حل. می‌دانیم پتانسیل ناشی از دوقطبی به صورت  $\frac{q}{4\pi\epsilon_0} \cdot \frac{P}{r^2} \cos \theta$  است. با جایگزینی

$$V = 1.63 \times 10^{-5} \text{ V}$$

۴. حل. می‌دانیم برای یک المان بار  $dV = \frac{1}{4\pi\epsilon_0} \frac{dq}{r}$

$$r = \sqrt{R^2 + z^2} \rightarrow dV = \frac{1}{4\pi\epsilon_0} \cdot \frac{dq}{\sqrt{R^2 + z^2}}$$

$$\rightarrow V = \int dV = \frac{Q_1 + Q_2}{4\pi\epsilon_0} \cdot \frac{1}{\sqrt{R^2 + z^2}}$$

و با جایگذاری

$$V|_{z=0} = -2,3V, \quad V|_{z=6,71\text{cm}} = -1,78V$$

دقت داشته باشید که در این رابطه انتگرال‌گیری اثری از هندسه‌ی توزیع بار روی حلقه دیده نمی‌شود و بار می‌توانست به هر صورت دیگری هم توزیع شده باشد، در واقع کافی بود بدانیم

$$\int_0^{2\pi} \lambda(\theta) R d\theta = Q_1 + Q_2 = Q$$

۵. حل. محورهای مختصات را برای راحتی در محاسبات و به صورت زیر در نظر می‌گیریم. برای دستگاه جدید تابع  $\lambda$  جدید به صورت زیر خواهد بود.

$$\lambda(x) = C(L + d - x)$$

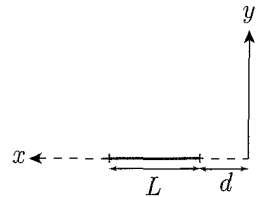
$$dV = \frac{1}{4\pi\epsilon_0} \cdot \frac{dq}{x}$$

$$V = \int_d^{L+d} dV = \frac{1}{4\pi\epsilon_0} \cdot \int_d^{L+d} \frac{\lambda(x) dx}{x}$$

$$V = \frac{1}{4\pi\epsilon_0} \int_d^{L+d} \frac{C(L + d - x) dx}{x}$$

$$= \frac{C}{4\pi\epsilon_0} \left( (L + d) \ln x \Big|_d^{L+d} - x \Big|_d^{L+d} \right)$$

$$= \frac{C}{4\pi\epsilon_0} (0,2414 - 0,12) = 31,57 \times 10^{-3} = 3,157 \times 10^{-2} V$$



شکل ۳-۴۰ پاسخ سؤال ۵

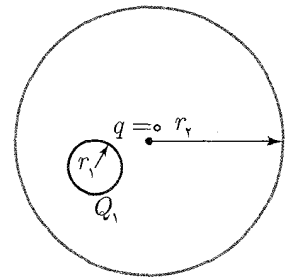
۶. حل. کره‌ی  $r_1$  که تا پتانسیل  $\phi_1$  باردار شده است را ابتدا بررسی می‌کنیم. با این کره را  $q_1$  فرض کنید. از آنجایی که میدان خارج هر توزیع بار با تقارن کروی مشابه میدان خارج بار نقطه‌ای معادل متمرکز در مرکز آن است می‌توان نوشت:

$$\phi_1 = \frac{1}{4\pi\epsilon_0} \cdot \frac{q_1}{r_1}$$

$$q_1 = 4\pi\epsilon_0 \cdot r_1 \phi_1$$

پس از اتصال این کره به کره‌ی بزرگ‌تر، کل بار  $q_1$  به سطح خارجی رسانای جدید که متشکل از دو کره است می‌رود. یعنی کل بار روی کره‌ی ۲ می‌نشیند. پس از قطع ارتباط دو کره پتانسیل کره‌ی دو به صورت زیر به دست می‌آید.

$$\phi_2 = \frac{1}{4\pi\epsilon_0} \cdot \frac{q_2}{r_2} = \frac{1}{4\pi\epsilon_0} \cdot \frac{q_1}{r_2} = \frac{r_1}{r_2} \phi_1$$



شکل ۳-۴۱

۷. حل. با توجه به زیاد بودن فاصله‌ی دو کره نسبت به اندازه‌ی کره‌ها (بارها) می‌توان این دو کره بار را بار نقطه‌ای در نظر گرفت.  
 الف) با توجه به اینکه  $r_1, r_2 \gg d$ ، می‌توان از فرض نقطه‌ای بودن بارها استفاده کرد و بنابراین با توجه به روابط ابتدای فصل:

$$U = \frac{1}{4\pi\epsilon_0} \cdot \frac{q_A q_B}{d} = 0,225 \text{ J}$$

(ب)

$$F = F_A = F_B = \frac{1}{4\pi\epsilon_0} \cdot \frac{q_A \cdot q_B}{d^2} = mA \rightarrow F = m_a A_a = m_b A_b$$

$$A_a = \frac{F}{m_a} = 45 \text{ m/s}^2, \quad A_b = 22,5 \text{ m/s}^2$$

ج) اگر مجموعه‌ی دو بار و نخ‌ها را در نظر بگیریم نیروی خارجی بر این مجموعه وارد نمی‌شود. در حالت اول انرژی به صورت پتانسیل است.

$$F_{\text{net,external}} = 0 \rightarrow \Delta E = 0 \rightarrow U_1 + P_1 = E_1 = U_2 + P_2 = E_2$$

در حالت اولیه  $U_1$  را داریم و  $P_1$  که انرژی جنبشی حالت اولیه است، چون همه‌ی اجزا در حال سکون‌اند، برابر صفر است،  $U_2$  انرژی پتانسیل حالت ثانویه و  $P_2$  انرژی جنبشی این حالت است.

$$E_1 = U_1 = 0,225 \text{ J} = E_2 = U_2 + P_2$$

$$U_2 = \frac{q}{4\pi\epsilon_0} \cdot \frac{q_A \cdot q_B}{r} \rightarrow \lim_{r \rightarrow \infty} U_2 = 0$$

$$\rightarrow E_2 = P_2 \rightarrow \frac{1}{2} (m_a v_a^2 + m_b v_b^2) = 0,225$$

برای به دست آوردن رابطه‌ی دیگر، دقت می‌کنیم که نیروی وارد بر دو جسم همواره برابر و جرم  $B$  دو برابر جرم  $A$  است.

$$A_a = 2A_b \rightarrow v_a(t) = \int_0^t A_a(t) dt = \int_0^t 2A_b(t) dt = 2v_b(t)$$

پس سرعت جسم  $a$  در هر لحظه دو برابر سرعت جسم  $b$  است.

$$\frac{1}{2} (m_a (2v_b)^2 + m_b v_b^2) = 0,225 \rightarrow \begin{aligned} v_b &= 3,87 \text{ m/s} \\ v_a &= 7,74 \text{ m/s} \end{aligned}$$

۸. حل. الف) وقتی دو کره به وسیله‌ی رسانا به یکدیگر متصل شده‌اند و در مدت کوتاهی به تعادل رسیدند، کره‌ها هم پتانسیل‌اند و پتانسیل‌ها برابرند.

$$V_{eq} = \frac{kq_1}{R_1} = \frac{kq_2}{R_2} = \frac{k(q_1 + q_2)}{R_1 + R_2} = \frac{kq}{R_1 + R_2}$$

$$q_1 = \frac{R_1}{R_1 + R_2} q = \frac{1}{3} q \quad (ب)$$

$$q_2 = \frac{R_2}{R_1 + R_2} q = \frac{2}{3} q$$

$$\frac{\sigma_1}{\sigma_2} = \frac{\frac{q_1}{4\pi R_1^2}}{\frac{q_2}{4\pi R_2^2}} = \frac{q_1}{q_2} \left(\frac{R_2}{R_1}\right)^2 \rightarrow \frac{\sigma_1}{\sigma_2} = \frac{R_2}{R_1} = 2 \quad (ج)$$

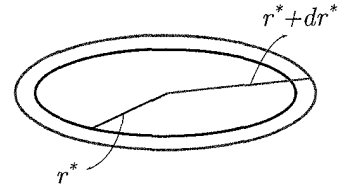
۹. حل. از آنجا که برای یک المان بار در نظر گرفتن، تنها کافی است فاصله‌ی نقاط این المان تا نقطه‌ای که می‌خواهیم پتانسیل را در آن محاسبه کنیم، یکسان باشد، یک حلقه‌ی بار به ضخامت  $dr^*$  به شعاع  $r^*$  را به عنوان المان بار در نظر می‌گیریم.

$$dV = \frac{1}{4\pi\epsilon_0} \cdot \frac{dq}{d} , \quad d = \sqrt{z^2 + (r^*)^2}$$

$$dV = \frac{\sigma}{4\pi\epsilon_0} \cdot \frac{2\pi r^* dr^*}{\sqrt{r^{*2} + z^2}} \rightarrow V = \int dV = \int \frac{\sigma}{4\pi\epsilon_0} \cdot \frac{2\pi r^* dr^*}{\sqrt{r^{*2} + z^2}}$$

$$= \frac{2\sigma}{4\epsilon_0} \int \frac{r^* dr^*}{\sqrt{r^{*2} + z^2}} = \frac{\sigma}{2\epsilon_0} \left[ \sqrt{r^{*2} + z^2} \right]_{r^*=0}^{R}$$

با جایگذاری اعداد  $\rightarrow V = 1.05 \times 10^{-2} (V)$



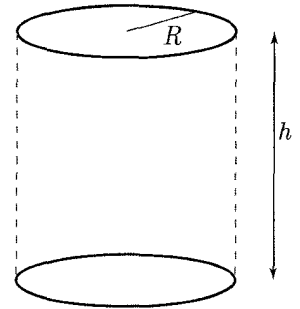
شکل ۳-۴۲

۱۰. حل. توزیع بار به شکل ۳-۴۳ است، با اعمال قانون گاوس به راحتی می‌توان دریافت که میدان الکتریکی از بیرون پوسته‌ی استوانه‌ای تا بی‌نهایت دور صفر باقی می‌ماند. همچنین برای میدان در داخل میله و بین میله و پوسته هم از قانون گاوس استفاده می‌کنیم.

$$Q = h \times \lambda = \pi R_1^2 \times h \times \rho$$

$$\rightarrow \rho = \frac{\lambda}{\pi R_1^2} \quad (\text{چگالی حجمی بار روی میله})$$

حال برای پیدا کردن میدان داخل میله، یک سطح گاوسی استوانه‌ای با شعاع  $r < R_1$  و هم‌محور با استوانه در نظر می‌گیریم.



شکل ۳-۴۳

$$\rightarrow \int \vec{E} \cdot d\vec{s} = \frac{\pi r^2 \rho h'}{\epsilon_0}$$

$$\rightarrow E(r) \cdot 2\pi r h' = \frac{\pi r^2 \rho h'}{\epsilon_0}$$

$$\rightarrow \vec{E}(r) = \frac{\rho r}{2\epsilon_0} \vec{e}_r = \frac{\lambda r}{2\pi\epsilon_0 R_1^2} \vec{e}_r$$

و برای محاسبه‌ی میدان بین میله و پوسته‌ی استوانه‌ای  $\vec{E}(r) = \frac{\lambda}{2\pi R_1 \epsilon_0} \vec{e}_r$  کل بار میله می‌تواند در محور میله در نظر گرفته شود  $r > R_1 \rightarrow$

$$|V_2 - V_1| = \left| \int_1^2 \vec{E} \cdot d\vec{r} \right|$$



برای اختلاف پتانسیل بین این دو نقطه می‌نویسیم:

$$\begin{aligned} \int_{R_1}^{R_2} \vec{E} \cdot d\vec{r} &= \int_0^{R_1} \vec{E}(r) d\vec{r} + \int_{R_1}^{R_2} \vec{E}(r) \cdot d\vec{r}, \quad d\vec{r} = dr \vec{e}_r \\ \Rightarrow \int_{R_1}^{R_2} \vec{E} \cdot d\vec{r} &= \frac{\lambda}{2\pi\epsilon_0 R_1^2} \int_0^{R_1} r dr + \frac{\lambda}{2\pi\epsilon_0} \int_{R_1}^{R_2} \frac{1}{r} dr \\ &= \frac{\lambda}{4\pi\epsilon_0} + \frac{\lambda}{2\pi\epsilon_0} \ln \frac{R_2}{R_1}, \quad V_2 - V_1 = - \int_{R_1}^{R_2} \vec{E} \cdot d\vec{r} \\ \rightarrow V_2 - V_1 &= - \frac{\lambda}{2\pi\epsilon_0} \left( 1 + \ln \left( \frac{R_2}{R_1} \right) \right) \end{aligned}$$

۱۱. حل. شکل را مانند روبه‌رو در نظر می‌گیریم. ابتدا بیاید میدان را در فاصله‌ی  $r$  از یک میله‌ی محدود محاسبه کنیم. فرض کنید شکلی مانند زیر داریم.

$$\begin{aligned} V_B &= \int_{-L/2}^{L/2} dV = \int_{-L/2}^{L/2} \frac{1}{4\pi\epsilon_0} \frac{\lambda dx}{\sqrt{r^2 + (x - x_B)^2}} \\ &= \frac{\lambda}{4\pi\epsilon_0} \ln \left( (x - x_B) + \sqrt{(x - x_B)^2 + r^2} \right) \Big|_{-L/2}^{L/2} \end{aligned}$$

به این صورت می‌توان پتانسیل ناشی از توزیع بار روی مثلث را طبق اصل برهم‌نهی به صورت برهم‌نهی پتانسیل ناشی از سه خط بار به طول  $L$  ولی با  $r$  و  $x_B$  های متفاوت نوشت:

$$\begin{aligned} r &= (y + L \cos 30^\circ) \sin 30^\circ = \frac{y + \frac{L\sqrt{3}}{2}}{2} \\ x_B &= (y + L \cos 30^\circ) \cos 30^\circ - \frac{L}{2} \\ \rightarrow V(y) &= \frac{\lambda}{4\pi\epsilon_0} \left[ \ln(x + \sqrt{x^2 + r^2}) \Big|_{-L/2}^{L/2} + 2 \ln \left( \left( \frac{y\sqrt{3}}{2} + \left( \frac{3L}{4} - \frac{L}{2} \right) \right) \right) \right. \\ &\quad \left. + \left( \sqrt{\left( x - \frac{y\sqrt{3}}{2} - \frac{L}{4} \right)^2 + \left( \frac{y + \frac{L\sqrt{3}}{2}}{2} \right)^2} \right) \Big|_{-L/2}^{L/2} \right] \end{aligned}$$

۱۲. حل. با استفاده از شکل دیفرانسیلی قانون گاوس می‌دانیم:

$$\vec{\nabla} \cdot \vec{E}(x, y, z) = \frac{\rho(x, y, z)}{\epsilon_0}$$

همچنین می‌دانیم  $\vec{E}(x, y, z) = -\vec{\nabla}\phi(x, y, z)$  و با ترکیب این دو به دست آوردیم

$$-\vec{\nabla} \cdot \vec{\nabla}\phi = \frac{\rho(x, y, z)}{\epsilon_0} \rightarrow \nabla^2 \phi(x, y, z) = -\frac{\rho(x, y, z)}{\epsilon_0}$$

که به معادله‌ی پواسون معروف است، بنابراین توزیع بار به این صورت است:

$$\rho(x, y, z) = -\epsilon_0 \nabla^2 \phi(x, y, z) = -\epsilon_0 (2a + 3by)$$

لازم به ذکر است که اینکه نام این معادله چیست و از کجا آمده، نباید فعلاً برای شما اهمیت زیادی داشته باشد. بدون دانستن نام معادله هم قطعاً مسأله قابل حل است. اما اهمیت این

معادله و حل آن بیشتر در مسائل مقدار مرزی پتانسیل مشخص می‌شود، جایی که با معلوم بودن تابع  $\rho(x, y, z)$ ، تابع پتانسیل و در پی آن میدان در همه‌ی نقاط فضا مشخص می‌شود. همان‌طور که گفته شد، حل مسائل مقدار مرزی الکترواستاتیک در حوزه‌ی این کتاب نیست.

۱۳. حل. می‌دانیم انرژی پتانسیل یک دو قطبی در میدان الکتریکی به صورت  $U = -\vec{p} \cdot \vec{E}$  است. در حد  $\theta$  های کوچک می‌توان از تقریب  $\tan \theta \simeq \sin \theta \simeq \theta$  استفاده کرد:

$$U = -pE \cos \theta = -qbE \cos \theta \rightarrow \frac{dU}{d\theta} = qbE \sin \theta$$

$$\rightarrow \frac{dU}{d\theta} \simeq qbE\theta$$

بنابراین اگر نوسان این دو قطبی در میدان را با نوسان یک جسم متصل بر فنر پیچشی مدل کنیم،  $k$  فنر پیچشی معادل،  $k_{eq} = qbE$  خواهد بود. برای تعیین فرکانس نوسان نیاز به ممان اینرسی (گشتاورماند) سیستم هم داریم که برابر با  $\frac{ml^2}{12}$  است. (اگر این قسمت را به یاد ندارید باید به جلد مکانیک یا کتاب‌های مکانیک مقدماتی مراجعه کنید.)

$$I_{eq} = \frac{mb^2}{12}, \quad w = \sqrt{\frac{k}{I}} = \sqrt{\frac{qbE}{\frac{mb^2}{12}}} = \sqrt{\frac{12qbE}{mb}}$$

۱۴. حل. همان‌طور که می‌دانیم، برای این‌که یک معادله‌ی برداری دلخواه بتواند معرف یک میدان باشد باید در شرط  $\vec{\nabla} \times \vec{E} = 0$ ، حتی می‌دانیم که شرط  $\vec{\nabla} \cdot \vec{E} = 0$  شرط لازم و کافی برای وجود پتانسیل است این شرط را در مورد این دو معادله بررسی می‌کنیم.<sup>۱</sup>

(الف)

$$\vec{\nabla} \times \vec{E} = k \begin{vmatrix} \hat{x} & \hat{y} & \hat{z} \\ \frac{\partial}{\partial x} & \frac{\partial}{\partial y} & \frac{\partial}{\partial z} \\ xy & 2yz & 3zx \end{vmatrix}$$

$$= k[\hat{x}(0 - 2y) + \hat{y}(0 - 3z) + \hat{z}(0 - x)] \neq 0$$

بنابراین این معادله یک میدان الکتریکی را توصیف نمی‌کند.

(ب)

$$\vec{\nabla} \times \vec{E}_2 = k \begin{vmatrix} \hat{x} & \hat{y} & \hat{z} \\ \frac{\partial}{\partial x} & \frac{\partial}{\partial y} & \frac{\partial}{\partial z} \\ y^2 & 2xy + z^2 & 2yz \end{vmatrix}$$

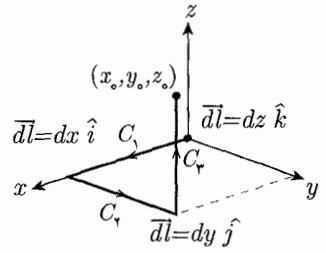
$$= k[\hat{x}(2z - 2z) + \hat{y}(0 - 0) + \hat{z}(2y - 2y)] = 0$$

(۱) برای آنکه عبارت بالا دقیق باشد باید گفت که این جمله در مورد انواع خاص میدان صادق است که میدان‌های الکترواستاتیک نامتغیر با زمان، که اغلب در این رده مدنظر است، با آن سازگار است. ولی ما فعلاً هیچ نیازی به دقیق شدن در این معادلات نداریم.

و بنابراین این معاله بیانگر یک میدان الکترواستاتیکی است. برای محاسبه‌ی پتانسیل در فضا از تعریف استفاده می‌کنیم. یعنی پتانسیل را با انتگرال‌گیری روی منحنی  $C$  پیدا خواهیم کرد. همان‌طور که می‌دانیم مقدار انتگرال مستقل از منحنی  $C$  است ولی برای محاسبه‌ی انتگرال چاره‌ای نداریم جز این‌که یک مسیر دلخواه انتخاب کنیم.

$$V(x_0, y_0, z_0) = - \int_C^{x_0, y_0, z_0} \vec{E} \cdot d\vec{l}$$

ما به عنوان مثال مسیر حرکت به صورت شکل ۳-۴۴ را انتخاب می‌کنیم. مجموع سه قطعه‌ی مجزا که روی هر یک فقط یکی از کمیات  $dx$ ،  $dy$  و  $dz$  مخالف صفر باشند.



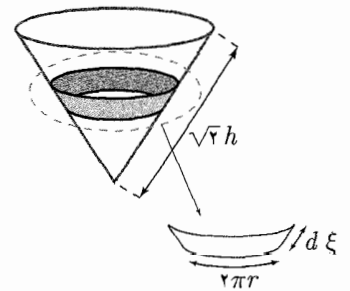
شکل ۳-۴۴

$$\begin{aligned} V(x_0, y_0, z_0) &= - \int_{C_1 + C_2 + C_3}^{(x_0, y_0, z_0)} \vec{E} \cdot d\vec{l} \\ &= -k \left[ \int_{C_1} y^2 dx + \int_{C_2} (2xy + z^2) dy + \int_{C_3} 2yz dz \right] \\ \int_{C_1} y^2 dx &= 0 = \int_{C_2} z^2 dy \text{ ها} \text{ انتگرال‌های انتخابی و انتگرال‌ها} \\ &= -k \left[ x_0 y_0^2 + y_0 z_0^2 \right] = (x_0 y_0^2 + y_0 z_0^2) (-k) \end{aligned}$$

بنابراین تابع پتانسیل به صورت زیر به دست می‌آید.

$$\phi(x, y, z) = (-k)(xy^2 + yz^2)$$

۱۵. حل. برای بررسی سؤال، از دستگاه استوانه‌ای استفاده می‌کنیم. مبدأ دستگاه را روی رأس مخروط و محور  $z$  را منطبق بر محور مخروط در نظر می‌گیریم. محور کمکی  $\xi$  را هم برای راحتی در نظر می‌گیریم. حال از اصل برهم‌نهی پتانسیل استفاده کرده و پتانسیل در نقطه موردنظر را با جمع کردن پتانسیل‌های ناشی از المان بار به دست می‌آوریم. مساحت المان سطح در نظر گرفته شده، همان‌طور که از شکل مشخص است برابر  $dA = 2\pi r d\xi$  است. که در آن  $r$  شعاع المان در دستگاه استوانه‌ای است.

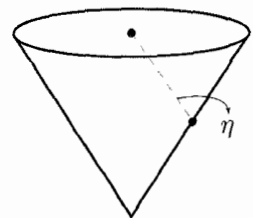


شکل ۳-۴۵

$$\begin{aligned} V(A) &= \frac{1}{4\pi\epsilon_0} \int_0^{\sqrt{2}h} \frac{\sigma(2\pi)r}{\xi} d\xi \\ r = \frac{\xi}{\sqrt{2}} \rightarrow V(A) &= \frac{\int_0^{\sqrt{2}h} \sqrt{2}\sigma\pi d\xi}{4\pi\epsilon_0} = \frac{\sigma h}{2\epsilon_0} \end{aligned}$$

برای به دست آوردن پتانسیل نقطه‌ی  $B$ ، فرض کنیم فاصله‌ی نقطه‌ای روی سطح تا نقطه‌ی  $B$  را با  $\eta$  نمایش دهیم.

$$\begin{aligned} V(B) &= \frac{1}{4\pi\epsilon_0} \int_0^{\sqrt{2}h} \frac{\sigma(2\pi)r}{\eta} d\xi \\ r = \frac{\xi}{\sqrt{2}}, \eta &= \sqrt{h^2 + \xi^2 - \sqrt{2}h\xi} \end{aligned}$$



شکل ۳-۴۶

پس از انتگرال گیری

$$V(B) = \frac{\sigma}{2\sqrt{2}\epsilon_0} \int_0^{\sqrt{2}h} \frac{\xi}{\sqrt{h^2 - \xi^2} - \sqrt{2}h\xi} d\xi$$

$$\rightarrow \frac{\sigma}{2\sqrt{2}\epsilon_0} \left[ \sqrt{h^2 + \xi^2} - \sqrt{2}h\xi \right.$$

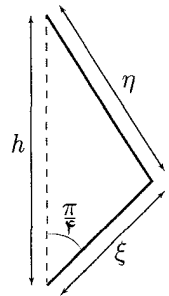
$$\left. + \frac{h}{\sqrt{2}} \ln \left( 2\sqrt{h^2 + \xi^2} - \sqrt{2}h\xi + 2\xi - \sqrt{2}h \right) \right]_0^{\sqrt{2}h}$$

پس از ساده سازی و جایگذاری  $\rightarrow \frac{\sigma h}{4\epsilon_0} [\ln(2h + \sqrt{2}h) - \ln(2h - \sqrt{2}h)] = V(B)$

$$= \frac{\sigma h}{4\epsilon_0} \ln \left( \frac{2 + \sqrt{2}}{2 - \sqrt{2}} \right)$$

$$\rightarrow V(A) - V(B) = \frac{\sigma h}{2\epsilon_0} \left[ 1 - \frac{1}{2} \ln \left( \frac{2 + \sqrt{2}}{2 - \sqrt{2}} \right) \right]$$

$$= \frac{\sigma h}{4\epsilon_0} \left[ 2 - \ln \frac{2 + \sqrt{2}}{2 - \sqrt{2}} \right]$$



شکل ۳-۴۷



۱. اختلاف پتانسیل الکتریکی بین زمین و یک ابر برابر  $10^9 \times 1/2$  است. تغییر انرژی پتانسیل الکترونی که بین زمین و ابر حرکت می‌کند بر حسب الکترون - ولت چقدر است؟  
 حل.  $10^9 \times 1/2 \text{ eV}$

۲. یک صفحه‌ی نارسانای بی‌نهایت دارای چگالی بار سطحی  $\sigma = +5.78 \text{ pC/m}^2$  است. الف) به طور متوسط چقدر کار توسط میدان الکتریکی ناشی از صفحه باید انجام شود تا ذره‌ی با بار  $q = 1.6 \times 10^{-19} \text{ C}$  از روی صفحه به نقطه‌ی  $p$  در فاصله‌ی  $d = 3.56 \text{ cm}$  از صفحه منتقل شود؟ ب) اگر پتانسیل الکتریکی روی صفحه را برابر صفر در نظر بگیریم پتانسیل در  $p$  چقدر خواهد بود؟

حل. الف)  $1.87 \times 10^{-21} \text{ J}$  ب)  $1.17 \times 10^{-2} \text{ V}$

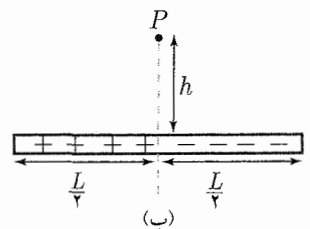
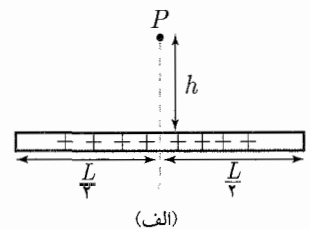
۳. یک کره‌ی نارسانا دارای شعاع  $R = 2.31 \text{ cm}$  و بار  $q = +3.75 \text{ fC}$  است که درون آن به طور یکنواخت توزیع شده است. پتانسیل الکتریکی در مرکز کره را  $V_0 = 0$  در نظر بگیرید.  $V$  در فاصله‌ی شعاعی الف)  $r = 1.45 \text{ cm}$  و ب)  $r = R$  چقدر است؟

حل. الف)  $10^{-4} \times 2.69 \text{ V}$  ب)  $10^{-4} \times 6.82 \text{ V}$

۴. پتانسیل در سطح یک قطره‌ی کروی آب که دارای بار  $30 \text{ pC}$  است  $500 \text{ V}$  است (پتانسیل در بی‌نهایت صفر است). الف) شعاع قطره چقدر است؟ ب) اگر دو تا از این قطره‌ها با بار و شعاع یکسان ترکیب شوند و قطره‌ی کروی بزرگ‌تری تشکیل دهند پتانسیل را در سطح قطره‌ی جدید به دست آورید.

حل. الف)  $10^{-4} \times 5.4 \text{ m}$  ب)  $794.17 \text{ V}$

۵. شکل زیر الف) یک میله‌ی نارسانا به طول  $L = 6700 \text{ cm}$  و چگالی خطی بار یکنواخت  $\lambda = +3.68 \text{ pC/m}$  را نشان می‌دهد (پتانسیل در بی‌نهایت صفر است). پتانسیل الکتریکی در نقطه‌ی  $P$  به فاصله‌ی  $d = 8700 \text{ cm}$  از مرکز میله و روی عمود منصف میله چقدر است؟ ب) شکل ب) میله‌ی مشابهی را نشان می‌دهد که نصف آن چگالی بار منفی و نصف دیگرش چگالی بار مثبت دارد. هر دو نیمه‌ی دارای چگالی خطی بار  $3.68 \text{ pC/m}$  هستند. مقدار  $V$  را در  $P$  به دست آورید.



حل. الف)  $10^{-2} \times 2.43 \text{ V}$  ب) صفر

۶. اگر پتانسیل الکتریکی توسط رابطه‌ی  $V = 270xyz^2$  داده شود که در آن  $V$  بر حسب ولت و  $x, y, z$  بر حسب متر هستند. اندازه‌ی میدان الکتریکی در نقطه‌ی انتهایی بردار  $(370\hat{i} - 270\hat{j} + 4\hat{k})$  چقدر است؟

حل.  $150.1 \text{ N/m}$

۷. دو الکترون در فاصله‌ی  $270 \text{ cm}$  از هم ثابت شده‌اند. الکترون دیگری از بی‌نهایت پرتاب شده و درست وسط این دو الکترون در یک لحظه متوقف می‌شود. تندی اولیه‌ی الکترون چقدر

شکل ۳-۴۸ شکل سؤال ۵

بوده است؟

حل.  $318,2 \text{ m/s}$

۸. محورهای دو حلقه‌ی سیمی نازک هر یک به شعاع  $R$  بر هم منطبق‌اند. اگر فاصله‌ی بین صفحات این دو حلقه برابر  $a$  و بارهای آنها به ترتیب  $q$  و  $-q$  باشند، مطلوبست اختلاف پتانسیل بین مراکز این دو حلقه.

حل. 
$$\frac{q}{2\pi\epsilon_0 R} \left( 1 - \frac{1}{\sqrt{1 + \left(\frac{a}{R}\right)^2}} \right)$$

۹. یک ریسمان مستقیم با طول بی‌نهایت با چگالی خطی بار  $\lambda = 0,4 \mu\text{C/m}$  باردار شده است. اختلاف پتانسیل بین نقاط ۱ و ۲ را بیابید به شرطی که نقطه‌ی ۲ به اندازه‌ی  $n = 2$  برابر دورتر از نقطه‌ی ۱ نسبت به ریسمان قرار داشته باشد.

حل. 
$$\frac{\lambda}{2\pi\epsilon_0} \ln 2$$

۱۰. مطلوب است محاسبه‌ی میدان و پتانسیل الکتریکی در مرکز یک نیم‌کره به شعاع  $R$  که با چگالی سطحی بار  $\sigma$  به صورت یکنواخت باردار شده است.

حل. 
$$E = \frac{\sigma}{4\epsilon_0} \text{ و } v = \frac{\sigma R}{2\epsilon_0}$$

۱۱. دیسکی بسیار نازک به شعاع  $R$  دارای چگالی سطحی یکنواخت بار  $\sigma$  است و در خلأ قرار دارد. میدان و پتانسیل الکتریکی را روی محور دیسک و به فاصله‌ی  $L$  از مرکز آن بیابید. عبارت به دست آمده را برای حالت  $L \rightarrow 0$  و  $L \gg R$  بررسی نمایید.

حل.

$$\left. \begin{array}{l} L \rightarrow 0 \quad V = \frac{\sigma R}{2\epsilon_0} \\ L \gg R \quad V = \frac{\sigma R^2}{4\epsilon_0 L} \end{array} \right\}, \quad V = \frac{\sigma L}{2\epsilon_0} \left( \sqrt{1 + \left(\frac{R}{L}\right)^2} - 1 \right)$$

و

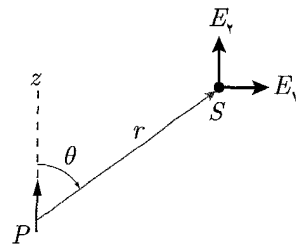
$$\left. \begin{array}{l} L \rightarrow 0 \quad E = \frac{\sigma}{2\epsilon_0} \\ L \gg R \quad E = \frac{\sigma R^2}{4\epsilon_0 L^2} \end{array} \right\}, \quad E = \frac{\sigma}{2\epsilon_0} \left( 1 - \frac{1}{\sqrt{1 + \left(\frac{R}{L}\right)^2}} \right)$$

۱۲. مطلوب است بردار میدان الکتریکی که پتانسیل این میدان به صورت  $\phi = \vec{a} \cdot \vec{r}$  است.  $\vec{a}$  برداری ثابت و  $\vec{r}$  برداری است که از مبدأ به نقطه‌ای درون میدان وصل می‌شود.

حل.  $-\vec{a}$

۱۳. یک دوقطبی نقطه‌ای با گشتاور الکتریکی  $\vec{P}$  در مبدأ و در جهت مثبت محور  $z$  قرار داده شده است. مؤلفه‌های  $E_z$  و  $E_\perp$  (در صفحه‌ی عمود بر محور  $z$  در نقطه‌ی  $S$ ) از بردار میدان الکتریکی را بیابید. در چه نقطه‌ای  $\vec{E}$  بر  $\vec{P}$  عمود خواهد بود؟

حل. 
$$E_z = \frac{P}{4\pi\epsilon_0 r^3} (3 \cos^2 \theta - 1) \text{ و } E_\perp = \frac{3P \sin \theta \cos \theta}{4\pi\epsilon_0 r^3}$$
 پس در نقطه‌ی 
$$\vec{E} \perp \vec{P}, \cos \theta = \frac{1}{\sqrt{3}}$$

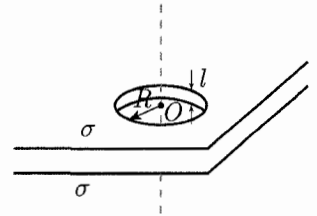


۱۴. یک دوقطبی نقطه‌ای با بردار گشتاور  $\vec{p}$  در داخل میدان خارجی و یکنواخت  $\vec{E}$  قرار داده شده است. به طوری که  $\vec{E}_0 \parallel \vec{p}$ . در این شرایط یکی از سطوح هم‌پتانسیل که دوقطبی را در برمی‌گیرد، به صورت یک کره است. شعاع این کره را بیابید.

حل.  $\left(\frac{p}{4\pi\epsilon_0 E_0}\right)^{1/3}$

۱۵. دو صفحه‌ی بی‌نهایت بزرگ به فاصله‌ی  $L$  از یکدیگر به ترتیب با چگالی سطحی  $\sigma$  و  $-\sigma$  به صورت یکنواخت باردار شده‌اند (شکل زیر). دو سوراخ هم‌محور به شعاع  $R$  در آنها موجود است به طوری که  $L \ll R$ . اگر مبدأ  $O$  و محور  $x$  را مطابق شکل در نظر بگیریم، مطلوب است پتانسیل و مؤلفه‌ی  $E_x$  میدان الکتریکی روی محور سیستم به صورت تابعی از  $x$ . نمودار تقریبی  $\phi(x)$  را رسم کنید.

حل.  $-\frac{\sigma LR^2}{2\epsilon_0 (R^2 + x^2)^{3/2}}$



شکل ۳-۵۰

۱۶. پتانسیل الکتریکی  $\phi(x, y)$  مربوط به میدان الکترواستاتیک  $\vec{E} = ay\hat{i} + (ax + bz)\hat{j} + by\hat{k}$  را که  $a$  و  $b$  مقادیر ثابت و  $\hat{i}$ ،  $\hat{j}$  و  $\hat{k}$  بردارهای یکه‌ی محوره‌های  $x$ ،  $y$  و  $z$  باشند، بیابید.

حل.  $-(axy + byz) + c$

۱۷. پتانسیل الکتریکی در ناحیه‌ای از فضا تنها به مختصه‌ی  $x$  بستگی دارد و از رابطه‌ی  $\phi = -ax^3 + b$  تبعیت می‌کند که  $a$  و  $b$  مقادیر ثابت هستند. مطلوب است تابع توزیع بار

حجمی  $\rho(x)$ .

حل.  $\rho(x) = 6a\epsilon_0 x$

۱۸. پتانسیل الکتریکی در داخل یک توپ باردار فقط به فاصله‌ی  $r$  تا مرکز به صورت  $\phi = ar^2 + b$  بستگی دارد که  $a$  و  $b$  مقادیر ثابت‌اند. توزیع بار حجمی  $\rho(r)$  را در داخل توپ بیابید.

حل.  $\rho(r) = -6a\epsilon_0$

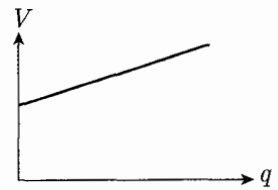
سؤال‌های المپیاد فصل ۳

۱. سؤال ۲۱، مرحله‌ی اول نهمین المپیاد فیزیک ایران

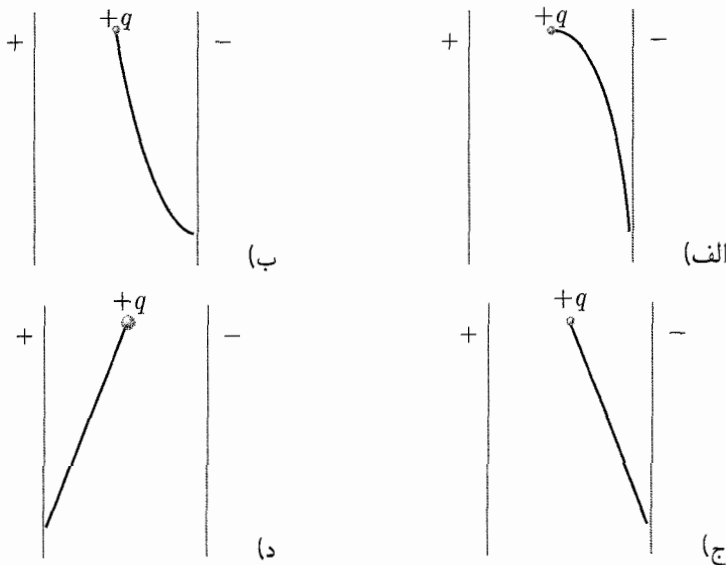
هنگامی که مقدار بار الکتریکی روی یک جسم فلزی را تغییر می‌دهیم، اختلاف پتانسیل آن نسبت به یک نقطه‌ی معین، تغییر می‌کند. اگر نمودار تغییرات اختلاف پتانسیل بر حسب بار الکتریکی مطابق شکل ۳-۵۱ باشد، مساحت زیر نمودار کدام کمیت است؟  
الف) توان ب) انرژی ج) شدت جریان د) عکس مقاومت ه) ظرفیت  
و) عکس ظرفیت

۲. سؤال ۴، مرحله‌ی اول دهمین المپیاد فیزیک ایران

دو صفحه‌ی رسانای موازی قائم را به اختلاف پتانسیل ثابتی وصل می‌کنیم. ذره‌ای به وزن  $w$  و بار  $+q$  را مطابق شکل میان دو صفحه رها می‌کنیم. کدام یک از شکل‌های زیر مسیر حرکت ذره را در فضای میان دو صفحه نشان می‌دهد؟

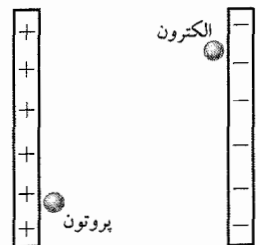


شکل ۳-۵۱ سؤال ۱



۳. مسئله‌ی ۱۶، هفدهمین المپیاد فیزیک ایران

توسط بارهای نشان داده شده در شکل یک میدان الکتریکی یکنواخت درست کرده‌ایم. یک الکترون و یک پروتون در این میدان الکتریکی از حالت سکون شروع به حرکت می‌کنند. کدام گزینه درباره‌ی انرژی‌های جنبشی این دو ذره وقتی که به صفحه‌ی روبه‌رو می‌رسند، درست است؟

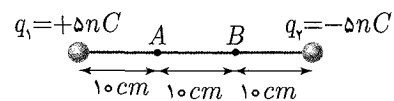


شکل ۳-۵۲

- الف) انرژی جنبشی پروتون بیشتر خواهد بود.
- ب) انرژی جنبشی الکترون بیشتر خواهد بود.
- ج) انرژی جنبشی هر دو مساوی است.
- د) انرژی جنبشی این دو از نظر مقدار مساوی و از نظر علامت مخالف است.

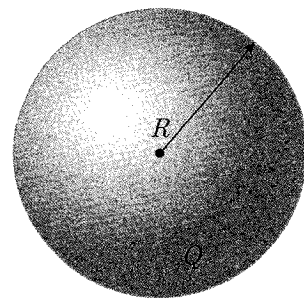


۴. سؤال ۵، بخش مسائل پاسخ کوتاه مرحله اول هجدهمین المپیاد فیزیک ایران پتانسیل الکتریکی در یک نقطه به فاصله  $r$  از بار نقطه‌ای  $q$  برابر است با  $V = \frac{1}{4\pi\epsilon_0} \frac{q}{r}$  در شکل زیر دو بار الکتریکی  $q_1 = +5nC$  و  $q_2 = -5nC$  در فاصله  $30\text{ cm}$  از هم ثابت شده‌اند. یک ذره با جرم  $90\text{ mg}$  و بار الکتریکی  $+1nC$  از حالت سکون روی خط راست از نقطه‌ی  $A$  به سمت نقطه‌ی  $B$  شروع به حرکت می‌کند. سرعت این ذره در نقطه‌ی  $B$  چند سانتی‌متر بر ثانیه است؟



شکل ۳-۵۳ سؤال ۴

۵. مسئله‌ی ۳، مرحله‌ی اول نوزدهمین المپیاد فیزیک ایران انرژی پتانسیل الکتریکی یک کره‌ی رسانا به شعاع  $R$  و بار  $Q$ ، دور از بارهای دیگر، برابر با  $\frac{Q^2}{8\pi\epsilon_0 R}$  است. اگر  $1000$  قطره‌ی جیوه‌ی کروی مشابه و با بار یکسان به هم بچسبند و یک قطره‌ی کروی بزرگ تشکیل دهند، نسبت انرژی الکتریکی قطره‌ی بزرگ، به مجموع انرژی الکتریکی قطره‌های اولیه چقدر خواهد بود؟ در محاسبه‌ی مجموع انرژی قطره‌های کوچک، فرض کنید این قطره‌ها از هم دورند.



شکل ۳-۵۴ سؤال ۵

- الف) ۱      ب) ۱۰      ج) ۱۰۰      د) ۱۰۰۰

۶. مرحله‌ی دوم، بیستمین المپیاد فیزیک ایران

یک شتاب دهنده‌ی خطی از چند تونل پشت سرهم تشکیل شده است. پتانسیل الکتریکی درون هر تونل ثابت است اما بین هر دو تونل مجاور یک اختلاف پتانسیل هست، به این شکل که پتانسیل تونل‌های با شماره‌ی فرد  $V(t)$  و پتانسیل تونل‌های با شماره‌ی زوج صفر است، که  $t$  زمان است.  $V(t)$  چنان تنظیم می‌شود که ذرات باردار از هر تونلی که بیرون می‌روند، اختلاف پتانسیل آن تونل با تونل بعدی چنان باشد که سرعت ذرات در فاصله‌ی بین دو تونل زیاد شود. طول تونل  $n$  برابر  $l_n$  است، و از زمانی که ذرات باردار فاصله‌ی بین دو تونل مجاور را می‌پیمایند چشم می‌پوشیم. جرم هر ذره‌ی باردار  $m$  و بار هر ذره‌ی باردار  $q$  است.  $V(t)$  یک تابع دوره‌ای با دوره‌ی  $2T$  است، چنان که  $V(t)$  بین  $t = 0$  و  $t = T$  برابر  $(-V_0)$  و بین  $t = T$  و  $t = 2T$  برابر  $V_0$  است.  $V_0$  ثابت و  $(qV_0)$  مثبت است.

الف) فرض کنید که همه‌ی ذرات باردار در  $t = \frac{T}{4}$  از تونل صفر بیرون می‌روند و سرعت آنها در این زمان  $v_0$  است. فرض کنید طول تونل‌ها چنان است که برای هر  $n$ ، ذرات در  $t = nT + \frac{T}{4}$  از تونل  $n$  بیرون می‌روند، سرعت ذرات درون تونل  $n$  را بیابید.

ب) فرض کنید همه‌ی ذرات باردار در  $t = \frac{T}{4}$  از تونل صفر بیرون می‌روند و سرعت آنها در این زمان  $v_0$  است.  $l_n$ ها را چنان بیابید که برای هر  $n$ ، ذرات در  $t = nT + \frac{T}{4}$  از تونل  $n$  بیرون روند.

ج) در واقعیت سرعت اولیه‌ی همه‌ی ذرات یکسان نیست. ذره‌ای را در نظر بگیرید که انرژی جنبشی آن هنگام خروج از تونل صفر  $(v_0^2 + \epsilon) \frac{m}{2}$  است، که  $\epsilon$  نسبت به  $v_0^2$  کوچک است. فرض کنید برای هر  $k$  با  $k \leq n$ ، اختلاف زمان خروج این ذره از تونل  $k$  با زمان

خروج ذره‌ای که سرعت اولیه‌ی آن  $v_0$  بوده کم‌تر از  $\frac{T}{4}$  است. مدت حرکت این ذره در تونل  $k$  (با  $k \leq n$ ) را به دست آورید.

راهنمایی: اگر  $\alpha$  کوچک باشد،  $(1 + \alpha)^\beta \simeq 1 + \beta\alpha$ .

د) ذره‌ای را در نظر بگیرید که انرژی جنبشی آن هنگام خروج از تونل صفر  $(v_0^2 + \epsilon)$  است، که  $\epsilon$  نسبت به  $v_0^2$  کوچک است. شرطی برای  $\epsilon$  بیابید که برای هر  $k$  با  $k \leq n$ ، اختلاف زمان خروج این ذره از تونل  $k$  با زمان خروج ذره‌ای که سرعت اولیه‌ی آن  $v_0$  بوده کم‌تر از  $\frac{T}{4}$  باشد. این شرط را بر حسب تابع  $f$  با تعریف زیر بنویسید.

$$f(n, s) = \frac{1}{1+s} + \frac{1}{2+s} + \dots + \frac{1}{n+s}$$

۷. مسئله‌ی ۱۰، مرحله‌ی اول بیست‌ویکمین المپیاد فیزیک ایران

دو کره‌ی رسانا به شعاع‌های  $R_1$  و  $R_2$  را در نظر بگیرید که بار آنها به ترتیب  $Q_1$  و  $Q_2$  است. بارها هم‌علامت‌اند و مقدارشان با هم فرق می‌کند. این دو کره را به فاصله‌ی  $R$  از هم می‌گذاریم، که  $R$  خیلی بزرگ‌تر از  $R_1$  و  $R_2$  است. اندازه‌ی نیروی بین این دو  $F$  می‌شود. این دو کره را به هم تماس می‌دهیم و بعد دوباره آنها را به فاصله‌ی  $R$  از هم می‌گذاریم. اندازه‌ی نیرو  $F'$  می‌شود. کدام گزینه درست است؟

الف) حتماً  $F' < F$

ب) حتماً  $F' > F$

ج) حتماً  $F' = F$

د) مواردی هست که  $F' = F$  و مواردی هست که  $F' \neq F$

۸. مسئله‌ی ۳۰، مرحله‌ی اول، بیست‌ویکمین المپیاد فیزیک ایران

ترازهای انرژی یک سیستم به شکل  $n(n+1)E$  است، که  $E$  یک مقدار ثابت مثبت است و  $n$  باید صحیح و نامنفی باشد. گذارهایی بین این ترازها را در نظر بگیرید که در آنها انرژی آزاد شده کوچک‌تر از  $11E$  است. تعداد این گذارها چند تا است؟ (دو گذار متمایز که انرژی آزاد شده در آنها یکسان است را دو گذار بگیرید نه یکی.)

الف) ۱    ب) ۳    ج) ۵    د) ۷    ه) ۹    و) ۱۱

۹. سؤال ۱، بخش مسئله‌های کوتاه، مرحله‌ی اول بیست‌ویکمین المپیاد فیزیک ایران

در صفحه‌ی  $xy$  یک میدان الکتریکی یکنواخت هست. مختصه‌های نقطه‌های  $A$ ،  $B$  و  $C$  و پتانسیل الکتریکی در هر کدام از این نقطه‌ها در زیر داده شده است.

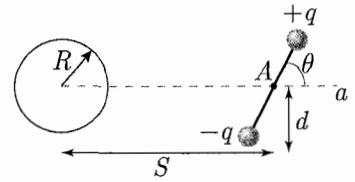
$$A = \begin{cases} x = 3\text{m} \\ y = 5\text{m} \end{cases}, V_A = 8\text{kV}, \quad B = \begin{cases} x = 3\text{m} \\ y = 6\text{m} \end{cases}, V_B = 12\text{kV}$$

$$C = \begin{cases} x = 1\text{m} \\ y = 1\text{m} \end{cases}, V_C = 4\text{kV}$$

پتانسیل الکتریکی در نقطه‌ی  $\left\{ \begin{array}{l} x = -1\text{m} \\ y = 1\text{m} \end{array} \right.$  چند کیلووات است؟

۱۰. مسئله‌ی ۱، امتحان چهارم المپیاد فیزیک (تابستان ۸۰)

یک دوقطبی الکتریکی با اندازه  $P$ ، در فاصله‌ی  $s$  از مرکز یک کره‌ی فلزی به شعاع  $R$  قرار گرفته است. کره‌ی فلزی به زمین متصل است. نقطه‌ی  $A$  از دوقطبی به گونه‌ای در محل ثابت شده است که دوقطبی می‌تواند حول آن آزادانه و در صفحه‌ی شکل نوسان کند. بسامد نوسانات کوچک دوقطبی حول محور خود را محاسبه کنید.



شکل ۳-۵۵

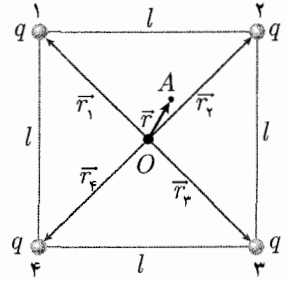
**تذکر**

رابطه‌ی میان انرژی جنبشی دوقطبی و سرعت زاویه‌ای آن ( $\theta$ ) با ضریبی به نام لختی دورانی ( $I$ ) داده می‌شود به گونه‌ای که داریم:

$$k = \frac{1}{2} I \dot{\theta}^2$$

۱۱. مسئله‌ی ۷، امتحان اول المپیاد فیزیک (تابستان ۸۲)

چهار بار مشابه به اندازه‌ی  $q$  در چهار رأس یک مربع به طول هر ضلع  $l$  قرار دارند، مبدأ مختصات را مرکز این مربع در نظر بگیرید. می‌خواهیم پتانسیل حاصل از این بارها را در نقطه‌ای بسیار نزدیک به مبدأ به دست آوریم. این کمیت را بر حسب  $\vec{r}$ ، بردار فاصله‌ی نقطه‌ی موردنظر از مبدأ تا مرتبه‌ی  $\left(\frac{|\vec{r}|}{l}\right)^2$  به دست آورید. (فرض کنید  $l \gg r$ )  
جواب را برای حالتی که  $\vec{r}$  در صفحه‌ی مربع است با حالتی که  $\vec{r}$  عمود بر سطح مربع است مقایسه کنید.



شکل ۳-۵۶ سوال ۱۱

۱۲. مسئله‌ی ۶، امتحان سوم المپیاد فیزیک (تابستان ۸۲)

بارهای  $q_1, q_2, -q_1, -q_2$  به ترتیب در نقطه‌های  $\vec{o}, \vec{d}_1, \vec{d}_1, \vec{o} + \vec{d}_2$  هستند.

الف) انرژی پتانسیل مجموعه را حساب کنید.

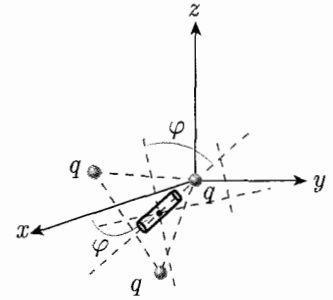
ب) انرژی پتانسیل این مجموعه منهای انرژی پتانسیل همین مجموعه در حالت  $|r| \rightarrow \infty$  (بقیه‌ی کمیت‌ها ثابت) را حساب کنید.

ج) بگیرید  $\vec{p}_1 = q_1 \vec{d}_1, \vec{p}_2 = q_2 \vec{d}_2$  و  $\vec{p}_1$  و  $\vec{p}_2$  را ثابت بگیرید و  $|\vec{d}_1|$  و  $|\vec{d}_2|$  را به سمت صفر میل دهید. حد عبارت حاصل از (ب) را در این حالت حساب کنید.

۱۳. مسئله‌ی ۶، امتحان چهارم المپیاد فیزیک (تابستان ۸۲)

سه ذره‌ی باردار با بارهای یکسان  $q$  را روی رأس‌های مثلث متساوی‌الاضلاعی ثابت نگه داشته‌ایم. طول هر ضلع مثلث  $a$  است.

الف) بار  $-q$  را در محل تقاطع میانه‌ها، نقطه‌ی  $o$ ، گذاشته‌ایم. لوله‌ای نیز در همین نقطه قرار می‌دهیم به طوری که بار  $-q$  به راحتی بتواند در آن حرکت کند. این لوله با جهت مثبت محور  $z$  زاویه‌ی  $\theta$  و تصویر آن روی صفحه‌ی  $xy$  با جهت مثبت محور  $x$  زاویه‌ی  $\varphi$  می‌سازد. به ازای چه مقادیری از  $\theta$  و  $\varphi$  اگر بار  $-q$  را کمی جابه‌جا نماییم، حول حالت تعادلش نوسان خواهد کرد؟ فرکانس نوسانات کوچک مربوط به این نوسان را محاسبه کنید.



شکل ۳-۵۷ سؤال ۱۳-ب

ب) آیا در جهت مثبت محور  $x$  به غیر از نقطه‌ی  $O$  نقطه‌ی تعادلی وجود دارد؟ توضیح دهید.

۱۴. مسئله‌ی ۴، امتحان دوم المپیاد فیزیک ایران (تابستان ۸۵)

در هر رأس مکعبی به ضلع  $a$  یک بار  $+q$  هست. مرکز مکعب را مبدأ مختصه‌ها بگیرید.

الف) پتانسیل در مرکز مکعب را حساب کنید. پتانسیل  $\infty$  را صفر بگیرید.

ب) نقطه‌ی  $(x, y, z)$  خیلی به مرکز مکعب نزدیک است. تابع پتانسیل را در این نقطه تا مرتبه‌ی

۲ (یعنی شامل جمله‌هایی از درجه‌ی دوم از  $x, y, z$ ) به دست آورید.

ج) با استفاده از پتانسیل بالا، میدان الکتریکی را در نقطه‌ی  $(x, y, z)$  تا تقریب مرتبه‌ی ۱

به دست آورید.

۱۵. مسئله‌ی ۳، امتحان دوم المپیاد فیزیک (تابستان ۸۴)

یک پوسته‌ی کروی به شعاع  $R$  و با بار یکنواخت سطحی را در نظر بگیرید. بار کل این

پوسته  $Q$  است.

الف) نیروی وارد بر یک بخش کوچک این پوسته با مساحت  $\Delta S$  را حساب کنید.

ب) کار نیروی الکتریکی در تغییر شعاع پوسته از  $R_1$  تا  $R_2$  را حساب کنید.

ج) انرژی پتانسیل الکتریکی این پوسته را حساب کنید. (راهنمایی: انرژی پتانسیل الکتریکی

به ازای شعاع  $R$ ، برابر است با کار نیروی الکتریکی از شعاع  $R$  تا شعاع  $\infty$ ).

این پوسته به خاطر کشش سطحی یک انرژی پتانسیل دیگر هم دارد که برابر است با  $\frac{1}{2}\tau S$ ،

که  $S$  مساحت پوسته، و  $\tau$  مقداری ثابت (کشش سطحی) است.

انرژی پتانسیل کل مجموع این انرژی پتانسیل و انرژی پتانسیل الکتریکی است. شعاع تعادل

پوسته جایی است که انرژی پتانسیل کل کمینه می‌شود.

د) این شعاع را حساب کنید. انرژی پتانسیل کل در این حالت را هم حساب کنید. فرض کنید

این پوسته به دو پوسته‌ی کروی یکسان تجزیه شود، چنان که بار هر پوسته نصف بار پوسته‌ی

اولیه باشد.

ه) انرژی پتانسیل کل در حالت تعادل را حساب کنید. این انرژی را بر حسب انرژی پتانسیل

کل در بخش (د) بنویسید.

۱۶. مسئله‌ی ۳، امتحان سوم المپیاد فیزیک ایران (تابستان ۸۵)

تعریف کشش سطحی به این شکل است: روی یک سطح یک پاره‌خط فرضی کوچک

در نظر بگیرید. بخشی از سطح که در یک طرف این پاره‌خط است. به بخش دیگر نیرویی

وارد می‌کند که بر سطح مماس و بر پاره‌خط عمود است و می‌خواهد آن بخش از سطح را

به طرف پاره‌خط بکشد. مقدار این نیرو متناسب با طول پاره‌خط است. به ضریب تناسب

کشش سطحی ( $\tau$ ) می‌گویند:

$$f = \tau l$$

که  $l$  طول پاره خط و  $f$  اندازه‌ی نیرو است.

یک سطح کروی باردار را در نظر بگیرید. جرم این سطح  $M$  و کشش سطحی آن مقدار ثابت  $\tau$  است. برای همهی نیروهای خواسته شده در مسأله کافی است مؤلفه‌ی شعاعی را به دست آورید.

الف) عرق چینی با نیم‌زاویه‌ی  $\theta$  را در نظر بگیرید. (عرق چین ناحیه‌ای از سطح کره است که درون مخروطی است که رأس آن مرکز کره و نیم‌زاویه‌ی رأسش  $\theta$  است.) شعاع کره را  $r$  بگیرید. به ازای  $\theta$  کوچک، نیروی ناشی از کشش سطحی وارد بر این عرق چین  $(F_\tau)$  را تا کم‌ترین مرتبه نسبت به  $\theta$  به دست آورید.

ب) فرض کنید بار الکتریکی ثابت  $Q$  به طور یکنواخت روی این سطح پخش شده است. نیروی الکتریکی وارد بر همین عرق چین  $(F_e)$  را تا کم‌ترین مرتبه نسبت به  $\theta$  به دست آورید.

ج)  $r_0$  (شعاع تعادل این کره) را حساب کنید.

د) نیروی وارد بر عرق چین تقسیم بر جرم آن را تا کم‌ترین مرتبه نسبت به  $\theta$  و تا مرتبه‌ی یک نسبت به  $(r - r_0)$  حساب کنید و در این محاسبه  $Q$  را حذف کنید.

ه) فرض کنید مقداری بار الکتریکی به طور یکنواخت روی این سطح پخش شده است. چنان که پتانسیل الکتریکی این سطح (نسبت به بی‌نهایت) مقدار ثابت  $V$  است. نیروی الکتریکی وارد بر عرق چین  $(F'_e)$  را تا کم‌ترین مرتبه نسبت به  $\theta$  به دست آورید.

و)  $r'_0$  (شعاع تعادل در حالت پتانسیل ثابت) را حساب کنید.

ز) نیروی وارد بر عرق چین تقسیم بر جرم آن را تا کم‌ترین مرتبه نسبت به  $\theta$  و تا مرتبه‌ی یک نسبت به  $(r - r'_0)$  حساب کنید و در این محاسبه  $V$  را حذف کنید.

۱۷. مسأله‌ی ۴، امتحان دوم المپیاد فیزیک (تابستان ۸۶)

می‌خواهیم پتانسیل الکتریکی حاصل از چهار بار نقطه‌ای روی رأس‌های یک مربع را دور از مربع تا مرتبه‌ی ۲ نسبت به طول ضلع مربع حساب کنیم.

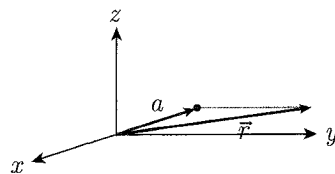
الف) بار نقطه‌ای  $Q$  در نقطه‌ی  $a$  را در نظر بگیرید. پتانسیل الکتریکی این بار در نقطه‌ی  $r$  (نقطه‌ی مشاهده) را تا مرتبه‌ی ۲ نسبت به  $a$  بنویسید.

ب) شش نقطه روی محورهای  $x$ ،  $y$  و  $z$  در نظر بگیرید که فاصله‌ی همهی آنها از مبدأ  $r$  است.  $(x, y, z)$  مختصات دکارتی‌اند. مجموع پتانسیل این بار نقطه‌ای (تا مرتبه‌ی ۲ نسبت به  $a$ ) در این نقطه‌ها را حساب کنید.

یک مربع را در نظر بگیرید که طول ضلع آن  $b$  است. مرکز این مربع مبدأ مختصات است و ضلع‌های آن موازی محورهای  $x$  و  $y$ ‌اند.

ج) پتانسیل الکتریکی حاصل از این مربع در نقطه‌ی  $(r\hat{z})$  را تا مرتبه‌ی ۲ نسبت به  $b$  حساب کنید.

د) پتانسیل الکتریکی حاصل از این مربع در نقطه‌ی  $(x, y, z)$  را تا مرتبه‌ی ۲ نسبت به  $b$  حساب کنید.



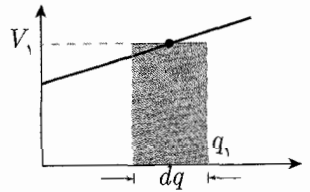
شکل ۳-۵۸ سؤال ۱۷

۱. حل. □□■□

نمودار تغييرات اختلاف پتانسيل نسبت به يك نقطه‌ی معين بر حسب بار الكتريكي، نشان می‌دهد كه هنگامی كه بار  $q$  بر روی جسم فلزی قرار گرفته است، اختلاف پتانسيل آن از نقطه‌ای با پتانسيل مشخص مقدار  $V$  است. با تغيير بار الكتريكي جسم به اندازه‌ی  $\Delta q$ ، مقدار اختلاف پتانسيل آن هم به اندازه‌ی  $\Delta V$  تغيير می‌كند. این تغيير را می‌توان به این صورت تعبیر کرد: برای اضافه کردن بار  $\Delta q$  به جسم فلزی، می‌توان بار  $\Delta q$  را از نقطه‌ای كه پتانسيل آن معلوم است به جسم منتقل كرد. اگر بار  $\Delta q$  را بسیار كوچك در نظر بگیريم و در نتیجه‌ی این فرض، فرض كنيم كه پتانسيل جسم با افزایش  $dq$  به آن تغيير نمی‌كند، نتیجه می‌گیريم كه برای انتقال بار  $dq$  از نقطه‌ی موردنظر به جسم به اندازه‌ی  $V \cdot dq$  انرژی برده است. یعنی عامل خارجی به این اندازه كار انجام داده است. این مقدار كار در جسم به افزایش انرژی الكتريكي می‌انجامد كه همان مساحت هاشور خورده‌ی شكل زیر است. برای هر انتقال باری می‌توان از همین تعبیر استفاده كرد و هر بار به اندازه‌ی مساحت زیر نمودار به جسم فلزی انرژی الكتريكي افزوده می‌شود. بنابراین مساحت زیر نمودار با انرژی الكتريكي جسم برابر است. با توجه به واحدهای بار و اختلاف پتانسيل نیز می‌توان به نتیجه‌ی مشابه رسید. حاصل ضرب كمیت بار در اختلاف پتانسيل، طبق تعریف اختلاف پتانسيل (كار انجام شده برای انتقال بار بین دو نقطه) از جنس كار و در نتیجه معادل كمیت انرژی است.

۲. حل. □■□□

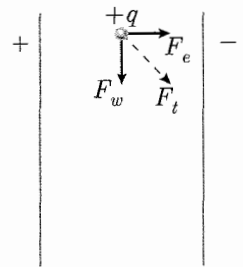
برای پیدا كردن درك درستی از مسیر حرکت ذره‌ی باردار وزن دار، نیروهای وارد بر آن را بررسی می‌كنيم. در شكل زیر دو نیروی وارد بر بار الكتريكي  $+q$ ، یعنی نیروی الكتريكي و وزن نشان داده شده است. نیروی برآیند راستای مشخصی دارد و در غياب سرعت اولیه‌ی ذره، مسیری جز راستای نیروی برآیند وجود ندارد. در این حالت بار از محل اولیه‌ی خود با سرعت صفر شتاب می‌گیرد و در مسیر برآیند نیروها حرکت می‌كند و سرعتش هر لحظه افزایش می‌یابد. بدیهی است كه نیروی برآیند برای بار مثبت به سمت صفحه‌ی منفی است.



شكل ۳-۵۹

۳. حل. □■□□

مطابق شكل صورت مسئله، برای درست شدن میدان الكتريكي يكنواخت باید میزان بارهای منفی صفحه‌ی منفی با بارهای مثبت صفحه‌ی مثبت برابر باشد. در این صورت از آنجا كه اندازه‌ی بار الكتريكي الكترون و پروتون برابر است، انرژی پتانسيل ناشی از حضور الكترون در مجاورت صفحه‌ی منفی با انرژی پتانسيل ناشی از حضور پروتون در مجاورت صفحه‌ی مثبت برابر خواهد بود. با انتقال هر يك از این دو ذره به صفحه‌ی روبه‌روی‌شان، انرژی پتانسيل ذخیره شده در آنها به انرژی جنبشی تبدیل می‌شود. اگر اختلاف پتانسيل میان دو صفحه  $\Delta V$  باشد، انرژی پتانسيل الكتريكي اولیه ذخیره شده در الكترون و پروتون  $\Delta V \cdot e$  است كه با انرژی جنبشی نهایی هر کدام از آنها برابر خواهد بود.



شكل ۳-۶۰

۴. حل. برای پیدا کردن سرعت ذره در نقطه‌ی موردنظر، باید تغییر انرژی پتانسیل الکتریکی مربوط به آن را به دست آورد. چرا که انرژی پتانسیل با تبدیل به انرژی جنبشی به ذره سرعت می‌دهد. برای این کار باید پتانسیل الکتریکی را در نقاط ابتدا و انتهای حرکت ذره را به دست آورد. با توجه به رابطه‌ی مربوط به پتانسیل بار نقطه‌ای  $q$  در فاصله‌ی  $r$  از آن، با برهم‌نهی پتانسیل دو بار نقطه‌ای  $q_1$  و  $q_2$  داریم:

$$V_A = \frac{1}{4\pi\epsilon_0} \frac{q_1}{r_1} + \frac{1}{4\pi\epsilon_0} \frac{q_2}{r_2}$$

که در آن  $r_1$  و  $r_2$  به ترتیب فاصله از بارهای  $q_1$  و  $q_2$  است، چرا که پتانسیل تنها به فاصله از محل قرارگیری بار و علامت بار بستگی دارد، و نیازی به مبداء مشترک نیست. با توجه به ابعاد داده شده داریم:

$$V_A = 9 \times 10^9 \times \left( \frac{5}{0.1} - \frac{5}{0.2} \right) \times 10^{-9} = 225V$$

$$V_B = 9 \times 10^9 \times \left( \frac{5}{0.2} - \frac{5}{0.1} \right) \times 10^{-9} = -225V$$

از آنجا که نقطه‌ی ابتدای حرکت ذره  $A$  و نقطه‌ی انتهایی آن  $B$  است، چیزی که مورد نیاز است اختلاف پتانسیل  $BA$  است، یعنی تفاوت پتانسیل از  $A$  تا  $B$ . داریم:

$$V_{BA} = V_B - V_A = -450V$$

تغییر انرژی پتانسیل الکتریکی نیز با توجه به تغییر پتانسیل به دست می‌آید:

$$U_{BA} = q \cdot V_{BA} = -450 \times 1 \times 10^{-9} = -4.5 \times 10^{-7} J$$

افزایش انرژی جنبشی ذره برابر با میزان کاهش انرژی پتانسیل آن است:

$$\begin{aligned} |U_{Ba}| &= \Delta k = \frac{1}{2} m v^2 - \frac{1}{2} m \times 0^2 \\ \Rightarrow v^2 &= \frac{4.5 \times 10^{-7}}{\frac{1}{2} \times 9.0 \times 10^{-31}} \cong 0.1 \Rightarrow v = 0.1 \text{ m/s} = 10 \text{ cm/s} \end{aligned}$$

۵. حل. □■□□

بار هر قطره‌ی جیوه کروی کوچک را  $q$  در نظر بگیرید. در این صورت قطره‌ی کروی بزرگ بار  $1000q$  دارد. همچنین اگر حجم هر قطره‌ی کوچک  $V$  باشد، حجم قطره‌ی کروی بزرگ  $1000V$  خواهد بود. بنابراین می‌توانیم شعاع قطره‌ی کروی بزرگ ( $R$ ) را بر حسب شعاع ( $r$ ) قطرات ریز به دست آوریم.

$$1000 \times \frac{4}{3} \pi r^3 = \frac{4}{3} \pi R^3 \Rightarrow R = 10r$$

انرژی قطره‌ی کروی بزرگ ( $U_1$ ) برابر است با:

$$U_1 = \frac{1}{4\pi\epsilon_0} \times \frac{Q^2}{R}$$

همچنین مجموع انرژی قطرات کوچک ( $U_2$ ):

$$U_2 = 1000 \times \frac{1}{4\pi\epsilon_0} \frac{q^2}{r}$$

بدین ترتیب نسبت انرژی الکتریکی قطره‌ی بزرگ به مجموع انرژی الکتریکی قطرات اولیه برابر است با:

$$\frac{U_1}{U_2} = \frac{Q^2/R}{1000q^2/r} = \frac{Q^2}{q^2} \times \frac{r}{R} \times \frac{1}{1000} = 1000^2 \times \frac{1}{10} \times 1000^{-1} = 100$$

بنابراین گزینه‌ی «ج» صحیح است.

۶. حل. الف) از آنجا که یک ذره در هنگام ورود به تونل اول، یک بار تغییر پتانسیل (از تونل صفر به تونل یک) و هنگام ورود به تونل دوم، دو بار تغییر پتانسیل می‌دهد (صفر به یک و یک به دو). پس در ورود به تونل  $n$ ام،  $n$  بار تغییر پتانسیل داده و با توجه به صورت سؤال که  $V(t)$  طوری تنظیم می‌شود که تغییر پتانسیل در جهت افزایش سرعت ذره است، با توجه به اصل بقای انرژی داریم:

$$\frac{1}{2}mv_0^2 + n \times qV_0 = \frac{1}{2}mv_n^2$$

$$\rightarrow v_n = \left( v_0^2 + \frac{2nq}{m}V_0 \right)^{1/2}$$

ب)

زمانی که ذره از طول  $n + 1$  بیرون می‌رود :  $t_{n+1} = (n + 1)T + \frac{T}{4}$

زمانی که ذره از طول  $n$  بیرون می‌رود :  $t_n = nT + \frac{T}{4}$

$$\Delta t = t_{n+1} - t_n = T$$

یعنی هر ذره طول هر تونل را در مدت زمان  $T$  طی می‌کند و سرعت هر ذره در طول هر تونل ثابت است پس:

$$v_n = \frac{\Delta x_n}{\Delta t_n} = \frac{l_n}{T} \rightarrow l_n = T \times v_n = T \times \left( v_0^2 + \frac{2nq}{m}V_0 \right)^{1/2}$$

ج) با توجه به اصل بقای انرژی داریم:

$$\frac{1}{2}m(v_0^2 + \epsilon) + nqV_0 = \frac{1}{2}mv_n'^2$$

$$\rightarrow v_n' = \left( v_0^2 + \epsilon + \frac{2nq}{m}V_0 \right)^{1/2}$$

$$v_n' = \frac{l_n}{\Delta t_n'}$$

$$\rightarrow \Delta t_n' = \frac{l_n}{v_n'} = T \times \left( \frac{v_0^2 + \frac{2nq}{m}V_0}{v_0^2 + \frac{2nq}{m}V_0 + \epsilon} \right)^{1/2}$$



$$= T \times \left( 1 - \frac{\epsilon}{v_0^2 + \frac{\gamma n q V_0}{m} + \epsilon} \right)^{1/2}$$

$$\rightarrow \Delta t'_n = T \left( 1 - \frac{\epsilon}{\gamma (v_0^2 + \frac{\gamma n q V_0}{m} + \epsilon)} \right)$$

در اینجا اگر اختلاف زمان خروج این ذره از تونل  $k$  با زمان خروج ذره‌ای که سرعت اولیه‌ی آن  $v_0$  بوده، کم تر از  $T/2$  نباشد، آنگاه در هر مرحله تغییر پتانسیل، انرژی این ذره زیادتر نمی‌شود و باعث انحراف در حرکت ذره می‌شود.

(د)

$$\text{اختلاف زمانی} = \Delta t_n - \Delta t'_n = \frac{\epsilon T}{\gamma (v_0^2 + \frac{\gamma n q V_0}{m} + \epsilon)} = \Delta p_n$$

$$\Delta p_k \leq \frac{T}{\gamma} \rightarrow \frac{\epsilon}{v_0^2 + \frac{\gamma k q V_0}{m} + \epsilon} < \frac{1}{\gamma}$$

$$\rightarrow \epsilon < v_0^2 + \frac{\gamma k q V_0}{m} \rightarrow \epsilon < v_k^2$$

۷. حل. ■□□□

با توجه به آنچه در متن گفته شد، با زیاد شدن فاصله‌ی مورد محاسبه ما از کره، می‌توانیم کره را به شکل باری متمرکز در مرکز در نظر بگیریم. در مورد نیروی بین دو کره‌ی رسانا، می‌توانیم از شعاع کوچک کره‌ها در مقابل  $R$ ، فاصله‌ی آنها چشم‌پوشی کنیم و رابطه‌ی نیرو را به شکل زیر بنویسیم:

$$F = k \frac{Q_1 Q_2}{R^2}$$

با توجه به آنچه در بحث پتانسیل خواندیم، جریان بار از جسمی به جسم دیگر به اختلاف پتانسیل آنها بستگی دارد. با اتصال دو کره‌ی ۱ و ۲، بار از کره‌ی با پتانسیل بیشتر به سمت کره‌ی با پتانسیل کمتر جریان می‌یابد. مشخص است که اگر پتانسیل دو کره برابر باشد، انتقال باری صورت نمی‌گیرد و نیروی وارده بعد از تماس دو کره همان نیروی پیشین می‌شود. سایر موارد حالت کلی نابرابری دو نیرو را شامل می‌شود و در مورد کمتر یا بیشتر بودن نیروی بعدی  $(F')$  و نیروی قبلی  $(F)$  نظری نمی‌توان داد. بنابراین مواردی هست که  $F' = F$  و مواردی هست که  $F' \neq F$ .

۸. حل. ■□□□

انرژی آزاد شده در گذار بین ترازها، در واقع اختلاف انرژی هر کدام از آنهاست. برای پیدا کردن تعداد گذارهای واقع در بازه‌ی داده شده، دو انرژی دلخواه را که هر کدام به شکل  $n(n+1)E$  هستند در نظر می‌گیریم و حالات ممکن را بررسی می‌کنیم:

$$\bullet < n(n+1)E - n'(n'+1)E < 11E$$

$$\bullet < n(n+1) - n'(n'+1) < 11$$

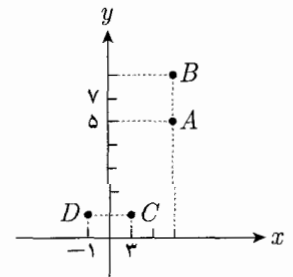
توجه کنید که اختلاف انرژی که همان انرژی آزاد شده است نمی‌تواند منفی باشد. حالات مختلف را برای برقراری این نامساوی بررسی می‌کنیم:

$$\begin{aligned}
 n = 0 & \quad \text{غرقابل قبول} \\
 n = 1 & \Rightarrow n' = 0 \quad n(n+1) - n'(n'+1) = 2 \\
 n = 2 & \Rightarrow \begin{cases} n' = 0 & n(n+1) - n'(n'+1) = 6 \\ n' = 1 & n(n+1) - n'(n'+1) = 4 \end{cases} \\
 n = 3 & \Rightarrow \begin{cases} n' = 1 & n(n+1) - n'(n'+1) = 10 \\ n' = 2 & n(n+1) - n'(n'+1) = 6 \end{cases} \\
 n = 4 & \Rightarrow n' = 3 \quad n(n+1) - n'(n'+1) = 8 \\
 n = 5 & \Rightarrow n' = 4 \quad n(n+1) - n'(n'+1) = 10 \\
 n = 6 & \quad \text{غیرقابل قبول} \\
 n > 6 & \quad \text{غیرقابل قبول}
 \end{aligned}$$

همان‌طور که مشاهده می‌شود، تعداد حالات ممکن ۷ حالت است. بنابراین گزینه‌ی «د» صحیح است.

۹. حل. صفحه‌ی  $xy$  و نقاط  $A, B, C$  و نقطه‌ی خواسته شده در شکل زیر مشخص شده‌اند.

نقطه‌ی مورد سؤال که مختصات  $\begin{cases} x = -1\text{m} \\ y = 1\text{m} \end{cases}$  دارد را نقطه‌ی  $D$  می‌نامیم. از آنجا که میدان الکتریکی یکنواخت در صفحه‌ی  $xy$  واقع شده است، و می‌تواند در راستای  $x$  و  $y$  مؤلفه داشته باشد، اختلاف پتانسیل را بر حسب مؤلفه‌های میدان برای دوجه‌دوی نقاط  $(E_x, E_y)$  می‌نویسیم. داریم:



شکل ۳-۶۱

$$V_{AB} = V_B - V_A = E_y \cdot d$$

$$\rightarrow (12 - 8)\text{kV} = E_y \times (y_B - y_A) \Rightarrow E_y = \frac{4\text{kV}}{2\text{m}} = 2 \times 10^3 \text{N/C}$$

$$V_{CA} = V_A - V_C = E_x d_1 + E_y d_2$$

که  $d_1$  و  $d_2$  به ترتیب فاصله‌ی بین دو نقطه‌ی  $A$  و  $C$  در راستای  $x$  و  $y$  به صورت جداگانه هستند. عبارت بالا با توجه به مفهوم پتانسیل که پیش‌تر گفته شد نوشته شده است. که اختلاف پتانسیل  $\Delta V$  بین دو نقطه برابر با ضرب داخلی میدان الکتریکی در بردار جابه‌جایی میان آن دو است. یعنی:

$$\begin{aligned}
 \Delta V &= \vec{E} \cdot \vec{d} = E_x d_1 + E_y d_2 \\
 \Rightarrow 4\text{kV} &= E_x \times (3 - 1) + 2 \times 10^3 \times (5 - 1) \\
 \Rightarrow E_x &= \frac{4 \times 10^3 - 8 \times 10^3}{2} = -2 \times 10^3 \text{N/C}
 \end{aligned}$$

با معلوم شدن میدان الکتریکی یکنواخت  $\vec{E} = E_x \hat{i} + E_y \hat{j}$  می‌توان پتانسیل نقطه‌ی  $D$  را با توجه به یکی از نقاط  $A, B$  یا  $C$  پیدا کرد. برابری مؤلفه‌ی عمودی نقطه‌ی  $C$  و  $D$ ، انتخاب آن را به عنوان مرجع مقایسه‌ی پتانسیل پیشنهاد می‌کند. داریم:

$$V_D - V_C = V_{CD} = E_x d' = -2 \times 10^3 (-1 - 1) \\ = +4 \times 10^3 \text{ V} = 4 \text{ kV} \Rightarrow V_D = 8 \text{ kV}$$

۱۰. حل. طبق مثال آخر حل شده در قسمت بار تصویری، می‌دانیم بار تصویری نظیر یک دوقطبی الکتریکی با بردار دوقطبی  $\vec{P}$  مقابل یک رسانا متصل به پتانسیل صفر به صورت زیر است. یک دوقطبی الکتریکی به صورت:

$$\vec{P} = \frac{R^3}{(rP)^3} (P_{\parallel} \hat{i} - P_{\perp} \hat{j})$$

که در آن

$$P_{\parallel} = P \sin \theta, \quad P_{\perp} = P \cos \theta$$

واقع در محل  $r'P = \frac{R^2}{rP}$  و یک بار الکتریکی خالص به اندازه  $q' = \frac{RP_{\parallel}}{(rP)^2}$  که در همان محل قرار دارد.

هدف ما در سؤال آن است که فرکانس نوسانات کوچک را بیابیم. شکل زیر نمایش‌دهنده‌ی وضعیت کلی سؤال است.

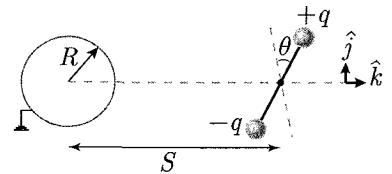
برای به دست آوردن فرکانس نوسانات، راه‌های زیادی وجود دارد که ما با توجه به سادگی کار کردن با کمیت‌های اسکالر از روش انرژی در این سؤال استفاده خواهیم کرد. فرض کنیم که مجموعه‌ی دوقطبی تصویری و بار تک تصویری  $(q', p')$  میدان الکتریکی  $\vec{E}$  را در فضای بیرون کره در محل دوقطبی ایجاد کرده باشد، در این صورت از قسمت میدان الکتریکی به یاد دارید که انرژی پتانسیل دوقطبی  $\vec{P}$  در این میدان در این صورت  $U = -\vec{P} \cdot \vec{E}$  است، بنابراین در اولین قدم باید میدان الکتریکی  $\vec{E}$  را پیدا کنیم.

برای پیدا کردن میدان الکتریکی یک دوقطبی (اینجا دوقطبی  $\vec{P}'$ ) می‌توان دور راه در پیش گرفت. راه اول تجزیه کردن دوقطبی به دو دوقطبی در راستاهای موازی و عمود بر بردار واصل از مرکز دوقطبی تا محل محاسبه‌ی میدان است که این کار را در فصل میدان انجام دادیم و میدان یک دوقطبی را روی عمود منصف و روی محور دوقطبی به دست آوردیم.

روش دوم استفاده از پتانسیل الکتریکی است، با استفاده از پتانسیل الکتریکی، پتانسیل را در تمام نقاط فضا پیدا می‌کنیم و سپس با گرادیان‌گیری، میدان را در نقاط مختلف فضا به دست می‌آوریم.

پس از انجام محاسبات نسبتاً ساده‌ی ریاضی، به رابطه‌ی زیر برای میدان ناشی از یک دوقطبی با بردار دوقطبی  $\vec{P}$  می‌رسیم:

$$\vec{E} = -\vec{\nabla} \phi = \frac{1}{4\pi\epsilon_0} \left( \frac{3(\vec{P} \cdot \vec{r})\vec{r} - \vec{P}}{r^3} \right)$$



شکل ۳-۶۲

که در آن  $r$  بردار واصل از مرکز دوقطبی  $\vec{P}$  به محلی است که میدان را در آن محاسبه می‌کنیم و  $\hat{r}$  هم بردار یکه‌ی این بردار، در مورد سؤال مورد بررسی ما، دوقطبی تولید کننده‌ی میدان  $\vec{P}'$  است، همچنین یک بار خالص هم در محل دوقطبی وجود دارد، میدان الکتریکی در محل دوقطبی  $\vec{P}$ ، طبق رابطه‌ی بالا به صورت زیر خواهد بود.

$$\vec{E}(\theta) = \frac{1}{4\pi\epsilon_0} \cdot \left[ \frac{1}{(rP - \frac{R^2}{rP})^2} [\mathcal{P}(\hat{i} \cdot \vec{P}') - \vec{P}'] + \frac{q'}{(rP - \frac{R^2}{rP})^2} \hat{i} \right]$$

که در آن کمیات در دستگاه مختصات دکارتی، برای راحتی نوشته شده‌اند، با جایگذاری کمیات صورت داریم:

$$\vec{E}(\theta) = \frac{1}{4\pi\epsilon_0} \cdot \frac{1}{(rP - \frac{R^2}{rP})^2} \left[ \frac{R^2}{(rP)^2} \cdot [\mathcal{P}P_{\parallel\hat{i}} - (P_{\parallel\hat{i}} - P_{\perp\hat{j}})] \right. \\ \left. + \frac{RP_{\parallel\hat{i}}}{(rP)^2} \cdot (rP - \frac{R^2}{rP})\hat{i} \right]$$

عبارت بالا را باز هم ساده‌تر می‌کنیم:

$$\vec{E}(\theta) = \frac{1}{4\pi\epsilon_0} \cdot \frac{1}{(rP - \frac{R^2}{rP})^2} \cdot \frac{R^2}{(rP)^2} \\ \left[ \hat{i} \left( \mathcal{P}P \sin \theta + \frac{rP}{R^2} (rP - \frac{R^2}{rP}) P \sin \theta \right) + P \cos \theta \hat{j} \right]$$

توجه کنید که در عبارت‌های بالا منظور از  $\vec{E}(\theta)$ ، میدان الکتریکی در محل دوقطبی  $\vec{P}$  است، هنگامی که این دوقطبی طبق شکل صورت سؤال، زاویه‌ای برابر  $\theta$  دارد، چرا که بار تصویری و در نتیجه میدان ایجاد شده تابع  $\theta$  هستند. حالا که  $\vec{E}(\theta)$  را محاسبه کرده‌ایم، آماده‌ایم تا به سراغ محاسبه انرژی برویم:

$$U = -\vec{P} \cdot \vec{E}(\theta) = -(P \sin \theta \hat{i} + P \cos \theta \hat{j}) \cdot \left( \frac{1}{4\pi\epsilon_0} \cdot \frac{1}{(rP - \frac{R^2}{rP})^2} \cdot \frac{R^2}{(rP)^2} \right) \\ \left[ \left( \mathcal{P} + \frac{rP}{R^2} (rP - \frac{R^2}{rP}) \right) P \sin \theta \hat{i} + P \cos \theta \hat{j} \right]$$

با انجام ضرب داخلی داریم:

$$U = -\frac{R^2}{4\pi\epsilon_0 (rP^2 - R^2)^2} \left[ \left( \mathcal{P} + \left( \frac{rP^2}{R^2} - 1 \right) \right) P^2 \sin^2 \theta + P^2 \cos^2 \theta \right]$$

اگر شرط  $\theta \ll 1$  را اعمال کنیم، انرژی پتانسیل به صورت زیر خواهد بود.

$$\sin \theta \simeq \theta, \quad \cos \theta \simeq 1$$

$$\rightarrow U = -\frac{R^2 P^2}{4\pi\epsilon_0 (rP^2 - R^2)^2} \left[ \left( \mathcal{P} + \left( \frac{rP^2}{R^2} - 1 \right) \right) \theta^2 + 1 \right]$$

برای محاسبه‌ی فرکانس نوسانات دقت می‌کنیم که تنها قسمتی از انرژی پتانسیل که تابع  $\theta$  باشد برای ما مهم است، این قسمت را  $U_\theta$  می‌نامیم، داریم:

$$U_\theta = \frac{-R^3 P^2}{4\pi\epsilon_0 (rP^2 - R^2)^3} \left( 2 + \left( \frac{rP^2}{R^2} - 1 \right) \right) \theta^2$$

اگر از علامت این انرژی صرف‌نظر کنیم و آن را با انرژی پتانسیل یک فنر پیچشی مقایسه کنیم، خواهیم داشت

$$U_{\text{پیچشی}} = \frac{1}{2} K \theta^2$$

و فرکانس نوسان چنین فنری در صورتی که متصل به جرمی با ممان اینرسی (گشتاورماند)  $I$  باشد، برابر با

$$\omega = \sqrt{\frac{K}{I}}$$

خواهد بود. با مقایسه رابطه‌های انرژی برای فنر دوقطبی داریم:

$$K_{\text{دوقطبی}} = \frac{R^3 P^2}{2\pi\epsilon_0 (rP^2 - R^2)^3} \left( 2 + \left( \frac{rP^2}{R^2} - 1 \right) \right)$$

و اگر فرض کنیم که گشتاورماند این دوقطبی برابر با  $I$  است (این کمیت در صورت سؤال داده نشده ولی بدون در نظر گرفتن آن حل سؤال غیرممکن است):

$$\omega_{\text{دوقطبی}} = \sqrt{\frac{K_{\text{دوقطبی}}}{I}}$$

۱۱. حل. چهار بار واقع در رأس مربع و بردارهای مکان مربوطه و نیز نقطه‌ی  $A$  در محل  $\vec{r}$ ، در شکل نمایش داده شده‌اند. برای پیدا کردن پتانسیل حاصل از بارها در نقطه‌ی  $A$  باید پتانسیل حاصل از هر بار را به طور جداگانه جمع جبری کنیم:

$$V = \sum_{i=1}^4 \frac{kq}{|\vec{r}_i - \vec{r}|} = \sum_{i=1}^4 kq ((\vec{r}_i - \vec{r}) \cdot (\vec{r}_i - \vec{r}))^{-1/2}$$

$$= kq \sum_{i=1}^4 (r_i^2 + r^2 - 2\vec{r}_i \cdot \vec{r})^{-1/2}, \quad l = \sqrt{2} r_i$$

$$V = kq \frac{\sqrt{2}}{l} \sum_{i=1}^4 \left( 1 - \frac{2\vec{r}_i \cdot \vec{r}}{l^2} + \frac{2r^2}{l^2} \right)^{-1/2}$$

جمله‌ی آخر را تا مرتبه‌ی دوم نسبت به  $\frac{r}{l}$  بسط تیلور می‌دهیم:

$$V \simeq \frac{\sqrt{2} kq}{l} \sum_{i=1}^4 \left( 1 + \frac{2\vec{r}_i \cdot \vec{r}}{l^2} - \frac{r^2}{l^2} - \frac{3}{8} \left( \frac{2\vec{r}_i \cdot \vec{r}}{l^2} \right)^2 \right)$$

$$= \frac{2\sqrt{2} kq}{l} \left( 2 - \frac{r^2}{l^2} - 3 \sum_{i=1}^4 \left( \frac{\vec{r}_i \cdot \vec{r}}{l^2} \right)^2 \right)$$

بردار  $\vec{r}$  را به صورت مؤلفه‌ای می‌نویسیم. تمامی بردارهای  $\vec{r}_1$  تا  $\vec{r}_4$  شامل مؤلفه‌های  $x$  و  $y$  هستند و در جمله‌ی آخر عبارت در بردار  $\vec{r}$  ضرب داخلی می‌شوند. پس مؤلفه‌ی  $z$  بردار  $\vec{r}$  در محاسبه‌ی عبارت تأثیری ندارد. ضرب داخلی دو بردار نسبت به دوران ثابت است. با استفاده از این نکته می‌توانیم برای ساده‌تر کردن ضرب داخلی بردارها، تمامی آنها را  $45^\circ$  بچرخانیم تا بردارهای به‌دست آمده هر کدام دو مؤلفه‌ی صفر داشته باشند و پاسخ مربوطه سریع‌تر به‌دست آید. برای این کار بردارها را  $45^\circ$  در جهت عقربه‌های ساعت دوران می‌دهیم تا بردارهای  $\vec{r}'_1$  و  $\vec{r}'_2$  به‌دست آیند. داریم:

$$\begin{cases} \vec{r}' = (x', y', z') \\ \vec{r}'_1 = (l/\sqrt{2}, 0, 0) \\ \vec{r}'_2 = (0, l/\sqrt{2}, 0) \\ \vec{r}'_3 = (-l/\sqrt{2}, 0, 0) \\ \vec{r}'_4 = (0, -l/\sqrt{2}, 0) \end{cases} \Rightarrow \sum_{i=1}^4 \left( \frac{\vec{r}'_i \cdot \vec{r}'}{l^2} \right)^2 = \sum_{i=1}^4 \left( \frac{\vec{r}'_i \vec{r}'^T}{l^2} \right)^2$$

$$= \frac{1}{4l^2} (x'^2 + y'^2 + x'^2 + y'^2) = \frac{x'^2 + y'^2}{l^2}$$

از آنجا که با دوران محورهای مختصات حول محور  $z$ ، اندازه‌ی  $x'^2 + y'^2$  ثابت می‌ماند، داریم:

$$\frac{x'^2 + y'^2}{l^2} = \frac{x^2 + y^2}{l^2} = \frac{|\vec{r} \times \hat{z}|^2}{l^2}$$

بنابراین پاسخ برای پتانسیل حاصل از بارها در نقطه‌ی  $A$  تا مرتبه‌ی دوم نسبت به  $\frac{|\vec{r}'|}{l}$  به

ترتیب زیر است:

$$V = \frac{2\sqrt{2}kq}{l} \left( 2 - \frac{2r^2}{l^2} - \frac{3|\vec{r} \times \hat{z}|^2}{l^2} \right)$$

در راستای  $\hat{z}$ ، که همان راستای عمود بر سطح مربع است، با توجه به رابطه، با افزایش  $\vec{z}$  پتانسیل کاهش می‌یابد (جمله‌ی  $|\vec{r} \times \hat{z}|^2$ ). در صفحه‌ی مربع پیش‌روی روی بردار  $\vec{r}$  کاهش پتانسیل روی می‌دهد. بنابراین برای بار آزمون مثبت تعادل ناپایدار است (چراکه پتانسیل با هر گونه افزایشی در  $\vec{r}$  کاهش می‌یابد).

۱۲. حل. الف) انرژی پتانسیل مجموعه از مجموع انرژی‌های پتانسیل ناشی از اثر هر یک از جفت

بارها بر هم به‌دست می‌آید. داریم:

$$U = -\frac{kq_1^2}{d_1} - \frac{kq_2^2}{d_2} + \frac{kq_1q_2}{r} + \frac{kq_1q_2}{|\vec{r} - \vec{d}_1 + \vec{d}_2|} - \frac{kq_1q_2}{|\vec{r} - \vec{d}_1|} - \frac{kq_1q_2}{|\vec{r} + \vec{d}_2|}$$

ب) حالت حدی انرژی پتانسیل (در  $|\vec{r}| \rightarrow \infty$ ) جملات شامل  $\frac{1}{r}$  را در مرتبه‌ی اول حذف می‌کند و تنها جملات اول و دوم باقی می‌مانند. در نتیجه انرژی پتانسیل در حالت حدی برابر می‌شود با:

$$U_\infty = -\frac{kq_1^2}{d_1} - \frac{kq_2^2}{d_2}$$

اختلاف این دو مقدار برابر است با:

$$\begin{aligned} \Delta U = U - U_\infty &= \left( -\frac{kq_1^2}{d_1} - \frac{kq_2^2}{d_2} + \frac{kq_1q_2}{r} + \frac{kq_1q_2}{|\vec{r} - \vec{d}_1 + \vec{d}_2|} \right. \\ &\quad \left. - \frac{kq_1q_2}{|\vec{r} - \vec{d}_1|} - \frac{kq_1q_2}{|\vec{r} + \vec{d}_2|} \right) - \left( -\frac{kq_1^2}{d_1} - \frac{kq_2^2}{d_2} \right) \\ &= kq_1q_2 \left( \frac{1}{r} + \frac{1}{|\vec{r} - \vec{d}_1 + \vec{d}_2|} - \frac{1}{|\vec{r} - \vec{d}_1|} - \frac{1}{|\vec{r} + \vec{d}_2|} \right) \end{aligned}$$

ج) جملات را تا مرتبه‌ی  $d_1d_2$  حفظ می‌کنیم. جملات به دست آمده را محاسبه می‌کنیم:

$$\begin{aligned} \frac{1}{|\vec{r} - \vec{d}_1 + \vec{d}_2|} &= (r^2 + |\vec{d}_2 - \vec{d}_1|^2 + 2\vec{r} \cdot (\vec{d}_2 - \vec{d}_1))^{-1/2} \\ &= (r^2)^{-1/2} \left( 1 + \frac{|\vec{d}_2 - \vec{d}_1|^2}{r^2} + \frac{2\vec{r} \cdot (\vec{d}_2 - \vec{d}_1)}{r^2} \right)^{-1/2} \\ &\simeq \frac{1}{r} \left( 1 - \frac{|\vec{d}_2 - \vec{d}_1|^2}{2r^2} - \frac{\vec{r} \cdot (\vec{d}_2 - \vec{d}_1)}{r^2} + \frac{3(\vec{r} \cdot (\vec{d}_2 - \vec{d}_1))^2}{2r^4} \right) \end{aligned}$$

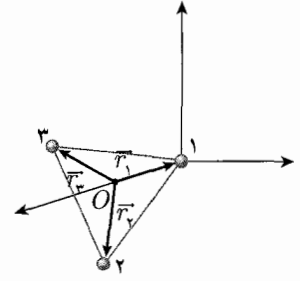
برای یافتن جملات دیگر معادله‌ی نهایی به دست آمده در مورد (ب)، به نوبت  $d_2$  و  $d_1$  را در عبارت اخیر صفر قرار می‌دهیم:

$$\begin{aligned} -\frac{1}{|\vec{r} - \vec{d}_1|} &= -\frac{1}{r} \left( 1 - \frac{d_1^2}{2r^2} + \frac{\vec{r} \cdot \vec{d}_1}{r^2} + \frac{3(\vec{r} \cdot \vec{d}_1)^2}{2r^4} \right) \\ -\frac{1}{|\vec{r} - \vec{d}_2|} &= -\frac{1}{r} \left( 1 - \frac{d_2^2}{2r^2} - \frac{\vec{r} \cdot \vec{d}_2}{r^2} + \frac{3(\vec{r} \cdot \vec{d}_2)^2}{2r^4} \right) \end{aligned}$$

بنابراین اختلاف انرژی پتانسیل مجموعه در دو حالت هنگامی که  $|\vec{d}_1|$  و  $|\vec{d}_2|$  به سمت صفر میل می‌کنند، به ترتیب زیر به دست می‌آید.

$$\begin{aligned} \Delta U &= \frac{kq_1q_2}{r} \left( 1 + \left( \frac{1 - |\vec{d}_2 - \vec{d}_1|^2}{2r^2} - \frac{\vec{r} \cdot (\vec{d}_2 - \vec{d}_1)}{r^2} + \frac{3(\vec{r} \cdot (\vec{d}_2 - \vec{d}_1))^2}{2r^4} \right) \right. \\ &\quad + \left( +1 + \frac{d_1^2}{2r^2} - \frac{\vec{r} \cdot \vec{d}_1}{r^2} - \frac{3(\vec{r} \cdot \vec{d}_1)^2}{2r^4} \right) \\ &\quad \left. + \left( -1 + \frac{d_2^2}{2r^2} + \frac{\vec{r} \cdot \vec{d}_2}{r^2} - \frac{3(\vec{r} \cdot \vec{d}_2)^2}{2r^4} \right) \right) \\ &= \frac{kq_1q_2}{r} \left( \frac{\vec{d}_2 \cdot \vec{d}_1}{r^2} - 3 \frac{(\vec{r} \cdot \vec{d}_1)(\vec{r} \cdot \vec{d}_2)}{r^4} \right) \\ &= \frac{k}{r^3} (\vec{P}_2 \cdot \vec{P}_1 - 3(\hat{r} \cdot \vec{P}_1)(\hat{r} \cdot \vec{P}_2)) \end{aligned}$$

۱۳. حل. الف) مکان بارهای ۱، ۲ و ۳ را نسبت به نقطه‌ی  $O$  با  $\vec{r}_1, \vec{r}_2$  و  $\vec{r}_3$  نمایش می‌دهیم. بار  $-q$  که در نقطه‌ی  $O$  قرار دارد، به اندازه‌ی  $\delta\vec{r}$  جابه‌جا شده است. می‌خواهیم پتانسیل را در محل  $\delta r$  محاسبه کنیم:



شکل ۳-۶۳

$$V = \frac{q}{4\pi\epsilon_0} \sum_{i=1}^3 \frac{1}{|\vec{r}_i - \delta\vec{r}|} = \frac{q}{4\pi\epsilon_0} \sum_{i=1}^3 \frac{1}{\sqrt{r_i^2 + \delta r^2 - 2\vec{r}_i \cdot \delta\vec{r}}}$$

$$= \frac{q}{4\pi\epsilon_0} \sum_{i=1}^3 \frac{1}{r_i} \left( 1 + \left(\frac{\delta r}{r_i}\right)^2 - \frac{2\vec{r}_i \cdot \delta\vec{r}}{r_i^2} \right)^{-1/2}$$

اندازه‌ی  $r_1, r_2, r_3$  یکسان است و این مقدار برابر محل برخورد میانه‌ها تا هر رأس است.

$$|\vec{r}_1| = |\vec{r}_2| = |\vec{r}_3| = r = \frac{a}{\sqrt{3}}$$

پتانسیل را تا مرتبه‌ی دوم نسبت به  $\frac{\delta r}{r}$  محاسبه می‌کنیم:

$$V = \frac{q}{4\pi\epsilon_0 r} \sum_{i=1}^3 \left( 1 - \frac{1}{2} \left(\frac{\delta r}{r_i}\right)^2 + \frac{\vec{r}_i \cdot \delta\vec{r}}{r_i} + \frac{3}{2} \frac{(\vec{r}_i \cdot \delta\vec{r})^2}{r_i^3} \right)$$

$$= \frac{q}{4\pi\epsilon_0 r} \left( 3 - \frac{3}{2} \left(\frac{\delta r}{r}\right)^2 + \frac{\delta\vec{r} \cdot \sum \vec{r}_i}{r} + \frac{3}{2r^2} \sum_{i=1}^3 (\vec{r}_i \cdot \delta\vec{r})^2 \right)$$

بنا به تقارن  $\sum \vec{r}_i$  صفر است. پس جمله‌ی سوم صفر است. جمله‌ی نهایی را محاسبه می‌کنیم:

$$\delta\vec{r} = (\cos\theta \hat{k} + \sin\theta \sin\varphi \hat{j} + \sin\theta \cos\varphi \hat{i}) \delta r$$

$$\vec{r}_1 = -\frac{\sqrt{3}}{3} a \hat{i}$$

$$\vec{r}_2 = \frac{\sqrt{3}}{6} a \hat{i} + \frac{a}{2} \hat{j}$$

$$\vec{r}_3 = \frac{\sqrt{3}}{6} a \hat{i} - \frac{a}{2} \hat{j}$$

$$\Rightarrow \sum_{i=1}^3 (\vec{r}_i \cdot \delta\vec{r})^2 = a^2 \frac{\sin^2\theta}{2}$$

$$\Rightarrow V = \frac{q\sqrt{3}}{4\pi\epsilon_0 a} \left( 3 - \frac{q}{2} \frac{(\delta r)^2}{a^2} + \frac{27(\delta r)^2}{4a^2} \sin^2\theta \right)$$

$$= \frac{q\sqrt{3}}{4\pi\epsilon_0 a} \left( 3 - \frac{q}{2} \left(\frac{\delta r}{a}\right)^2 \left( 1 - \frac{3}{2} \sin^2\theta \right) \right)$$

همان‌طور که می‌بینید، پتانسیل تنها به  $\delta r$  و  $\theta$  بستگی دارد و مستقل از  $\phi$  است. بنابراین برای پیدا کردن تابع نیرو در هر  $\theta$  مفروض می‌توان از رابطه‌ی پتانسیل نسبت به  $r$  مشتق جزئی گرفت. لازم به ذکر است که با توجه به دلخواه بودن انتخاب دستگاه مختصات، می‌توان



طوری این کار را انجام داد که  $\delta r$  همان  $r$  باشد. حاصل این مشتق جزئی نیرو و در راستای  $r$  خواهد بود.

$$\vec{F} = -(-q)\vec{\nabla}V$$

$$\vec{F}_r = q \cdot \frac{\partial V}{\partial r} = -\frac{\sqrt{3}q^2 \delta r}{4\pi\epsilon_0 a^3} \left(1 - \frac{3}{2} \sin^2 \theta\right)$$

اگر به ازای  $\delta r > 0$  مقدار فوق منفی باشد، تعادل پایدار است. پس:

$$1 - \frac{3}{2} \sin^2 \theta > 0 \Rightarrow \sin^2 \theta < \frac{2}{3} \Rightarrow \begin{cases} 0 \leq \theta < \sin^{-1} \sqrt{\frac{2}{3}} \\ \pi\theta > \pi - \sin^{-1} \sqrt{\frac{2}{3}} \end{cases}$$

همان طور که در رابطه‌ی به دست آمده برای نیرو مشاهده می‌شود، می‌توان این رابطه را برای یک  $\theta$  مفروض به صورت  $F = K_\theta \delta r$  نوشت که در آن  $K_\theta$  در حکم ثابت یک فنر قرضی معادل در زاویه‌ی  $\theta$  است. به این صورت، از دانسته‌های قبلی از مبحث دینامیک، می‌توانیم فرکانس طبیعی این سیستم را در زاویه‌ی  $\theta$  با رابطه‌ی  $\omega = \sqrt{\frac{K_\theta}{m}}$  به دست آوریم، که در آن  $m$  جرم ذره‌ی باردار فرض شده است.

$$\omega = \sqrt{\frac{\sqrt{3}q^2(1 - 3/2 \sin^2 \theta)}{4\pi\epsilon_0 m a^3}}$$

فرکانس نوسانات نیز تابع  $\omega$  است و عبارت است از:

$$f = \frac{\omega}{2\pi} \Rightarrow f = \frac{1}{2\pi} \sqrt{\frac{\sqrt{3}q^2(1 - 3/2 \sin^2 \theta)}{4\pi\epsilon_0 m a^3}}$$

ب) فرض کنیم که در نقطه‌ای غیر از نقطه‌ی  $O$  روی محور  $x$ ، تعادل برقرار باشد. به این صورت، برای هر  $\theta$  و  $\varphi$  که نوسان در آنها انجام می‌شود، بار  $-q$  باید در حین نوسان از این نقطه‌ی مفروض بگذرد. در صورتی که قرار بر نوسان در یک راستا باشد، باید نیرو در تمام لحظات نوسان هم‌راستای مسیر نوسان باشد. اما در صورت وجود نقطه‌ی تعادل دیگری روی محور  $x$  هنگام عبور از این نقطه‌ی مفروض یک نیرو در راستای محور  $x$  به بار وارد خواهد شد که مخالف فرض است.

۱۴. حل. الف) پتانسیل ناشی از بار نقطه‌ای،  $\frac{kq}{r}$  می‌باشد و از آنجا که فاصله‌ی همه‌ی نقاط از

مرکز مکعب برابر  $\frac{a\sqrt{3}}{4}$  می‌باشد، پس پتانسیل ناشی از ۸ بار در مرکز مکعب برابر است با:  
(با توجه به اصل برهم‌نهی)

$$V = 8 \times \frac{kq}{\sqrt{3/2}a} = \frac{16\sqrt{3}kq}{3a}$$

در این قسمت نقطه‌ای با مختصات دلخواه  $(x, y, z)$  را در نظر می‌گیریم و بعد پتانسیل را در آن محاسبه می‌کنیم و بعد شرط نزدیک بودن نقطه به مرکز مربع را اعمال می‌کنیم.

$$V = \sum_{i=1}^4 \frac{kq}{r_i}$$

حال به طور مثال بار نقطه‌ای به مختصات  $(a/2, a/2, a/2)$  را در نظر گرفته و پتانسیل آن را در  $(x, y, z)$  حساب می‌کنیم.

$$\begin{aligned} V &= kq \quad r = \left[ \left(x - \frac{a}{2}\right)^2 + \left(y - \frac{a}{2}\right)^2 + \left(z - \frac{a}{2}\right)^2 \right]^{1/2} \\ &= \left[ (x^2 + y^2 + z^2) - a(x + y + z) + \frac{3a^2}{4} \right]^{1/2} \\ &= \frac{\sqrt{3}a}{2} \left[ 1 + \frac{(x^2 + y^2 + z^2) - a(x + y + z)}{\frac{3a^2}{4}} \right]^{1/2} \\ V &= \frac{kq}{r} = kq \times \frac{1}{\frac{\sqrt{3}a}{2}} \left[ 1 + \frac{(x^2 + y^2 + z^2) - a(x + y + z)}{\frac{3a^2}{4}} \right]^{-1/2} \\ &\quad (\text{با توجه به هم‌ارزی } (1+a)^n \sim 1+na, a \rightarrow 0) \\ V &= \frac{kq}{\frac{\sqrt{3}a}{2}} \left[ 1 - \frac{(x^2 + y^2 + z^2) - a(x + y + z)}{\frac{3a^2}{4}} \right] \end{aligned}$$

برای بقیه بارها نیز، تفاوت در فرمول بالا، در ضرایب  $x, y$  و  $z$  ظاهر می‌شود به طوری که همه‌ی حالت‌های مثبت و منفی ضرایب  $x, y$  و  $z$  در آن ظاهر می‌شود (جمعاً ۸ حالت) و وقتی این پتانسیل‌ها را با هم جمع می‌کنیم، ضرایب  $x, y$  و  $z$  با هم ساده شده و عبارت نهایی به صورت زیر خواهد بود:

$$V_{(x, y, z)} \text{ در کل} = \frac{kq}{\frac{\sqrt{3}a}{2}} \left[ 1 - \frac{x^2 + y^2 + z^2}{\frac{3a^2}{4}} \right] \times 8$$

(ج)

$$\begin{aligned} \nabla V &= -\vec{E} \rightarrow \frac{\partial V}{\partial x} \vec{i} + \frac{\partial V}{\partial y} \vec{j} + \frac{\partial V}{\partial z} \vec{k} \\ &= -(E_x \vec{i} + E_y \vec{j} + E_z \vec{k}) \\ \rightarrow \frac{\partial V}{\partial x} &= -E_x \rightarrow E_x = \frac{64kqx}{3\sqrt{3}a^3} \\ E_y &= \frac{64kqy}{3\sqrt{3}a^3}, \quad E_z = \frac{64kqz}{3\sqrt{3}a^3} \end{aligned}$$

۱۵. حل. الف) با مراجعه به جواب مسئله‌ی ۳ امتحان المپیاد فیزیک ایران در تابستان ۸۵، این قسمت حل شده و حاصل برابر است با:

$$F = 2\pi k\rho q = 2\pi k \times \frac{Q}{4\pi R^2} \times Q \times \frac{\Delta S}{4\pi R^2} = \frac{kQ^2}{\lambda\pi R^4} \Delta S$$

ب) در اینجا در واقع ما هر المان را در نظر می‌گیریم و با توجه به نیروی وارد بر آن و جابه‌جایی آن در راستای شعاع از شعاع  $R_1$  تا  $R_2$ ، کار انجام شده روی هر المان را حساب می‌کنیم:

$$\begin{aligned} W &= \int \vec{F} \cdot d\vec{r} \\ \rightarrow W &= \frac{kQ^2}{4\pi} \int \frac{R^2}{R^2} \sin \phi d\theta d\phi dR \\ &= \frac{kQ^2}{4\pi} \times 2\pi \times 2 \times \left( \frac{1}{R_1} - \frac{1}{R_2} \right) \\ &= \frac{kQ^2}{2} \left( \frac{1}{R_1} - \frac{1}{R_2} \right) \end{aligned}$$

ج) طبق راهنمایی، اگر  $R_2 \rightarrow \infty$ ، آنگاه پتانسیل پوسته برابر است با:

$$\frac{kQ^2}{2R_1}$$

$$U_{کل} = U_e + U_\tau = \frac{kQ^2}{2R} + 2\tau \times 4\pi R^2 \quad (د)$$

برای پیدا کردن شعاعی که در آن کل  $U$  کمینه است، از آن بر حسب  $R$  مشتق می‌گیریم و برابر صفر قرار می‌دهیم:

$$U' = -\frac{kQ^2}{2R^2} + 16\pi\tau R$$

$$\text{اگر } U' = 0 \rightarrow R_0 = \sqrt[3]{\frac{kQ^2}{32\pi\tau}}$$

$$R = R_0 \text{ اگر } \rightarrow U = \left( \frac{kQ^2}{2} + \frac{kQ^2}{4} \right) / R_0 = \frac{3kQ^2}{4R_0}$$

ه) اگر نیروی وارد بر جزء  $\Delta S$  از طرف بقیه‌ی سطح در حالت نیم‌کره را بخواهیم

$$F = \sqrt{2}\pi k\rho q$$

و حال برای محاسبه‌ی انرژی، در انتگرال قسمت (ب)،  $\phi$  از  $0^\circ$  تا  $\frac{\pi}{4}$  تغییر می‌کند:

$$\frac{\sqrt{2}}{4} \frac{kQ^2}{R} = U_2$$

حال چون دو نیم‌کره داریم:

$$U = 2 \times U_2 = \frac{\sqrt{2}}{2} \frac{kQ^2}{R}$$

۱۶. حل. الف) کشش سطحی نیرویی است که تأثیر خود را در لبه‌ها نشان می‌دهد و یک خاصیت ماده به حساب می‌آید (یعنی برای مواد مختلف، متفاوت است). کشش سطحی یک عرق‌چین با نیم‌زاویه  $\theta$  نیز در لبه‌های آن معلوم می‌شود:

$$f = \tau \times l, \quad l = 2\pi r = 2\pi R \sin \theta$$

برای سهولت در محاسبات و با توجه به تقارن استوانه‌ای موجود می‌توان در همه‌ی مراحل از طرح‌های دوبعدی برای حل مسأله استفاده کرد.

از آنجا که مؤلفه‌های در راستای  $x$  این نیروها با هم خنثی و مؤلفه‌های در راستای  $y$  با هم جمع می‌شوند، پس نیروی حاصل، یک نیرو در راستای  $y$  خواهد بود.

$$F_{\tau y} = 2\pi R \sin \theta \times \tau \times \sin \theta \xrightarrow{\text{تا کم‌ترین درجه نسبت به } \theta} F_{\tau y} = 2\pi R \tau \theta^2$$

(ب) در واقع ما می‌خواهیم نیروی الکتریکی وارد بر عرق‌چین از طرف بقیه‌ی سطح کره را به دست آوریم.

برای محاسبه‌ی این نیرو، المان‌هایی که در فاصله‌ی یکسان و دلخواه (a) از عرق‌چین قرار دارند را در نظر بگیرد. مؤلفه‌ی  $x$  این نیروها با هم خنثی می‌شوند و مؤلفه‌های  $y$  با هم جمع می‌شوند: (توجه کنید که در اینجا  $\theta$  به اندازه‌ی کافی کوچک است)

$$a = 2R \sin\left(\frac{\phi}{2}\right)$$

$$q_{\text{عرق‌چین}} = Q \times \frac{A_{\text{عرق‌چین}}}{A_{\text{سطح کره}}} = Q \times \frac{\int_0^{2\pi} \int_0^{\theta} dA}{4\pi R^2} = Q \times \frac{1 - \cos \theta}{2}$$

$$F_{e_y} = \int dF_{e_y} = \int \frac{k dq' \times q \times \sin\left(\frac{\phi}{2}\right)}{a^2}$$

$$= \int \frac{k \times \rho dA \times q}{a^2} \times \sin\left(\frac{\phi}{2}\right)$$

$$k\rho q \iint \frac{R^2 \sin \phi d\phi d\alpha}{4R^2 \sin(\phi/2)} = \frac{k\rho q}{2} \int_0^{2\pi} \int_0^{\pi} \cos\left(\frac{\phi}{2}\right) d\phi d\alpha$$

$$2\pi \times (+k\rho q) \times \sin\left(\frac{\phi}{2}\right) \Big|_{\phi=0}^{\pi} = 2k\rho q\pi \quad \rho = \frac{Q}{4\pi R^2}$$

(ج) شعاع تعادل کره جایی است که این دو نیرو (نیروی الکتریکی و نیروی کشش سطحی) با هم برابر شوند. در واقع شعاع تعادل، حالت پایدار سیستم است که با قرار دادن مقداری بار روی یک سطح کره‌ی، سیستم به آن شعاع می‌رسد و پایدار می‌شود.

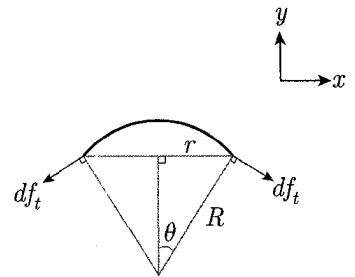
$$F_{\tau y} = F_{e_y} \rightarrow 2\pi R_0 \tau \theta^2 = k \times \frac{Q}{4\pi R_0^2} \times Q \times \frac{1 - \cos \theta}{2} \times 2\pi$$

$$\rightarrow 2\pi R_0 \tau \theta^2 = \frac{kQ^2}{4\pi R_0^2} \times \frac{\theta/2}{2} \times 2\pi \rightarrow R_0 = \sqrt{\frac{kQ^2}{16\pi\tau}}$$

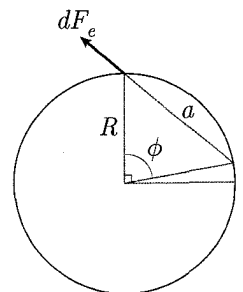
(د) نیروی وارد بر عرق‌چین، در واقع تفاوت نیروی کشش سطحی و نیروی الکتریکی است (چون این دو نیرو، در خلاف جهت هم بر عرق‌چین عمل می‌کنند)

$$f = \frac{F_{\text{خالص}}}{M} = \frac{F_{\tau} - F_e}{M} = \left( 2\pi R \tau \theta^2 - \frac{kQ^2 \theta^2}{4R^2} \right) / M$$

$$= \frac{\theta^2}{M} \left( 2\pi R \tau - \frac{kQ^2}{4R^2} \right) \quad \text{تا کمترین مرتبه نسبت به } \theta:$$



شکل ۶۴-۳



شکل ۶۵-۳

$$f_{(R)} = f_{(R_0)} + \frac{f'_{(R_0)} \times (R - R_0)}{1!} \quad : (R - R_0) \text{ به نسبت یک مرتبه}$$

$$\rightarrow f_{(R)} = 0 + \frac{R - R_0}{2} \times \left[ \left( \frac{\theta^2}{M} (2\pi\tau + \frac{kQ^2}{4R^2}) \right) \Big|_{R=R_0} \right]$$

$$= \frac{(R - R_0)}{2} \times \frac{\theta^2}{M} \times (2\pi\tau + 4\pi\tau) = \frac{3\pi\tau\theta^2}{M} (R - R_0)$$

ه) در این حالت ما به جای  $Q$ ،  $V$  را داریم. پس باید  $Q$  را بر حسب  $V$  به دست آورده و در معادلات قبل جایگزین کنیم.

همان طور که در متن درس گفتیم میدان پتانسیل ناشی از هر توزیع بار با تقارن کروی و در بیرون از آن با توزیع بار نقطه‌ای واقع در مرکز یکسان است، پس:

$$V = \frac{Q}{4\pi\epsilon_0 R} \rightarrow Q = \frac{R}{k} V$$

$$\rightarrow F'_e = \frac{kQ^2\theta^2}{4R^2} = \frac{V^2}{4k} \cdot \theta^2$$

و)

$$E_0 = \sqrt{\frac{kQ^2}{16\pi\tau}} = \sqrt{\frac{R^2 V^2}{16k\pi\tau}}$$

ز)

$$f = \frac{F_{\text{خالص}}}{M} = \frac{\theta^2}{M} \left( 2\pi R\tau - \frac{kQ^2}{4R^2} \right)$$

$$= \frac{\theta^2}{M} \left( 2\pi R\tau - \frac{V^2}{4k} \right)$$

$$f_{(R)} = f_{(R_0)} + \frac{f'_{(R_0)} \times (R - R_0)}{1!} = \frac{3\pi\tau\theta^2}{M} (R - R_0)$$

۱۷. حل. الف) در اینجا اگر به توضیح صورت سؤال دقت کنید، متوجه می‌شوید که  $|\vec{a}| \gg |\vec{r}|$ .

$$V = \frac{kq}{|\vec{r} - \vec{a}|} = \frac{kq}{\sqrt{(\vec{r} - \vec{a}) \cdot (\vec{r} - \vec{a})}} = kq(r^2 - 2\vec{r} \cdot \vec{a} + a^2)^{-1/2}$$

$$= \frac{kq}{|\vec{r}|} \left( 1 - \frac{2\vec{r} \cdot \vec{a} + a^2}{|\vec{r}|^2} \right)^{-1/2}$$

تا مرتبه‌ی دوم  $(1+x)^n \sim 1 + nx + \frac{n(n-1)}{2}x^2$   
 $1 \gg x$

$$\rightarrow V(a) \sim \frac{kq}{|\vec{r}|} \left( 1 + \frac{2\vec{r} \cdot \vec{a} + a^2}{2|\vec{r}|^2} - \frac{3}{8} \left( \frac{2\vec{r} \cdot \vec{a} + a^2}{|\vec{r}|^2} \right)^2 \right)$$

و چون ما تا مرتبه دوم نسبت به  $a$  می‌خواهیم

$$V(a) \sim \frac{kq}{|\vec{r}|} \left( 1 + \frac{2\vec{r} \cdot \vec{a} + a^2}{2|\vec{r}|^2} \right)$$

ب) يعنى اگر  $\vec{r}$  برابر با يکى از مقادير  $r\hat{x}$ ،  $r\hat{y}$ ،  $r\hat{z}$  باشد:

$$\vec{r} = r\hat{x} : V(a) = \frac{kq}{|\vec{r}|} \left( 1 + \frac{2r\hat{x} \cdot \vec{a} + a^2}{2r^2} \right)$$

$$\vec{r} = r\hat{y} : V(a) = \frac{kq}{|\vec{r}|} \left( 1 + \frac{2r\hat{y} \cdot \vec{a} + a^2}{2r^2} \right)$$

$$\vec{r} = r\hat{z} : V(a) = \frac{kq}{|\vec{r}|} \left( 1 + \frac{2r\hat{z} \cdot \vec{a} + a^2}{2r^2} \right)$$

و براى علامت‌هاى منفى بردارهاى  $\hat{r}$  نيز به همين ترتيب عمل مى‌کنيم.

ج) در اينجا داريم  $\vec{a} = \pm \frac{b\sqrt{2}}{2}i \pm \frac{b\sqrt{2}}{2}j$  (۴ بردار  $\vec{a}$  براى ۴ نقطه)

اگر در اينجا  $\vec{r} = r\hat{z}$  باشد، در همى حالات  $\vec{r}$  بر  $\vec{a}$  عمود و  $\vec{r} \cdot \vec{a} = 0$  مى‌باشد که براى

۴ حالت  $\vec{a}$  جواب معين است

$$r = r\hat{z} , V(\vec{a}) = \frac{kq}{r} \left( 1 + \frac{b^2}{2r^2} \right)$$

پس مجموع پتانسيل‌ها در نقطه  $\vec{r} = r\hat{z}$ :

$$V(\vec{a}) = \frac{4kq}{r} \left( 1 + \frac{b^2}{2r^2} \right)$$

$$\vec{a} = \pm \frac{\sqrt{2}}{2}b\hat{i} \pm \frac{\sqrt{2}}{2}b\hat{j} \text{ و } \vec{r} = x\hat{i} + y\hat{j} + z\hat{k} \text{ (د)}$$

حال براى يک حالت  $\vec{a} = \frac{b\sqrt{2}}{2}(i + j)$  برابر است با:

$$\frac{b\sqrt{2}}{2}(x + y)$$

و به طورکلى: (براي ۴  $\vec{a}$ )

$$\vec{r} \cdot \vec{a} = \frac{b\sqrt{2}}{2}(\pm x \pm y)$$

حال وقتى ما پتانسيل ناشى از ۴ بار را حساب و با هم جمع مى‌کنيم، عوامل  $\vec{r} \cdot \vec{a}$  با هم

ساده مى‌شوند و داريم:

$$\begin{aligned} V_{\text{ج}}(a) &= \frac{4kq}{|\vec{r}|} \left( 1 + \frac{b^2}{2|\vec{r}|^2} \right) \\ &= \frac{4kq}{(x^2 + y^2 + z^2)^{1/2}} \left( 1 + \frac{b^2}{2(x^2 + y^2 + z^2)} \right) \end{aligned}$$

- Fundamentals of Physics, Halliday, Resnick, Walker; 3rd Edition, Wiley 1948.
- Classical Electrodynamics, Hans C. Ohanian; Jones and Bartlet Publications, 2nd Edition, 2006.
- Introduction to Electrodynamics, David J. Griffiths.
- Problems in General Physics, I.E.Irodov; Arihant Publication, 3rd Edition, 2010.
- Classical Electrodynamics, J.D.Jackson.
- Electricity and Magnetism, Munir H. Nayfe, Morton. K.